

#### **GOVERNO FEDERAL**

3 rou 12001 -

Fernando Henrique Cardoso Presidente

Rodolpho Tourinho Neto Ministro de Minas e Energia

Luciano de Freitas Borges Secretário de Minas e Metalurgia

### CPRM - SERVIÇO GEOLÓGICO DO BRASIL

Geraldo Gonçalves Soares Quintas

Diretor-Presidente

Paulo Antônio Carneiro Dias Diretor de Relações Institucionais e Desenvolvimento

Thales de Queiroz Sampaio

Diretor de Hidrologia e Gestão Territorial

José de Sampaio Portela Nunes Diretor de Administração e Finanças

Cássio Roberto da Silva
Chefe do Departamento de Gestão Territorial

#### SUPERINTENDÊNCIA REGIONAL DE BELO HORIZONTE

Osvaldo Castanheira Superintendente Regional

Nelson Baptista de Oliveira Resende Costa Gerente de Relações Institucionais e Desenvolvimento

> Fernando Antônio de Oliveira Gerente de Hidrologia e Gestão Territorial

> > Jayme Álvaro de Lima Cabral Supervisor da Área de GATE

> > > Haroldo Santos Vianna Chefe do Projeto

Copyright (c) 1998. CPRM – Superintendência Regional de Belo Horizonte.

Direitos reservados desta edição: COMIG/CPRM – Serviço Geológico do Brasil.

Av. Brasil, 1731 – Bairro Funcionários

Belo Horizonte – MG – 30140-002

cprmbh@estaminas.com.br

Fax (31)261-5585

#### **GOVERNO DO ESTADO DE MINAS GERAIS**

Itamar Augusto Cautiero Franco
Governador

Newton Cardoso Vice-Governador

#### SECRETARIA DE ESTADO DE MINAS E ENERGIA

Paulino Cícero de Vasconcellos Secretário de Estado

José Fernando Coura Superintendente de Recursos Minerais

#### **COMPANHIA MINERADORA DE MINAS GERAIS**

Henrique Eduardo Ferreira Hargreaves

Diretor-Presidente

Marco Aurélio Martins da Costa Vasconcelos Diretor de Administração e Finanças

Luís Márcio Ribeiro Vianna

Diretor de Desenvolvimento e Controle de Negócios

Marcelo Arruda Nassif
Coordenador de Apoio Técnico Operacional

Minas Gerais. Secretaria de Estado de Minas e Energia Estudo Geoambiental do Barreiro; município de Araxá - MG.

Organizado por Haroldo Santos Viana, Elisabeth Guelman Davis, Décio A. C. Beato, Jayme A. de L. Cabral. - Belo Horizonte: 1999.

125p

1. Projeto Araxá - 2. Barreiro de Araxá - 3. Geoambiental - I - Título. II - VIANA, H.S., org. III - DAVIS, E.G. IV - BEATO, D.A.C. V - CABRAL, J.A. de L. Direitos desta edição: COMIG/CPRM. É permitida a reprodução desta publicação, desde que mencionada a fonte.

CDU 577-4

# **EQUIPE TÉCNICA DE ELABORAÇÃO**

Caracterização Geológica Uso e Ocupação do Solo

Geólogo: Haroldo Santos Viana

Hidrologia e Qualidade das Águas Superficiais

Engenheira: Elizabeth Guelman Davis

Hidrogeologia

Geólogo: Décio A. C. Beato Zoneamento Ecológico-Econômico

Engenheiro/Geólogo: Jayme Álvaro de Lima Cabral

#### **EQUIPE DE APOIO**

Elizabeth de Almeida Cadete Costa – Diagramação e Arte Final Maria Madalena Costa Ferreira - Bibliotecária Rosângela Gonçalves Bastos Souza - Geógrafa Rosemary Corrêa - Desenho Cartográfico Terezinha Inácia de Carvalho Pereira - Digitalização Valdiva de Oliveira - Editoração

#### Edição original

CPRM - Serviço Geológico do Brasil DRI - Diretoria de Relações Institucionais e Desenvolvimento Av. Pasteur, 404 - CEP 22290-240, Urca - Rio de Janeiro, RJ. PABX: (21) 295-0032 - Fax: (21) 295-6647

GERIDE - Gerência de Relações Institucionais e Desenvolvimento Av. Brasil, 1731 - CEP 30140-002, Funcionários - Belo Horizonte, MG. Telefone: (31) 261-0352 - Fax: (31) 261-5585

### Edição final

Editora e Serviços Água Branca Rua Fluorina, 112 - CEP 30280-340, Pompéia - Belo Horizonte, MG. Telefone: (31) 481-0828 - Fax: (31) 482-1831

E-mail: eab@encontrar.com.br

# **APRESENTAÇÃO**

O projeto Araxá/Barreiro vem demonstrar uma interação entre governo, empresa e comunidade, na busca de conhecimentos para o uso racional dos recursos naturais, em benefício da sociedade, tendo como premissa básica o respeito ao meio ambiente.

A área do projeto é de aproximadamente 2.516 ha, guardando nesse pequeno espaço um complexo de atividades envolvendo mineração, indústria e turismo, reconhecido mundialmente.

O trabalho desenvolvido pela CPRM - Serviço Geológico do Brasil, em parceria com a Companhia Mineradora de Minas Gerais - COMIG, apresenta à comunidade um conjunto de informações sobre o meio físico visando subsidiar a coexistência das atividades econômicas em consonância com a proteção do meio ambiente.

# SUMÁRIO

1 - INTRODUÇÃO	1
2 - JUSTIFICATIVAS	3
3 - OBJETIVOS GERAIS	5
4 - SÍNTESE SOCIOECONÔMICA E HISTÓRICO	7
_	
5 - LOCALIZAÇÃO	11
6 - CARACTERIZAÇÃO GEOLÓGICA	13
6,1 - Objetivo específico	13
6.2 - Metodologia	
6.3 - Geomorfologia	
6.4 - Geologia regional	
6.5 - Geologia local	
6.5.1 - Rochas encaixantes	
6.5.2 - Rochas intrusivas	
6.5.3 - Cobertura laterítica	20
7 - USO E OCUPAÇÃO DO SOLO	25
7.1 - Objetivo específico	25
7.2 - Metodologia	25
7.3 - Principais usos e ocupações	25
8 - HIDROLOGIA E QUALIDADE DAS ÁGUAS DE SUPERFÍCIE	29
8.1 - Objetivo específico	29
8.2 - Metodologia	29
8.3 - Caracterização climática	29
8.3.1 - Características meteorológicas	
8.3.2 - Parâmetros climatológicos	
8.3.3 - Precipitação	
8.3.4 - Evapotranspiração potencial	
8.4 - Hidrologia superficial	
8.4.1 - Hidrografia	
Barreiro/Araxá	30
8.4.2 - Avaliação das disponibilidades hídricas de superfície	
8.4.2.1 - Levantamento dos dados	42
8.4.2.2 - Análise dos dados fluvimétricos	
8.4.3 - Levantamento de campo	
8.4.4 - Recomendações	
8.5 - Qualidade das águas de superfície	
8.5.1 - Classificação das águas do município	
8.5.2 - Rede de monitoramento	
8.5.3 - Parâmetros analisados	
8.5.4 - Análise dos resultados	
8.5.4.1 - Córrego da Mata	
8.5.4.2 - Córrego Baritina	
8.5.4.3 - Lago da Fonte Andrade Júnior	61

# FIGURAS

		and the second s	711
igura	1:	Mapa de Localização do Complexo do Barreiro	15
igura	2:	Mapa Geomorfológico	17
igura		Mapa Geológico	10
igura	4:	Mapa de Fraturas	21
Figura	5:	Carbonatito do Barreiro/Araxá	27
Figura	6:	Mapa de Uso e Ocupação do Solo	3U
Figura	7:	Estação Meteorológica de Araxá	30
Figura -	8:	Médias mensais compensadas, máximas e mínimas	33 33
Figura	9:	Valores médios mensais	25
Figura	10:	Direções e velocidades dos ventos	90
Figura	11:	Precipitações médias mensais e número médio de dias de chuva	20
Eiguro.	12.	Recie do rio Canivara	30
Figura	13:	Foto aérea de 1964 da área do Barreiro	40
Figura	14:	Foto aérea de 1986 da área do Barreiro	41
Figure	15.	Mana Hidrológico	43
Ciaura	16	Racias dos rios Canivara, Dourados e Bagagem	.40
Figura	17:	Sub-bacia do Barreiro	-40
Figura	18:	Correlação entre os postos de Iraí de Minas e Retiro	DÇ,
Figura	19:	Sistema de captação da Fonte Beja	. D9 . AT
Figure	20.	Vazões da fonte Beija	. 70
Figura	21:	Illustração esquemática do sistema de Captação e distribuição	
		do fonto Andrede Iúnios	./3 74
Figura	22	Modelo hidrogeológico da fonte Andrade Júnior	. /4
Figura	23	: Secão esquemática na área da mina de fosfato	./6
Figura	24	· Esboco das alterações do fluxo subterrâneo decorrente	
		de mine de fosfato, a montante do lago Superior	.//
Figura	25	: Diagramas de Scholler e Piper das águas do aquífero Barreiro	.gu
<b>Eigura</b>	26	· Diagramas de Scholler e Piner das águas do aguitero traturado	.00
Figure	27	· Mana de concentração de bário - iunho de 1989	.os
Cigura	28	· Mana de concentração de hário - iunho de 1997	.90
Figure	20	· Mana de concentração de cloreto - junho de 1989	.91
Ciaura	30	· Mana de concentração de cloreto - junho de 1997	92
<b>Eiguro</b>	. 21	· Mana de isolinhas de condutividade elétrica	54
Figure	32	· Sietema DIOS para avaliação do índice de vulnerabilidade do aquitero	90
Figure	. 22	· Aspectos aerofotogramétricos do zoneamento	107
Cloure	3/	· Limitos das Zonas em função do Uso da Terra	100
Figure	a 35	: Mapa de Zoneamento Ecológico-Econômico	109

# Introdução

O projeto Araxá resultou de convênio celebrado entre o Serviço Geológico do Brasil - CPRM e a Companhia Mineradora de Minas Gerais - COMIG, visando ao estudo, em parceria, da bacia a montante do Grande Hotel do Barreiro, município de Araxá - MG. A área em estudo perfaz um total aproximado de 2.516 ha, caracterizada pelas sub-bacias dos córregos da Mata, Baritina e Cascatinha, afluentes do córrego do Sal.

O município de Araxá destaca-se como das mais importantes estâncias hidrominerais do Estado de Minas Gerais, com fontes de águas minerais de natureza diversa, além de lamas medicinais, com propriedades terapêuticas incontestáveis.

O Complexo do Barreiro está inserido em contexto geológico onde coexistem jazimentos minerais importantes como nióbio, fosfato e água mineral, hoje tidos como os produtos responsáveis pela atividade industrial e turística, não só do município como de toda a região do Triângulo Mineiro.

O estudo proposto visa fornecer subsídios para harmonizar as atividades socioeconômicas regionais com a preservação da qualidade e do volume das águas minerais do balneário do Barreiro, na tentativa de alavancar a atividade turística na região.

# **Justificativas**

Subsidiar o planejamento do uso e ocupação da sub-bacia hidrográfica do córrego do Sal, a montante da estância hidromineral do Barreiro.

Fornecer subsídios para o gerenciamento racional dos recursos naturais da região, com ênfase ao estudo qualitativo e quantitativo das fontes hidrominerais.

# **Objetivos**

Produzir o conhecimento básico sobre as fontes hidrominerais e seu entorno, com vistas à avaliação de suas origens, qualificação, quantificação e determinação de medidas de proteção das fontes existentes.

Definir parâmetros para o adequado uso da terra das áreas situadas a montante do Parque Hidromineral, com base nas características do meio físico.

Definir critérios para harmonização da atividade extrativa e de transformação dos recursos minerais existentes com a preservação do meio ambiente.

#### Síntese socioeconômica e histórico

A economia do município de Araxá era, no passado, sustentada praticamente pela agropecuária e pelo pequeno comércio de trocas. Em 1816, foi anunciada oficialmente a existência de águas minerais no município, ocorrendo a partir daí um incremento substancial na economia da região. Mais tarde, com o descobrimento dos jazimentos de nióbio e apatita, e com a explotação destes recursos minerais, o município passou por uma verdadeira revolução econômica. Hoje, as atividades econômicas principais estão relacionadas à mineração e ao turismo, seguidas da indústria de transformação, do comércio e da agropecuária.

Segundo dados do IBGE (in INDI 1997), a evolução da população residente no município é a seguinte:

Ano	Urbana	Rural	Total
1970	31.520	4.156	35.676
1980	51.311	2.093	53.404
1991	67.972	1.939	74.063

Segundo dados da Fundação João Pinheiro/Centro de Estatística e Informação - CEI (in INDI 1997), a população ocupada por setores econômicos (1980) é a seguinte:

Setores	N° de
Settiles	pessoas
Agropecuária	2.348
Indústria (1)	7.876
Comércio	1.939
Transporte, Comunicação e	873
Armazenagem	
Outros Serviços (2)	7.758

- 1 Inclui indústria de transformação, mineração, construção e serviços industriais e de utilidade pública.
- 2 Inclui prestação de serviços, atividades sociais, administração pública e outras atividades.

A história do município de Araxá encontra-se bem retratada em acervo bibliográfico abrangente, disponível na Fundação Calmon Barreto, nessa cidade. Magalhães (1945) faz uma abordagem interessante sobre a história do município de Araxá e das fontes do Barreiro. Nesse trabalho, os historiadores mostraram que dois episódios marcaram fortemente a história de Araxá. O primeiro trata-se da conquista da região pelos índios Arachás, em 1766, favorecendo sobremaneira a instalação de agricultores e criadores. O segundo refere-se à transferência, através de decreto, do "Triângulo" da Capitania de Goiás para a de Minas Gerais, em 1816. A esse fato está relacionada a lenda de D. Beja, cujo nome verdadeiro era Ana Jacinta de São José. O ouvidor Joaquim Inácio Silveira da Mota, movido por intensa paixão, raptou-a, provocando um grande escândalo na região. Para amenizar o ocorrido e se vingar do ouvidor de Goiás, que era seu inimigo, aproveitou-se da amizade que detinha junto a D. Pedro I e, por intermédio do príncipe, conseguiu que D. João VI baixasse o alvará datado de 4 de abril de 1816, fazendo com que o julgado de Desemboque e de São Domingos de Araxá fosse desmembrado da Capitania de Goiás e incorporado à de Minas Gerais.

1942 - Inauguração das grandes obras termais de Araxá, no dia 19 de abril.

1945 - O dr. Andrade Júnior verificou a existência das emanações de tório na fonte D. Beja".

Outros fatos relacionados à história do Barreiro, que merecem destaque:

"1947/1948 - Primeira pesquisa de fosfato, realizada pelo Instituto de Pesquisa Industrial de Belo Horizonte, mostrando uma reserva substancial de rocha fosfatada. Barbosa O. (1970).

1960 - A Companhia Agrícola de Minas Gerais S.A. - CAMIG começou a produzir fosfato moído.

1960 - Iniciou-se a explotação da mina de nióbio.

1978 - Foi detectada contaminação na produção de fosfato pela ARAFÉRTIL S.A.

1982 - Foi detectada contaminação das águas subterrâneas por bário, a partir da infiltração de cloreto de bário da barragem B4, pertencente à CBMM. Simultaneamente, alertou-se para os possíveis efeitos causados pelo rebaixamento da mina de fosfato, na qualidade e vazão da fonte Beja".

A partir desse conjunto de problemas iniciou-se uma série de atividades de neutralização do enclave de contaminação e de monitoramento químico e piezométrico de uma série de poços e corpos de água superficiais.

1997 - Reforma das termas, executada pela Companhia Mineradora de Minas Gerais - COMIG.

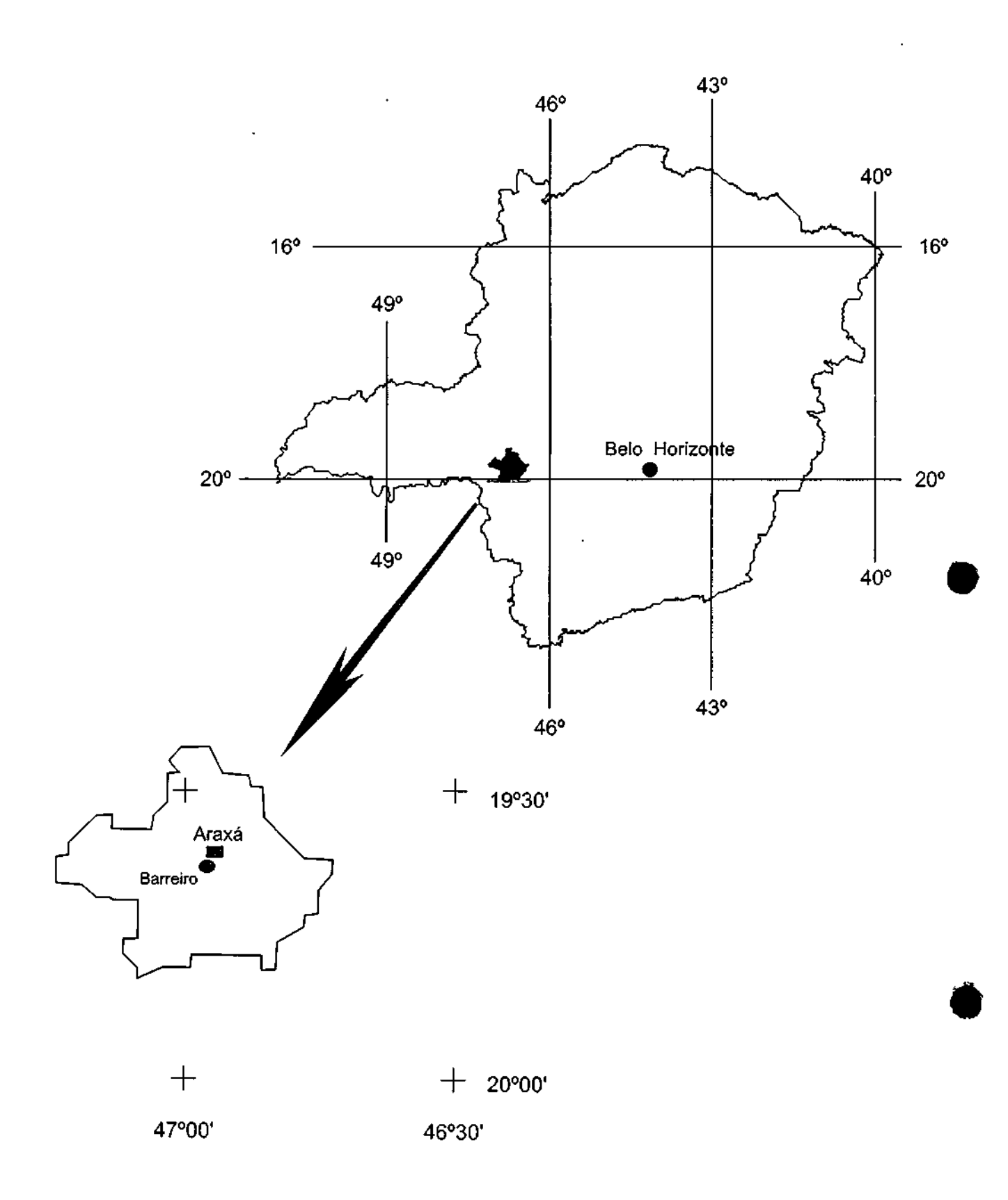


Figura 1 - Mapa de Localização do Complexo do Barreiro.

# Localização

A área do Barreiro localiza-se no município de Araxá, a aproximadamente seis quilômetros ao sul da cidade, definida pelas coordenadas geográficas 19°38' latitude S e 46°56' longitude W.G. O acesso é feito a partir de Araxá no sentido Arafértil por estrada asfaltada ou pela CBMM, antigo acesso, por estrada revestida de pedra, tipo pé-de-moleque.

O município de Araxá é localizado na região do Triângulo Mineiro/Alto Paranaíba, ocupa uma área de 1.166 km², distando 367 km de Belo Horizonte. (figura 1). Possui uma população urbana de 67.972 habitantes e rural de 1.939 (IBGE 1991). É servido por boa malha rodoviária, sendo as principais rodovias BR - 146, BR - 452, MG - 428 e MG - 341, interligando-se aos grandes centros e ao ramal ferroviário da Rede Ferroviária Federal. Possui aeroporto com pista asfáltica, medindo 1.900 m de extensão e 30 m de largura.

# Caracterização Geológica

O Complexo do Barreiro/Araxá destaca-se economicamente como o mais importante entre os complexos alcalinos do Alto Paranaíba. Encontra-se intrudido em rochas quartzíticas, com xistos subordinados, do Grupo Araxá.

O manto de intemperismo recobre todo o conjunto de rochas do Complexo, contendo importantes depósitos minerais em explotação, como o nióbio, (pandaíta) lavrado pela Companhia Brasileira de Mineração e Metalurgia (CBMM) e o fosfato (apatita) pela Arafértil. A reserva de nióbio destacase como a maior do mundo, com 461.7 x 10<sup>6</sup> t de minério com teor médio de 2,5% de Nb<sub>2</sub>O<sub>5</sub> (Issa *et alii* 1984).

O Complexo do Barreiro é formado por rochas plutônicas, de contorno circular, com aproximadamente 4,5 km de diâmetro, com uma área aproximada de 2.516 ha, modelado pelo anel quartzítico, como encaixante, extremamente fissurado e em parte fenitizado.

As rochas que constituem o Complexo são conhecidas através de estudos de testemunhos de sondagens, uma vez que não ocorre rocha plutônica aflorante. Trata-se predominantemente de rochas sílico-carbonatadas (predomínio de silicatos sobre carbonatos).

# 6.1 - Objetivo específico

Levantamento geomorfológico, litológico e estrutural que servirá de base, principalmente, aos estudos hidrogeológicos e ao zoneamento ecológico-econômico.

### 6.2 - Metodologia

Os primeiros trabalhos foram direcionados ao levantamento de todas as informações disponíveis, nos órgãos estaduais, municipais e nas empresas privadas. De posse dessas informações, foi montada a base cartográfica da área de trabalho, na escala 1:10.000, a partir das bases planialtimétricas cedidas pela CBMM e Arafértil. As coordenadas geográficas mostraram certa incompatibilidade com as do mapa geológico realizado por Grossi Saad *et alii* (1970). Após a compatibilização foi gerada uma base digitalizada, utilizada nas etapas desenvolvidas durante o projeto.

#### 6.3 - Geomorfologia

A área em estudo está inserida no levantamento regional realizado por Barbosa *et alii* (1970). As formas de relevo predominantes são definidas como morros arredondados a ovalados, com encostas suaves e topos aplainados. A altitude máxima verificada no Complexo do Barreiro é de 1.222 m, situada no extremo sul, e o ponto de cota mais baixa é de 935 m, correspondendo ao leito do córrego do Sal. O córrego do Sal é o dreno principal, com as suas nascentes dentro do Complexo, formado pelos córregos Cascatinha, Baritina e da Mata.

Trabalho de cunho local como o de Grossi Sad et alii (op cit) definiu, na área do Barreiro, quatro superfícies de erosão, correlacionáveis às definidas regionalmente por Barbosa op cit. (figura 2).

Superfície I - Corresponde à superfície Canastra (Barbosa 1955 In Barbosa 1970), pós-Gonduana (King 1956 In Barbosa 1970) e Pratinha (Almeida 1956 In Barbosa 1970). Ocorre em uma área restrita, correspondendo a cotas superiores a 1.200 m.

Superfície II - Ocorre entre as cotas 1.100 e 1.200 metros, provavelmente corresponde à Superfície Sul-Americana (King 1956 In Barbosa 1970).

Superfície III - Situada em cotas que variam de 990 a 1.180 metros, caracterizada por morros de encostas muito suaves e topos achatados, correspondendo à Superfície Araxá (Barbosa 1955 *in* Barbosa 1970). Essa superfície torna-se muito importante, uma vez que os depósitos minerais de modo geral estão associados a ela. Os corpos de canga e argilito se formaram durante a sua implantação. A ocorrência de corpos de canga em diferentes níveis, nas margens dos córregos Cascatinha, Baritina e da Mata, atesta a variabilidade climática durante a instalação dessa superfície.

Superfície IV - Corresponde à Superfície Velhas (King 1956 In Barbosa 1970), com topo máximo de 990 metros, ocupada em sua quase totalidade por depósitos recentes. Um exemplo desses depósitos foi encontrado junto à Fonte Andrade Júnior, caracterizados por detritos de canga contendo ossadas de Haplomastodon e Megatherium, de idade Pleistocênica Superior (Foto 11).

Com base nos furos de sonda realizados na área, foi possível determinar a profundidade em que se faz presente a ação do intemperismo. Na parte norte, observa-se que entre 10 e 180 metros encontra-se rocha fresca. Na parte sul, o material decomposto ultrapassa os 200 metros.

No manto intemperizado, verifica-se predominância de solo laterítico e laterita, depósitos de canga bordejando os drenos, além de um pequeno depósito de argilito e colofana (figura 2 e mapa geológico anexo).

#### 6.4 - Geologia Regional

A geologia regional está calcada nos trabalhos do projeto Geologia do Triângulo Mineiro, Barbosa et alii (1970), que definiram, nas proximidades de Araxá, a ocorrência de unidades geológicas denominadas de Complexo Granito-Gnáissico, Grupo Araxá, Grupo Canastra, Formação Ibiá, Intrusivas Alcalinas, e as Coberturas.

O Complexo Granito-Gnáissico é constituído por granitos e gnaisses de composição granodiorítica, com intercalações de anfibolitos; consideradas como as rochas mais antigas da área. O metamorfismo mais alto dessas rochas atinge a fácies anfibolito médio. O contato dessa unidade com os xistos do grupo Araxá torna-se extremamente difícil, devido à profunda decomposição das rochas e ao considerável aplainamento atuante na região.

Grupo Araxá - A designação do grupo foi dada por Barbosa (1955 in Barbosa 1970), durante os trabalhos realizados nos arredores de Araxá. Trata-se de micaxistos e quartzitos com intercalações de anfibolitos. Os xistos são a duas micas, com predominância de muscovita. O mineral acessório mais importante é a granada, além da presença em menor escala de rutilo, zircão, turmalina e estaurolita. Os quartzitos ocorrem em leitos delgados, em torno do domo do Barreiro, extremamente fraturados, parcialmente fenitizados pelas intrusivas. Também ocorrem em leitos decimétricos paralelamente à serra de Pirapetinga, com efeitos de catáclase. Os metamorfitos desse grupo atingiram fácies epidoto-anfibolito. Embora as rochas desse grupo se encontrem dobradas em conjunto com as do Complexo Granito-Gnáissico, observações de campo fornecem evidências de que o Grupo Araxá se encontra sobreposto ao Complexo.

Grupo Canastra - Esse grupo foi definido por Barbosa (1955 in Barbosa 1970) e é constituído com base de filitos e quartzitos. Os filitos são, na maioria, quartzo-filitos, caracterizados por lâminas delgadas de filitos intercalados por lâminas delgadas de quartzito, de granulação muito fina até síltica. Há uma predominância de filitos prateados, sericíticos, porém são comuns os filitos grafitosos (às vezes piritosos) e filitos granatíferos. Os quartzitos, na sua maioria, intercalam-se aos filitos e são de granulação fina. Por vezes, ocorrem quartzitos ferruginosos a itabiríticos. Nas proximidades das zonas de falhas, os quartzitos são milonitizados e apresentam aspecto fibroso, denominados localmente de "xisto pau" ou, quando silicificados, perdem o aspecto granular e são popularmente chamados de "gelados". O metamorfismo apresentado por essas rochas são de baixo grau, menos intenso que o do Grupo Araxá. O contato dessa unidade com as do Araxá e Ibiá é através de falhamentos.

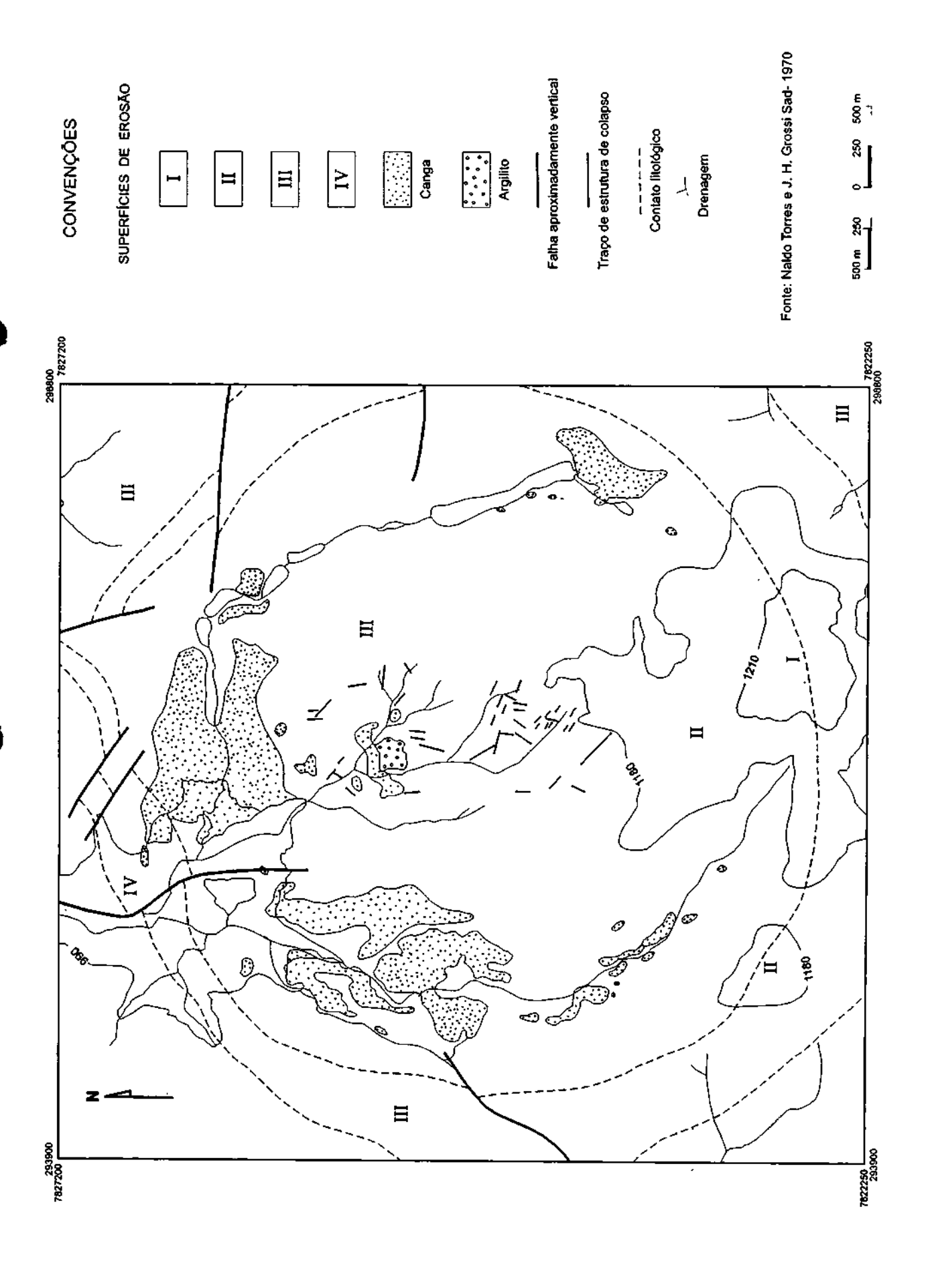


Figura 2 - Mapa Geomorfológico do Barreiro / Araxá

Formação Ibiá - É constituída predominantemente de calcoxistos, representados por calcosericita a clorita-xistos, quase sempre microdobrados e crenulados, com neoformação de leitos e núcleos de quartzo. Quando frescos, apresentam coloração cinza-chumbo a ligeiramente esverdeada. O metamorfismo atuante nessa unidade é de baixo grau, fácies xisto-verde. O contato dessa unidade com as do Complexo Granito-Gnáissico e as do Grupo Araxá se faz através de falhas de empurrão, enquanto que com o Grupo Canastra é concordante.

Intrusivas Alcalinas - O Complexo do Barreiro/Araxá faz parte de um conjunto de corpos alcalinocarbonatíticos situados na região do Alto Paranaíba, no oeste Mineiro e sul de Goiás. Esses corpos alinham-se segundo direção NW, ao longo de falhas profundas, entre a Bacia do Paraná e o craton de São Francisco (Hasui Y. e Cordani, U. G. 1976).

Sendo identificados os corpos de Araxá, Tapira, Salitre, Serra Negra e Catalão. Encontram-se encaixados em seqüências metassedimentares pré-Cambrianas dos Grupos Araxá, Canastra e Bambuí (Barbosa, O. op cit). Comumente, apresentam forma ovalada ou circular. As rochas dessas ocorrências foram datadas pelo método K-Ar e, de modo geral, as idades aparentes obtidas situam-se no Cretáceo Superior. A maioria agrupa-se em torno de 80 m.a, à exceção de Araxá, com determinação em torno de 90 m.a (Hasui, Y. e Cordani, U. G. 1968).

Para o distrito alcalino de Araxá, vários tipos de rochas foram identificadas como: malingito, araxaíto, carbonatito, jacupiranguito, além de diversos produtos de alteração.

Cobertura Detrito-Laterítica - Há indícios de ocorrências de restos de superfícies aplainadas, em diversos níveis e de diversas idades, geralmente laterizadas. O laterito ferrífero ocorre em forma de amêndoas e, menos freqüentemente, como crosta contínua (canga). O mineral predominante é a goetita, podendo associar-se a hematita. Comumente, se forma onde o "bedrock" é quartzítico ou onde há predominância de magnetita.

### 6.5 - Geologia Local

#### 6.5.1 - Rochas Encaixantes

Os primeiros trabalhos de geologia de que se tem conhecimento em Araxá devem-se a Derby 1866, Djalma Guimarães 1925 e 1926 e Barbosa 1937 (in Barbosa, O. op cit).

O Complexo do Barreiro encontra-se encaixado nos metassedimentos, atribuídos ao Grupo Araxá (Barbosa, O. op cit). Contudo, deve-se salientar que, a sudoeste da área, ocorrem filitos com intercalações de quartzitos, pertencentes ao Grupo Canastra (Barbosa, O. op cit). O levantamento geológico está calcado, principalmente, nos trabalhos desenvolvidos por Grossi Saad et alii (1970) e Issa et alii (1984), com algumas verificações de campo (figura 3 e mapa geológico anexo). O Complexo carbonatítico ocorre intrusivo em rochas quartzíticas, com xistos subordinados.

As rochas quartzíticas são as responsáveis diretas pela manutenção da conformação dômica do Complexo, com espessura estimada variando de 100 a 600 metros. Mapeada como unidade inferior, é constituída principalmente de quartzo, via de regra recristalizado, resultante de efeitos de contato. Os principais minerais acessórios são: sodanfibólios, microclina, apatita, dolomita, ortoclase, moscoivita, oligoclásio cloritóides e opacos.

Os minerais citados, excluindo os cloritóides, são resultantes do metassomatismo. Os cloritóides estão presentes nos quartzitos mais deformados, de preferência nos leitos amarrotados. Análise petrográfica dos quartzitos revelou o quartzo como constituinte principal, tipicamente deformado, com grãos variando de 0,05 a 2,5 mm. Apresenta uma textura granoblástica ou fortemente xistoso. Em alguns cristais, observa-se extinção ondulante, devido à sua recristalização. Anfibólio ocorre na rocha ocupando fraturas ou em forma de bolsões ou em agregados lenticulares. Às vezes, venula o quartzo ou ocorre como inclusão. O anfibólio é a eckermmonita, possui hábito prismático a acicular, e grãos com dimensões de 0,05 a 1,5 mm.

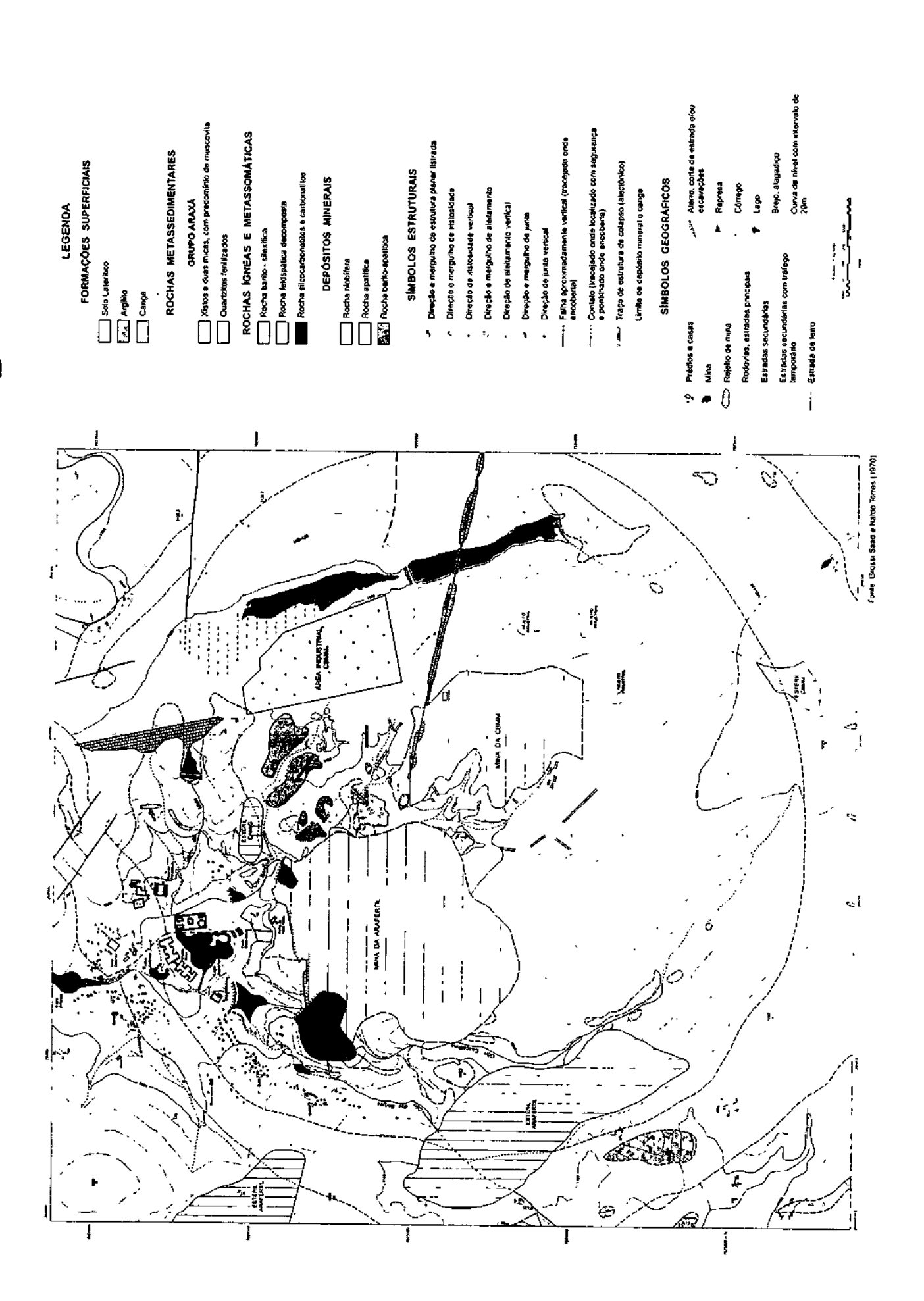


Figura 3 - Mapa Geológico

A microclina ocorre intersticial ou como pequenos porfiroblastos, às vezes sem forma definida. Os minerais são límpidos, com dimensões dos grãos em torno de 0,15 mm, podendo alcançar 3 mm. Pode, às vezes, ocorrer inclusa em dolomita. O ortoclase tem composição  $Or_{75}$   $Ab_{15}$  e, portanto, trata-se de sodaortoclase, ocorrendo em pequenos porfiroblastos, às vezes incluso em dolomita. O carbonato é a dolomita, apresentando coloração turva, não deformada, ocorrendo associada ao anfibólio e substituindo os minerais descritos anteriormente. Os feldspatos ocorrem não deformados, porém deformam a matriz que os contém. Tal fato atesta que esses minerais foram introduzidos na rocha quartzítica. Os quartzitos fenitizados (com sodanfibólio e feldspato) não foram individualizados dos demais quartzitos, dada a ausência de afloramentos contínuos. A zona de contato dos quartzitos e a intrusiva do Complexo Barreiro foi definida com base na variação do tipo de solo, gerado por um ou outro tipo rochoso.

A unidade geológica superior pertence ao grupo Araxá. Trata-se de um micaxisto, caracterizado como quartzo-biotita xisto, na sua maioria fenitizado e alterado, guardando sua textura original. Além de biotita e quartzo, a sericita está presente, como parte dos minerais originados antes da intrusão. A granulação varia de 0,01 a 0,3 mm, e apresenta estrutura xistosa amarrotada. O quartzo apresenta-se com estiramento. Como mineral acessório, ocorre a cianita. O metassomatismo silicoso se faz presente, com introdução de quartzo de contorno hexagonal, de dimensões de até 2 mm. Fato notório é que esse mineral envolve grãos de biotita, anfibólio e ortoclase.

Durante os processos de fenitização, foram gerados os minerais de anfibólio e K-feldspato.

O comportamento estrutural do Complexo do Barreiro é facilmente observado na estruturação dômica adquirida pelas rochas do grupo Araxá, resultante da intrusão. As rochas quartzíticas são as que apresentam os melhores efeitos da intrusão, verificados através da fenitização e do intenso fraturamento, verificado através da ocorrência de juntas e falhas (figura 4).

#### 6.5.2 - Rochas Intrusivas

Na área do Barreiro não foi encontrado afloramento de rocha fresca. Abaixo do lago, ao lado da fonte Andrade Júnior, foi verificada a presença de brecha quartzítica, com diques e veios de carbonatito.

Grossi Sad (*op cit*) definiu, em seus estudos, que as rochas predominantes do Complexo são silicocarbonatitos, onde há predominância de silicatos sobre carabonatos, e que, sob o depósito de pandaíta, existiria uma massa mais ou menos contínua de carbonatitos. Entretanto, através de análises dos testemunhos de rochas frescas, obtidos de furos executados no Barreiro, aventou-se a possibilidade da não-existência de uma massa de silicocarbonatito envolvendo o corpo de carbonatito e, sim, uma transição entre tais tipos petrográficos. A partir dessas análises, definiu como rochas predominantes um conjunto de piroxenito-peridotito, recortado por carbonatito-rauhagítico, e zonas de composição essencialmente de rocha glimerítica ou anfibólica. Faixas de apatititos e silexitos associam-se às rochas do Complexo.

Os constituintes principais dessas rochas silicocarbonatadas são: olivina-crisolita, diopsídio-hedembergita, flogopita-anomita. Como varietais: apatita, magneto-ilmenita. Como acessórios: perovskita, titanita, zircão, anatásio, rutilo, sulfetos e pirocloro. A rocha, quando fresca, apresenta coloração verde-escura a acinzentada, quando meteorizada origina o regolito de tonalidade marrom, contrastando com o solo, que é vermelho-tijolo. Quando substituída por silexito (quartzo, calcedônia e goethita) é de cor amarela a marrom.

Trabalhos mais recentes na área do Complexo do Barreiro, como o de Issa, A. et alii (op cit) assinalaram presença de um conjunto de rochas definidas como: carbonatitos, foscoritos e glimeritos. O carbonatito apresenta forma arredondada, com diâmetro em torno de 2 km, situado na parte central do Complexo. (Silva, A. B., et alii 1979 in Issa A op cit). Essas rochas ocorrem em veios, que variam de centimétricos até vários metros de espessura, penetrando os glimeritos (figura 5).

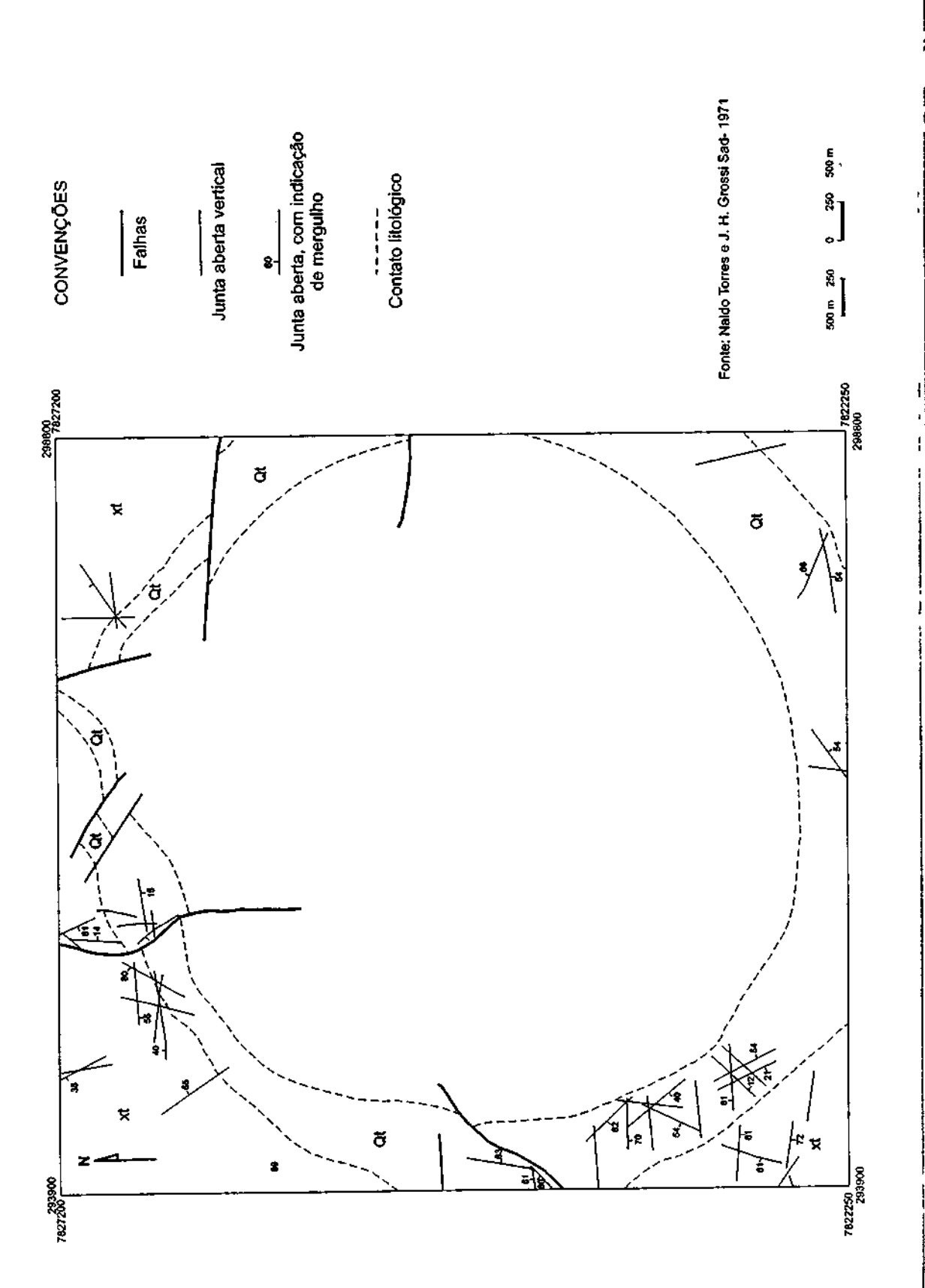


Figura 4 - Mapa de Fraturas

Em análise petrográfica, definiu-se o tipo beforsítico como predominante, apresentando granulação média a grosseira. A dolomita ocorre como mineral dominante, além de calcita e ankerita subordinados. Outros minerais podem estar presentes: barita, apatita, magnetita, perovskita, quartzo secundário, pirita, flogopita, anfibólio sódico isokita e estroncionita. O bariopirocloro ocorre como acessório freqüente nessa rocha. Na parte central do Complexo é encontrada apatita beforsitos contendo até 15,25% de apatita. Na porção centro-oeste do Complexo foi descrito, em testemunho de sondagem, carbonatito metassomático, preservando estrutura ígnea original do provável piroxenito (Mariano, A. N., 1975; *in* Issa, A *et alii op cit*). Em área restrita, no canto NW do Complexo, ocorre o sovito típico, também ocorrendo como diques nas rochas encaixantes (Silva, A B. *et alii* 1979; *in* Issa *et alii op cit*).

Os foscoritos são descritos como uma rocha contendo carbonato, flogopita, apatita e magnetita. Ocorre associada ao carbonatito na parte central do Complexo. Trata-se de uma rocha brechada, granulação variando de fina a grosseira, coloração escura. O pirocloro está presente nessa rocha com teores de até 8% de Nb<sub>2</sub>O<sub>5</sub>. Essas rochas mostram-se as mais ricas em pirocloro, destacando-se como o mais importante minério primário.

As rochas glimeríticas ocorrem com maior predominância entre a faixa de carbonatitos e o anel quartzítico, além de estarem presentes em todos os testemunhos analisados. Predomina a cor marrom-escura, e a granulação varia de fina a grosseira. O míneral constituinte principal é a flogopita, podendo ocorrer a dolomita.

#### 6.5.3 - Cobertura Laterítica

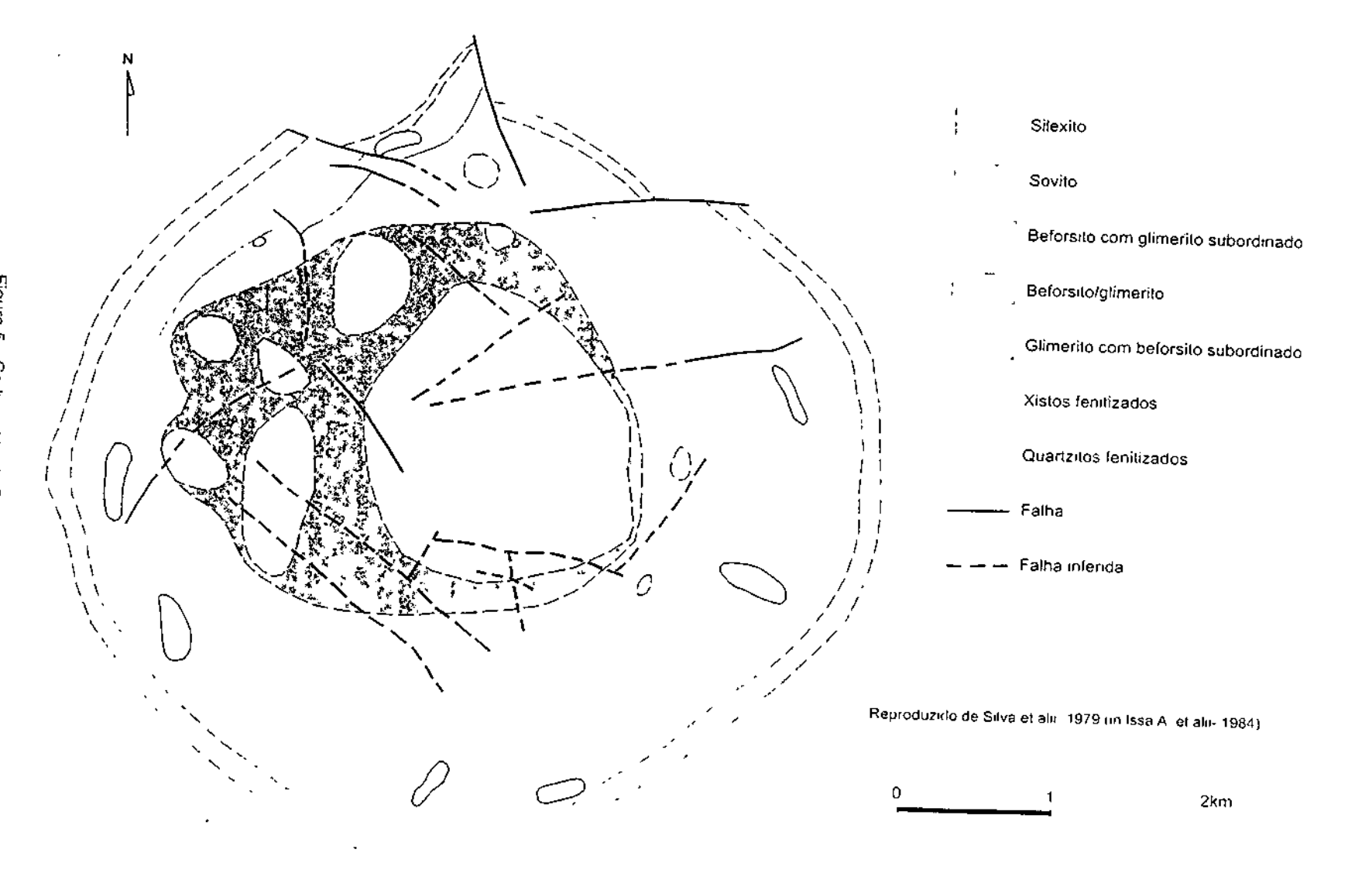
A área do Complexo do Barreiro está totalmente coberta por material laterítico, variando de alguns metros até mais de 200 metros de profundidade. Cangas concrecionárias ocorrem principalmente ao longo dos drenos que nascem dentro do Complexo. São compostas essencialmente de limonita, goethita e magnetita, às vezes com pirocloro presente. Corpos de rocha silexítica, às vezes portadora de barita, além de pirocloro, apatita e minerais portadores de terras raras são encontrados no interior do Complexo. Nesse manto de intemperismo estão presentes importantes jazimentos de nióbio e fosfato.

Nióbio - Os primeiros trabalhos de cálculo da reserva de minério foram realizados por Djalma Guimarães (1957), avaliada em torno de nove milhões de toneladas. Atualmente, a jazida de nióbio é explotada pela CBMM (Companhia Brasileira de Mineração e Metalurgia), com uma reserva calculada em torno de 461 x 10<sup>6</sup> t, com teor médio de 2,5% de Nb<sub>2</sub>O<sub>5</sub>. As tabelas 1, 2 e 3 mostram a composição mineralógica média, as reservas do minério e a composição química do minério e do bariopirocloro, relacionadas exclusivamente às mineralizações da cobertura laterítica. Sondagens executadas pela CBMM, através de furos de sonda testemunhados, atingindo profundidade de até 844 metros, em rocha fresca, mineralizado em toda sua extensão, demonstraram a existência de reservas com valores bem superiores aos apresentados anteriormente.

Fosfato - A jazida de fosfato (apatita) explotada pela Arafértil apresenta reserva em torno de  $460 \times 10^8$  t, com teor médio de 15% de  $P_2O_5$ . A barita encontra-se associada tanto ao minério de nióbio como ao de fosfato, apresenta coloração variando de incolor a verde, em forma de veios ou concrecionária. O depósito soma reservas em torno de  $463 \times 10^8$  t, com teor médio de 20,6% de BaSO<sub>4</sub> (Issa *op cit*).

Urânio - Djalma Guimarães (1953 e 1957) realizou os primeiros estudos petrográficos realizados na área, e as primeiras avaliações do jazimento de pirocloro, definindo uma reserva em torno de oitenta mil toneladas de U<sub>3</sub>O<sub>8</sub>. Castro, L. O. (1968) desenvolveu pesquisa no Complexo do Barreiro e verificou que o teor de urânio nos corpos de minério de pirocloro é variável desde 0,005% de U<sub>3</sub>O<sub>8</sub> nos mais pobres, até 0,1% no chamado pirocloro uranífero. As reservas cubadas são de aproximadamente 8 x 10<sup>5</sup> t, com teor médio de 416 ppm de U<sub>3</sub>O<sub>8</sub>. O urânio associado a monazita e goyazita foi cubado 8 x 10<sup>5</sup> t de minério contendo em média 13,5% de (TR)<sub>2</sub>O<sub>3</sub> e cerca de 0,05% de U<sub>3</sub>O<sub>6</sub>.





O urânio associado a rocha fosfática na área pesquisada apresentou uma reserva de 170.000 t de minério, com teor de 0,1% de  $U_3O_8$ , situando-se as mineralizações acima do nível freático, até profundidade máxima de 27 metros.

Mineral	% Pesc
Bariopirocloro	4.6
Limonita, Goethita	35.0
Barita	20.0
Magnetita	16.0
Gorceixita	5.0
Monazita	5.0
llmenita	4.0
Quartzo	5.0
Outros	5.4

Tabela 1: Composição mineralógica média do minério de Araxá (Paraíso, O. S. & Fuccio, R. de, 1981).

Categoria	Toneladas	% Nb <sub>2</sub> O <sub>3</sub>
Medida	131.612.000	2.50
Indicada	41.793.000	2.49
Inferida	288.349.000	2.50
Total	461.754.000	2.50

Tabela 2: Reservas totais de minério (Issa op cit).

•	Minério*	Bariopirocloro**
Nb <sub>2</sub> O <sub>5</sub>	3.00	63.42
Ta <sub>2</sub> O <sub>5</sub>	traços	0.15
BaO	17.73	16.51
CaO	traços	0.44
(TR) <sub>2</sub> O <sub>3</sub>	0.44	3.29
ThO <sub>2</sub>	0.13	2.34
MnO <sub>2</sub>	1.82	0.16
Fe <sub>2</sub> O <sub>3</sub>	46.52	*****
FeO		2,37
TiO <sub>2</sub>	3.60	2.30
PbO	traços	0.42
SnO <sub>2</sub>	traços	0.10
Al <sub>2</sub> O <sub>3</sub>	1.19	0.10
P <sub>2</sub> O <sub>5</sub>	3.32	
SiO <sub>2</sub>	2.38	
ZrO₂	0.20	
SO₃	8.82	
J₃O <sub>8</sub>	0.0082	
P.F.	6.02	*****
<b>√</b> 2O		

Tabela 3: Composições químicas do minério e do bariopirocloro de Araxá

<sup>(\*)</sup> Jaffe, H. W. & Sechow. D. H. (1960) (\*\*) Paraíso, O. S. & Fuccio, R. de (1981)

Durante os estudos realizados por Grossi Saad et alii (op cit) para cubagem dos jazimentos de nióbio e fosfato do Barreiro/Araxá, foram executados mais de setenta furos de sonda. A seguir é apresentado um perfil composto, na tentativa de mostrar o material existente em profundidade.

Profundidade (m)	Material atravessado
0,00 - 5,00	Superficialmente predomina solo laterítico, de coloração chocolate, passando a cores variadas cinza-escura a marron-esverdeada, argiloso, com magnetita e grânulos duros de limonita.
5,00 - 170,00	Via de regra, ocorre material terroso, bastante argiloso, coloração variando do pardo-amarronzada a pardo-amarelada, às vezes, escura. Ocorrem fragmentos duros de silexito de coloração amarronzada, percentagem variada de magnetita granular, fina, nódulos de areia quartzosa, faixas de coloração pardo-arroxeadas contendo monazita, pintas de material argiloso pálido-esverdeado, palhetas de mica, cristais de barita, faixas pardo-amareladas por vezes carbonáticas. Nota-se que o teor de carbonato aumenta com a profundidade. Em alguns poços, verificou-se que essa faixa de material terroso, com uma infinidade de variações tanto em coloração como em constituintes minerais, chega a mais de 200 metros de profundidade.
170,00 - 190,00	Rocha decomposta, com blocos silicificados. A rocha, que inicialmente está completamente desagregada, é composta por mica dourada em palhetas disseminadas em massa argilosa amarela, nódulos esverdeados, provavelmente de piroxênio decomposto e magnetita finamente granular. Em todo intervalo são abundantes os blocos castanho-esverdeados de material silicificado, contendo palhetas de mica e finas vênulas carbonáticas.
190,00 - 200,00	Carbonatito parcialmente decomposto, branco, textura granular fina, predominando a calcita em cristais submilimétricos, com palhetas de mica castanho-escura, pirita e magnetita, além de agrupamentos de piroxênio muito fino, como acessórios; no final aparecem blocos de mica piroxenito, cinzento-esverdeados, envolvidos pelo carbonatito.

Fonte: GEOSOL (1970)

#### Uso e Ocupação do Solo

#### 7.1 - Objetivo específico

Levantamento do uso e ocupação do meio físico atual, visando à racionalização do uso no futuro, sem o comprometimento do meio ambiente.

#### 7.2 - Metodologia

Para a elaboração do mapa de uso e ocupação do solo foram realizadas as seguintes etapas: fotointerpretação preliminar, verificação de campo e fotointerpretação final.

Na fotointerpretação preliminar foram utilizadas fotografias aéreas, preto e branco, na escala 1:20.000, 1986. Com auxílio de estereoscópio de bolso e de espelho foram identificados os principais usos da terra, possíveis de serem observados. Esses dados foram traçados tanto em overlays na escala da foto, como em mapa na escala 1:10.000.

Na etapa de campo, foi possível confirmar ou não a precisão dos dados fotointerpretados, caracterizando-se, com segurança, cada unidade individualizada.

Fotointerpretação final - Na última etapa foi realizada nova fotointerpretação que, acrescida dos dados de campo, deu origem ao mapa final. Neste mapa, foram lançados minas em explotação, área industrial, área de rejeito industrial e estéril, área de vegetação, área de criação de animais silvestres, áreas edificadas, lixão, reservatório d'água, curral, etc.

### 7.3 - Principais Usos e Ocupações

Dentre as unidades cartografadas, destacam-se a explotação e industrialização do minério de nióbio pela Companhia Brasileira de Mineração e Metalurgia - CBMM, a explotação e industrialização de rocha fosfática pela Arafértil e a exploração e engarrafamento de águas minerais pela Superágua S.A. e o Comptexo Turístico do Barreiro, atividades aparentemente conflitantes, mas que até o momento têm conseguido conviver harmonicamente.

O Complexo Turístico do Barreiro é constituído por um conjunto de edificações em estilo missões, com área construída de 46.000 m², lagos, fontes e parques de grande importância turística, cultural e histórica. É composto pelo Grande Hotel, atualmente em reforma, pelas Termas, reformadas em 1997, pelas fontes sulfurosas Andrade Júnior, fonte D. Beja, lagos, matas e por um parque de lazer de grande beleza (fotos 2, 3, 4 e 18).

Assentamentos urbanos sem infra-estrutura de saneamento básico (foto 1) vêm-se proliferando nas imediações desse Complexo, em áreas de grande vulnerabilidade do aquífero subterrâneo, na bacia do córrego da Cascatinha. Nessas áreas, atém dos esgotos residenciais, existem currais e chiqueiros onde os dejetos escoam a céu aberto, assumindo a drenagem natural e desaguando em lagoas ou no próprio córrego. A 500 m a oeste do Grande Hotel observa-se a presença de depósitos de lixo urbano (lixão, foto 13).

A área da Companhia Brasileira de Mineração e Metalurgia (CBMM), detentora por arrendamento da jazida de nióbio, vem sendo explorada desde 1961, ocupando grande parte dos terrenos da bacia do Barreiro. Os trabalhos de tavra são realizados a céu aberto através de bancadas (foto 9), sem atingir o nível freático. Do material resultante do decapeamento da mina, parte é usado em obras viárias dentro do parque da companhia, e o restante, depositado na área 1. A cava da

mina e o parque industrial são mostrados na figura 6 e, com mais detalhe, no mapa anexo. Associados ao processo de explotação e transformação do minério em ferro-liga, advêm os resíduos sólidos e líquidos. O resíduo sólido industrial, resultante da lixiviação do nióbio, contendo material radioativo (óxido de tório) e sulfato de bário, é depositado em área especial, definida como rejeito industrial 2. É uma área com baixa declividade em torno de 2%. Este material é depositado em forma de sanduíches, formados por uma camada de estéril de baixa permeabilidade, em forma de meia laranja. Na parte central, é colocado o estéril contendo sulfato de bário e óxido de tório, a seguir é colocada outra camada de rejeito da mina, fechando o pacote. Segundo informações da CBMM, cada camada de rejeito inibe três vezes a radioatividade do tório. Para o monitoramento dessa área, a CBMM construiu quatro poços tubulares entre o depósito e o lago, onde periodicamente são feitas coletas de amostras para análises. A vistoria do depósito é feita pela CNEN. Outro resíduo sólido, fosfatado, produzido na usina, é disposto em outro local, definido como área de rejeito industrial 3 e 4. Este material está sendo testado na agricultura e vem mostrando alguns resultados positivos. O resíduo líquido, contendo cloreto de bário e outros elementos residuais, é lançado diretamente no lago, a leste do parque industrial (foto 7). Devido à alta porosidade e à permeabilidade do latossolo da área, o lençol freático passou a ser contaminado com bário. Por essa razão, a CBMM vem mantendo um monitoramento do índice de bário, através de análises de amostras coletadas em poços tubulares e lagos. A neutralização do avanço do cloreto de bário consiste na sua precipitação, através da introdução de solução de sulfato de sódio (Na, SO,), tanto no nível subterrâneo, por meio de poços tubulares infiltradores, como no superficial, por meio de gotejamento que, reagindo com o cloreto de bário, resulta em sulfato de bário, que é praticamente insolúvel e se precipita, e cloreto de sódio. Dados fornecidos pela CBMM atestam que o alto índice de bário encontrado nas águas do Barreiro não se deve somente à contaminação industrial, mas há uma participação do carbonatito, rocha matriz do minério de nióbio. Essa rocha é constituída de uma gama de minerais, entre eles o carbonato de bário + magnésio + cálcio. Processos de meteorização da rocha fazem com que o cálcio e o magnésio sejam carreados, havendo uma concentração de bário, que é acrescido ao bário oriundo dos rejeitos industriais, detectado no lençol freático.

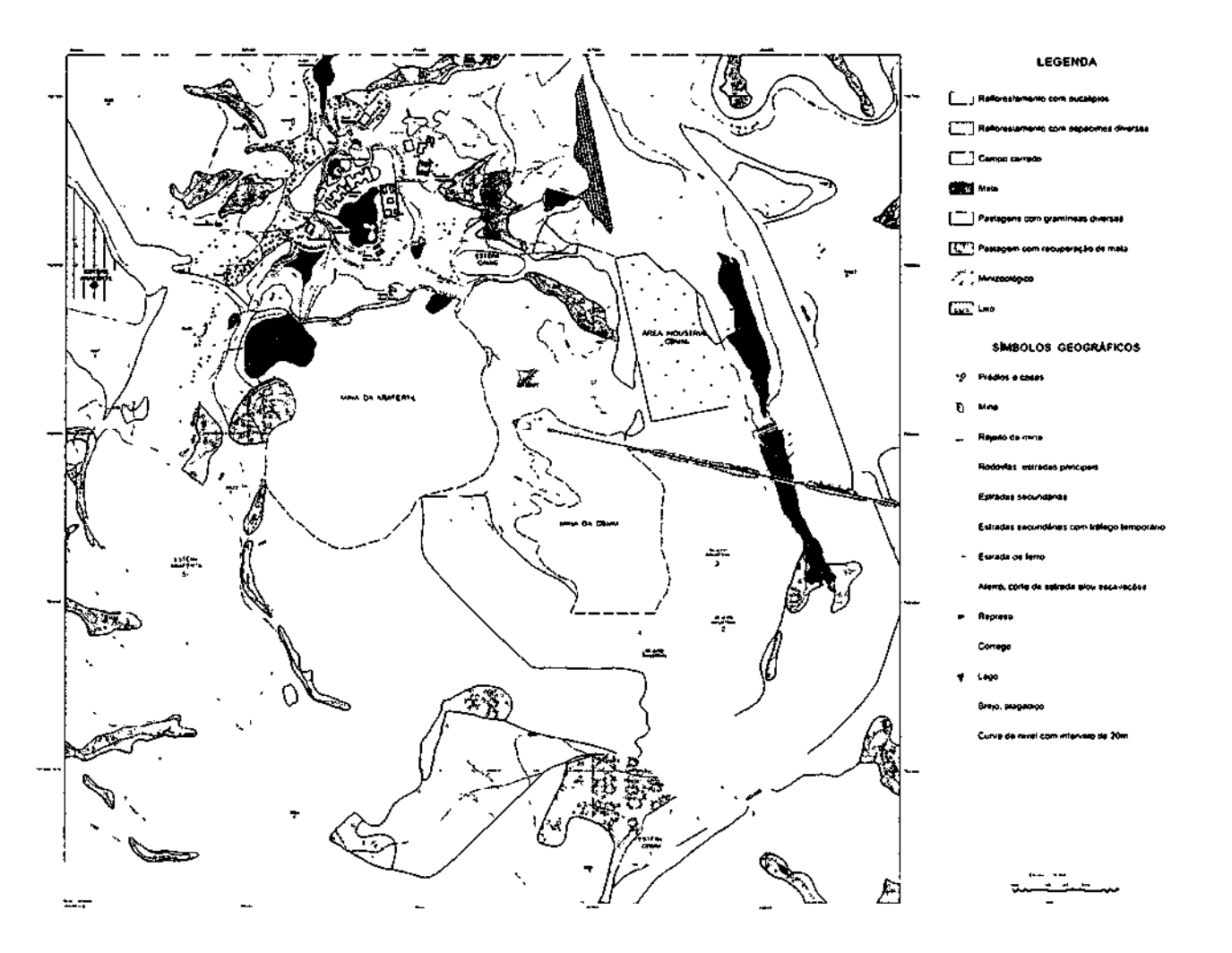
A CBMM mantém uma área reservada para criação de animais silvestres em extinção, que são doados aos zoológicos, à medida que os animais são solicitados. Trata-se de animais como lobo guará, ema, veado, paca, anta, macaco, araras e papagaios.

A Arafértil, detentora por arrendamento da jazida de fosfato, iniciou os seus trabalhos em 1972. Entretanto, tol a partir de 1978 que entrou em fase operacional propriamente dita. Localiza-se mais próxima ao Grande Hotel do Barreiro, causando maior impacto visual tanto em relação à cava da mina quanto ao local onde é depositado o estéril (toto 19). Visando suavizar o impacto na paisagem, a Arafértil vem promovendo o plantio de eucaliptos, formando uma verdadeira cortina entre a área do hotel e a mineração. Na área 5, destinada ao depósito do estéril da mina, a empresa faz cobertura vegetal com gramínea, e na área 6, com gramínea e árvores de espécies variadas, visando sua proteção contra os efeitos da erosão, bem como para diminuir o impacto visual.

Os trabalhos de lavra da mina são também realizados a céu aberto, através de bancadas, com grande movimento de terra, ocasionando a retirada da cobertura vegetal e o rebaixamento do nível freático (foto 10). Na tentativa de restabelecer o nível freático e minimizar os danos causados sobre a produtividade das fontes, bem como dos poços tubulares que abastecem a engarrafadora e ao fontanário, a Arafértil construiu barragens para captação da água drenada de suas frentes de lavra, originando os lagos de recarga denominados de "E" e "F" no leito do córrego Cascatinha (fotos 5 e 6). Uma terceira barragem foi recentemente construída no córrego Baritina e denominada neste projeto de barragem "H". Outros aspectos são discutidos nos capítulos de hidrogeologia e hidrologia superficial.

Na área do Complexo do Barreiro, nota-se que houve recuperação substancial da vegetação arbórea, realizada através de reflorestamento, quando se comparam fotografias aéreas da área, realizadas em 1964 e 1986 (figuras 6, 13 e 14).

Figura 6 - Mapa de Uso e Ocupação do Solo



27

A maior área de reflorestamento é coberta com o plantio de eucalipto e se localiza principalmente em terrenos da CBMM, entre as nascentes dos córregos da Cascatinha e da Mata. Foi plantado também ao longo das rodovias e do anel verde, visando diminuir o impacto visual causado pela mineração (foto 2).

Áreas com cobertura de vegetação de espécimes diversas podem ser vistas, principalmente nas proximidades do Grande Hotel do Barreiro. Os primeiros plantios estão relacionados ao trabalho do paisagista Burle Max, no entorno do Grande Hotel, e ampliados em outras áreas através da implantação do Projeto Pró-Araxá, iniciado em janeiro de 1986, em convênio com as companhias CBMM e Arafértil, resultando no chamado anel verde (fotos 1 e 2).

As evidências de vegetação nativa ficam restritas a pequenas ocorrências de matas compostas de árvores de espécimes diversas e campos cerrados de pequena extensão. A mata mais importante e mais discutida em relação à preservação é conhecida como mata da Cascatinha. É considerada marco histórico e turístico, no âmbito do Complexo do Barreiro, tendo em vista a ocorrência de uma cachoeira, onde, historicamente, Dona Beja costumeiramente tomava os seus banhos (foto 5).

O campo cerrado restringe-se a uma pequena área nas proximidades da mina da CBMM, caracterizado pela presença de árvores e gramíneas típicas de cerrado, bastante espaçadas entre si, e de porte atrofiado, ocupando terrenos com solo litólico.

As pastagens implantadas no perímetro do Barreiro representam um expressivo percentual, geralmente constituídas de gramíneas do tipo braquiária, ocupando grandes porções da área de concessão da CBMM e da bacia do córrego Cascatinha. A presença de currais e chiqueiros, a oeste do Grande Hotel e próximos a poços de extração de água, põem em risco a qualidade da água, pela concentração de matéria orgânica gerada.

A agricultura desenvolvida é praticamente desprezível, sendo realizada unicamente com finalidade de recuperação de pastagens. Portanto, não chegou a ser individualizada no mapa.

A existência de um posto de abastecimento de combustível nas proximidades do Grande Hotel do Barreiro, construído diretamente sobre rocha quartzítica, compromete sobremaneira as águas superficiais e subterrâneas. Deve-se salientar que, na ocorrência de qualquer vazamento, o lençol freático será imediatamente poluído. Todo o esgoto do posto, contendo graxa e óleo, drena diretamente para o canal do córrego Baritina que, a poucos metros abaixo, juntamente com o córrego da Cascatinha, forma o Lago Inferior.

Observa-se, aproximadamente a 500 m a ceste do Grande Hotel, presença de depósito de lixo urbano (lixão) que, num curto espaço de tempo, também irá comprometer a qualidade do aquifero (foto 13).

# Hidrologia e Qualidade das Águas de Superfície

#### 8.1 - Objetivo Específico

- · fornecer uma caracterização climatológica da área;
- · apresentar os dados e os levantamentos dos recursos hídricos de superfície;
- avaliar as condições qualitativas das águas de superfície e os níveis de poluição.

#### 8.2 - Metodologia

Para a elaboração dos estudos hidrológicos foi inicialmente realizada uma pesquisa bibliográfica junto a entidades públicas, incluindo o levantamento dos dados hidrometeorológicos básicos disponíveis na região do Barreiro de Araxá. Dentre os órgãos contactados estão o Departamento Nacional de Águas e Energia Elétrica - DNAEE e a Companhia de Saneamento de Minas Gerais - COPASA-MG, que operam estações fluviométricas próximas à área em estudo. O Instituto Nacional de Meteorologia - INMET também foi contactado, pois é o órgão responsável pela estação climatológica de Araxá. Foram ainda consultados os arquivos da Fundação Estadual do Meio Ambiente - FEAM, com o objetivo de obter dados relativos às atividades mineradoras da região.

Foram realizadas viagens de reconhecimento com o objetivo de determinar as características físicas das bacias dos córregos que drenam a área, bem como para execução de medições de vazão em pontos selecionados dos córregos.

Os estudos envolveram, inicialmente, a caracterização climática da região, visando quantificar as variáveis hidrometeorológicas relativas às várias etapas do ciclo hidrológico. Em seguida, procedeu-se ao levantamento quantitativo dos recursos hídricos de superfície, bem como à avaliação qualitativa dos cursos d'água que drenam o Barreiro.

# 8.3 - Caracterização Climática

#### 8.3.1 - Características Meteorológicas

As condições meteorológicas estão relacionadas a mecanismos de escala global sob a influência das principais correntes de circulação atmosférica do Continente Sul-americano. Os padrões de circulação atmosférica definem as características climáticas predominantes durante as duas estações destacadas do ano: o inverno e o verão.

De maio a setembro, há uma diminuição drástica do volume de precipitação. Entretanto, há, paralelamente, uma queda razoavelmente grande do nível de temperatura, em função das penetrações periódicas de massas de ar frio de origem polar. De outubro a abril, a situação inverte-se completamente. Neste período, os totais pluviométricos são muito superiores, e, no verão, as temperaturas são elevadas.

Segundo a classificação de Nimer, E. (1977), a região possui o clima tropical subquente e semiúmido.

### 8.3.2 - Parâmetros Climatológicos

Para a avaliação dos parâmetros climatológicos foram utilizadas as séries de dados da estação climatológica de Araxá. Essa estação é operada pelo Instituto Nacional de Meteorologia - INMET, está localizada dentro do município de Araxá e se situa nas coordenadas 19°34'S e 46°56'W, a 1.004 m de altitude.

A figura 7 mostra a posição geográfica da estação em relação ao Barreiro.

	AìS CLIM Jan	Fev	Mar	Abr	I Mai							
Temperatura média compensada	21,7	<del></del>		<del> </del>	<u> Mai</u>	Jun	Jul	Ago	Set	Out	Nov	Dez
(°C)	21,7	22,0	22,0	20,7	19,2	17,9	17,9	19,7	21,3	21,8	21,6	21,
Temperatura média das máximas (°C) (2)	27,2	27,9	27,8	26,6	25,3	24,5	24,7	26,8	27,3	28,2	27,3	26,7
Temperatura média das mínimas (°C) (3)	17,8	18,0	17,8	16,3	14,8	13,2	12,8	14,3	15,6	17,1	<u> </u>	<u> </u>
Temperatura máxima absoluta	34,0	32,6	34,0	31,5	29,7	29,0					17,4	17,6
Temperatura minima absoluta	<del> </del>					25,0	29,3	32,8	34,3	35,4	35,0	32,4
(°C) (5)	9,7	10,9	10,5	6,9	2,1	0,5	1,6	4,5	8,1	7,9	7,2	8,6
idade relativa média compensada (%) (6)	81,4	81,9	81,1	80,8	78,3	74,6	71,3	67,7	69,1	75,6	80,5	
Evaporação (mm)	-											83,5
Velocidade média dos ventos	1.8	1.0									-	-
(m/s) (7) Fonte: INMET	1,8	1,9	2,0	1,9	2,0	2,0	2,1	2,3	2,3	2,1	1,9	1,9

Quadro 1 - Normais climatológicas.

Obs: Anos excluídos devido a falhas

- (1) 1973;1976;1988;1989;1990;1991 e 1994
- (2) 1973;1988;1989;1990 e 1991
- (3) 1976
- (4) 1973;1988;1989 e 1990
- (5) 1973;1989 e 1990
- (6) 1994
- (7) 1987 e 1994

Os dados fornecidos pelo INMET cobrem o período de 1917 a 1997, sendo que, entre 1960 e 1970, as observações do posto foram interrompidas. Mesmo no período de operação normal do posto existem falhas nas observações de alguns parâmetros.

As séries de dados foram fornecidas com periodicidade mensal (médias ou totais mensais), e submetidas a uma análise preliminar para detecção e correção de erros grosseiros. Não foi feito o preenchimento dos períodos falhos por não existir nenhuma outra estação próxima.

Para o período de 1972 a 1996, foram calculadas as normais climatológicas. No Quadro 1 são apresentados os valores obtidos.

#### **Temperatura**

Atualmente, tem sido utilizada a temperatura média compensada para representar os valores médios diários de temperatura. Este parâmetro é calculado a partir da seguinte equação:

$$T = \frac{T_{12} + 2T_{00} + T_{max} + T_{min}}{5}$$

onde:

T<sub>máx</sub> = temperatura máxima registrada;

T<sub>min</sub> = temperatura mínima registrada;

 $T_{12}^{""}$ e  $T_{00}$  = temperatura medida às 12 e às 24 horas GMT (horário de Greenwich). No Brasil, corresponde às temperaturas medidas às 9 e 21 horas.

No período 1972 a 1996, Araxá apresentou temperatura média compensada anual da ordem de 20,6°C. Nos meses mais frios, junho e julho, a média compensada foi de 17,9°C. Nos meses mais quentes, fevereiro e março, o valor calculado foi de 22°C. A amplitude térmica anual foi de 4,1°C, em média. Os histogramas das médias mensais compensadas, média das máximas e média das mínimas são apresentados na figura 8.

Com relação aos valores absolutos observados, a temperatura máxima registrada no período ocorreu em outubro de 1994: 35,4°C. A mínima absoluta, ocorrida em junho de 1979, foi de 0,5°C.

#### Umidade relativa do ar

Os valores médios diários compensados de umidade relativa do ar são obtidos a partir da seguinte equação:

$$U = \frac{U_{12} + U_{18} + 2U_{00}}{4}$$

onde:

 $U_{12,18,00}=$  umidade relativa medida às 12, 18 e 24 horas GMT, correspondendo, no Brasil, às 9, 15 e 21 horas.

Para a estação de Araxá, a umidade relativa média compensada anual no período 1972 a 1996 foi de 77,1%. O mês mais úmido é dezembro, cuja média mensal foi de 83,5%. Em anos muito úmidos, a média nesse mês chegou a atingir valores da ordem de 95%. Os meses mais secos são agosto e setembro, com médias mensais de 67,7 e 69,1%, respectivamente. A figura 9 mostra os valores médios mensais compensados de umidade observados no período.

#### Evaporação

A estação de Araxá possui dados evaporimétricos medidos no atmômetro tipo Piché e em tanque evaporimétrico Classe A. Observou-se que a evaporação medida no atmômetro difere consideravelmente da que ocorre em superfícies livres de água, solo descoberto ou com cobertura vegetal.

# TEMPERATURA MÉDIA MENSAL

Estação Climatológica de Araxá Período: 1972 a 1996

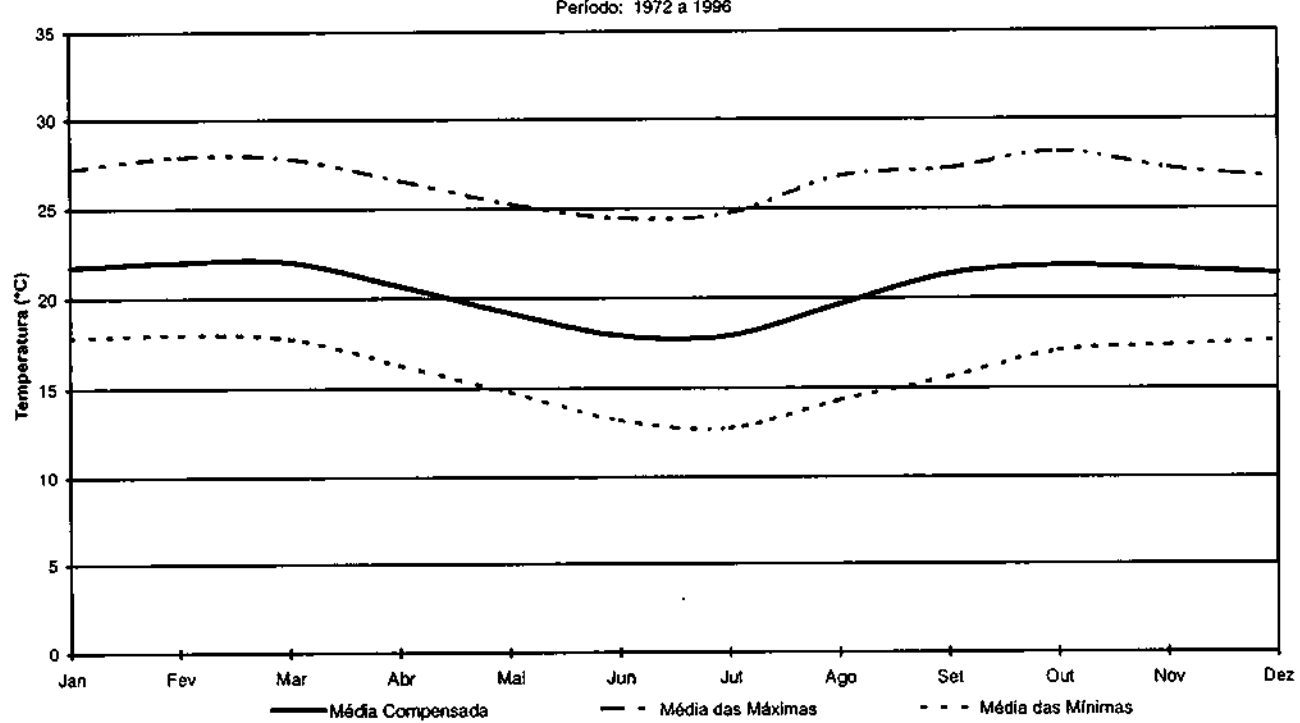


Figura 8 - Médias mensais compensadas, máximas e mínimas.

#### UMIDADE RELATIVA MÉDIA COMPENSADA Estação Climatológica de Araxá Período: 1972 a 1996

90,0 70,0 60,0 60,0 30,0 20,0 10,0

Figura 9 - Valores médios mensais.

Jun

Jul

Ago

Out

Nov

Dez

0,0

Jan

Fev

Mar

Abr

Isto ocorre porque o aparelho é instalado dentro do abrigo meteorológico, onde a exposição à radiação solar e aos ventos é prejudicada. Além disso, as condições de umidade e de temperatura no abrigo também são diferentes das que ocorrem no ambiente externo. Devido a essas distorções, optou-se por não utilizar os dados do atmômetro.

Os dados provenientes do tanque evaporimétrico apresentaram problemas, uma vez que ocorreram muitas falhas de leitura no período. O conjunto de dados válidos foi insuficiente para gerar uma série histórica adequada.

#### Vento

Os dados de vento obtidos para Araxá referem-se ao período 1972 a 1996 (direções e velocidades). Os ventos provenientes de leste predominaram na região durante todos os anos, com 30,4% do total das observações diárias. Seguiram-se em freqüência as direções N, NE e SE, representando, respectivamente, 16,6%, 11,5% e 10% do total observado. Os ventos provenientes de oeste (W, NW e SW) ocorreram com menor freqüência na área municipal.

Com relação à velocidade dos ventos, a média anual foi de 2,0 m/s para o período estudado. Os maiores valores mensais foram verificados em agosto e setembro, alcançando, em média, 4,7 m/s. Por outro lado, a menor velocidade média mensal, de 1,8 m/s, ocorreu no mês de janeiro. A figura 10 apresenta a rosa dos ventos e a variação das velocidades médias mensais ao longo do ano.

## 8.3.3 - Precipitação

Os dados pluviométricos da estação de Araxá foram obtidos junto ao INMET. A série abrange o período de 1917 a 1997, sendo que no período de 1960 a 1970 as leituras foram interrompidas. A série histórica que contém os anos completos (sem falhas) perfaz um total de 48 elementos.

O total pluviométrico médio anual para o período estudado de 1972 a 1996 (considerando-se o ano civil) foi de 1.562 mm. O ano mais chuvoso nesse período foi 1983, registrando um total de 2.031 mm. Por outro lado, o menor registro anual ocorreu em 1990, com 1.020 mm. Cabe observar que, devido à quantidade de falhas ocorridas ao longo da série, não foi possível avaliar a seca atípica ocorrida em grande parte da região sudeste no início da década de 1960.

O número médio anual de dias de chuva, para o mesmo período, foi de 124 dias. O máximo ocorreu em 1983, de 160 dias de chuva; já o mínimo, ocorrido em 1990, foi de 104 dias.

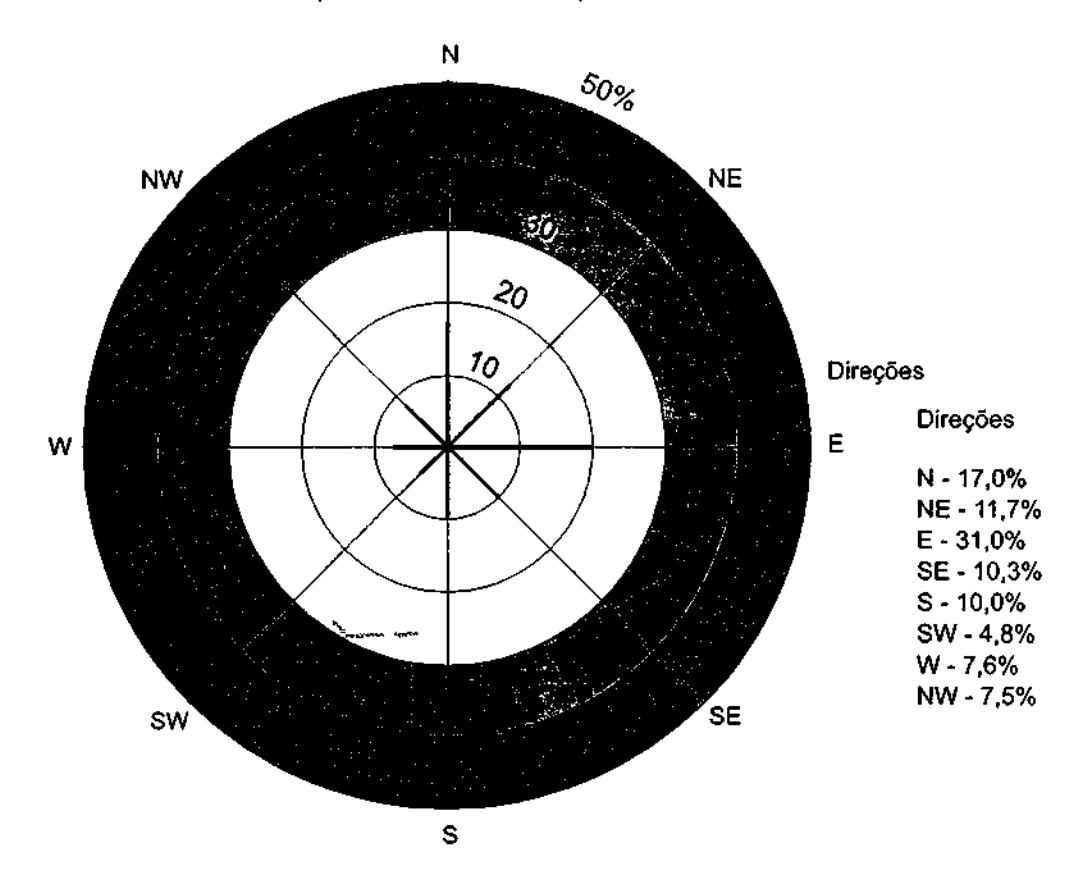
Quanto à distribuição anual das precipitações, Araxá possui regime pluviométrico tipicamente tropical, uma vez que ocorre uma grande concentração pluviométrica no verão e seca no inverno. O trimestre mais chuvoso, correspondente aos meses de dezembro, janeiro e fevereiro, apresentou precipitação total de 784 mm, contribuindo, em média, com cerca de 50% do total anual precipitado. Já o período seco se estende normalmente por 5 meses, de maio a setembro, representando menos de 10% das chuvas anuais. A Figura 11 apresenta os histogramas das precipitações médias mensais e do número médio de dias de chuva.

# 8.3.4 - Evapotranspiração Potencial

A evapotranspiração é entendida como a perda de água por evaporação do solo acrescida à que é transpirada pelas plantas.

A evapotranspiração real é a que ocorre em condições reais de umidade do solo e cobertura vegetal. Calculá-la é uma tarefa difícil, uma vez que a evapotranspiração real envolve processos complexos e extremamente dinâmicos, relacionados inclusive com organismos vivos, processos estes de difícil quantificação. Uma alternativa usualmente adotada para resolver este problema é a determinação da evapotranspiração potencial ou de referência, isto é, da que ocorreria se houvesse sempre água disponível na superfície vegetada e no solo. Sua estimativa pode ser obtida

# Freqüência Relativa das Direções do Vento Estação: Araxá (Período - 1972/1996)



### VELOCIDADE MÉDIA DOS VENTOS

Estação Climatológica de Araxá Período: 1972 a 1996

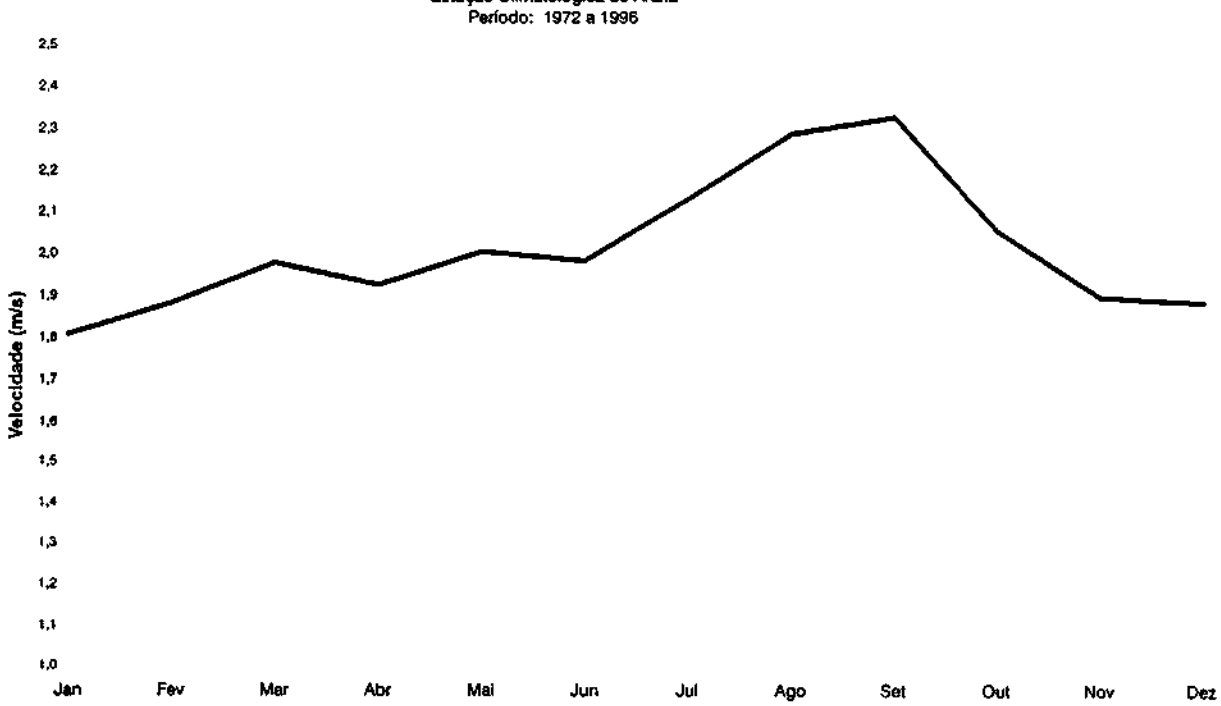
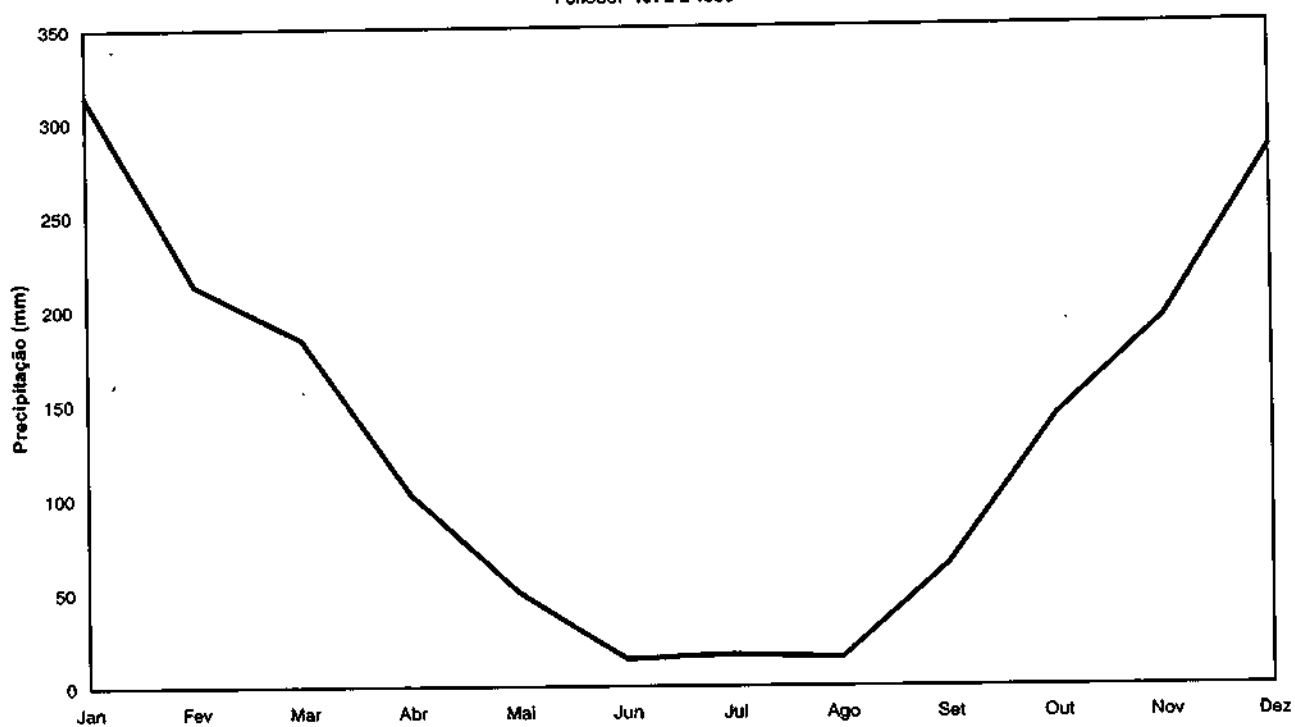


Figura 10 - Direções e velocidade dos ventos.

# TOTAIS PLUVIOMÉTRICOS ANUAIS

Estação Climatológica de Araxá Período: 1972 a 1996



# NÚMERO DE DIAS DE CHUVA

Estação Climatológica de Araxá Período: 1972 a 1996

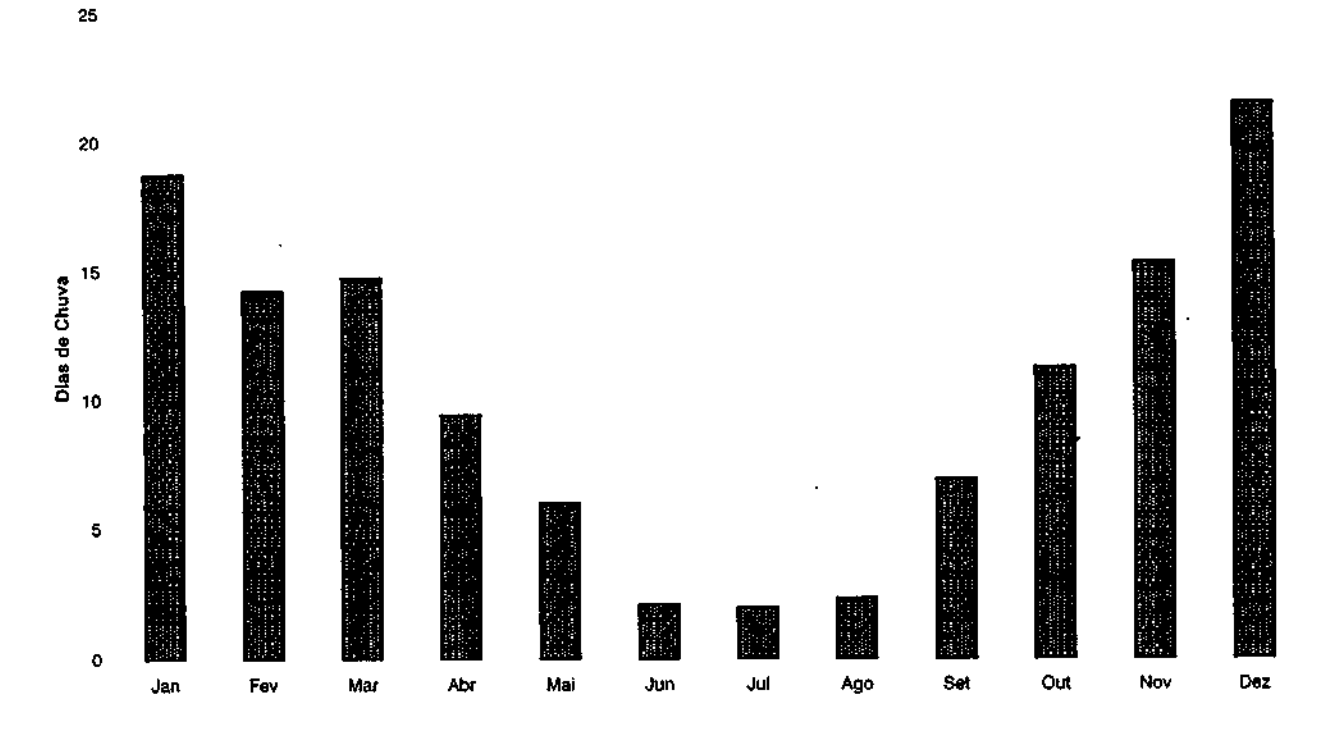


Figura 11 - Precipitações médias mensais e número médio de dias de chuva.

indiretamente a partir de modelos empíricos ou semi-empíricos, baseados em leis físicas relacionadas com os parâmetros meteorológicos intervenientes.

Uma vez que se dispõe de dados de temperatura para a estação de Araxá, foi realizada a avaliação da evapotranspiração potencial através da metodologia desenvolvida por Thornthwaite.

Thornthwaite (1948, in Villa Nova e Reichardt, 1989), a partir de estudos de correlação entre os dados de evapotranspiração medida e de temperatura do ar, elaborou a seguinte expressão empírica para o cálculo da evapotranspiração mensal:

 $ET_0 = b(Tm)^a$ 

onde:

ET<sub>a</sub> = evapotranspiração potencial (mm/mês);

b = fator de ajuste do comprimento do dia: b = N/12, onde N é o fotoperíodo, função do mês e da latitude do local:

Tm = temperatura média mensal (°C);

a é uma função do índice de calor I, dada por:

 $a = 67.5 \times 10^{9} \text{ f} - 7.71 \times 10^{5} \text{ f} + 0.01792 \text{ I} + 0.492$ 

onde:

$$I = \sum_{1}^{12} \left( \frac{Tm}{5} \right)^{1.91}$$

Para Araxá, obtiveram-se os seguintes resultados, a partir dos dados relativos ao período 1972 a 1996.

MÊS	JAN	FEV	MAR	ABR	MAI	JUN	JUL	AGO	SET	OUT	NOV	DEZ
Tm℃	21,7	22,0	22,0	20,7	19,2	17,9	17,9	19,7	21,3	21,8	21,6	21,3
Et <sub>o</sub> (mm)	100,3	90,0	94,5	76,5	63,7	53,2	55,3	68,9	84,2	95,6	95,0	96,5

A evapotranspiração total anual é 973,7 mm.

Na estimativa da evapotranspiração, foram utilizados os dados compensados de temperatura média mensal e anual.

# 8.4. Hidrologia Superficial

# 8.4.1 - Hidrografia

A rede de drenagem da área de influência do Barreiro de Araxá é comandada pelo rio Capivara. Ele nasce na Serra da Bocaina e termina na confluência com o rio Quebra Anzol.

O rio Capivara tem entre os seus tributários o ribeirão Tamanduá e o córrego do Sal. Os cursos que drenam a Estância do Barreiro são o córrego da Mata, o córrego Cascatinha e o córrego Baritina, que são afluentes do córrego do Sal. Este tem um curso de escoamento rápido, que funciona como receptor de esgotos da área do Barreiro.

A figura 12 mostra parte da bacia do rio Capivara e os cursos que drenam o município e a Estância do Barreiro de Araxá.

As sub-bacias do rio Capivara que estão sob influência direta das operações mínero-industriais realizadas pela CBMM e Arafértil são:

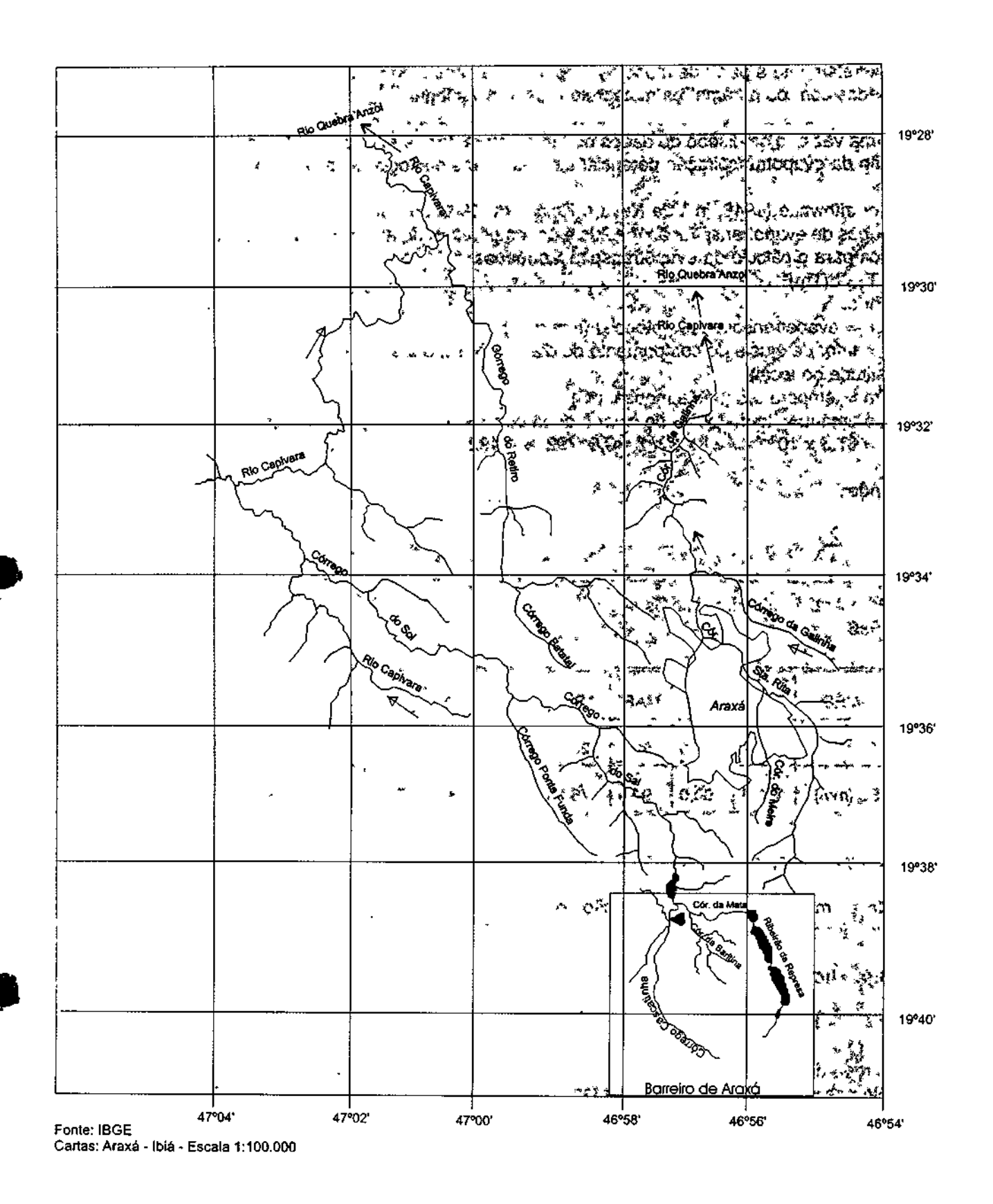


Figura 12 - Bacia do Rio Capivara.

## · Sub-bacia do Barreiro:

Córrego da Mata (diretamente pela CBMM- Área Industrial I); Córrego Baritina (diretamente pela CBMM e Arafértil); Córrego Cascatinha (diretamente pela Arafértil); Córrego do Sal (indiretamente).

# Sub-bacia do Ribeirão Pirapetinga (parte):

Córrego Santa Luzia e Ribeirão Pirapetinga (diretamente pela CBMM - Área Industrial II); Ribeirão Tamanduá (indiretamente).

Neste trabalho será abordada somente a sub-bacia do Barreiro. As figuras 13 e 14 mostram as fotos aéreas com a visão do Grande Hotel de Araxá e dos córregos Cascatinha, Baritina e da Mata tiradas em 1964 e 1986, respectivamente. Observam-se as alterações sofridas pelos córregos, ao longo do seus cursos, no decorrer deste período, devido às atividades mineradoras.

# 8.4.1.1- Características Hidrográficas e Ambientais da Sub-Bacia do Barreiro

# Córrego da Mata

O Córrego da Mata é o curso d'água que drena a Área Industrial I da CBMM. Neste córrego foram construídas as barragens de contenção de rejeitos e de abastecimento de água denominadas B2, B3 e B4. Ainda no Córrego da Mata, a jusante da barragem B4, está implantada uma barragem denominada D.

A figura 15 mostra o percurso do córrego e as barragens de contenção de rejeitos e de abastecimento de água.

O Córrego da Mata é afluente do Córrego da Baritina. O seu percurso atual e o local da confluência com o Córrego Baritina fazem com que ele não tenha influência direta na área do Complexo Geológico do Barreiro.

# Córrego Baritina

A bacia do córrego é ramificada e curta. A área de drenagem é de aproximadamente 4,64 km². O seu leito natural foi alterado com a construção de estruturas hidráulicas ao longo do curso.

As estruturas existentes no Córrego da Baritina e no seu pequeno afluente da margem direita são barragens que foram construídas com o objetivo de conter sólidos provenientes da área da mina da CBMM (barragens BM1 e BM2). Além da BM1, existem no Córrego da Baritina a barragem A e as barragens de gabiões (barragens B1, B2, B3, B4 e B5) localizadas próximo ao Parque das Águas. A barragem A foi construída no período de 7 a 8/1985 e as barragens de gabiões no período de 6/1986 a 5/1987.

As barragens vertem o ano inteiro, inclusive no período de estiagem.

Atualmente, o curso natural do córrego Triffon, afluente da margem esquerda do córrego Baritina, teve seu curso desviado pelas atividades de mineração da Arafértil, sendo deslocado diretamente para o córrego Baritina.

A figura 15 mostra o percurso do córrego e as barragens de contenção de sólidos.

O córrego da Baritina tem influência direta na área do Complexo do Barreiro.



Figura 13 - Foto aérea de 1964 da área do Barreiro.

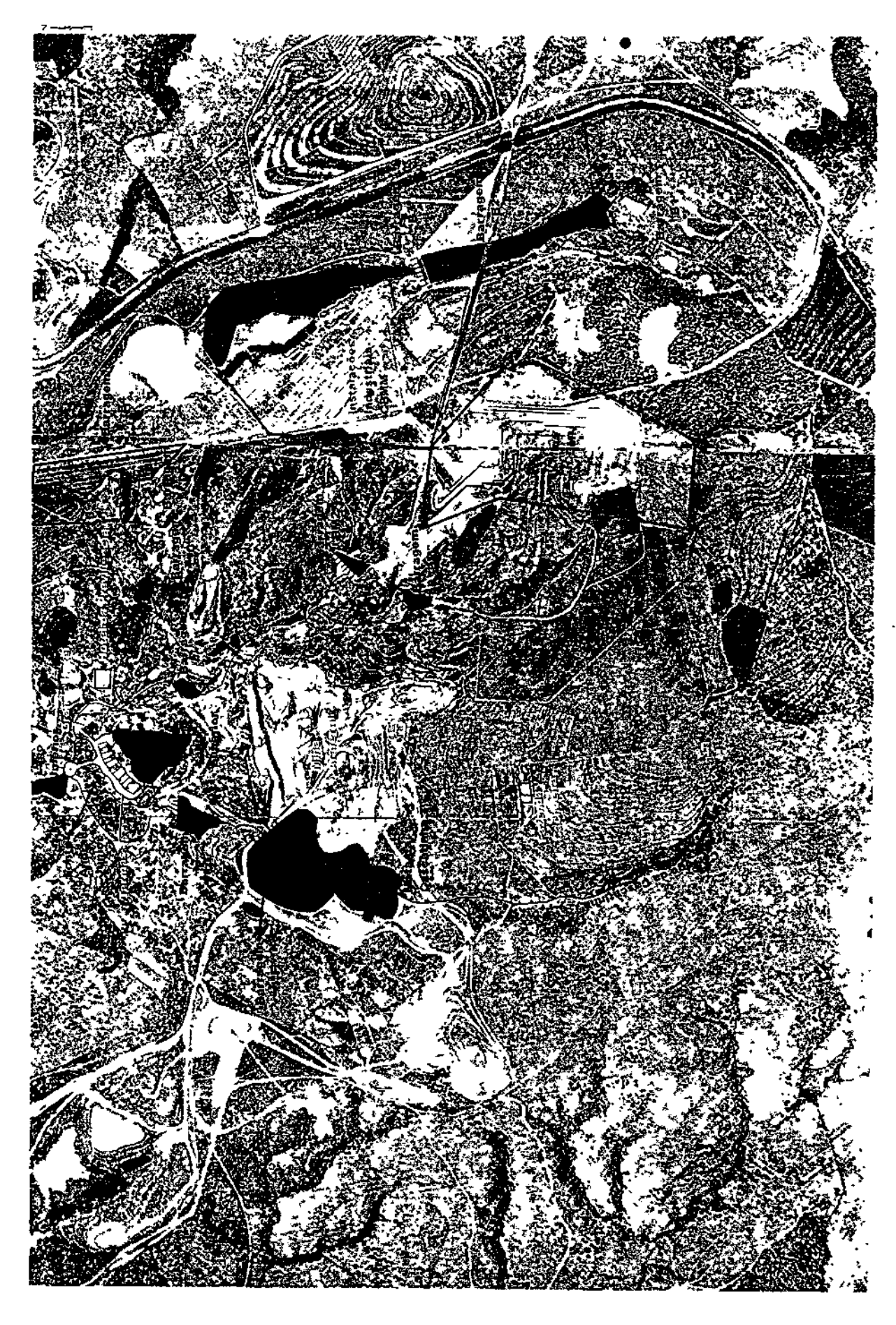


Figura 14 - Foto aérea de 1986 da área do Barreiro.

# Córrego da Cascatinha

A bacia do córrego é estreita e longa. A área de drenagem é de aproximadamente 5,82 km². A seção mais íngreme do córrego é a que passa dentro da Mata da Cascatinha com gradiente de até 428 m/km. A jusante da mata foram construídas as barragens E e F. A montante da mata o curso foi bastante alterado, devido às atividades de mineração da Arafértil (foto 15).

As barragens "E" e "F" foram construídas com o objetivo de atender ao convênio PRÓ-ARAXÁ, para a manutenção do nível freático, a jusante da mina, visando manter a vazão da fonte Dona Beja. Atualmente, as barragens "F" e "E" funcionam como receptores dos drenos da mina da Arafértil e do córrego dos Borges (afluente da margem esquerda, que foi desviado - ver figura 15). O lençol freático é interceptado pelo corte da mina, sendo a água canalizada para o lago "F' e a seguir para o lago "E" (fotos 5 e 6).

No ponto H (figura 15) observou-se, ainda, a existência de uma pequena barragem construída aparentemente para desviar o curso do córrego (foto 17).

Ao longo do trecho percorrido, todas as barragens vertem o ano inteiro, inclusive no período de estiagem.

# 8.4.2 - Avaliação das Disponibilidades Hídricas de Superfície

Os córregos Cascatinha e Baritina têm influência direta na área do Barreiro. Tendo em vista a ausência da série histórica dos dados básicos (cotas linimétricas e medições de descarga) dos córregos citados, necessitou-se adotar um enfoque regional para a avaliação quantitativa das disponibilidades hídricas.

A figura 16 mostra a situação da bacia do rio Capivara em relação às bacias mais próximas adjacentes consideradas neste trabalho: a do rio Dourados e a do rio Bagagem.

A figura nº 17 mostra a sub-bacia do Barreiro e os córregos das sub-bacias adjacentes.

# 8.4.2.1 - Levantamento dos Dados

Para o desenvolvimento de uma série de dados para um período representativo de maior extensão, no local de interesse, visou-se transferir as informações existentes das bacias vizinhas. A metodologia utilizada para a transferência será discutida no item 8.4.2.3.

Foram levantados os seguintes dados fluviométricos:

Para os córregos pertencentes às sub-bacias próximas e com a mesma tipologia (Souza, 1993) da sub-bacia do Barreiro, foi solicitada à COPASA-MG a série de cotas médias diárias e o resumo de medições de descarga. Os locais onde se coletaram as informações foram:

- · Córrego Feio:
- · Córrego Areia;
- · Córrego Fundo;
- Córrego Retiro; e
- · Córrego da Máquina, em Perdizes.

A localização dessas estações está apresentada na figura 16.

Na bacia do Alto Paranaíba foram selecionadas as estações pertencentes à rede hidrométrica do DNAEE que têm área inferior a 100 km² e com a tipologia mais semelhante à sub-bacia do Barreiro. São elas:

A Committee of the contract of

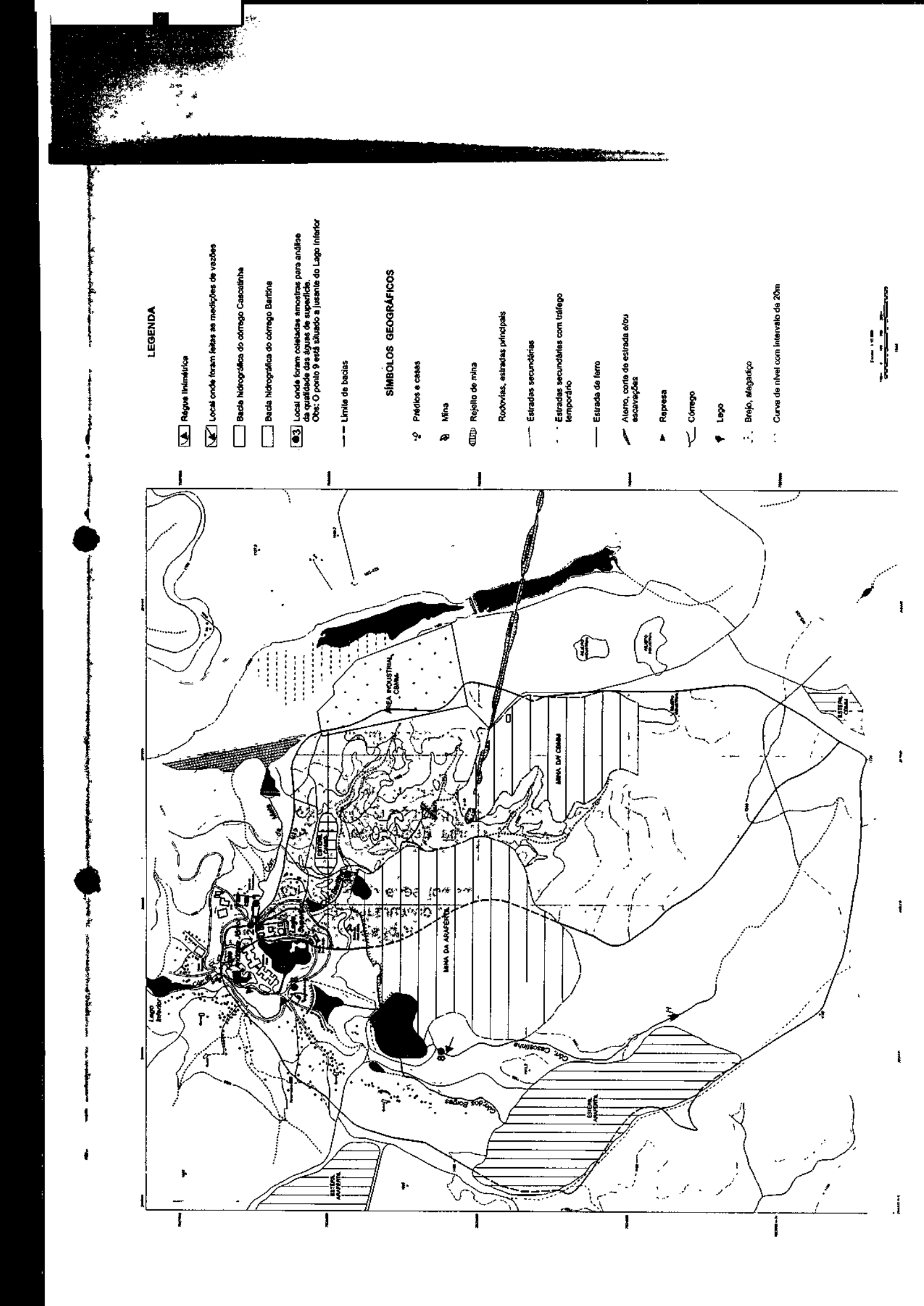


Figura 15 - Mapa Hidrológico.

Charqueada do Patrocínio, código 60100000, localizada no rio Dourados, com área de drenagem de 69 km² e operada a partir de 1952.

Iraí de Minas, código 60145000, localizada no rio Bagagem, com área de drenagem de 82 km² e operada a partir de 1952.

A localização dessas estações está apresentada na figura 16.

# 8.4.2.2 - Análise dos Dados Fluviométricos

Os postos da rede hidrométrica da COPASA têm por objetivo controlar o regime dos cursos d'água onde são feitas as captações de água. A série de cotas dos postos analisados situados nos córregos Feio, Areia, Fundo e Retiro encontram-se com falhas, sendo que em alguns casos as leituras são feitas apenas uma ou duas vezes por semana. O posto situado no córrego da Máquina, em Perdizes, foi descartado pelo fato de estar a régua linimétrica situada dentro do reservatório da barragem de captação, de modo que as leituras abaixo da crista do vertedouro foram abandonadas.

A análise dos dados de medições de descarga dos postos citados indicou uma variação expressiva na relação cota x descarga. Estas dispersões dos pontos plotados devem-se, evidentemente, às alterações no comportamento fluvial no local, decorrentes de sedimentos no leito, causando sensíveis variações em todos os parâmetros técnicos: cota, descarga, área, velocidade média, profundidade, etc. A estação situada no córrego Retiro apresentou a melhor relação cota x descarga e foi considerada a melhor base para a transferência das informações para a sub-bacia do Barreiro.

Os postos do DNAEE apresentaram a série de cotas médias diárias mais extensas (1952 a 1996) e com menos falhas.

O posto fluviométrico de Charqueada do Patrocínio foi descartado, pois a análise dos dados de medições de descarga correspondentes ao período de operação (274 medições de descarga) indicou uma variação expressiva na relação cota x descarga. Estas dispersões devem-se também às alterações no comportamento fluvial do local.

O posto fluviométrico de Iraí de Minas apresentou a melhor série de dados fluviométricos. No período completo de operação, foram feitas 251 medições de descarga. A relação cota x descarga mostrou-se mais estável do que o posto Charqueada do Patrocínio, embora tenham sido evidenciados alguns períodos com variação do "datum" das réguas e do comportamento fluvial do leito (decorrentes de sedimentos). Estas alterações levaram à definição de nove curvas-chave. A partir destas curvas-chave foi produzida uma série de vazões médias diárias que abrange o período de 1952 a 1996, com poucas falhas.

O Quadro 2, a seguir, mostra o grau de aproximação entre as medições de descarga e os valores obtidos na série para os dias correspondentes ao período de operação. O valor médio do período obtido evidencia que as curvas ajustam-se bem aos valores obtidos nos dias das medições de descarga. Cumpre observar que são perfeitamente compreensíveis os desvios maiores encontrados nos dias de descargas mais expressivas.

# 8.4.2.3 - Definição da série histórica

Após a análise de todos os dados disponíveis, chegou-se à conclusão de que os dados dos postos fluviométricos Iraí de Minas (DNAEE) e Retiro (COPASA-MG) eram a melhor base de dados aceitável para o presente estudo.

Para a transferência de vazões entre as bacias, utilizou-se a metodologia desenvolvida por Riggs, snt. A partir da correlação entre as medições de descarga do posto Retiro e as vazões do posto Iraí de Minas simultâneas, ou seja, ocorridas no mesmo dia, definiu-se uma equação de transferência.

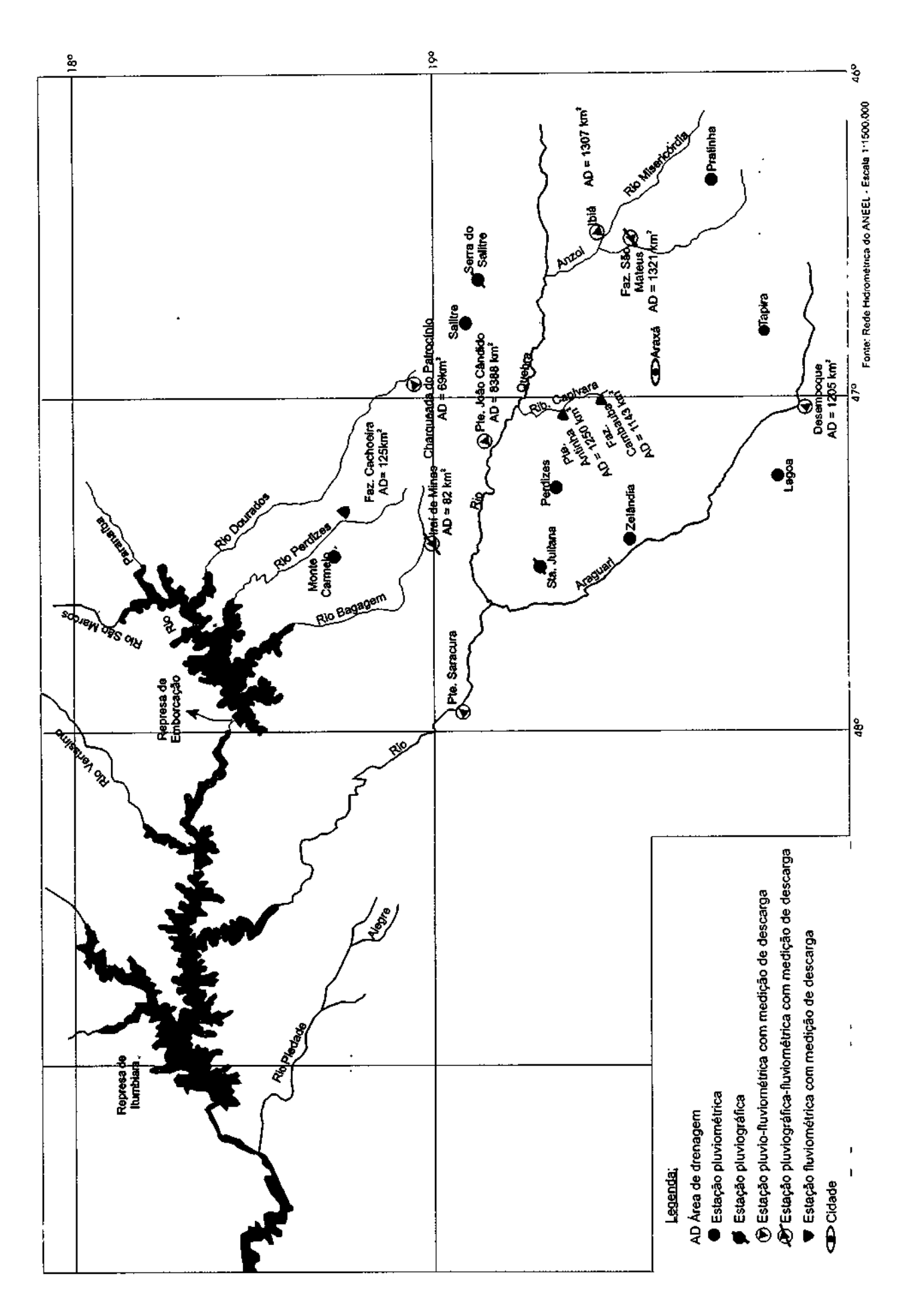


Figura 16 - Bacias dos Rios Capivara, Dourados e Bagagem.

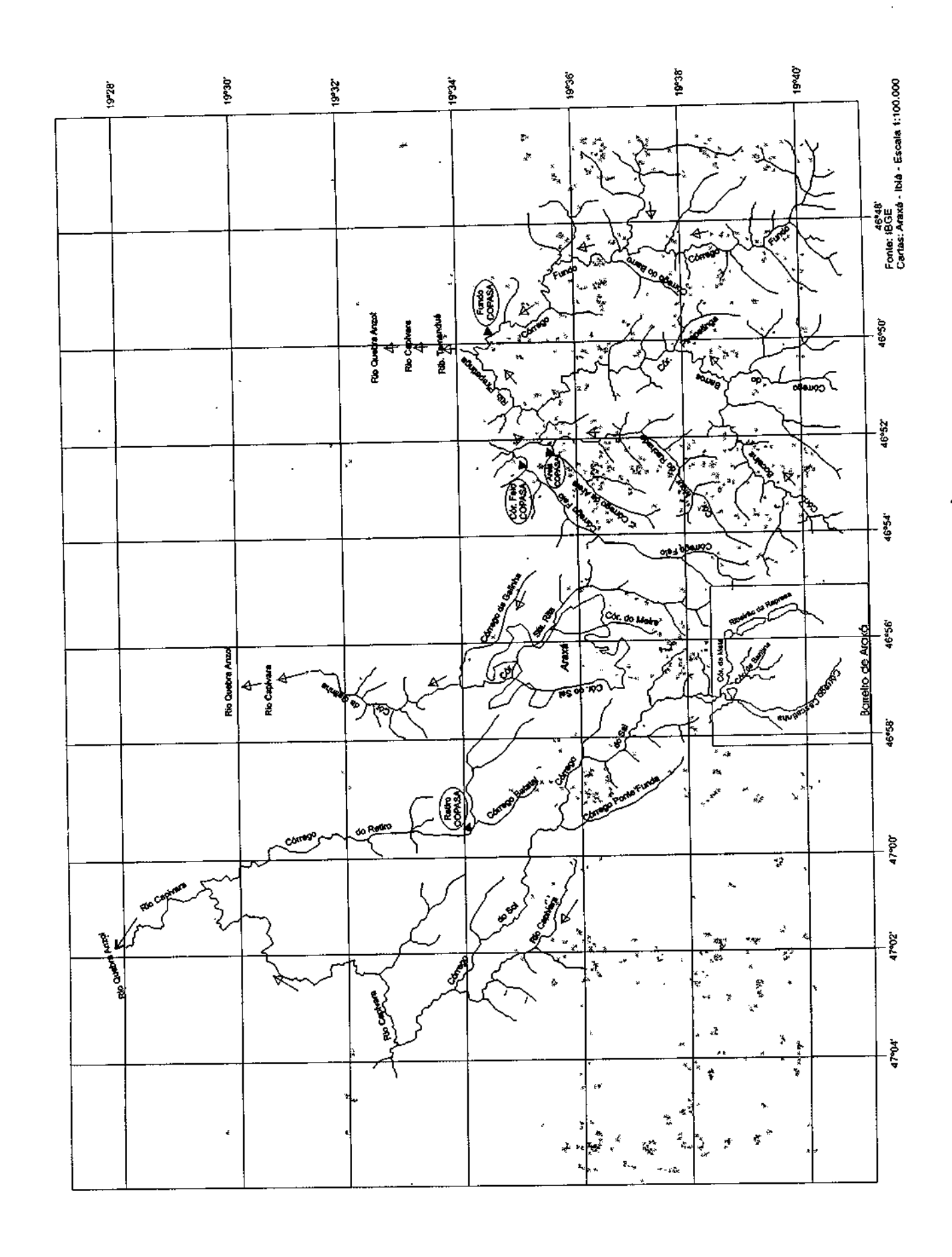


Figura 17 - Sub-bacía do Barreiro.



Data	Medições de	Vazóes	Relação	
	vazão	calculadas		
12/10/52	0,782	0,735	1,06	
22/05/53	0,622	0,55	1,13	
04/04/54	1,64	1,7	0,96	
26/08/54	0,2545	0,43	0,59	
22/03/55	1,75	1,65	1,06	
15/06/55	0,7395	0,77	0,96	
21/08/55	0,46775	0,49	0,95	
18/12/55	7,74	8,39	0,92	
12/09/56	0,9855	0,705	1,40	
16/05/57	3,705	3,3	1,12	
10/07/57	1,635	1,55	1,05	
01/03/58	3,84	4,08	0,94	
19/05/58	1,705	1,65	1,03	
21/05/59	1,065	1,18	0,90	
20/06/59	1,17	1,02	1,15	
18/08/59	0,746	0,861	0,87	
09/03/60	1,42	1,95	0,73	
17/05/60	1,019	1,35	0,75	
17/08/60	0,6995	0,805	0,87	
24/01/61	1,92	1,85	1,04	
22/04/61	1,73	1,65	1,05	
23/03/62	3,66	3,15	1,16	
23/05/62	1,04	0,68	1,53	
27/02/64	1,63	1,62	1,01	
09/09/64	0,346	0,634	0,55	
06/07/65	1,295	1,46	0,89	
09/08/65	2,48	2,55	0,97	
23/11/65	2,495	2,72	0,92	
10/01/66	13,5	13,7	0,99	
20/06/66	1,65	1,55	1,06	
26/07/66	1,33	1,31	1,02	
12/08/66	1,24	1,19	1,04	
22/09/66	1,19	1,17	1,02	
27/10/66	1,12	1,13	0,99	
09/11/66	1,45	1,49	0,97	
22/11/66	2,45	2,33	1,05	
09/12/66	1,16	1,17	0,99	
21/03/67	3,725	3,92	0,95	
21/04/67	2,2	2,18	1,01	
24/06/67	1,495	1,5	1,00	
15/07/67	1,36	1,36	1,00	
12/08/67	1,155	1,19	0,97	
16/09/67	1,115	0,94	1,19	
19/10/67	0,8205	0,724	1,13	
16/12/67	2,32	2,4	0,97	
21/02/68	2,65	2,89	0,92	
04/07/68	0,899	1	0,90	
02/10/68	0,685	0,532	1,29	
30/10/68	0,8125	0,647	1,26	

Data	Medições de	Vazões	Relação
	vazáo	calculadas	-
13/05/69	0,5525	0,555	1,00
15/07/69	0,3765	0,44	0,86
07/08/69	0,327	0,374	0,87
09/09/69	0,216	0,22	0,98
08/10/69	0,3155	0,352	0,90
19/11/69	1;86	1,73	1,08
18/12/69	2,86	2,78	1,03
18/02/70	2,23	2,21	1,01
09/11/70	1,235	1,18	1,05
01/12/70	1,29	1,1	1,17
25/06/71	0,535	0,396	1,35
25/08/72	0,3795	0,542	0,70
16/10/72	1,42	1,45	0,98
22/01/73	2,1	1,91	1,10
13/02/73	3,275	3,25	1,01
18/03/73	3,085	3,12	0,99
17/04/73	3,34	3,48	0,96
24/06/73	1,42	1,4	1,01
18/08/73	1,04	1,18	0,88
17/01/74	2,07	1,91	1,08
07/02/74	1,53	1,43	1,07
11/03/74	2,83	2,69	1,05
06/04/74	1,755	1,69	1,04
05/06/74	1,7	1,73	0,98
13/09/74	0,845	0,8	1,06
09/10/74	0,96	0,92	1,04
18/12/74	2,01	1,7	1,18
26/12/74	4,68	4,7	1,00
18/01/75	1,37	1,35	1,01
14/02/75	1,32	1,35	0,98
15/03/75	0,88	1,04	0,85
20/03/75	1,15	1,08	1,06
22/05/75	0,859	0,96	0,89
18/06/75	0,717	0,88	0,81
20/08/75	0,487	0,724	0,67
17/01/76	1,22	1,2	1,02
23/01/76	0,987	1	0,99
12/02/76	0,976	0,88	1,11
14/03/76	0,946	0,96	0,99
10/04/76	0,805	0,724	1,11
14/06/76	0,667	0,61	1,09
12/08/76	0,421	0,324	1,30
21/10/76	0,54	0,496	1,09
08/12/76	0,955	0,88	1,09
14/01/77	0,69	0,648	1,06
21/02/77	0,777	0,61	1,27
12/04/77	1,38	1,39	0,99
10/06/77	0,791	0,71	1,11
12/08/77	0,228	0,332	0,69

Quadro 2 - Relação entre as vazões medidas e calculadas.

	Data	Madi					
l		, redig	ões de	Vaző	es .	-	
/	13/10/77	va	zão	calcula	daa	Relaç	ãο
l t	08/12/77		0,514				- 1
·	11/01/5		1,71		356	1,4	14
- 1	11/01/78		2,17		,47	1,1	
]-	12/03/78		1,58	1	.96	1,1	
<i>-</i>	10/05/78			1	82		_
<u> </u>	15/07/78		1,08		26	0,8	- 4
- 1	09/09/78		1,07		04	0,86	
ļ	08/11/78		,914	1,0		1,03	ı
<u> </u>	2/01/79		778	0,83		0,85	
[ 1	3/03/79	2	,63			0,93	
$\int_{0}^{\infty} \tilde{1}$	2/05/79	3	,17	3,4	-L	0,76	
1 12	2/07/79	1.	41	4,18	3/	0,76	
1 21	10079		26	2	1	0,71	
10	/09/79	1,3		1,64		0,77	
1 - 10	/11/79	1,3		1,22		1,03	
I = I = IV	01/80			1,39			
12/	03/80	2,3		2,69		0,96	
10/0	7/80	1,48		1,51		,89	
12/1	1/80	1,02		0,902		,98	
17/0	1/81	1,78	<u></u>			13	
21/03	/81	3,35		1,73	1,	03	
10/05	/81	3,13		4	0,8		
10/09	/01	1,21		3,6	0,8		ŀ
07/11	011	1,07		1,07	1,1		Į.
07/11/	811	1,89		0,94	1,14		L
21/01/8	32	9,43	1	,75	1,08		L
18/03/6	2			,87			Г
17/05/8	2	3,69		33	0,96	1	M
06/11/8	<u></u>	2,24		20	0,85	Ī	Γ
13/01/83		1,28		200	0,95		٠.
12/03/83		3,91	1,3		0,95		
16/05/83	3	.43		4 6	.99		
12/07/83		,44	3,0	9 1	.12		
16/02/84	_	88	2,3	1 1	04		
10/02/84		,6	2,1	0	90		
10/04/84			2,46	1,0			
12/06/84			2,1		<b>#</b>		
07/08/84	1, 0,97	4	1,21	0,9			
16/10/84		_1	0,926	0,9			
10/02/85	1,02		0,862	1,05			
15/04/85	2,65	L	2,67	1,18	1		
17/06/85	2,1			0,99	I		
11/08/85	1,37		2,14	0,98			
12/10/85	1,07		1,36	1,01			
19/02/86	1,62		1,07	1,00			
16/04/5	2,42		;65	0,98			
16/04/86	1,34	2	,61	0,93			
17/06/86	0,827		25				
12/08/86		0,9		1,07			
20/10/86	0,757	0,86	-	0,83			
19/06/87	0,461	0,58	=+	0,88			
18/08/87	1,3			0,79			
25/10/87	1,22	1,20		,01			
	1,81	1,03	1 1	.18			
		1,65		10			
		_					

F						
- 1	Data	Medic	ñon d	7		
<b>-</b>		Va	ves de		ões	Rela
	9/01/88	· a.		calcul	adas i	neia
	7/03/88					
2	1/07/88		1,95			0
21	/09/88		1,2			0,
20	/02/80		0,745		118	1,
19	04/00		1,79			1,1
19/	06/00		1,31			1,0
23/	00/09		1.06			0,9
21/0	0/89	0,				0,93
03/4	0/92		2			0,98
03/1	2/92	4	06			1,34
04/06	5/93			4,0	9	0,99
22/08	/93			2,3	2	0,99
08/10	/94			1,49	<del>-</del>	
08/03/	95					0,96
01/06/	95				<b>†</b>	1,53
11/09/9	5					0,98
15/11/9	5					0,97
17/01/9	6	1,1		0.926		,82
03/05/96	<del></del>					,19
30/07/96	<del> </del>	0,759				22
20/11/96	<del> </del>	0,27		0,006	0,	94
		2,05			0,8	2
				1,57		
dia						1
		1				1
					0,99	1
						1
						<i>!</i>
	1 2 20 19/ 19/ 23// 21/0 23// 21/0 03/1 04/06/ 08/03/ 01/06// 11/09/5 17/01/9 03/05/96 30/07/96	19/01/88 17/03/88 21/07/88 21/09/88 21/09/89 19/04/89 19/06/89 23/08/89 21/08/92 03/12/92 04/06/93 22/08/93 08/10/94 08/03/95 11/09/95 11/09/95 15/11/95 17/01/96 03/05/96 20/11/96	19/01/88 17/03/88 21/07/88 21/09/88 20/02/89 19/04/89 19/06/89 23/08/89 03/12/92 03/12/92 4 04/06/93 22/08/93 1,08/10/94 01/06/95 1,7 11/09/95 0,43: 15/11/96 1,1 03/05/96 0,759 30/07/96 0,27 20/11/96 2,05	19/01/88 1,78 17/03/88 1,95 21/07/88 1,95 21/09/88 0,745 20/02/89 1,79 19/04/89 1,31 19/06/89 1,06 23/08/89 0,941 21/08/92 2 03/12/92 4,06 04/06/93 2,3 22/08/93 1,43 08/10/94 1,53 08/10/94 1,53 08/10/94 1,53 01/06/95 1,61 01/06/95 1,73 11/09/95 0,437 15/11/96 2,13 03/05/96 0,759 30/07/96 0,277 20/11/96 2,05	19/01/88	19/01/88

Quadro 2 - Relação entre as vazões medidas e calculadas (continuação).

Com base nesta equação, a média das vazões médias mensais para o período de dados disponíveis foi transferida para o posto Retiro.

A figura 18 mostra a correlação entre os postos Iraí de Minas e Retiro.

O Quadro 3 mostra as vazões médias do posto Iraí de Minas, a equação de transferência e as vazões resultantes em Retiro.

Durante a operação do posto Retiro não foi feita nenhuma medição de descarga nos córregos que drenam a região do Barreiro. Assim, o único recurso disponível é a transferência entre as subbacias com base nas respectivas áreas de drenagem.

Para transferir as vazões de Retiro para a região do Barreiro, utilizou-se a seguinte equação:

Vazão afluente na região do Barreiro = Vazão Posto Retiro x AD(Retiro)

onde:

AD(BA) = Área de drenagem do Barreiro de Araxá = Somatório das áreas de drenagem dos córregos Cascatinha e Baritina = 10,4 km².

AD(Retiro) = Área de drenagem do Posto Retiro = 13,8 km².

O Quadro 4 mostra as vazões específicas mensais (preliminares) resultantes da região do Barreiro.

# 8.4.3 - Levantamento de Campo

Nesta etapa do trabalho, foram instaladas réguas linimétricas no córrego Baritina e na saída do Lago Superior. No córrego Cascatinha não se instalaram as réguas, pois a altura da lâmina d'água é muito pequena, inviabilizando as leituras. Foram feitas medições em dois pontos do córrego Cascatinha e em um ponto no córrego Baritina (foto 16).

A figura 15 mostra os locais onde foram instaladas as réguas linimétricas e os pontos onde foram feitas as medições de vazão. O Quadro 5 apresenta os valores das vazões medidas.

# 8.4.4 - Recomendações

O método utilizado para a estimativa da vazão específica mensal na região do Barreiro de Araxá não apresenta grande precisão. Recomendamos que se prossiga com a campanha de medições de vazão e leituras das réguas linimétricas nos próximos anos. Só com, pelo menos, dois anos de campanha, é possível gerar uma série de vazões confiável.

Cabe ressaltar que os resultados obtidos nas campanhas de medição de vazão dos córregos Cascatinha e Baritina, realizadas durante este trabalho, apresentaram algumas incoerências. O córrego Cascatinha, que possui uma área de drenagem aproximadamente 21% superior ao Baritina, apresentou uma vazão significativamente inferior.

Esta incoerência não pode ser esclarecida com as informações disponíveis durante a realização deste trabalho. As fotos e os levantamentos existentes da região não são recentes. Deste modo, recomenda-se que seja feita uma inspeção completa, inclusive com medições de descarga em vários pontos, desde as nascentes dos dois córregos até as proximidades do Grande Hotel.

# 8.5 - Qualidade das Águas de Superfície

Os estudos de qualidade das águas de superfície da área do Barreiro de Araxá foram realizados com os seguintes objetivos:

 avaliar as condições qualitativas e níveis de poluição em função da ocorrência de fontes contaminantes;

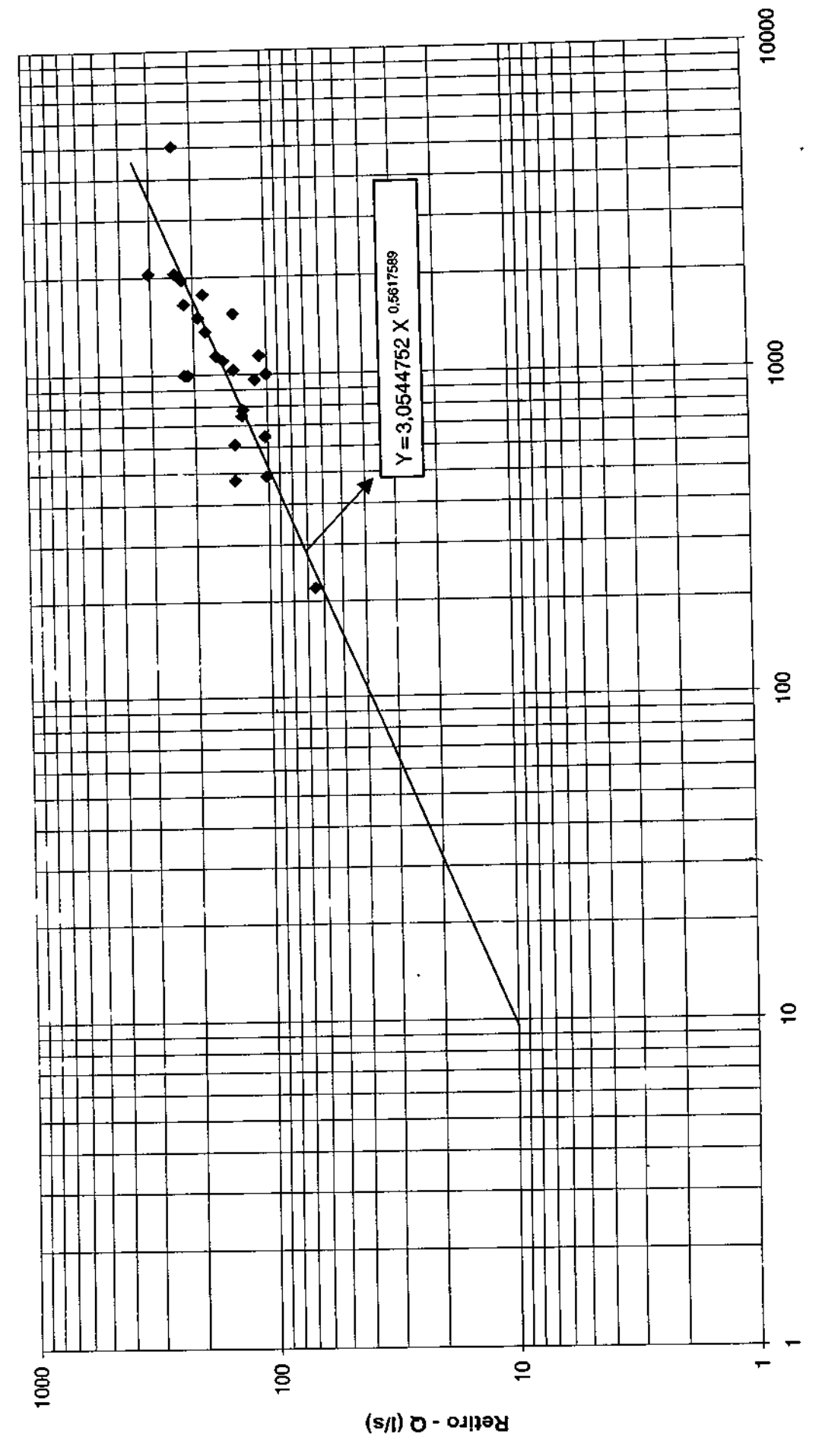


Figura 18 - Correlação entre os postos Iraí de Minas e Retiro.

tivos aos Folhelhos Ponta Grossa. Observaram ainda a ocorrência de "chapinhas" de cangas, que é um produto de intensa laterização que afetou estas litológias, sendo um fenômeno típico dequela área.

Para Northfleet, Medeiros e Mühlmann (1969) esta unidade é constituída fundamentalmente por um pacote de folhelhos e siltitos cinza-escuro, localmente betuminosos, com finas intercalações arenosas nas partes superior e inferior.

Gonçalves & Schneider (1970) identificaram a Formação Ponta Grossa, como fundamentalmente constituída por folhelhos, siltitos e arenitos finos, de cores cinza a cinza-esverdeado, alterados em superfície por intensa laterização.

Mühlmann et alii (1974) referiram-se a esta formação, como constituída por folhelhos, folhelhos silticos e siltitos cinza-escuro e pretos, localmente carbonosos e fossiliferos, micáceos, com intercalações de arenitos cinza-claro, finos, argilosos, micáceos, localmente formando bancos de até 5 m de espessura. Informaram que na borda noroeste da bacia os arenitos apareceriam geralmente em finas camadas bem individualizadas dentro da seção argilosa.

Segundo Schneider et alii (1974) distinguem-se em subsuperficie na região de Apucarana (Paraná), onde se preservou a seção mais completa, três fácies: uma inferior siltico-argilosa, uma média essencialmente argilosa e uma superior siltico-arenosa, predominando tanto em superfície como em subsuperfície a fácies siltico-arenosa. Através do relevo de cuestas suaves com superfícies arredondadas, caracterízaram (Costa et alii, 1975) a Formação Ponta Grossa, constituindo-a de folhelhos, siltitos e arenitos finos, cores avermelhadas, amareladas e pardas, apresentando seus sedimentos alterados por intensa laterização.

Ribeiro Filho et alii (1975), litologicamente, caracterizaram esta unidade como sendo constituída por um pacote de sedimentos finos, dominantemente siltico-argilosos, folhelhos finamente laminados, ricos em estruturas orgânicas e abundante associação fossilifera, de idade devoniana, desenvolvendo relevos de planalto pouco elevados a ondulados, à medida que são dissecados pela erosão.

Para Schobbenhaus Filho et alii (1975b), a caracterização da Formação Ponta Grossa se faz com ocorrência de folhelhos verdes a cinza-esverdeado, com intercalações de arenitos finos, às vezes cimentados por óxido de ferro e com níveis piritosos. No topo da seqüência constataram a ocorrência de níveis de arenitos brancos, grosseiros, localmente conglomeráticos, contendo seixos de quartzo leitoso.

Segundo Correa et alii (1976), a Formação Ponta Grossa seria constituída por clásticos finos, de cores acinzentadas quando inalterados e, avermelhados em superfície, devido a intensa laterização que afetou esses sedimentos, sendo comum a ocorrência de esferulitos ferruginosos no topo da formação.

Andrade & Camerco (1978 apud Andrade & Camarço, 1980) denominaram de Formação Ponta Grossa, na área leste de Iporá-Amorinópolis, no Estado de Goiás, aos sedimentos compreendidos entre a Formação Furnas e os diamictitos e arenitos da parte basal da Formação Aquidauana. Esta sequência sedimentar foi dividida informalmente em três membros: Inferior, Médio e Superior. O Membro Inferior inicia-se com conglomerado basal, capeado por arenito roxo-avermelhado, granulação fina, com intercalações de siltitos e folhelhos, passando no topo para um arenito de cor cinza-avermelhado, de granulação fina a média. O Membro Médio seria constituido por arenitos avermelhados, predominantemente de granulação média a grosseira, com intercalações de camadas de arenitos finos, argilosos, bastante micáceos. O Membro Superior teria na sua parte basal um arenito fino, bem laminado, gradando para folhelho cinza-escuro quando redutor e, folhelho arroxeado quando oxidado. Os autores deste relatório consideram a Formação Ponta Grossa constituída predominantemente por arenitos finos a muito finos, micáceos, finamente estratificados, cores cinzaesverdeado a amarelado, formando às vezes bancos com 3 a 5 m de espessura, intercalados com siltitos cinza-esverdeado, argilosos, finamente estratificados, e folhelhos cinza, micromicáceos, físsil, localmente siltico. Os arenitos registram uma maior freqüência nas porções mais basais e os folhelhos em direção ao topo da sequên-

## 1.2.2.9.3.2 - Distribuição na área e espessura

A Formação Ponta Grossa constitui-se na unidade superior do Grupo Parana e sua distribuição areal na Folha SD.21 Cuiaba ocorre como uma faixa relativamente estreita e descontínua, devido a condições estruturais ou erosivas, onde suas exposições estão recobertas pelas Formações Aquidauana, Botucatu e Cobertura Detrito-Laterítica. A unidade em questão aflora ao sul da Chapada dos Guimarães (SD.21-Z-C), em faixa estreita, de direção oeste-leste, com extensão de 50 km e largura média em torno de 10 km. Volta a expor-se na cidade de Dom Aquino, porção sudoeste da Folha SD.21-Z-D, em faixa aflorante de direção norte-sul, onde se constata que seus maiores desenvolvimentos transversais atingem uma largura de 30 km, mostrando seus limites meridionais, adentrando para a Folha SE.21 Corumbá. Ocorre ainda na porção leste do mesmo mosaico, representada através de manchas de contornos irregulares, controladas em parte por falhamentos normais, com evidente prolongamento para as Folhas SE.21-X-B e SD.21-Y-C. É constatada na interseção do prolongamento oriental da serra da Fica-Faca com a MT-130 (SD.21-Z-B), afterando de modo restrito e pouco espesso, não apresentando expressão de mapeabilidade na escala adotada. Suas exposições são ainda constatadas, 10 km ao norte do rio Culuena, ao longo da MT-130 (Folha SD.21-Z-B), quando mostram uma excepcional discordância angular e litológica com o Grupo Cuiabá. Sua espessura é de difícil avaliação em superfície, mascarada que está pela intensa erosão atuante sobre seus litótipos e comprometida pelo seu comportamento estrutural,

Almeida (1954), entre a região de Chapada dos Guimarães e Búriti, mediu na borda da serra, cerca de 90 m para a espessura da parte superior da sua "Série" Chapada. Schneider et alii (1974) mendionaram que as maiores espessuras constatadas foram de 643 m no poço 2-AP-1-PR (Apucarana-PR) e 467 m no poço 2-AG-1-MT (Alto Garças, MT). Em superfície admitiram ficar estes sedimentos entre 200 e 300 m. Na Folha SE.22 Goiânia, na região sul de Amorinópolis, Andrade & Camarço (1980), verificaram o total de 210 m para esta unidade.

Corréa et alii (1976) estimaram 70 m para esta formação, obtendo este valor através da diferença de cotas entre seus contatos superior e inferior. Esta espessura conforme-suas argumentações tende a aumentar para NNE. No perfil geológico realizado entre as cidades de Dom Aquino e Poxoréo, o presente mapeamento constatou uma espessura para esta formação de 60 m, próximo da priméira cidade. Na fazenda Lagoinha, Folha SD.21-Z-C, a leste da cidade de Chapada dos Guimarães, mediram-se 57 m destes sedimentos.

## 1.2.2.9.3.3 - Posição estratigráfica

A posição estratigráfica desta unidade é assunto já bem esclarêcido, com excelentes dados transpostos na literatura geológica. É colocada, via de regra, sobreposta à Formação Furnas e sotoposta à Formação Aquidauana. O contato inferior com a Formação Furnas se faz de maneira gradacional e concordante ou por falhamentos de gravidade. Superiormente acha-se em contato discordante erosivo, ou através de falhas de gravidade com a Formação Aquidauana e localmente restrito com a Formação Botucatu, evidenciado sobejamente a norte de Dom Aquino e a leste de Poxoréo (Folha SD 2 1-Z2 D). De notável expressão morfológica é a sua relação tectônica côm\* os sedimentos da Formação Bauru, através da Falha de Poxóréo; quando o pacote sedimentar desta última coloca-se em nível inferior aos sedimentos devonianos Ponta Grossa. É ainda recoberta discordantemente e localmente contatando por falha, com a Formação, Botucatu, em faixas restritas a oeste da cidade de Chapada dos Guir marães (SD.21-Z-C), Encontra-se encoberta pela Cobertura De trito Lateritica (TQdl), nas Folhas SD.21-Z-C ေSD>21-Z-D Competition ao tempo de deposição desta unidade, Daeimon et alii (1967 apud Correa et alii, 1976), ao estudarem a distribuição dos esporomorfos do Devoniano, concluíram pela deposição dessa formação do Emsiano ao Frasniano.

Já Northfleet, Medeiros e Mühlmarin (1969) e Schneider et al. (1974) relataram que a idade devoniana e eceltar pela maiolia do autores, tendo suporte na abundante fauna de trilobitas, praquiopo des e quitinozoários registrada.

des e quitinozoários registrada.

Mühlmann et alii (1974) observaram ter esta unidade uma rique za tanto em macrofosseis como em microfosseis; informaram alii

da que o zoneamento bioestratigráfico indicou que os sedimentos mais antigos da formação correspondiam aos Andares Emsiano e Ei-feliano. Para a borda noroeste da bacia os seus sedimentos sílticos é pertenceriam aos Andares Givetiano e Frasniano, assentando diretamente/sobre a Formação Furnas. Os autores deste relatório, alicerçados nas diverses opiniões e trabalhos de inúmeros pesquisadores, que se dedicaram à questão, consideram esta unidade com idade devoniana, distribuída do Emsiano (Devoniano Inferior) ao Frasniano (Devoniano Superior).

# 1,2.2.9.3.4 — Litologias e estruturas

A Formação Ponta Grossa morfologicamente se apresenta bem refletida em imagem de radar, onde a distribuição de clásticos finos em toda área revela geralmente um relevo dissecado, com formas onduladas, elevações não muito proeminentes, com topos aguçados em áreas acidentadas, drenagem dendrítica e mudança na vegetação, possibilitando sua fácil identificação com relação às formações que contata.

<sup>3</sup> Nesta Folha ao milionésimo tem-se a partir da cidade de Chapada dos Guimarães, no sentido leste, uma predominância dos arenitos finos a muito finos, com intercalações de siltitos micáceos e folhelhos, as quais tendem gradativamente a aumentar nas proximidades de Dom Aquino, sendo relacionadas às partes mais basais da formação. Entre Dom Aquino e Poxoréo, a grosso modo, pode-se equiparar estas intercelações, com ligeiro predomínio para a fração pelítica. De Poxoréo, em direção aos limites orientais da Folha SD.21 Cuiabá, há uma incidência major de folhelhos com siltitos e argilitos subordinados, admitindo-se estarem em posição mais superior da unidade. Nesta última região, intensa laterização mascara suas exposições. A SSE de Poxoréo, as frequentes intercalações entre arenitos, siltitos e folhelhos, com perceptivel ascendência dos clásticos finos laminados, no caso siltitos e folhelhos, sobre a primeira litologia, foram interpretados como deposições relacionadas às frações intermediárias a superiores da formação em epigrafe.

É comum encontrar-se bancos de arenitos configurando topos de relevos aplainados, onde é possível observarem-se constantemente capas lateríticas, com 2 a 3 m de espessura, constituídas por esferulitos ferruginosos de origem epigenética. Esta mesma capa ferruginosa é assinalada com igual freqüência em outros litótipos desta unidade. Para Gonçalves & Schneider (1970), estes esferulitos ferruginosos configuram o topo da formação, assunto também comentado por Andrade & Camarço (1980), sendo que estes últimos autores julgaram estas laterizações semelhantes aos oólitos encontrados na parte superior da Formação Pimenteiras da Bacia do Parnaíba.

Os arenitos encontrados são finos a muito finos, mostrando que intercalações com os pelitos tornam-se mais freqüentes, à medida que se sobe na coluna. São geralmente quartzosos, micromicáceos, argilosos, boa seleção, esfericidade média, grãos subarredondados a angulosos com esparsas pontuações de óxido de ferro. Suas cores variadas dependem do grau de intemperismo a que foram submetidos. São amarelos, marrons, arroxeados, avermelhados, cinza a cinza-esverdeado e brancos. Sua litificação é moderada, sendo aumentada quando laterizado. Observa-se que o excesso de ferrificação pode torná-lo quebradiço e fragmentado, apresentando localmente leitos ondulados e retorcidos devido a fenômenos de compactação diferencial. A laminação plano-paralela é sua estrutura frequente, onde plaquetas milimétricas de mica se orientam segundo aqueles planos de laminação. Apresenta estratificação de pequeno porte e localmente porta estratificação cruzada tabular. São comuns intercalações subordinadas de folhelhos fossilíferos. Constituindo as porções mais superiores deste pacote sedimentar, os litótipos que ocorrem são os siltitos, folhelhos silticos e argilitos subordinadamente. Geralmente estes sedimentos são bastante micáceos, com cores variadas, onde predominam as marrom-avermelhada, amarelada e marrom-chocolate. Surgem também, quando inalterados, as cores cinza a cinza-esverdeado. As camadas de argilitos quando presentes mostram-se com espessuras que variam de 5 a 25 cm, com cores bordo bem litificadas. Os folhelhos sílticos, com maiores ocorrências no topo da seqüência, portam cores que variam de cinza-esverdeado a amarelado-ocre, normalmen-

te plano-laminados, bastante micáceos, onde as micas acompanham os planos de laminação, matriz síltica. Intercalados nesta litologia têm-se leitos descontínuos centimétricos, de arenitos finos e siltitos, dispostos erraticamenta. A limonitização aqui é freqüente, sendo mais intensa no topo dos afloramentos, conferindo-lhes uma cor marrom-chocolate típica. A estrutura sedimentar que ocorre com mais frequência na área é a laminação plano-paralela, porém são observadas em determinados locais estratificação cruzada de pequeno porte, laminação flaser e marcas de ondas assimétricas. Certas deformações encontradas ao longo do acamamento podem ser atribuidas a efeitos de sobrecarga, geralmente pronunciados nos termos folhelhos/argilitos. Outra estrutura epigenética frequente são as concreções ferruginosas, alongadas e litificadas ("bonecas de ferro"), encontradas ao longo das lâminas de folhelhos, bem caracterizadas ao sul do rio Culuene, nas faldas da serra da Fica-Faca, já nos limites orientais da Folha SD.21 Cuiabá, nas imediações do ribeirão Alminhas (SD.21-Z-D). É conhecida a tentativa de alguns autores em dividir a Formação Ponta Grossa em três membros. Os trabalhos pioneiros de Ludwig & Ramos (1965) e Lange & Petri (1967) mostram essas separações da formação ao sul da bacia. Andrade & Camarço (1978, apud Andrade & Camarço, 1980) dividiram-na informalmente em três membros, abarcando o flanco nordeste da mesma bacia. Caracterizaram o Membro Inferior como constituido por conglomerado basal, arenitos finos com intercalações de siltitos e folhelhos; o Membro Médio composto por arenitos vermelhos, médios a grosseiros, com intercalações de arenitos argilosos e micáceos e depósitos de canais evidenciados por conglomerados petromíticos e,o Membro Superior com arenitos finos gradando a folhelhos. No presente mapeamento, conseguiu-se separar grosseiramente três zonas onde as incidências litológicas seriam inferiormente camadas de arenitos finos a muito finos, com poucas intercalações sílticas e niveis subordinados de folhelhos; na zona mediana haveria uma equiparação nas intercalações entre arenitos, siltitos e folhelhos, com argilitos subordinados, onde a razão argila/areia já tenderia para o primeiro e, mais para o topo intercalações frequentes, bruscas e gradacionais entre folhelhos /siltitos/argilitos, predominando o primeiro. Conforme mencionado, as intercalações fossiliferas são comuns eo longo de todo o pacote sedimentar. Esta separação nos litótipos não tem carâter temporal, mas sim uma tentativa descritiva para melhor entender a distribuição do pacote sedimentar na região, que se encontra bastante afetado por falhamentos, prejudicando por vezes a individualização destes sedimentos. A escala do mapa geológico em anexo também não permite a representação das distinções litológicas achadas.

Apesar da riqueza em conteúdo de fósseis, sua intensa intemperização colabora para a não preservação destes. No desenvolvimento dos trabalhos verificaram-se dois novos sitios fossiliferos. O primeiro situado na porção sudeste da Folha SD.21-Z-D, ao sul da interseção do ribeirão das Alminhas com a BR-070, contendo Tentaculites sp. e braquiópodes, atribuíveis a outra espécie de Derbyina, sugerindo idade devoniana. O segundo sitio, foi localizado 6 km ao norte de Dom Aquino, Folha SD.21-Z-C; na MT-344, constituído de folhelhos cinza-esbranquiçado, contendo moldes de braquiópodes atribulveis a Derbyina sp. Estas identificações foram efetuadas através da Seção de Paleontologia, DGM/DNPM (Rio de Janeiro, RJ). Para efeito de mapeamento, os autores do presente relatório admitem esta unidade indivisa para a Folha SD.21, considerando-a constituída predominantemente por arenitos finos a muito finos, siltitos, laminados finamente, argilosos, cor cinza-esverdeado, micáceos, com presença de folhelhos micáceos subordinada, onde sua incidência é maior para o topo da seqüência.

## 1.2.2.9.3.5 — Origem e ambiente de sedimentação

A Formação Ponta Grossa apresenta um conteúdo fossilífero abundante, indicando de maneira precisa condições marinhas de deposição, fortalecida por opiniões de autores conceituados, que se dedicaram a este estudo.

Almeida (1948a), referindo-se a Formação Ponta Grossa, apenas citou os sedimentos como depósitos mais profundos do mar eodevoniano, que se constituiríam em folhelhos e arenitos que recobririam os Arenitos Furnas.

116/GEOLOGIA

O mesmo Almeida (1954) caracterizou a deposição da sua Fácies Ponta Grossa em águas profundas, menos movimentadas, efetuada através de uma transgressão lenta.

Já Oliveira (1964b) informou que estes sedimentos foram depositados em zona nerítica, sob condições redutoras e de clima frio, onde o grande número de fósseis marinhos e a completa ausência de corais ou outras formas de clima quente confirmariam esta origem.

Ludwig & Ramos (1965), com base nas pequenas estruturas internas dos sedimentos, dividiram a formação em três membros. Os sedimentos do Membro Inferior seriam transgressivos, sendo depositados em ambiente infranerítico; os do Membro Médio, em ambiente batial, sem influência de correntes ou somente correntes de pequena intensidade; os do Membro Superior, em ambiente infranerítico, na fase de regressão.

Seguem-se os trabalhos de Bigarella, Salamuni e Marques Filho (1966) que admitiram o ambiente marinho e Lange & Petri (1967) informando que esta unidade foi depositada em ambiente calmo e mais distante da costa do que o Furnas, onde correntes sempre estiveram presentes nesta deposição, provadas pelo grande número de organismos transportados que as habitavam.

Gonçalves & Schneider (1968) fizeram referências ao ambiente marinho e a abundante fauna de trilobitas, braquiópodes e quitinozoários que viveram no período devoniano. Schneider et alii (1974) relataram que o conteúdo fossilífero indicaria, de maneira inquestionável, condições marinhas de deposição e admitiram que a maior parte da unidade depositou-se em ambiente de águas rasas e parte considerável desta, em ambiente sob influência de marés.

Andrade & Camarço (1980) consideraram no flanco nordeste da bacia a Formação Ponta Grossa dividida em três membros: o Membro Inferior, constituído por conglomerado basal, arenitos, folhelhos e siltitos, foi depositado através de uma transgressão marinha, que ultrapassou os limites da deposição Furnas, durante o Emsiano; o Membro Médio constituído por clásticos grosseiros foi sedimentado progradacionalmente e como o suprimento sedimentar foi maior nesta ocasião que a subsidência, esta deposição teve caráter deltaico, e o Membro Superior, constituído por clásticos finos, teria se depositado no Givetiano, em condições marinhas de águas mais profundas do que os demais membros. Os autores do presente relatório baseados nos diversos trabalhos citados, nas evidências litológicas e fossilíferas, consideram para a área em questão, condições marinhas transgressivas em mar raso, ao longo do flanco noroeste da Bacia do Paraná, representadas pelas maiores abundâncias de arenitos finos e, à medida que se avança para leste, rumo a Folha limitrofe SD.22 Goiás, um ambiente ainda transgressivo, mas com possibilidades de águas mais profundas.

#### 1.2.2.10 — Formação Jauru

#### 1.2.2.10.1 - Generalidades

As primeiras referências acerca dessa unidade estão contidas vagamente no levantamento fotogeológico e geoquímico, executado pela LASA — Engenharia e Prospecções S.A. (1968a) quando da definição do Grupo Jauru. Tal grupo foi definido como constituído por duas seqüências: uma quartzo-feldspática (fácies nerítica), outra pelítica (fácies batial). Na primeira é que estaria inserida, possivelmente, parte dos componentes desta unidade.

Figueiredo et alii (1974), quando da realização do Projeto Alto Guaporé, incluíram as rochas conglomeráticas observadas no extremo leste da Folha SD.21-Y-C na Formação Puga, no sentido de Maciel (1959). Deram assim uma nova conotação litoestratigráfica à proposição da LASA — Engenharia e Prospecções S.A. (op. cit.). Aqueles autores estenderam essa formação por uma faixa alongada, aproximadamente N-S, desde as redondezas do povoado de Figueirópolis, a norte, até o vale do baixo curso do rio Aguapel, a sul, acompanhando em parte o sentido do rio Jauru, pela margem direita.

Olivatti & Ribeiro Filho (1976), posteriormente, ao efetuarem a revisão geral dos mapas geológicos dos Projetos Centro-Oeste de Mato Grosso, Alto Guaporé e Serra Azul, tentaram redefinir as rochas caracterizadas por Figueiredo et alii (1974) como Formação Puga, na área da Folha SD.21-Y-C, devido a sua origem glacial. De-

nominaram os conglomerados, arenitos arcoseanos, siltitos e folhelhos, informalmente de Unidade Jauru, denominação esta proveniente do rio homônimo, situado a leste de sua faixa de ocorrência, embora nesse rio a unidade não tenha sido mapeada até o momento. Admitiram origem glacial devido principalmente às estruturas e características morfoscópicas dos seixos, e a correlacionaram com uma seqüência que ocorre às proximidades de Pimenta Bueno (Rondônia). A essa seqüência, Pinto Filho et alii (1977), quando do mapeamento geológico do Projeto Sudeste de Rondônia, designaram informalmente de Unidade PCII (constituída principalmente de tilitos, diamictitos, varvitos e calcários) e posicionada no Permocarbonífero com base em análises palinológicas.

Lima et alii (1977), em viagem de integração geológica, proposta pelo Projeto RADAMBRASIL, com técnicos do DNPM e CPRM-GO/PVH, a fim de elucidar certas divergências surgidas nos mapeamentos dos Projetos Sudeste de Rondônia (CPRM) e RADAMBRA-SIL (Folhas SC.20-Z-C e Z-D), teceram os seguintes comentários: "Os depósitos observados na região de Figueirópolis (Projeto Alto Guaporé) são bastante semelhantes aos do sul de Pimenta Bueno, com eles sendo correlacionados".

Leal et alii (1978), na Folha SC.20 Porto Velho, mapeada pelo Projeto RADAMBRASIL, redefiniram as unidades PCI e PCII de Pinto Filho et alii (1977), englobando-as na conceituação de Formação Pimenta Bueno, posicionada dubiamente no Cambriano.

Oliva et alii (1979), quando da elaboração da Folha SD.21 Cuiabá na Carta Geológica do Brasil ao Milionésimo, inseriram esta unidade de acordo com a proposição de Olivatti & Ribeiro Filho (1978), correlacionando-a temporalmente com a Formação Aquidauana.

Cardoso, Del'Arco e Souza (1980) propuseram a denominação de Formação Jauru aos sedimentos descritos por Olivatti & Ribeiro Filho (1976), baseando-se não só nos caracteres litológicos dessa unidade como também na sua distribuição espacial mapeável até na escala 1:1.000.000, aliados a um posicionamento cronoestratigráfico estabelecido com base em análises palinológicas. Cardoso, Del'Arco e Souza (1980) optaram pela correlação com a Formação Pimenta Bueno de Leal et alii (1978), calcados nos trabalhos imediatamente anteriores, e por uma proveniência glacial, devido principalmente aos caracteres morfoscópicos (facetamento do tipo "ferro de engomar"), e pela diversificação da fração rudácea, tanto modal como composicional.

Neste trabalho, os autores apesar de concordarem com a proposição de Cardoso, Del'Arco e Souza (1980) não admitem, no entanto, a correlação à Formação Pimenta Bueno de Leal et alii (1978), principalmente em termos cronológicos, embora litologicamente sejam similares. Esta, conforme caracterizada pelos autores da Folha SC.20 Porto Velho, foi considerada duvidosamente no Cambriano; ao contrário das análises palinológicas citadas por Olivatti & Ribeiro Filho (1976) na então Unidade Jauru e que forneceram esporomorfos do tipo *Cristatisporites* sp., perfeitamente característicos do Eocarbonífero. Conseqüentemente, prefere-se neste relatório a idade aocarbonífera e correlacioná-la à Formação Aquidauana, por ser mais identificável cronologicamente.

#### 1.2.2.10.2 - Distribuição na área e espessura

A Formação Jauru ocorre na porção SE da Folha SD.21-Y-C através de uma faixa alongada, aproximadamente N-S. Estende-se desde as proximidades do povoado de Figueirópolis, a norte, prolongando-se a sul até além do rio Aguapel, indo próximo ao limite meridional dessa Folha. Neste rio apresenta-se descontínua, em virtude de aflora-rem rochas do Complexo Xingu e sedimentos quaternários aluviais.

Esta unidade constitui um relevo plano, suavemente ondulado, com interflúvios tabulares de vertentes suaves. Em imagem de radar reflete uma textura lisa e tonalidade cinza-médio, contrastando com o padrão textural, algo rugoso do Complexo Xingu (Fig. 1.2). A espessura desta unidade na área em apreço não pode ser estabelecida com precisão, pelo fato de encontrar-se bastante arrasada e pela carência de dados estruturais que permitissem calcular a sua possança. Porém, algumas diferenças de cotas altimétricas, tomadas com altimetro de bolso Everest, com relação à unidade que lhe sotoposta bruscamente, ou seja, o Complexo Xingu, deram poucas dezenas de metros de desnível altimétrico. Não sendo de admirar

que valores da ordem de pelo menos uma centena de metros possam vir a ser estimados, principalmente quando houver um melhor conhecimento acerca de condicionamento estrutural ao qual estaria ligada esta seqüência.

#### 1.2.2.10.3 - Posição estratigráfica

A Formação Jauru, de acordo com os dados de campo e o condicionamento assumido no arcabouço geológico da Folha SD.21 Cuiabá, precisamente na Folha SD.21-Y-C, acha-se envolvida quase que literalmente pelos polimetamorfitos do Complexo Xingu, sobre os quais assenta-se provavelmente em discordância litológica (nonconformity). Isto deve-se a que os dados de campo não possibilitaram uma caracterização precisa do inter-relacionamento espacial-estrutural entre essas unidades, embora Olivatti & Ribeiro Filho (1976) tenham admitido que os sedimentos desta unidade estariam confinados a um graben. Para o sul da faixa de ocorrência sobrepõem-se ainda aos metassedimentos do Grupo Aguapeí (Formação Fortuna), provavelmente em discordância erosiva (disconformity), além de estar encoberta pelos sedimentos quaternários da Formação Pantanal e aluviões do rio Aguapeí.

Na coluna cronoestratigráfica da área da Folha SD.21 Cuiabá, esta unidade foi posicionada no Carbonífero, em conformidade com a proposição de Olivatti & Ribeiro Filho (1976). Segundo os mesmos, as análises palinológicas efetuadas em folhelhos componentes desta unidade pelo Lamin — CPRM revelaram uma assembléia de esporomorfos que, correlacionada por eles com o zoneamento palinológico da Bacia do Amazonas de Daemon & Contreiras (1971 apud Olivatti & Ribeiro Filho, op. cit.), forneceu uma idade neodevoniana e eocarbonifera. Entretanto, como o palinomorfo Cristatisporites sp. observado nessa assembleia, somente ocorre no Eccarbonifero daquela bacia, Olivattì & Ribeiro Filho (op. cit.) preferiram esta idade para a unidade em epigrafe, pelo fato de ser mais compatível com a datação permocarbonífera para a seqüência que ocorre na região de Pimenta Bueno (Rondônia) e muito semelhante a esta. Esta unidade na coluna acima referida foi justaposta temporarmente à Formação Aquidauana. Porém, por falta de dados que levassem a uma correlação litoestratigráfica precisa, deixa-se aqui em aberto tal correspondência, que poderá vir a ser comprovada ou modificada em trabalhos posteriores.

# 1.2.2.10.4 — Litologías e estruturas

A Formação Jauru, conforme observada em campo, constituí-se por um pacote sedimentar suborizontalizado, composto principalmente por paraconglomerados petromíticos, siltitos arenosos e folhelhos. O inter-relacionamento estratigráfico destes litótipos não foi possível ser carecterizado com os dados de campo disponíveis. Olivatti & Ribeiro Filho (1976) afirmaram que os arenitos arcoseanos, siltitos e folhelhos por eles descritos apresentam-se interestratificados, com alguma ritmicidade, passando lateralmente para o topo a diamictitos.

Tomando-se como base o desnível altimétrico verificou-se que os sedimentos pelíticos encontram-se localmente em cotas inferiores em relação aos paraconglomerados. Isto pode ser observado entre os afloramentos de siltitos arenosos, no vale do rio Brigadeiro, junto à ponte da rodovia estadual MT-248, trecho Figueirópolis—Indiaval, e a exposição de paraconglomerados localizados no leito e margans da estrada que demanda a sul de Figueirópolis em direção a MT-388, a 6,6 km desse povoado. Porém, como os afloramentos desta unidade são tanto escassos como esparsos, além da carência de estruturas sedimentares (principalmente acamamento), julgouse ser impraticável estabelecer um posicionamento estratigráfico entre os litótipos, pelo menos até o momento.

Paraconglomerados — Dentre os afloramentos observados os destes litótipos predominaram nas estações geológicas descritas nesta formação. Macroscopicamente, são rochas petromíticas, maciças, parcialmente laterizadas, de cores marrom-arroxeadas e cinza-esverdeado, conferidas pela matriz. Esta perfaz mais de 70% da rocha e apresenta uma granulação variando de areia fina, silte/argila, normalmente de composição síltico-argilosa, contendo impregnação de óxido de ferro e disseminação de pequenos grânulos de feldspato. A fração rudácea constitui-se por grânulos, seixos, calhaus e matacões (de até 50 cm de tamanho), imersos caotica-

mente na matriz, tendo formas ovóides, poligonais e achatadas; algumas destas mostrando arestas facetadas, polidas e pentagonais, assumindo aspecto de "ferro de engomar", ocasionalmente estriados, denunciando provavelmente arrasto durante o seu transporte. Estes clastos consistem de quartzos, quartzitos (meta), arenitos arcoseanos, biotita-gnaisses, rochas ácidas (principalmente granitos) e rochas básicas. Composicionalmente predominam entre os fragmentos menores, quartzo, quartzitos e (meta) arenitos arcoseanos, enquanto os biotita-gnaisses e granitos destacam-se entre os maiores.

Estes paraconglomerados (Est. 1.XIB), conforme se pode observar, despontam sob a forma de pequenos lajedos, envoltos pelo manto de intemperismo, ou em alguns cortes provocados por erosão. De um modo geral não chegam a formar expressões em relação à topografia quase plana da unidade. Entre as exposições mapeadas, destaca-se a que ocorre a 6,6 km a sul de Figueirópolis, no leito da estrada que interliga este povoado à MT-388 (antiga MT-127), pelo fato de certos fragmentos da fração rudácea mostrarem formato perfeitamente semelhante a "ferro de engomar". Também a súl da faixa de distribuição desta formação, particularmente no leito da rodovia estadual MT-265 (antiga MT-130) e nas barrancas de um pequeno córrego, de curso de água temporário, formador do ribeirão Corixo Grande, Nessa rodovia, a rocha mostra, além das características inerentes descritas anteriormente, um fraturamento intenso, principamente nos sistemas N30°0/90°. N80°0/90° e N50°E/90°, conferindo à mesma um aspecto cisalhado. No afloramento situado na barranca do córrego acima é onde se pode constatar a melhor exposição dos paraconglomerados, e também com relação à preservação parcial dos efeitos intempéricos. Além de ser um dos raros locais, onde se pode perceber os paraconglomerados suborizontalizados (N30°E/15°SE).

Folhelhos — Apesar dos pouquissimos afloramentos constatados durante os trabalhos de campo, estas rochas predominaram em relação aos siltitos arenosos desta formação. Macroscopicamente apresentam finissimos níveis alterados e contínuos, de cores marrom-chocolate e esverdeada, denotando uma laminação planoparalela, além de mostrarem-se compactos e extremamente físseis. Afora os componentes principais argilo-siltosos, estes litótipos contêm disseminações de minerais micáceos nos planos de estratificação, segundo os quais a rocha fragmenta-se em plaquetas tabulares. Há também um outro plano de partição, seguindo fraturas subortogonais, cujas principais direções são N15°E, N50°E e N70°O, segundo as quais os folhelhos mostram-se quebradiços.

Os únicos afloramentos foram observados no corte e leito da rodovia estadual MT-248, a 1,6 km a leste de Figueirópolis, e na barranca do río Brigadeiro, a poucos metros da ponte dessa rodovia, em direção a sua montante. Aí afloram sob a forma de lajedos. Na primeira exposição pode-se mensurar a estratificação laminada, plano-paralela, apesar de suborizontalizada (N15°O/10°NE).

Siltitos — Foram observados em apenas uma estação geológica, localizada a 1,8 km a suí de Figueirópolis, no leito e margem da estrada que interliga este povoado à MT-388 (antiga MT-127). Macroscopicamente são de cores marrom-claras e quando mais intemperizados mostram-se róseos, com aspecto maciço e extremamente quebradiços. Em superfície, caracterizam-se por apresentar esfoliação esferoidal, de aspecto concêntrico, segundo a qual desagregam-se. Além dos componentes principais silto-arenosos contêm minerais micáceos dispersamente.

# 1.2.2.10.5 — Origem e ambiente de sedimentação.

São ainda bastante controversas as hipóteses acerca da origem deste tipo de depósitos que caracteriza a Formação Jauru. Assim far-se-ão principalmente algumas apreciações analisando-se não só em termos hipotéticos como também comparativos com outras áreas onde afloram rochas similares, objetivando chegar-se a uma conceituação mais condizente aos dados coligidos sobre a unidade em pauta. Deve-se ressaltar no entanto que, devido à polêmica que persiste nos trabalhos técnico-científicos em relação a conglomerados petromíticos, preferiu-se neste relatório tratar estes litótipos como paraconglomerados, não tendo assim qualquer implicação genética e sim só em termos da relação matriz/fração rudácea.

118/GEOLOGIA

Analisando-se os trabalhos de Pinto Filho *et alii* (1977) e Leal *et* alii (1978), com relação às rochas que ocorrem na região de Pimenta Bueno, verifica-se um antagonismo acerca da origem daquelas rochas, em vista de al ocorrerem paraconglomerados que muito se assemelham aos que integram a Formação Jauru. No Projeto Sudeste de Rondônia, Pinto Filho et alii (op. cit.), com base na má seleção, ausência de estratificação, certos clastos facetados (tipo "ferro de engomar") e estriados, atribuíram uma proveniência glacial. Em contrapartida, Leal et alii (op. cit.), estudando as mesmas rochas, alegaram que os critérios acima não são diagnósticos absolutos de sedimentação glacial. Assim, segundo estes relatores, a má seleção e estrias são capazes de ser produzidas por falhamentos, fluxos de lama (mud flows), deslizamentos de terra (lands lides), scree e solifluxão, apesar de terem enviado amostras de clastos so instituto de Geociências da Universidade de São Paulo e submetidas a análise pelo Dr. A.C. Rocha Campos, que assim se reporta sobre um dos seixos: "...exibe estrias bem nitidas, do tipo subparalelo e em grade, em duas faces aplainadas, que são extremamente sugestivas de abrasão glacial". Sobre os indicios produzidos pelos fenômenos geológicos argumentados por Leal et alii too. cit.), Pettijohn (1970) comenta: Estes materiais... são locais e restringidos e seus depósitos não apresentam os seixos de características facetadas e estriadas, e o que é mais importante, não estão associados a argilitos laminados (varvitos?) com seixos pingados.

Extrapolando as hipóteses acima mencionadas para a ambiência da Formação Jauru poder-se-á chegar também a um paralelismo de opiniões, mesmo talvez após um estudo mais aguçado de seus litótipos. Analisaram-se certas características inerentes aos paraconglomerados desta unidade, como:

- a enorme variação da fração rudáçea, tanto modal como composicional;
- o caráter siltico-argiloso e a coloração da matriz;
- a presença de superfícies polídas e achatadas de certos clastos, assumindo aspecto de "ferro de engomar";
- a falta de estratificação, de um modo geral; e
- a associação com sedimentos pelíticos (folhelhos e siltitos).

Deste modo, com base nestas particularidades, chega-se a supor pelo menos uma provável contribuição glacial à Formação Jauru, a qual foi depositada em ambiente continental.

### 1.2.2.11 - Formação Aquidauana

#### 1.2,2.11.1 - Generalidades

A primeira referência aos arenitos da Formação Aquidauana foi feita por Derby (1895) que os correlacionou com a Seqüência Gondwânica do leste da Bacia do Paraná.

Lisboa (1909) introduziu o termo Arenito Aquidauana, para um conjunto de sedimentos vermelhos que a Estrada de Ferro Noroeste do Brasil atravessava, ao penetrar no vale do rio Aquidauana, no sul de atual Estado do Mato Grosso do Sul. Considerou-os como fazendo parte de sua Série Maracaju, que correlacionou com a Série São Bento.

Já Oliveira (1916 apud Corrêa et alii, 1976), ao estudar os sedimentos carboníferos, no Estado de São Paulo, notou a sua semelhança com os que Lisboa (1909) denominara Aquidauana, propondo a denominação Série Aquidauana, utilizada pela primeira vez para nomear os sedimentos que sofreram influência glacial, na base do rio Itararé.

Milward (1935 apud Almeida, 1954), conhecador dos Arenitos Aquidauana em sua região tipica, percorrendo o sul de Goiás, denominou Arenito das Torres aos sedimentos vermelhos do Planalto de Caiapônia, na Bacia do Rio Branco, correlacionando-os com o Arenito Aquidauana.

Paiva & Leinz (1939 apud Beurlen, 1956) descreveram principalmente os perfis da E.F. Noroeste do Brasil e da rodovia Aquidauana—Bela Vista, observando, muitas vezes, arenitos argilosos e arenitos conglomeráticos nas seções inferiores da seqüência. Julgaram-na como uma única formação, denominando-a "Arenito de Maracaju", correlacionando-a com o Arenito Botucatu.

Oliveira & Leonardos (1943 apud Fiori, 1977) tembém concordaram com Lisboa (1909) e colocaram a seqüência de arenitos da região de Aquidauana na Série Maracaju, equivalente à da Série São Bento.

Almeida (1945) propôs a denominação Série Bela Vista para um conjunto de sedimentos vermelhos, com 200 m de espessura, incluindo arenitos, siltitos e folhelhos de origem fluvioglacial e um nível típico de tilito.

Almeida (1946) observou pela primeira vez, no divisor dos rios Poruba e Água Emendada, no alto São Lourenço, a ocorrência de típicos seixos facetados e estriados pelo trabalho glacial, inclusos no Arenito Aquidauana.

Caster (1947) escreveu que os arenitos vermelhos das Torres, do *Plateau* de Bonito (Calapónia), ocupavam gosição estratigráfica semelhante àquelas das séries Itararé—Tubarão, do sul do Brasil. A identidade Torres—Aquidauana foi estabelecida, sugerindo assim uma contemporaneidade com as camadas glaciais do rio Apa, descritas anteriormente como parte do Arenito Aquidauana.

Almeida (1948a) referiu-se aos Arenitos Aquidauana como os principais responsáveis pelos relevos de cuesta que caracterizam o 'Planalto dos Alcantilados' na porção noroeste da Bacia Sedimentar do Paraná. No mesmo ano Almeida (1948b) confirmou a correlação dos Arenitos Aquidauana e das Torres e estabeleceu-lhes a posição estratigráfica pos-depositos glaciais da Série Itararé - Tubarão e pré-Irati, considerando-os provisoriamente de idade eopermiana. Desta forma excluiu os Arenitos Aquidauana da Série de São Bento, onde até então estavam sendo colocados. Além disso admitiu "identidade faciológica e mesmo litológica entre os Arenitos Aquidauana e o Grupo Mandyiuti, do sistema orográfico subandino", para o qual havia sido atribuida origem continental em clima possivelmente árido, quente. Posteriormente Almeida (1954) reconheceu ser a "Série Bela Vista", por ele definida em 1945, parte da porção inferior da Série Aquidauana, a qual admitiu como "uma continuação dos episódios ligados à glaciação permocarbonífera da Série Tubarão". Neste trabalho foi mencionada a sugestão do Prof. Octavio Barbosa de se distinguir uma formação inferior na Série Aquidauana, conservando a denominação Bela Vista, e para o restante da sequência atribuir-se a denominação Formação Camisão, "nome tomado das ocorrências da série ao longo da Estrada de Ferro Noroeste do Brasil, na área-tipo de Arrojado Lisboa".

Almeida (1954) descreveu a ocorrência de leitos silicificados na parte superior da Série Aquidauana, na zona das cidades de Guiratinga e Poxoréo (serra da Saudade e serra da Boa Vista). Estas ocorrências referiam-se, conforme observou, a leitos calcários, em parte oolíticos, silicificados, que continham conchas de lamelibrânquios, e apresentavam estratificação paralela. Provou ainda, à luz das novas evidências litológicas, não ser a sua Série Bela Vista mais que um conjunto glacial e fluvioglacial da parte inferior da Série Aquidauana, sendo esta então uma continuação dos episódios ligados à glaciação permocarbonífera da Série Tubarão.

Beurlen (1956) efetuou novas pesquisas nos sedimentos Aquidauana, tendo reconhecido e mapeado três horizontes que ele próprio denominou de Tilito Aquidauana. Leve-se em conta que Farjallat (1970), ao estudar a origem deste tilito, passou a considerá-lo como diamictito e não tilito verdadeiro.

Beurlen (1959) manteve a categoria de Série Aquidauana estabelecendo correlação entre a Formação Aquidauana e o Grupo Itararé do Pensilvaniano Superior, da Seqüência Gondwânica, do chamado Sistema Santa Catarina.

Para Petri & Fúlfaro (1966), a existência de conglomerados polimíticos na Formação Aquidauana em Goiás e a leste do ex-Estado de Mato Grosso, com seixos facetados e estriados, poderiam eventualmente corresponder a tilitos.

Gonçalvas & Schneider (1968), dentro da referida unidade, constataram sedimentos essencialmente arenosos, de coloração vermetho-arroxeada, com notável variação faciológica, tanto vertical como lateral. Aceitaram ainda uma correlação com o Grupo Itarare/, tido como de idade pensilvaniana inferior. Entretanto, optaram pela nomenclatura de Série Aquidauana. Gonçalves & Schneider (1970), ao integrarem a geologia do centro-leste do ex-Estado de Mato Grosso descreveram esta formação como constituída essencialmente por rochas arenosas, vermelho-arroxeadas, com grandes variações faciológicas. Verificaram que na parte basal predonominavam arenitos com estratíficações espessas a maciças e subordinadamente diamictitos, siltitos, argilitos e uma fina camada de conglomerado basal. Na porção média ocorriam siltitos, fothelhos e are-

nitos, finamente estratificados, com intercalações de diamictitos. Na parte superior voltariam a predominar os arenitos.

Farjallat (1970) relatou que no sul do ex-Estado de Mato Grosso, a passagem gradual de diamictitos de matriz arenosa para os de matriz silto-argilosa requeria algumas considerações. As intercalações de lentes conglomeráticas, as inclusões de pedaços de sedimentos arrancados aparentemente por processo rigoroso de rochas subjacentes, as gradações intensas dos diamictitos, sugeriram origem por correntes de turbidez. Entretanto, notou ocorrerem dispersos vários megaclastos cujo tamanho ultrapassava a suposta capacidade de transporte dessas correntes.

Schneider et alii (1974), além das características litológicas desta unidade, observaram que o contato inferior desta se faz através de discordância angular, assentando sobre a Formação Furnas, Ponta Grossa e sobre o embasamento.

Soares & Landim (1973 apud Fiori, 1977) concordaram com Almeida (1956) quanto à correlação das rochas existentes em Águas da Prata, Poços de Caldas e Sul de Minas Gerais com as da Formação Aquidauana em Goiás e Mato Grosso. Consideraram, entretanto, a Formação Aquidauana como fácies da borda do Itararé, com variação de idade idêntica, pois observaram tanto em afloramentos como em análises de perfis de poços da PETROBRÁS a existência de interdigitamento entre estes dois pacotes sedimentares, tanto na basa como no topo.

Schobbenhaus Filho et alii (1975a) citaram que, apesar da grande espessura da Formação Aquidauana (1.165 m em Jataí, Goiás), não é possível a separação de suas unidades litológicas devido a grande variação faciológica, tanto vertical, como horizontal. Ribeiro Filho et alii (1975) estabeleceram o limite norte da ocorrência da unidade nas cabeceiras do rio Culuene, pouco abaixo do paralelo 14° e a sul-sudeste da faixa dobrada do-Grupo Paragual. Relataram ainda que a Formação Aquidauana constitui um relevo de chapadas com escarpas em degraus, incorporando-se à feição geomorfológica denominada Planalto da Chapada. Mantiveram sua correlação com a base da Formação Itararé, do Grupo Tubarão.

Recentemente, Corrêa et alii (1976) mostraram ser a Formação Aquidauana constituída por sedimentos detríticos, essencialmente arenosos e de natureza feldspática, de coloração variada, predominando o vermelho-arroxeado e vermelho-carne, apresentando grandes variações litológicas, tanto vertical como horizontalmente.

Os autores deste relatório comprovaram estar a Formação Aquidauana constituída por arenitos finos, médios a grosseiros, esbranquiçados, arroxeados ou vermelho-tijolo; lentes conglomeráticas; intercalações de siltitos e argilitos avermelhados e subordinadamente diamictitos. Confirmaram também as distribuições em áreas e relações estratigráficas mencionadas em trabalhos anteriores.

#### 1.2.2.11.2 - Distribuição na área e espessura

As exposições da Formação Aquidauana na Folha SD.21 Cuiabá são bem restritas devido à intensa tectônica que controla seus contatos e ao mascaramento que sofre ao ser encoberta pelas Formações Palermo, Botucatu, Bauru e pela Cobertura Detrito-Laterítica. Sua distribuição geográfica ocorre apenas na Folha SD.21-Z-D, onde está representada em duas regiões. A primeira, situada a leste de Dom Aquino (MT), apresenta-se através de uma faixa estreita e irregular, com largura média de 10 km, direção NO-SE, onde no limite superior acunha-se por motivos tectônicos. A segunda faixa distribui-se a leste de Poxoréo, com direção NE-SO, sendo seu limite superior contido pela falha homonima, localizando-se no canto sudeste da referida Folha, mentendo prolongamento para as Folhas SD.21-X-B e SD.21-Y-C. Mostra-se ainda em forma de manchas restritas, que se condicionam ao limite oriental da Folha SD.21 Cuiabá nas proximidades do rio das Mortes e ao sul do rio Culuene. Suas espessuras na Folha SD.21-Z-D mostram-se bastante variáveis em decorrência da sua deposição sobre paleossuperfícies irre-

Schneider et alii (1974) mostraram dados de subsuperfícies obtidos pela PETROBRÁS que indicaram uma espessura de 779 m no poço 2-AG-1-MT, Alto Garças (MT). Mühlmann et alii (1974) forneceram para a Formação Aquidauana em superfície uma espessura que varia de 200 a 700 m.

120/GEOLOGIA

Recentemente Santos & Freitas (1979) relataram que a Formação Aquidauana parece não apresentar uniformização em sua espessura. A leste de Dom Aquino conseguiram medir pelo menos 170 m desde o contato inferior com a Formação Ponta Grossa até o superior com a Formação Palermo. Já em Poxoréo mediram cerca de 260 m, podendo no entanto atingir maiores proporções, pois sua base, devido a contato por falha com a Formação Bauru, não é visível. Tais possanças foram confirmadas no presente mapeamento.

As ocorrências mostradas por esta unidade, através dos traços do mapa de Oliva et alii (1979), posicionadas nos limites orientais das Folhas SD.21-Z-B e SD.21-Z-D, sofreram reduções significativas no presente mapeamento, sendo que aquela mostrada na calha do rio das Mortes foi interpretada, com menor expressão areal, como exposição da Formação Bauru.

#### 1.2.2.11.3 - Posição estratigráfica

A Formação Aquidauana contata maiormente em seus limites inferiores de maneira discordante com a Formação Ponta Grossa, mas constatou-se para a área em estudo grande incidência de contatos falhados, para com os sedimentos devonianos. Localmente, há grande dificuldade em reconhecer o contato com a Formação Ponta Grossa, em vista da natureza argilosa da porção basal da Formação Aquidauana, o que levou no presente trabelho a considerá-lo transicional (?) para aqueles pontos. Os contatos superiores são admitidos como discordantes erosivos ou através de falhas de gravidade com as Formações Palermo, Botucatu e Bauru. É ainda recoberta pela Cobertura Detrito-Laterítica. Gonçalves & Schneider (1970) disseram ser discordante o contato superior com a Formação Palermo. Informaram ainda ser esta discordância no centro-leste do exestado de Mato Grosso angular e marcada pela presença local de conglomerado basal, não existindo tal fato no centro da bascia.

A idade absoluta para esta unidade guarda uma interrogação, visto a ausência de fósseis ou outro dado que, manipulado, possibilite esta avaliação. Sabe-se entretanto que Daemon & Quadros (1969 apud Gonçalves & Schneider, 1970), na região a sul de Merure, descreveram a ocorrência de microfósseis de idade stephaniana (Carbonifero Superior). Esses fósseis encontrados em folhelhos e siltitos argilosos, sobrepostos a uma seção de sedimentos vermelhos afossilíferos, com cerca de 500 m de espessura, constituemse das espécies Samarisporites, Maranhites, Calyptosporporytes, Rhabdosporites e Tasmanites.

Daemon & Quadros (1969 apud Northfleet, Medeiros e Mühlmann, 1969), através do estudo de diversos esporomorfos, admitiram a idade do pacote sedimentar Itararé — Aquidauana abrangendo do Carbonífero Superior (Stephaniano) ao Permiano Médio (Kunguriano). Consideraram a ocorrência de toda sedimentação Aquidauana inclusa no intervalo bioestratigráfico G (Stephaniano).

A idade permocarbonífera é baseada também no macrofóssil vegetal do gênero *Psaronius* (Permiano), observado no Planalto do Roncador (Schobbenhaus Filho *et alii*, 1975a), Ribeiro Filho *et alii* (1975) separaram a Formação Aquidauana da Unidade Permocarbonífero I e admitiram-na no período carbonífero. Acatando-se as opiniões dos vários autores que estudaram o problema coloca-se a deposição dos sedimentos desta unidade distribuída no intervalo Carbonífero Superior ao Permiano Inferior.

#### 1.2.2.11.4 — Litologias e estruturas

Esta formação morfologicamente é caracterizada por apresentar, através da enorme distribuição de arenitos na área, uma superfície plana, levemente ondulada ou mostrar escarpas abruptas em degraus, que caracteriza e salienta acidentes geográficos como as serras das Parnaíbas e do Roncador.

Na imagem de radar, estas rochas mostram uma textura de fácil destaque, provocada pelas rápidas mudanças de fácies da unidade, que se refletem muito na vegetação, relevo e drenagem. A vegetação predominante é do tipo cerrado, desenvolvida em solo arenoso pobre e pouco espesso. Quando da imposição dos arenitos, a drenagem é do tipo arborescente, tendo baixa densidade, constituindo vales pouco profundos e por vezes matas ciliares. Nas partes mais argilosas os vales são mais abertos e a vegetação mais densa. Em regiões afetadas tectonicamente, a drenagem torna-se mais densa, os vales estreitam-se e tornam-se mais profundos consti-

and the second s

tuíndo um relevo acidentado, onde surgem morros testemunhos, com escarpas abruptas, formando por vezes típicos tabuleiros, mesas, colunas, que se destacam na paisagem, salientadas que foram pela intensa erosão diferencial que afetou toda a região. A sedimentação desta unidade é predominantemente arenosa, com cores que vão do vermelho-arroxeado, na parte inferior da seção a avermelhado para as mais superiores. Seus afloramentos são, via de regra, constituídos por escarpas Ingremes, que repousam discordantemente sobre os sedimentos da Formação Ponta Grossa. Em cortes de estradas e nos leitos dos córregos exibem boas exposições, sendo representados por lajeiros, camadas e bancos com extensões consideráveis. Uma característica típica encontrada nesses sedimentos é o desenvolvimento em superfície de lajeados, de dissecações em forma hexagonal que lembra "casco de tartaruga".

Gonçalves & Schneider (1970), ao comentarem sobre a geologia do centro-leste do ex-Estado de Mato Grosso, descreveram esta formação como constituída essencialmente por rochas arenosas, vermelho-arroxeadas, com grandes variações faciológicas. Na parte basal predominam arenitos, com estratificações espessas a maciças e, subordinadamente diamictitos, siltitos, argillitos e uma fina camada de conglomerado basal. Na porção média, ocorrem siltitos, folhelhos e arenitos, finamente estratificados, com intercalações de diamictitos. Na parte superior, tornariam a predominar arenitos.

Ribeiro Filho et alii (1975) referiram-se a um pacote sedimentar muito variado, onde predominavam os arenitos. A cor em geral é a vermelha, que é característica da unidade. Seu relevo em degraus provém da intercalação de arenitos finos e grosseiros, conglomerados, siltitos e argilitos. Os arenitos são mal classificados, às vezes feldspáticos, localmente argilosos, granulometria variável, predominando os arenitos finos. Quando intemperizados são muito friáveis, desagregando-se em areia.

Schneider et alii (1974) também identificaram nesta unidade sedimentos de cor vermelho-arroxeada, mostrando grosseiramente três intervalos. O inferior é constituído por arenitos vermelho-arroxeados, médios a grosseiros, estratificação cruzada, acanalada e desenvolvimento subordinado de diamictitos clásticos finos, arenito branco, grosseiro/conglomerático e delgado conglomerado basal. No intervalo médio têm amplo desenvolvimento siltitos finos, vermelho-arroxeados, finamente estratificados e, secundariamente, diamictitos vermelhos e folhelhos cinza e cinza-esverdeado. O intervalo superior apresentava predominância de sedimentos areno-

Na Folha SD, 21 Cuiabá observaram-se basicamente três intervalos litológicos que são descritos pela intensa variação faciológica. mas devido à escala de trabalho não são mapeados, pois a mesma dificulta individualizá-los, além de fatores como falhamentos e processos erosivos, que ocasionam dificuldades em posicioná-los ou identificá-los. O intervalo inferior é constituido por arenitos esbranquicados, avermelhados, médios a grosseiros, alterados, feldspáticos, niveis conglomeráticos, regularmente classificados, baixa esfericidade, bastante conturbados, localmente bem limonitizados e com desenvolvimento subordinado de diamictitos finos. Localmente ocorre delgado conglomerado basal. No intervalo médio predominam os arenitos finos, siltitos laminados finamente, com cores vermelho-arroxeadas ou vermelho-tijolo, e secundariamente arenitos arcoseanos. Localmente, ocorrem folhelhos cinza a cinzaesverdeado (fossilíferos), segundo Gonçalves & Schneider (1970), e bolsões e lentes conglomeráticas (diamictitos), de cores avermelhadas. Estes diamictitos são constituídos por grãos grosseiros, seixos, blocos e matacões, de forma e composição variadas, angulosos e subarredondados, imersos em matriz síltico-argilosa, às vezes arenosa. Constatam-se nos planos de estratificação concentrações de minerais pesados, em forma de fluxos centimétricos, que indicariam uma possível deposição em fundo de canal. Intercalados nestas litologias desenvolvem-se estruturas de sobrecarga como diápiros e dobras convolutas. No intervalo superior observa-se a predominância dos sedimentos arenosos com cores vermelho-arroxeadas, granulação fina e melhor seleção. A estrutura sedimentar marcante é a estratificação plano-paralela, evidenciada pela alternância de camadas delgadas de siltitos com níveis mais grosseiros. Para o topo é comum a presença de um banco de arenitos/siltitos com cores vermelho-tijolo, espessura ao redor de 20 m, regularmente classifi-

cados, finamente laminados, pintalgados de branco, com lentes conglomeráticas e níveis de pelitos. Os arenitos que constituem este banco são quartzosos em sua maioria, pouco argilosos, friáveis, aspecto macico, localmente com grau de litificação razoável, raras plaquetas de mica, sendo constituídos por grãos de quartzo angulosos a subangulosos e raros seixos de quartzo e arenitos dispersos caoticamente em sua matriz. Nos níveis mais superiores estes arenitos mostram uma seleção granulométrica melhor, onde os grãos de quartzo variam de subangulares a arredondados e evidenciam até partículas bem arredondadas. Nota-se também uma mudança na coloração, como também na dimensão dos componentes granulométricos. A partir da parte média deste intervalo são comuns intercalações pelíticas, com espessuras de 1 a 3 m, finamente laminadas, representadas por folhelhos/siltitos arroxeados ou amarronzados. Nas vizinhanças de Poxoréo são encontrados calcários silicificados e níveis de sílex no topo da formação, já mencionados por Almeida (1954).

Santos & Freitas (1979) relataram que as intercalações de pelitos apresentam espessuras variadas, porém não excedendo 3 a 4 m. Ocorrem argilitos arroxeados, marrom-avermelhados ou rosa-avermelhados, às vezes com manchas esverdeadas. Geralmente são quebradiços e intensamente fraturados. Nos planos de fraturas aparecem impregnações de material escuro à semelhança de óxido de manganês.

Com relação aos diamictitos pode-se notar que os mesmos ocorrem nos mais diversos níveis da unidade, porém guardam certa preferência pelo terço médio a superior da mesma. Em locais restritos podem ser notados diamictitos, muito finos, com cores característicamente arroxeadas, onde em sua massa se destacam seixos de quartzo e de siltitos/arenitos finos, bem retrabalhados, com aspecto que lembra verdadeiros lamitos conglomeráticos. Tais sedimentos refletem possivelmente contribuições glaciais.

As estruturas sedimentares mais visualizadas na área são as estratificações acanaladas de médio a grande porte, seguindo-se plano-paralelas e cruzadas tabulares, estruturas de sobrecarga e dobras convolutas. Os argilitos amarronzados, relacionados ao topo da formação, quando alterados, tornam-se quebradiços, evidenciando uma típica fratura conchoidal. A literatura comenta que nas porções médias esta litologia chega a mostrar aspecto várvico.

### 1.2.2.11.5 — Origem e ambiente de sedimentação

O ambiente de deposição da Formação Aquidavana é um assunto que precisa ser estudado com mais detalhe. As inúmeras opiniões existentes parecem convergir para uma origem fluvial e lacustre com influências glaciais locais, porém os dados reunidos são sempre temporários, faltando argumentos mais concretos que possibilitem uma conceituação mais adequada.

Almeida (1954) considerou como mais prováver que grande parte da formação seja de origem pró-glacial, onde os sedimentos foram depositados além dos limites da geieira continental em recuo, nos canais fluviais anastomosados, planícies aluviais encharcadas e lagos. Almeida (op. cit.) observou que a existência de camadas de calcário silicificado, restritas à parte superior da formação, parece indicar clima quente, bem diverso daquele que reinava quando se depositaram os drifts e tilitos da parte inferior.

Gonçaives & Schneider (1968) mencionaram que no centroleste de Mato Grosso localmente os gelos exerceram influência maior, pois ali foi que constataram rochas semelhantes a tilitos, enquanto na parte leste da Bacia do Paraná a variação heterogênea de sedimentos sugere ambientes variados, com as geleiras desempenhando importante papel. Posteriormente, Gonçaives & Schneider (1970) relataram que os sedimentos vermelhos são resultado de uma deposição em ambiente continental (fluvial, lacustre e de planfcies altiviais).

Vieira (1968), baseado na continuidade das camadas, na presença de fósseis marinhos nos arenitos da parte inferior, em argilitos basais com grãos de areia e bolsões de diamictitos, nas superfícies de corte e preenchimento muito perturbadas localmente, intercaladas com clásticos grosseiros (diamictitos, arenitos conglomeráticos) e finos (siltitos, argilitos e arenitos finos), postulou uma origem predominantemente marinha, onde a presença próxima a geleiras traria uma contribuição clástica, e ao mesmo tempo provocaria o

surgimento de fatores erosivos e deposicionais tais como correntes de turbidez, em meio subaquático. O mesmo autor analisou estes parâmetros, acima mencionados, na região ao sul de Iporá (Folha SE.22 Goiânia) ao estudar os sedimentos Aquidauana, ali por ele referidos como Grupo Itararé.

Farjallat (1970 apud Correa et alii, 1976) interpretou-a como depósitos subaquosos com importante contribuição do material trabalhado por gelo, em área de subsidência, onde outros mecanismos, além de deposição por geleiras, foram evocados por explicar a formação desses depósitos tão mal selecionados.

Já Schneider et alii (1974) relataram que as características litológicas e sedimentares da Formação Aquidauana sugerem que sua deposição ocorreu em ambiente continental, por sistemas fluviais e lacustres associados. A presença subordinada de diamictitos mostraria influência glacial próxima à formação desses depósitos tão mai selecionados.

Recentemente, Ribeiro Filho et alii (1975) informaram que esta unidade apresentava características exidentes, sendo depositada em ambiente periglacial.

Para Fiori (1977) a evolução ambiental desta formação foi caracterizada pela pro-gradação da sedimentação clástica de leques aluviais em lago periglacial. Estes leques aluviais mostravam um deslocamento para o norte, caracterizando movimentação de gelo naquele sentido durante a época de deposição da Formação Aquidauana.

Os autores do presente relatório, fundamentados nas inúmeras opiniões emitidas na literatura geológica, em parte conjugadas com as observações de campo, no tocante aos aspectos litológicos encontrados, acatam o ambiente continental, onde os sistemas fluviais e lacustrinos seriam os responsáveis maiormente pela sedimentação conturbada deste pacote sedimentar. A deposição interçalada de clásticos grosseiros (diamictitos, arenitos grosseiros a conglomeráticos) e finos (siltítos, argilitos e arenitos finos) poderia ser desenvolvida pela atuação de possantes, mas confinados cones de dejeção. As contribuições glacíais, embora de influências locais, são marcadas pela presença de diamictitos ou lamitos conglomeráticos.

#### 1.2.2.12 - Formação Palermo

#### 1.2.2.12.1 - Generalidades

ŀ

O nome Palermo foi empregado pela primeira vez, por White (1908), que o retirou da vila homônima do município de Lauro Müller (SC). A formação foi incluída, por este autor, na sua Série Tubarão, sendo descrita como *Schistos* de Palermo ou Camadas Palermo, sobreposta à Formação Rio Bonito no sudeste do Estado de Santa Catarina.

Washburne (1930 *apud* Mühlmann *et alii*, 1974), no Estado de São Paulo, designou de Formação Tatuí ao pacote sedimentar constituído pelo atual Membro Paraguaçu (Formação Rio Bonito) e a Formação Palermo.

Maack (1947) designou a unidade em questão de "Formação Post Glacial ou Camadas Palermo", assinalando que a mesma não tinha qualquer relação com a glaciação Gondwânica, incluindo-a no Grupo Guatá da "Série Tubarão".

Almeida (1954) observou camadas de sílex, na serra da Saudade, nos arredores de Poxoréo, com 3 m de espessura, com cores cinza-claro a brancas, estratificado plano-paralelamente, repousando sobre arenito vermelho com estratificação cruzada, com conglomerado local e sustentando relevo tabular. O mesmo autor atribuiu estas exposições ao topo da Formação Aquidauana.

Oliveira (1954b) empregou o nome Palermo para designar as camadas intensamente silicificadas que se sobrepunham às rochas da Seqüência Itararé. Para esse autor a formação consistia de intercalações de siltitos arenosos, arenitos finos, e raramente níveis de folhelhos, com cores róseas ou arroxeadas, e intensamente silicificados.

Oliveira & Mühlmann (1965) informaram que sua área mapeada não foi adequada ao estudo das rochas do Grupo Estrada Nova e da Formação Palermo, visto suas intensas alterações pela silicificação que chegaram a atingir os termos superiores da Série Aquidauana, além das reduzidas espessuras motivadas pela erosão prêBotucatu. Englobaram as duas unidades para efeito de mapeamento, onde seus sedimentos incluíam leitos de sílex, por vezes colíticos, folhelhos cinza, arenitos sílticos, branco-esverdeados, arroxeados ou amarelados.

Petri & Fúlfaro (1966 apud Schneider et alii, 1974) constataram nesta unidade lamelibrânquios Guiratinga mendesi, nas proximidades de Guiratinga, Mato Grosso. Neste mesmo trabalho foram observadas também coquinas silicificadas, onde encontraram grande quantidade de conchas de lamelibrânquios mal preservados.

Vieira (1968) caracterizou a unidade na porção nordeste da Bacia do Parana, através de uma fina camada de arenito silicificado, sobre o qual há camadas de silex de variadas cores, com predominância de violeta, resultantes da intensa silicificação sobre sedimentos originalmente síltico-argilosos.

Gonçalves & Schneider (1968) chamaram sob a denominação de Palermo — Estrada Nova rochas que supuseram corresponder aos estratos permianos da Formação Palermo e Grupo Estrada Nova. Admitiram como característica marcante uma intensa silicificação que destruiu as características primárias das rochas, com exceções localizadas. Northfleet, Medeiros e Mühimann (1969) caracterizam a Formação Palermo por um pacote de siltito arenoso cinzamarelado e esverdeado, localmente com arenito fino a médio, próximo à base. A estrutura mosqueada produzida pela ação de organismos escavonados é uma característica desta formação. Gonçalves & Schneider (1970) argumentaram estar a ocorrência de microfósseis na unidade em pauta comprometida pela intensa silicificação epigenética que atingiu os sedimentos desta formação, ocorrendo com relativa abundância coquinas silicificadas, com grande concentração de conchas (lamelibrânquios mal preservados).

Para Mühlmann et alii (1974), esta unidade situa-se concordantemente sobre a Formação Rio Bonito e se constitui de siltitos arenosos cinza em subsuperfície e esverdeados em superfície. Costa et alii (1975) coletaram fósseis que foram datados como Permocarboníferos (Psaronius sp.) e correlacionaram estas rochas com o Grupo Tubarão, denominando-as informalmente de Unidade Permocarbonífera I (PCI). A unidade em estudo integra no sul da Bacia do Paraná o grupo acima mencionado. Oliva et alii (1979) registraram ocorrências destes litótipos na região da serra das Parnaíbas a oeste de Poxoréo.

Na opinião dos autores deste relatório, a Formação Palermo é constituída por arenitos cinza a arroxeados, finos a muito finos, siltitos amarelados e avermelhados, finamente estratificados, arenosos, muito silicificados, com inúmeras intercalações de silex esbranquiçado, colítico e/ou pisolítico, com laminação ondulada suavemente e presença de coquinas silicificadas.

# 1.2.2.12.2 — Distribuição na área e espessura

A Formação Palermo constitui-se na unidade de menor expressão areal, para a Folha em questão. Na área trabalhada suas exposições são caracterizadas por vários níveis silicificados que podem ser constatados na Folha SD.21-Z-D, sendo necessário, em locais restritos, um exagero na escala gráfica para sua representação em mapa. Sua distribuição geográfica é confinada a uma faixa de direção NO-SE, na porção centro-sul do mosaico SD.21-Z-D, com largura média de 2 km, sob forma de franjas irregulares e sinuosas, que orlam o topo da serra das Parnaíbas, sendo localmente controladas por falhamentos de gravidade. Nos trabalhos de campo, desenvolvidos na região, constata-se uma espessura máxima de 40 m destes sedimentos, na serra acima mencionada.

Gonçalves & Schneider (1970) relataram que no centro-leste de Mato Grosso, a Formação Palermo apresentava uma espessura da ordem de 15 m, que se mantinha constante em toda a região estudada.

Já para Schneider et alii (1974), esta unidade apresentaria uma ocorrência generalizada em toda a Bacia do Paraná. Em Santa Catarina e Paraná a unidade mostrava espessuras da ordem de 90 m; em São Paulo, Goiás e Mato Grosso a mesma não excedia 50 m, sendo que no Rio Grande do Sul atingia uma espessura da ordem de 150 m. Informaram ainda que, em subsuperficie, sua maior espessura constatada foi de 282 m no poço 2-AL-1-RS (Alegrete, RS).

是是我们们的自己的人,我们就是一个人的人的人的人的人,也不是一个人的人的人的人,但是这种人的人的人的人的人的人的人的人的人,也不是一个人的人的人的人,也不是一个 "我们就是我们们是我们的人的人,我们就是我们的人的人的人的人的人,我们就是我们的人的人的人的人的人的人的人的人的人的人的人的人的人的人的人的人们也不是一个人的人

122/GEOLOGIA

#### 1.2.2.12.3 - Posição estratigráfica

Na área estudada o contato inferior da Formação Palermo com a Formação Aquidauana se faz através de discordância erosiva por falhas de gravidade. Porém Gonçalves & Schneider (1970) relataram que este contato além de discordante, para o centro-leste de Mato Grosso, é angular e marcado pela presença local de conglomerado basal, fato que não existe no centro da bacia. Não se observa esta particularidade de contato angular nas áreas percorridas. Superiormente, o contato com a Formação Botucatu se faz discordante e erosivo.

Northfleet, Medeiros e Mühlmann (1969) consideraram seus contatos no flanco leste da bacia, tanto no topo como para base, concordantes. O contato superior seria colocado na passagem dos siltitos cinza-esverdeado para os folhelhos e argilitos pretos da Formação trati.

Mühimann et alii (1974) e Schneider et alii (1974) disseram ser discordante o contato com a Formação Aquidauana em Mato Grosso e Goiás, enquanto que o superior seria concordante com a Formação Irati, exceção feita ao Estado de São Paulo, onde diversos autores o descreveram como discordante.

Segundo Schneider et alii (1974), no sul da bacia, esta formação freqüentemente assinala a presença de tronços silicificados de Dadoxylon sp. Já para a região norte a intensa silicificação epigenética que atingiu suas rochas mascara e prejudica a identificação de seus microfósseis.

Petri & Fúlfaro (1966, apud Mühlmann et alii, 1974) referiramse a lamelibránquios Guiratinga mendesi encontrados em estratos da Formação Palermo em Mato Grosso. Daemon & Quadros (1969 apud Mühlmann et alii, 1974), baseados na microflora rica em esporos dissecados que surgem juntamente com os siltitos desta formação, identificaram o espectro palinológico do subintervalo bloestratigráfico I<sub>1</sub>, em grande parte da bacía. Na parte mais central da mesma, onde a unidade se espessa, a palinologia indicou os intervalos J e K, possibilitando situá-la no Permiano Médio a Superior (Kunguriano e Kazaniano).

Gonçalves & Schneider (1970) notificaram para esta unidade a ocorrência com relativa abundância de coquinas silicificadas, com grande concentração de conchas (lamelibrânquios mal preservados).

Os autores deste relatório respaldados nas observações acima aludidas colocam esta formação, se correlacionável com aquela de mesma terminologia, no sul da bacia, como depositada do Kunguriano (Permiano Médio) ao Kazaniano (Permiano Superior). Esta correlação necessita ser melhor estudada, em função das dúvidas acerca dos critérios utilizados para comparação, sejam estratigráficos ou litológicos.

Vieira (1968) admitiu a correlação estratigráfica, porém questionou a litológica, uma vez que as litologias da região diferem das existentes no sul da bacia. Esta diferença suscita de imediato duas questões: seriam os litótipos da área uma "fácies" setentrional da Formação Palermo ou por suas características representariam uma outra formação (?!). Os critérios estratigráficos podem ser aceitos com restrições, uma vez que entre a Formação Aquidauana (correspondente cronoestratigraficamente à Formação Campo do Tenente, no sul da bacia, segundo Schneider et alii, 1974) e a Formação Botucatu existem várias unidades litoestratigráficas.

No caso de uma proposição, o que seria um dos resultados positivos deste mapeamento, haveria necessidade de estabelecer uma seção-tipo. Porém, diante da exigüidade de tempo, caráter e escala de mapeamento, tal incumbência não foi possível concretizar. Apesar de baseados apenas no suporte litológico, sem o embasamento regional que seria fornecido por faixas aflorantes mais a leste da área, os autores deste relatório desejam aqui transcrever suas dúvidas e opiniões, levantando um problema que necessita uma melhor investigação, seja através de um mapeamento em escala mais adequada ou por meio de um trabalho específico, que visem a determinar com precisão a correlação mencionada.

#### 1.2.2.12.4 - Litologias e estruturas

A Formação Palermo, em seu recobrimento restrito na Folha SD.21 Cuiabá, apresenta pequenas escarpas verticais que se refletem muito bem na imagem de radar elaborando e delimitando as mesmas uma morfologia tabuliforme, em cuja superfície desenvolve-se uma drenagem de baixa densidade, vertentes rasas, vegetação tipo cerrado ralo, onde seu relevo exibe quebras negativas que na base indicam contato com a Formação Aquidauana. Os afloramentos são escassos na região estudada e em cortes de estrada apresentam-se em forma de bancos e camadas com extensões laterais restritas. Mostram-se formando verdadeiras "carapaças" silicificadas, finamente estratificadas, que sustentam o topo das elevações (Est. 1.XII A).

Na borda noroeste da bacia, Gonçalves & Schneider (1968) agruparam sob a denominação Palermo—Estrada Nova rochas que supunham serem correspondentes aos estratos permianos da Formação Palermo e Grupo Estrada Nova no leste da Bacia do Paraná. Caracterizaram estas litologias por uma intensa silicificação que destruiu em grande parte suas propriedades primárias. Entretanto, localmente constataram litótipos isentos daquele fenômeno, constituídos por argilitos cinza-esverdeado, argilitos verdes, com acamamentos incipientes, silitios cremes, silicificados e finamente laminado, por vezes com níveis centimétricos de folhelhos betuminosos intercalados, silex esverdeado com fratura irregular a subconchoidal e sílex esbranquiçado, oolítico e/ou pisolítico.

Para o flanco leste da bacia, Northfleet, Medeiros e Mühlmann (1969) consideraram a Formação Palermo constituída por um pacote de siltitos arenosos, cinza-amarelado e esverdeados, localmente com arenito fino a médio próximo ao topo e concreções e nódulos de sílex próximos à base.

Já para a região centro-leste de Mato Grosso, Gonçaives & Schneider (1970) empregaram a terminologia Formação Palermo, considerando este pacote sedimentar constituído da base para o topo de: delgado congiomerado basal (menos 50 cm), raramente presente, avermelhado, com seixos angulares esparsos em matriz arenosa silicificada; sittito vermelho-arroxeado, arenoso, finamente estratificado, muito silicificado; silex esbranquiçado com estratificação ondulada e coquina silicificada, esbranquicada.

Para Schneider et alii (1974), a Formação Palermo seria constitulda de siltitos e siltitos arenosos de cores cinza e, por alteração amarela, esverdeada. Localmente desenvolveriam arenitos finos no Paraná e mesmo conglomerado em São Paulo, Informaram também que estes sedimentos, encontram-se bioturbados, resultando na quase completa destruição de suas estruturas sedimentares. Quando preservados, caracterizam-se laminações cruzadas de pequeno porte. Na área em questão, os autores deste relatório consideram esta unidade constituída na base por um delgado e raro conglomerado basal, com seixos esparsos numa matriz arenosa silícificada, alterado, com espessuras inferiores a 0,40 m, passando nas porções medianas a intercalações entre siltitos róseos e esbranquiçados, silicificados, com espessuras que oscilam entre 0,10 m a 0,20 m, arenitos finos, róseos, friáveis quando não silicificados, aspecto maciço e níveis de silexitos brancos. Na parte mais superior constatam-se bancos de silexitos esbranquiçados a avermelhados, oolíticos e/ou pisolíticos, intercalados com siltitos e argilitos subordinados, cores avermelhadas, arroxeadas ou claras, silicificados e laminados finamente. Localmente, é possível visualizar-se a presença de coquinas silicificadas. No topo da seqüência destes litótipos é comum observar-se uma capa concrecionada com a formação de 'bolachas achatadas", cimentadas por sílica, como também intercalações centimétricas de siltitos alterados, laminados, roxos e níveis subordinados de silexitos.

Os arenitos que constituem este pacote sedimentar são essencialmente quartzosos, finos, friáveis quando não silicificados, bem selecionados, classificação regular, grãos angulares, com pontuações brancas.

Santo & Freitas (1979) descreveram próximo de Poxoréo (MT), na saída para Rondonópolis, um nível oolítico, estratificado e endurecido, intercalado com níveis pelíticos arroxeados, os quais possuem finos leitos brancos a cinza-escuro de material concrecionado, interpretados como Formação Palermo. O local acima descrito mostra ainda, na base do afloramento, uma 'camada de calcário cinza-escuro, com espessura de 2 m, bastante fossilifero, sobreposto por silitios/arenitos finos, róseos, alterados e friáveis, muito conturbados devido à proximidade da Falha de Poxoréo, litótipos estes que também são inseridos na sedimentação Palermo.

As estruturas observadas na área mapeada, via de regra, são as laminações plano-paralelas e, localmente as camadas portam suaves ondulações.

# 1.2.2.12.5 - Origem e ambiente de sedimentação

Devido às suas características litológicas e sedimentares, a maioria dos autores que estudaram a Formação Palermo foi unânime em considerá-la, como depositada em ambiente marinho.

Gonçalves & Schneider (1968) atribuíram-lhe um ambiente de águas rasas, movimentadas em clima quente. Gonçalves & Schneider (1970) consideraram-na como marinha nerítica. Para Northfleet, Medeiros e Mühlmann (1969), as rochas desta formação refletiram o ambiente de grande estabilidade que prevaleceu na bacia a partir do Permiano Médio, representando o máximo da transgressão marinha iniciada ao fim do referido período. Vieira (1968) afirmou ser aceito para a Formação Palermo um ambiente continental subaquoso, de águas rasas, o que foi em parte comprovado pelo achado de troncos de madeiras silicíficadas em área próxima a seu mapeamento (região sul-sudoeste de Goiás).

Mühlmann et alii (1974) relataram que as características litológicas e sedimentares, relativamente uniformes, e a grande extensão da Formação Palermo, indicaram que, após a deposição da Formação Rio Bonito, toda área atual da bacia foi recoberta por uma transgressão marinha, transformando-se em uma extensa plataforma rasa. Comentaram que a intensa bioturbação, que estes sedimentos revelam, indicariam deposição abaixo do nível de ação das ondas. Localmente houve ações de correntes, que possibilitariam a formação de laminações paralelas associadas com marcas ondulares. Segundo Ghignone (1975), o registro litológico desta unidade revelaria condições de mar aberto, porém extremamente raso e ocupando uma área muito vasta. Para Soares, Landim e Fúlfaro (1978) a Formação palermo, para as porções mais setentrionais da bacia, desenvolveu-se sob condições de uniformidade e moderada subsidencia, em ambiente litoraneo, lagunar e intermares. Admitiram que estes diferentes ambientes de sedimentação para essa área teriam reflexos das atividades do climax do Arco de Ponta Grossa no Permiano Médio.

Os autores deste relatório, diante das opiniões emitidas, admitem para esta unidade um ambiente de deposição em mares rasos e clima quente, que ocupavam plataformas extensas com influências locais de correntes com certa intensidade. Na região estudada, após sua sedimentação, houve um marcante período de não deposição/erosão, evidenciado pelas intensas atividades epigenéticas que silicificarem de modo significativo seus registros deposicionais.

#### 1.2.2.13 - Grupo São Bento

# 1.2.2.13.1 - Generalidades

White (1908) foi quem pela primeira vez utilizou o nome São Bento, para assim designar a "série" situada no topo do seu Sistema de Santa Catarina. Essa "série" foi dividida, por esse mesmo autor, a partir da base dessa unidade, em camadas vermelhas do rio do Rasto, Grês São Bento e rochas eruptivas da serra Geral.

Estudando essa "série" do Estado de São Paulo, Washburne (1930 apud Mendes & Petri, 1971) distinguiu uma nova unidade, estratigraficamente acima dos derrames basálticos, a qual deu o nome de Arenito Caiuá.

Posteriormente, foi que essa "série" passou a ser considerada como constituída por: Formação Santa Maria, Arenito Botucatu, Formação Serra Geral e Arenito Caiuá (Gordon Júnio, 1947).

Maack (1947) considerou a "Série São Bento" como correspondente às sequências sedimentares depositadas no Triássico Superior ao Jurássico. Da base para o topo, a "série" foi dividida em: Fácies Pirambóia, Arenito São Bento Inferior ou Botucatu, Lavas da Serra geral ou *Trapp* do Paraná e Arenito Superior ou Caiuá.

Almeida (1948a e b) descreveu ocorrências da "Série São Bento" no Planalto de Rio Verde e na região do Alto Aragueia.

A "Série São Bento" foi registrada na alta bacia do rio Araguala, Mato Grosso, por Almeida (1954), assinalando que os arenitos da presente série não haviam sido identificados até então em tal região, devido a confusão existente com relação a verdadeira posição

do Arenito das Torres. Informou ainda que, através de uma expedição da DGM/DNPM (Ministério da Agricultura) em 1947, já havia sido comprovada a extensão, para essa mesma região, da Série São Bento, representada pelo Arenito Botucatu e intrusões diabásicas. Baurlen (1956) registrou que, para a maioria dos pesquisadores, todo o Complexo Gondwânico do sul do ex-Estado de Mato Grosso correspondia à Série São Bento, sob a designação de Arenito Maracaju. Considerou, por outro lado, como supérfluo este termo, pelo que sugeriu sua eliminação. A Série São Bento do sul do ex-Estado de Mato Grosso foi, também, por ela correlacionada com a seção superior da Série Bento, da margem oriental, da Bacia do Paraná.

Gonçalves & Schneider (1968), em sua coluna estratigráfica, designaram de Série São Bento aos arenitos eólicos Botucatu, de idade triássica superior, e basaltos da Formação Serra Geral, de idade cretácea. Posteriormente, trabalhos de detalhe levaram Gonçalves & Schneider (1970) a individualizarem na presente região (centro-leste do Estado de Mato Grosso), apenas formações.

Mühlmann et alii (1974) considerarem o Grupo São Bento englobando as formações Botucatu, Serra Geral e Caiuá.

Corrêa et alii (1976) foram os primeiros a usar o termo Grupo São Bento na área, dividindo este em duas formações: a inferior, correspondente ao arenito eólico infrabasáltico da literatura (Formação Botucatu); a superior, reunindo este mesmo arenito, agora intercalado no basalto e denominado intertrapeano, e os derrames basálticos (Formação Serra Geral).

Luz et alii (1978) confirmaram no extremo leste da Provincia Serrana a existência do Grupo São Bento constituído apenas pela Formação Botucatu.

Os autores do presente relatório aceitam a terminología Grupo São Bento em face de seu emprego consagrado na literatura geológica, em trabalhos feitos tanto no norte quanto no sul da Bacia do Paraná. Na área mapeada esse grupo está representado pelas Formações Botucatu e Serra Geral. A Formação Botucatu corresponde à parte final da sedimentação Gondwânica que preencheu, nesta área, a referida bacia.

# 1.2.2.13.2 — Formação Botucatu

## 1.2.2.13.2.1 - Generalidades

Campos (1889 apud Mühlmann et alii, 1974) foi quem introduziu pela primeira vez, na literaturo geológica, a designação Botucatu. Precisamente chamou de Grês de Botucatu aos arenitos que formam a serra homônima do Estado de São Paulo, descrevendo sua seção-tipo ao longo da ferrovia que liga as cidades de Conchas e Botucatu (SP).

A designação Grês São Bento foi dada por White (1908) ao conjunto sedimentar situado entre as Camades Rio do Rasto e a Formação Serra Geral. Os geólogos da Comissão Geográfica e Geológica de São Paulo, em 1929, segundo Soares (1975), já consideravam distintamente, àquela época, a divisão Arenito Botucatu e Arenito Pirambóia, conforme era sugerido pela legenda do mapa geológico do Estado de São Paulo.

Uma das melhores caracterizações dos pacotes Pirambóia--Botucatu foi feita por Washburne (1930 apud Soares, 1975), designando-os, em sua monografia sobre petróleo no Estado de São Paulo, de Arenito Botucatu stricto sensu ao pacote superior de arenitos eólicos, e de Arenito Pirambóia ao pacote inferior de arenitos fluviais.

Maack (1947) chamou a presente unidade estratigráfica de Arenito São Bento Inferior ou Botucatu, considerando-a como correspondente a depósitos de ambientes desérticos em forma de dunas e escudos arenosos, bem como depósitos fluviais de depressões sem escoamento. A deposição eólica teria também condições de deposição durante o período vulcânico Serra Geral.

Beurlen (1956) registrou que, no sul do ex-Estado de Mato Grosso, o Arenito Botucatu se apresentava sob a forma de ocorrências restritas, pouco espessas intercaladas nos basaltos. Bigarella & Salamuni (1959), estudando os estratos cruzados Botucatu, concluíram que a circulação eólica se fazia de N a NNE em Minas Gerais e São Paulo, infletindo-se para SO ou O no Paraná. Loczy (1966) observou que o Arenito Botucatu consistia de arenitos eólicos com estratificações cruzadas, freqüentemente contendo intercalações de conglomerados fluviais. Diretamente sobre essa unidade repousa-

124/GEOLOGIA

We have a text-only version of this page.

# Introduction to Geology | Navigating our Geology Wing

(mya = million years ago)

Phanerozoic Eon (544 mya to present)	Cenozoic Era (65 mya to today)	Quaternary (1.8 mya to today)  Holocene (11,000 years to today)  Pleistocene (1.8 mya to 11,000 yrs)  Tertiary (65 to 1.8 mya)  Pliocene (5 to 1.8 mya)  Miocene (23 to 5 mya)  Oligocene (38 to 23 mya)  Eocene (54 to 38 mya)  Paleocene (65 to 54 mya)
	Mesozoic Era (245 to 65 mya)	Cretaceous (146 to 65 mya) <u>Jurassic</u> (208 to 146 mya) <u>Triassic</u> (245 to 208 mya)
	Paleozoic Era (544 to 245 mya)	Permian (286 to 245 mya) Carboniferous (360 to 286 mya) Pennsylvanian (325 to 286 mya) Mississippian (360 to 325 mya) Devonian (410 to 360 mya) Silurian (440 to 410 mya) Ordovician (505 to 440 mya) Cambrian (544 to 505 mya) Tommotian (530 to 527 mya)
Precambrian Time (4,500 to 544 mya)	Proterozoic Era (2500 to 544 mya)	Neoproterozoic (900 to 544 mya) <u>Vendian</u> (650 to 544 mya)  Mesoproterozoic (1600 to 900 mya)  Paleoproterozoic (2500 to 1600 mya)
	Archaean (3800 to 2500 mya)	
	<u>Hadean</u> (4500 to 3800 mya)	

#### **METAMAT**

Presidente:

SIDNEY DURANTE

PODERES PÚBLICOS DO ESTADO DE MATO GROSSO

ENDEREÇO:

Av. Jurumirim, 2970 - Bairro Planalto Cuiabá - MT

Cep: 78.050-300

Telefone: (65) 653-2276 / 3808

Fax: (65) 653-3200

#### MISSÃO

A METAMAT – Companhia Matogrossense de Mineração, é uma empresa de economia mista, vinculada a Secretaria de Indústria Comércio e Mineração do Estado de Mato Grosso, tendo sido criada em 1971 num contexto de Estado como agente de desenvolvimento econômico. Como resultado das campanhas de pesquisa a exploração, foram incrementados 37 (trinta e sete) projetos, os quais geraram um total de 10 (dez) jazimentos minerais:

01 (uma ) Jazida de Manganés - "Minas do Urucum" - Corumbá-MS.
03 (três) Fontes de Águas Termais - General Carneiro, Juscimeira (Estância Cantagalo) e Santo Antonio do Leverger (Balneário Águas Quentes) - MT
03 (três) Jazidas de Calcário - "Minas do Cocalinho", de Rosário Oeste-MT e Bonito-MS.

02 (duas) Jazidas de Ouro - Beira Alta- Novo Mundo e Fazenda Realeza - Nossa Senhora do Livramento-MT

01 (uma) Mina de Diamante - "Mina de Melgueira" - Alto Paraguai-MT

### Contratos de Pesquisa Mineral

01 (um) Projeto de Pesquisa- "Projeto Alta Floresta" - METAMAT/Consórcio Brasil Gold (Empresas Sumitomo Corporation do Brasil S/A, Sumitomo Corporation e Mitsubishi Materals Corporation) - 329.000 ha localizados no Norte do Estado - Recursos Assegurados de R\$ 12.415.000,00.

# Convênios de Cooperação Técnica

02 (dois) Projetos de Recuperação Ambiental de Áreas Mineradas - Projeto Tanque dos Padres - METAMAT/CNPq/CETEM - Poconé-MT;

#### Projeto Poxoréo - METAMAT/DNPM- Poxoréo-MT

02 (dois) Projetos de Diagnóstico Ambiental – Atividades Mineradoras da Bacia do Teles Pires- MT – METAMAT/FEMA e Atividades Mineradoras da Sub-Bacia do Rio Paragual-MT – METAMAT/FEMA.

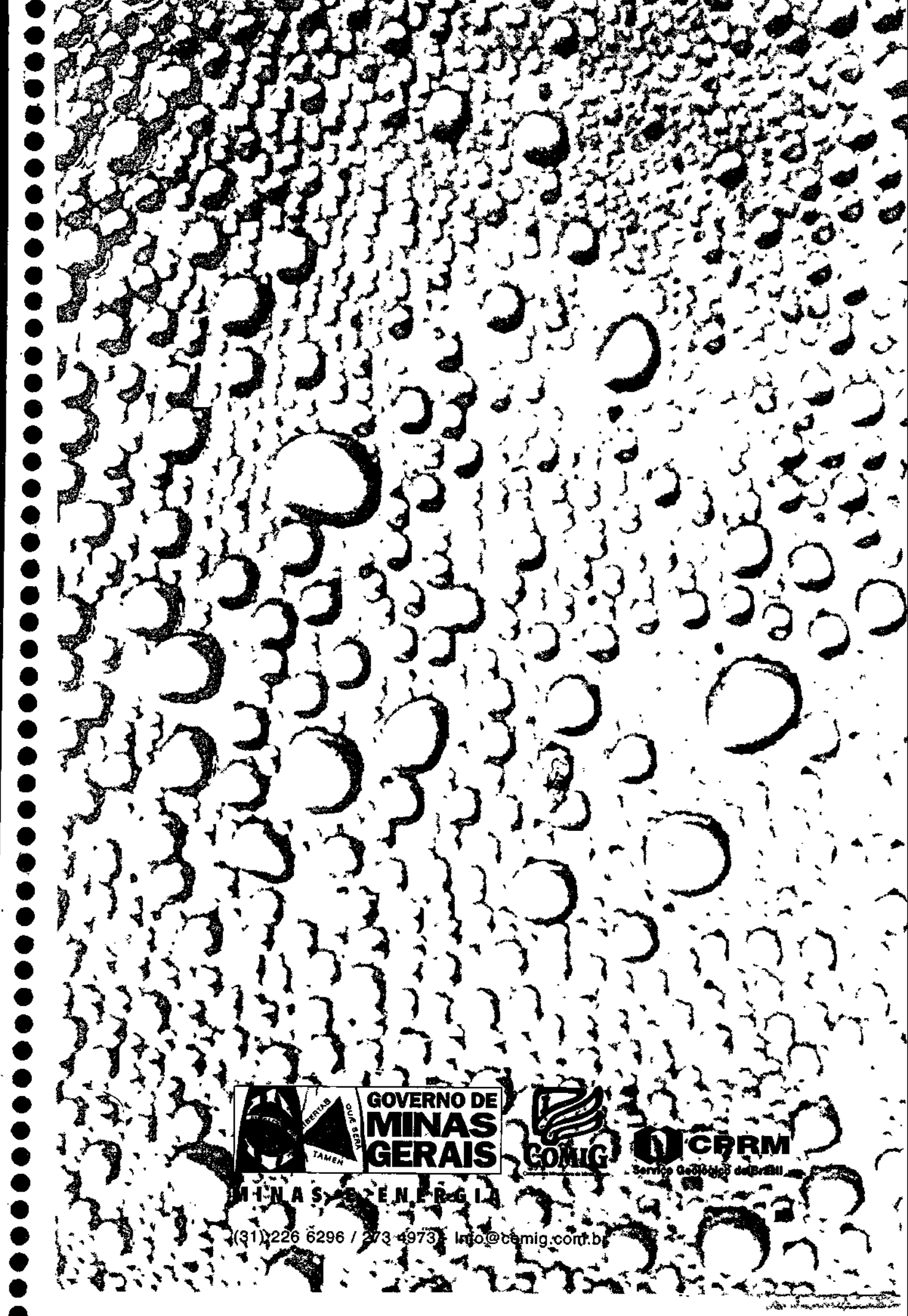
Projetos de Fomento e Extensão Mineral 01 (um) Centro de Treinamento e Divulgação Mineral – "Escola de Artesanato Mineral" – METAMAT/Secretaria Geral do MME- Seda da Companhia.

01 (um) Projeto de Ordenamento Territorial Municipal – "Plano Diretor de Poconé" – METAMAT/Prefeitura de Poconé/FEMA –Poconé-MT.

## Serviços Prestados a Comunidade

A empresa tem buscado, ao longo dos anos, apesar do seu reduzido quadro técnico e ausência de recursos, levar até as mais diversas regiões do Estado, um trabalho de esclarecimento sobre as oportunidades do setor, através de ações específicas: entre as quais podemos destacar:

- Locação de Aquíferos Cadastramento de Ocorrências Minerais:
- Análise Gratuita de Minerais;
- Visitas Técnica; Ordenamento da Atividade Mineradora;
- Diagnósticos Ambientais



ANTIMO JO PAG DE BORROS

# **GOVERNO FEDERAL**

1 por 12001 -

Fernando Henrique Cardoso
Presidente

Rodolpho Tourinho Neto Ministro de Minas e Energia

Luciano de Freitas Borges Secretário de Minas e Metalurgia

# CPRM - SERVIÇO GEOLÓGICO DO BRASIL

Geraldo Gonçalves Soares Quintas Diretor-Presidente

Paulo Antônio Carneiro Dias Diretor de Relações Institucionais e Desenvolvimento

> Thales de Queiroz Sampaio Diretor de Hidrologia e Gestão Territorial

José de Sampaio Portela Nunes Diretor de Administração e Finanças

Cássio Roberto da Silva
Chefe do Departamento de Gestão Territorial

# SUPERINTENDÊNCIA REGIONAL DE BELO HORIZONTE

Osvaldo Castanheira Superintendente Regional

Nelson Baptista de Oliveira Resende Costa Gerente de Relações Institucionais e Desenvolvimento

Fernando Antônio de Oliveira

Gerente de Hidrologia e Gestão Territorial

Jayme Álvaro de Lima Cabral Supervisor da Área de GATE

> Haroldo Santos Vianna Chefe do Projeto

Copyright (c) 1998. CPRM – Superintendência Regional de Belo Horizonte.

Direitos reservados desta edição: COMIG/CPRM – Serviço Geológico do Brasil.

Av. Brasil, 1731 – Bairro Funcionários

Belo Horizonte – MG – 30140-002

cprmbh@estaminas.com.br

Fax (31)261-5585

# **GOVERNO DO ESTADO DE MINAS GERAIS**

Itamar Augusto Cautiero Franco Governador

Newton Cardoso Vice-Governador

# SECRETARIA DE ESTADO DE MINAS E ENERGIA

Paulino Cícero de Vasconcellos Secretário de Estado

José Fernando Coura Superintendente de Recursos Minerais

## COMPANHIA MINERADORA DE MINAS GERAIS

Henrique Eduardo Ferreira Hargreaves

Diretor-Presidente

Marco Aurélio Martins da Costa Vasconcelos Diretor de Administração e Finanças

Luís Márcio Ribeiro Vianna

Diretor de Desenvolvimento e Controle de Negócios

Marcelo Arruda Nassif
Coordenador de Apoio Técnico Operacional

Minas Gerais. Secretaria de Estado de Minas e Energia Estudo Geoambiental do Barreiro; município de Araxá -MG

Organizado por Haroldo Santos Viana, Elisabeth Guelman Davis, Décio A. C. Beato, Jayme A. de L. Cabral. - Belo Horizonte: 1999.

125p.

1. Projeto Araxá - 2. Barreiro de Araxá - 3. Geoambiental - I - Título. II - VIANA, H.S., org. III - DAVIS, E.G. IV - BEATO, D.A.C. V - CABRAL, J.A. de L. Direitos desta edição: COMIG/CPRM.

É permitida a reprodução desta publicação, desde que mencionada a fonte.

CDU 577-4

# **EQUIPE TÉCNICA DE ELABORAÇÃO**

Caracterização Geológica Uso e Ocupação do Solo

Geólogo: Haroldo Santos Viana

Hidrologia e Qualidade das Águas Superficiais

Engenheira: Elizabeth Guelman Davis

Hidrogeologia

Geólogo: Décio A. C. Beato

Zoneamento Ecológico-Econômico

Engenheiro/Geólogo: Jayme Álvaro de Lima Cabral

# **EQUIPE DE APOIO**

Elizabeth de Almeida Cadete Costa – Diagramação e Arte Final Maria Madalena Costa Ferreira - Bibliotecária Rosângela Gonçalves Bastos Souza - Geógrafa Rosemary Corrêa - Desenho Cartográfico Terezinha Inácia de Carvalho Pereira - Digitalização Valdiva de Oliveira - Editoração

## Edição original

CPRM - Serviço Geológico do Brasil
DRI - Diretoria de Relações Institucionais e Desenvolvimento
Av. Pasteur, 404 - CEP 22290-240, Urca - Rio de Janeiro, RJ.
PABX: (21) 295-0032 - Fax: (21) 295-6647

GERIDE - Gerência de Relações Institucionais e Desenvolvimento Av. Brasil, 1731 - CEP 30140-002, Funcionários - Belo Horizonte, MG. Telefone: (31) 261-0352 - Fax: (31) 261-5585

# Edição final

Editora e Serviços Água Branca Rua Fluorina, 112 - CEP 30280-340, Pompéia - Belo Horizonte, MG. Telefone: (31) 481-0828 - Fax: (31) 482-1831

E-mail: eab@encontrar.com.br

# SUMÁRIO

1 - INTRODUÇÃO	1
2 - JUSTIFICATIVAS	3
3 - OBJETIVOS GERAIS	5
4 - SÍNTESE SOCIOECONÔMICA E HISTÓRICO	7
5 - LOCALIZAÇÃO	11
6 - CARACTERIZAÇÃO GEOLÓGICA	13
6.1 - Objetivo específico	
6.2 - Metodologia	
6.3 - Geomorfologia	
6.4 - Geologia regional 6.5 - Geologia local	
6.5.1 - Rochas encaixantes	
6.5.2 - Rochas intrusivas	
6.5.3 - Cobertura laterítica	
0.5.5 - Cobelitara lateritica	20
7 - USO E OCUPAÇÃO DO SOLO	25
7.1 - Objetivo específico	
7.2 - Metodologia	
7.3 - Principais usos e ocupações	
• • •	
8 - HIDROLOGIA E QUALIDADE DAS ÁGUAS DE SUPERFÍCIE	29
8.1 - Objetivo específico	29
8.2 - Metodologia	
8.3 - Caracterização climática	
8.3.1 - Características meteorológicas	
8.3.2 - Parâmetros climatológicos	
8.3.3 - Precipitação	
8.3.4 - Evapotranspiração potencial	
8.4 - Hidrologia superficial	
8.4.1 - Hidrografia	
8.4.1.1 - Características hidrográficas e ambientais da sub-bacia do	
Barreiro/Araxá	39
8.4.2 - Avaliação das disponibilidades hídricas de superfície	
8.4.2.1 - Levantamento dos dados	
8.4.2.2 - Análise dos dados fluvimétricos	
8.4.2.3 - Definição da série histórica	
8.4.3 - Levantamento de campo	
8.4.4 - Recomendações	49
8.5 - Qualidade das águas de superfície	
8.5.1 - Classificação das águas do município	
8.5.2 - Rede de monitoramento	
8.5.4 - Análise dos resultados	
8.5.4.1 - Córrego da Mata	
8.5.4.2 - Córrego da Mata	
8.5.4.3 - Lago da Fonte Andrade Júnior	
	U I

8.5.4.4 - Lago Superior	62
8.5.4.5 - Córrego da Cascatinha	62
8.5.4.6 - Lago Inferior	62
8.5.5 - Conclusões	63
8.6 - Considerações finais e recomendações	 64
9.0 - HIDROGEOLOGIA	65
9.1 - Objetivos específicos	
9.2 - Metodologia	65
9.3 - Cadastros de pontos d'água	66
9.3.1 - Ponte Dona Beja	60
9.3.2 - Fonte Andrade Junior	71
9.4 - Unidades Aquiferas	72
9.4.1 - Aquifero Intergranular (Barreiro)	72
9.4.2 - Aquitero Fraturado	75
9.5 - Hidroquímica	70
9.5.1 - Composição	70
9.5.4 * A presença do dano nas aduas subterrâneas	00
5.0 - Qualitade das aquas subterraneas	~-
2.7 - A DILIGIADIII (AGE HALUELI GOS AGUITELOS	07
5.5 - Conclusioes	00
9.9 - Recomendações	100
10 - ZONEAMENTO ECOLÓGICO-ECONÔMICO	103
10.1- Objetivo especifico	400
10.2- Metodologia	400
10.0- Zonednento	100
10.5.1- Zona de Proteção dos Hecursos Hidricos - ZDRH	404
10.3.1.1 * Função	404
10.0.1.2 - Chienos de delimitacao	
10.5.1.5 Frincipals Confilios de USO	404
10.0.1.4 - Mesinções ao uso e ocupação	404
10.071.0 T Touramas	4
TOTOLE - ADMINISTRACAD DE USO DISCIDIDADO - 701 ID	400
10.00 CE OMONOS DE DENMISCAO	400
10.0.E.O - CHICIDRIS COMINTOS DE 1190	
TOTAL TOTAL GO MINIOR STREET TO A TANK	
· • • • • • • • • • • • • • • • • • • •	
10.3.3.2 - Uso e ocupação	106
	106 106
REFERÊNCIAS BIBLIOGRÁGICAS	106
REFERÊNCIAS BIBLIOGRÁFICAS	106
REFERÊNCIAS BIBLIOGRÁFICAS DOCUMENTAÇÃO FOTOGRÁFICA	106 111
REFERÊNCIAS BIBLIOGRÁFICAS	106 111

教物や必然をい

# QUADROS

Quadro 1: Normas climatológicas	21
Quadro 2: nelação entre as vazões medidas e calculadas	4-
Quadro 3: Vazões médias do posto Iraí de Minas	4/ E4
Quadro 4: Vazões específicas mensais da região do Barreiro	
duadro 5. vazoes medidas na região do Barreiro	
Quadro 6: Características dos principais parâmetros analisados	
7. Cadastramento de pontos d'aqua do Barreiro	54
Quadro 8: Cotas piezométricas medidas no período de 1989-1997 nos poços	00
do aquitero Barreiro	75
S. I inicipals características físico-dulmicas das áquas do aquífero Barroiro	
analisadas pela CPRM em 1997	81
naturais do aquifero Barreiro	
naturais do aquífero Barreiro	83
contaminado do aquífero Barreiro, applicados nale ODBM	
contaminado do aquífero Barreiro, analisadas pela CPRM em 1997	84
período de 1989 a 1997 nos piezômetros de Remains	
período de 1989 a 1997 nos piezômetros do Barreiro	85
analisadas pela CPRM em 1997	
analisadas pela CPRM em 1997	87
postantidade das aguas destinadas ao consumo humano	96
TABELAS	
Tabela 1: Composição mineralógica média do minério de Araxá	
	22
Tabela 3: Composições químicas do minério e do barianizadore de Assaul	22

The second secon

# **APRESENTAÇÃO**

O projeto Araxá/Barreiro vem demonstrar uma interação entre governo, empresa e comunidade, na busca de conhecimentos para o uso racional dos recursos naturais, em benefício da sociedade, tendo como premissa básica o respeito ao meio ambiente.

A área do projeto é de aproximadamente 2.516 ha, guardando nesse pequeno espaço um complexo de atividades envolvendo mineração, indústria e turismo, reconhecido mundialmente.

O trabalho desenvolvido pela CPRM - Serviço Geológico do Brasil, em parceria com a Companhia Mineradora de Minas Gerais - COMIG, apresenta à comunidade um conjunto de informações sobre o meio físico visando subsidiar a coexistência das atividades econômicas em consonância com a proteção do meio ambiente.

# Capítulo 1

# Introdução

O projeto Araxá resultou de convênio celebrado entre o Serviço Geológico do Brasil - CPRM e a Companhia Mineradora de Minas Gerais - COMIG, visando ao estudo, em parceria, da bacia a montante do Grande Hotel do Barreiro, município de Araxá - MG. A área em estudo perfaz um total aproximado de 2.516 ha, caracterizada pelas sub-bacias dos córregos da Mata, Baritina e Cascatinha, afluentes do córrego do Sal.

O município de Araxá destaca-se como das mais importantes estâncias hidrominerais do Estado de Minas Gerais, com fontes de águas minerais de natureza diversa, além de lamas medicinais, com propriedades terapêuticas incontestáveis.

O Complexo do Barreiro está inserido em contexto geológico onde coexistem jazimentos minerais importantes como nióbio, fosfato e água mineral, hoje tidos como os produtos responsáveis pela atividade industrial e turística, não só do município como de toda a região do Triângulo Mineiro.

O estudo proposto visa fornecer subsídios para harmonizar as atividades socioeconômicas regionais com a preservação da qualidade e do volume das águas minerais do balneário do Barreiro, na tentativa de alavançar a atividade turística na região.

# **Justificativas**

Subsidiar o planejamento do uso e ocupação da sub-bacia hidrográfica do córrego do Sal, a montante da estância hidromineral do Barreiro.

Fornecer subsídios para o gerenciamento racional dos recursos naturais da região, com ênfase ao estudo qualitativo e quantitativo das fontes hidrominerais.

# **Objetivos**

Produzir o conhecimento básico sobre as fontes hidrominerais e seu entorno, com vistas à avaliação de suas origens, qualificação, quantificação e determinação de medidas de proteção das fontes existentes.

Definir parâmetros para o adequado uso da terra das áreas situadas a montante do Parque Hidromineral, com base nas características do meio físico.

Definir critérios para harmonização da atividade extrativa e de transformação dos recursos minerais existentes com a preservação do meio ambiente.

## Síntese socioeconômica e histórico

A economia do município de Araxá era, no passado, sustentada praticamente pela agropecuária e pelo pequeno comércio de trocas. Em 1816, foi anunciada oficialmente a existência de águas minerais no município, ocorrendo a partir daí um incremento substancial na economia da região. Mais tarde, com o descobrimento dos jazimentos de nióbio e apatita, e com a explotação destes recursos minerais, o município passou por uma verdadeira revolução econômica. Hoje, as atividades econômicas principais estão relacionadas à mineração e ao turismo, seguidas da indústria de transformação, do comércio e da agropecuária.

Segundo dados do IBGE (in INDI 1997), a evolução da população residente no município é a seguinte:

Ano	Urbana	Rural	Total
1970	31.520	4.156	35.676
1980	51.311	2.093	53.404
1991	67.972	1.939	74.063

Segundo dados da Fundação João Pinheiro/Centro de Estatística e Informação - CEI (in INDI 1997), a população ocupada por setores econômicos (1980) é a seguinte:

Setores	N° de
Settores	pessoas
Agropecuária	2.348
Indústria (1)	7.876
Comércio	1.939
Transporte, Comunicação e	873
Armazenagem	
Outros Serviços (2)	7.758

- 1 Inclui indústria de transformação, mineração, construção e serviços industriais e de utilidade pública.
- 2 Inclui prestação de serviços, atividades sociais, administração pública e outras atividades.

A história do município de Araxá encontra-se bem retratada em acervo bibliográfico abrangente, disponível na Fundação Calmon Barreto, nessa cidade. Magalhães (1945) faz uma abordagem interessante sobre a história do município de Araxá e das fontes do Barreiro. Nesse trabalho, os historiadores mostraram que dois episódios marcaram fortemente a história de Araxá. O primeiro trata-se da conquista da região pelos índios Arachás, em 1766, favorecendo sobremaneira a instalação de agricultores e criadores. O segundo refere-se à transferência, através de decreto, do "Triângulo" da Capitania de Goiás para a de Minas Gerais, em 1816. A esse fato está relacionada a lenda de D. Beja, cujo nome verdadeiro era Ana Jacinta de São José. O ouvidor Joaquim Inácio Silveira da Mota, movido por intensa paixão, raptou-a, provocando um grande escândalo na região. Para amenizar o ocorrido e se vingar do ouvidor de Goiás, que era seu inimigo, aproveitou-se da amizade que detinha junto a D. Pedro I e, por intermédio do príncipe, conseguiu que D. João VI baixasse o alvará datado de 4 de abril de 1816, fazendo com que o julgado de Desemboque e de São Domingos de Araxá fosse desmembrado da Capitania de Goiás e incorporado à de Minas Gerais.

Daí em diante, D. Beja viveu cercada de luxo e aventuras. Como parte do seu dia-a-dia, costumava tomar banho na fonte do Barreiro, que mais tarde ficou batizada de Fonte D. Beja. ありおき はながれ でき

Uma outra versão quanto à reincorporação do Triângulo Mineiro à capitania de Minas Gerais está ligada ao movimento que os araxaenses realizaram, resultando em abaixo-assinado, intitulado "Requerimento dos Moradores de São Domingos do Araxá", pedindo sua passagem para a Capitania de Minas.

A pedido dos moradores da Freguesia de São Domingos do Araxá, através de requerimentos a D. João VI, a Freguesia passou a Vila em 13 de outubro de 1831.

Em 13 de dezembro de 1865, a vila de São Domingos de Araxá foi elevada à categoria de cidade.

Magaihães (op cit) enumera os fatos mais importantes que marcaram a história das fontes de águas minerais de Araxá:

"1816 - O Barão de Eschwege leva ao conhecimento do Governo a existência dessas águas minerais, considerando-as de grande e notável valor (primeira comunicação oficial).

1886 - O dr. Orville Derby faz o primeiro estudo geológico da região.

1886 - O dr. Melo Brandão, clínico em Juiz de Fora, procede as primeiras análises químicas das águas sulfurosas, cujo trabalho está inserto no livro de atas da Câmara Municipal.

1890 - O conselheiro J. M. Caminhoá apresenta à Academia Nacional de Medicina a memória sob o título "Estudo das Águas Minerais de Araxá" e, de acordo com os informes dos clínicos locais, considera como principal virtude terapêutica o tratamento da tuberculose.

1891 - O Dr. João Teixeira Álvares funda em Araxá um sanatório para tratamento especialmente da tuberculose. Devemos retificar que as melhoras do tuberculoso não provinham do tratamento crenológico, conforme as observações clínicas atuais, e, sim, do bom clima de Araxá.

1903 - O dr. João Teixeira obteve o privilégio da Câmara Municipal de Araxá para exploração das fontes minerais.

1912 - A Empresa das Águas de Araxá construiu o primeiro balneário, com 6 banheiros de cimento, sendo a água sulfurosa aquecida em latas servidas para o acondicionamento de querosene.

1915 - São doadas as fontes minerais ao Estado, sendo criada a Prefeitura de Araxá.

1915 - As fontes minerais são arrendadas pela firma Botelho e Magalhães, que construiu uma estrada de automóveis ligando o Barreiro à cidade e edificou o primeiro balneário mais confortável, com 16 cabines de banho, com banheiras de ferro esmaltado, fazendo o aquecimento da água em serpentinas de vapor, e uma cabine de banho de lama.

1916 - Primeira análise clínica das águas sulfurosas, com exames feitos no local, pelo dr. Alfredo Schaeffer, chefe do laboratório de análises de Minas Gerais.

1922 - O Governo do Estado rescinde o contrato de arrendamento das fontes minerais, melhorando e ampliando o balneário, dotando-o de 32 cabines de banhos sulfurosos e 2 cabines de banhos de lama.

1925 - O dr. Andrade Júnior, com a colaboração do petrógrafo Djalma Guimarães, procede ao reconhecimento geológico da região e ao estudo petrográfico das rochas relacionadas com as fontes minerais.

1926 - O professor Otávio Magalhães, comissionado pelo Governo de Minas, faz o estudo bacteriológico das águas minerais e da fonte radioativa, considerada, então, como simples água potável

1927 - O prefeito Mário Campos e o engenheiro Carvalho Lopes, após estudos e pesquisas experimentais, determinaram definitivamente a origem à formação da lama mineral.

1927 - O Governo do Estado projeta e inicia a construção de um balneário, orçado em 800 mil cruzeiros. Os trabalhos foram suspensos no começo da obra.

1927 - O dr. Andrade Júnior descobre o forte teor de emanações radioativas na fonte D. Beja.

1928 - Os drs. Andrade Júnior e Carvalho Lopes executaram o notável trabalho de captação das fontes sulfurosas, aumentando a vazão de 28.000 litros para 115.000 litros diários.

1929 - A dra. Eugéne Rugovine, assistente do professor Du Park, de Genebra, comissionada pelo Governo do Estado, procede às análises completas da fonte Andrade Júnior (fonte sulfurosa) e da fonte D. Beja, realizando os trabalhos no local.

1937 - O governador Benedito Valadares inicia as vultosas obras de modemíssimo aparelhamento da Estância.

1942 - Inauguração das grandes obras termais de Araxá, no dia 19 de abril.

1945 - O dr. Andrade Júnior verificou a existência das emanações de tório na fonte D. Beja".

Outros fatos relacionados à história do Barreiro, que merecem destaque:

"1947/1948 - Primeira pesquisa de fosfato, realizada pelo Instituto de Pesquisa Industrial de Belo Horizonte, mostrando uma reserva substancial de rocha fosfatada. Barbosa O. (1970).

1960 - A Companhia Agrícola de Minas Gerais S.A. - CAMIG começou a produzir fosfato moído.

1960 - Iniciou-se a explotação da mina de nióbio.

1978 - Foi detectada contaminação na produção de fosfato pela ARAFÉRTIL S.A.

1982 - Foi detectada contaminação das águas subterrâneas por bário, a partir da infiltração de cloreto de bário da barragem B4, pertencente à CBMM. Simultaneamente, alertou-se para os possíveis efeitos causados pelo rebaixamento da mina de fosfato, na qualidade e vazão da fonte Beja".

A partir desse conjunto de problemas iniciou-se uma série de atividades de neutralização do enclave de contaminação e de monitoramento químico e piezométrico de uma série de poços e corpos de água superficiais.

1997 - Reforma das termas, executada pela Companhia Mineradora de Minas Gerais - COMIG.

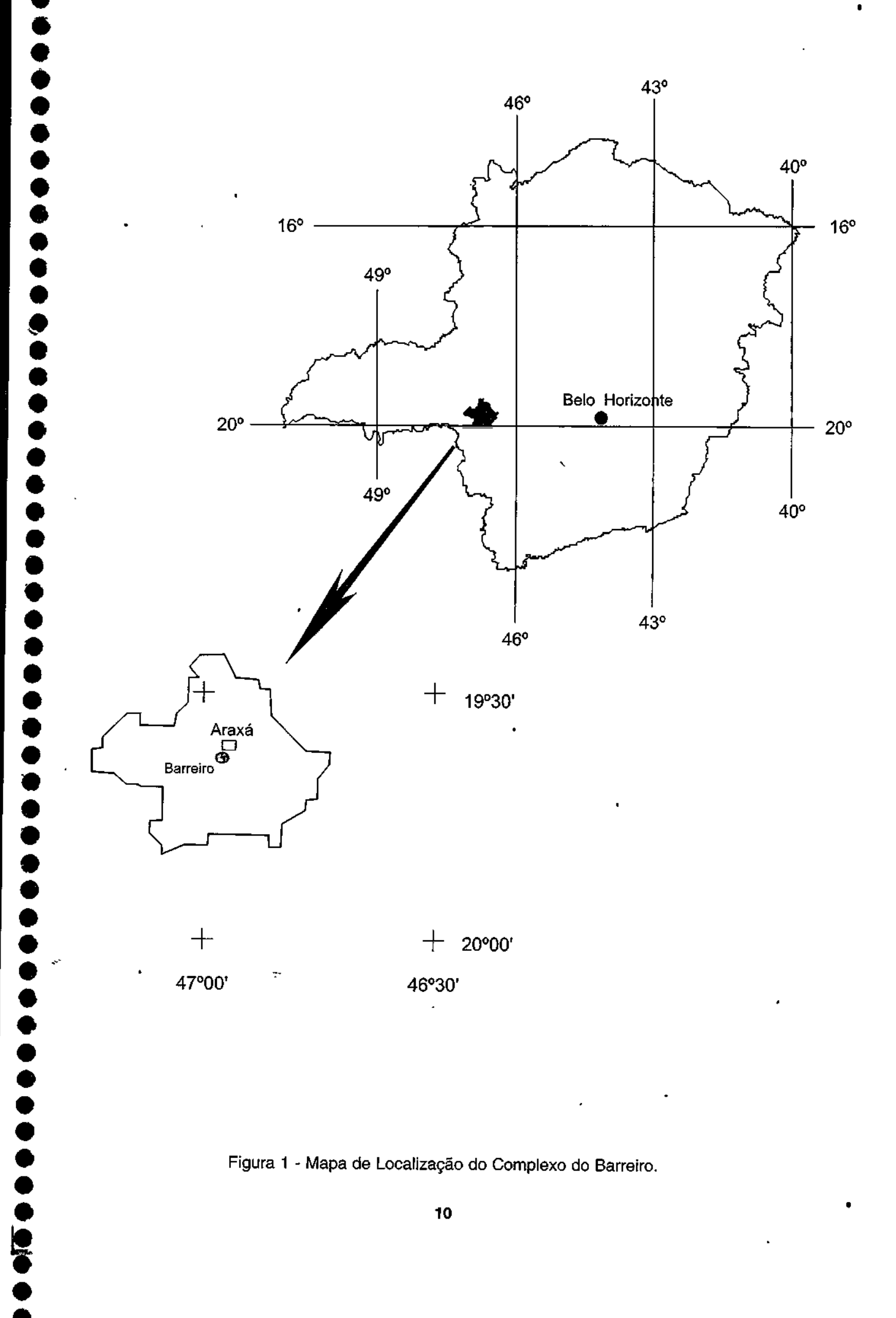


Figura 1 - Mapa de Localização do Complexo do Barreiro.

## Localização

A área do Barreiro localiza-se no município de Araxá, a aproximadamente seis quilômetros ao sul da cidade, definida pelas coordenadas geográficas 19°38' latitude S e 46°56' longitude W.G. O acesso é feito a partir de Araxá no sentido Arafértil por estrada asfaltada ou pela CBMM, antigo acesso, por estrada revestida de pedra, tipo pé-de-moleque.

O município de Araxá é localizado na região do Triângulo Mineiro/Alto Paranaíba, ocupa uma área de 1.166 km², distando 367 km de Belo Horizonte. (figura 1). Possui uma população urbana de 67.972 habitantes e rural de 1.939 (IBGE 1991). É servido por boa malha rodoviária, sendo as principais rodovias BR - 146, BR - 452, MG - 428 e MG - 341, interligando-se aos grandes centros e ao ramal ferroviário da Rede Ferroviária Federal. Possui aeroporto com pista asfáltica, medindo 1.900 m de extensão e 30 m de largura.

# Caracterização Geológica

O Complexo do Barreiro/Araxá destaca-se economicamente como o mais importante entre os complexos alcalinos do Alto Paranaíba. Encontra-se intrudido em rochas quartzíticas, com xistos subordinados, do Grupo Araxá.

O manto de intemperismo recobre todo o conjunto de rochas do Complexo, contendo importantes depósitos minerais em explotação, como o nióbio, (pandaíta) lavrado pela Companhia Brasileira de Mineração e Metalurgia (CBMM) e o fosfato (apatita) pela Arafértil. A reserva de nióbio destacase como a maior do mundo, com 461.7 x 10<sup>6</sup> t de minério com teor médio de 2,5% de Nb<sub>2</sub>O<sub>5</sub> (Issa *et alii* 1984).

O Complexo do Barreiro é formado por rochas plutônicas, de contorno circular, com aproximadamente 4,5 km de diâmetro, com uma área aproximada de 2.516 ha, modelado pelo anel quartzítico, como encaixante, extremamente fissurado e em parte fenitizado.

As rochas que constituem o Complexo são conhecidas através de estudos de testemunhos de sondagens, uma vez que não ocorre rocha plutônica aflorante. Trata-se predominantemente de rochas sílico-carbonatadas (predomínio de silicatos sobre carbonatos).

## 6.1 - Objetivo específico

Levantamento geomorfológico, litológico e estrutural que servirá de base, principalmente, aos estudos hidrogeológicos e ao zoneamento ecológico-econômico.

#### 6.2 - Metodologia

Os primeiros trabalhos foram direcionados ao levantamento de todas as informações disponíveis, nos órgãos estaduais, municipais e nas empresas privadas. De posse dessas informações, foi montada a base cartográfica da área de trabalho, na escala 1:10.000, a partir das bases planialtimétricas cedidas pela CBMM e Arafértil. As coordenadas geográficas mostraram certa incompatibilidade com as do mapa geológico realizado por Grossi Saad *et alii* (1970). Após a compatibilização foi gerada uma base digitalizada, utilizada nas etapas desenvolvidas durante o projeto.

## 6.3 - Geomorfologia

FOR STREET STREE

A área em estudo está inserida no levantamento regional realizado por Barbosa et alii (1970). As formas de relevo predominantes são definidas como morros arredondados a ovalados, com encostas suaves e topos aplainados. A altitude máxima verificada no Complexo do Barreiro é de 1.222 m, situada no extremo sul, e o ponto de cota mais baixa é de 935 m, correspondendo ao leito do córrego do Sal. O córrego do Sal é o dreno principal, com as suas nascentes dentro do Complexo, formado pelos córregos Cascatinha, Baritina e da Mata.

Trabalho de cunho local como o de Grossi Sad et alii (op cit) definiu, na área do Barreiro, quatro superfícies de erosão, correlacionáveis às definidas regionalmente por Barbosa op cit. (figura 2).

Superfície I - Corresponde à superfície Canastra (Barbosa 1955 In Barbosa 1970), pós-Gonduana (King 1956 In Barbosa 1970) e Pratinha (Almeida 1956 In Barbosa 1970). Ocorre em uma área restrita, correspondendo a cotas superiores a 1.200 m.

Superfície II - Ocorre entre as cotas 1.100 e 1.200 metros, provavelmente corresponde à Superfície Sul-Americana (King 1956 In Barbosa 1970).

Superfície III - Situada em cotas que variam de 990 a 1.180 metros, caracterizada por morros de encostas muito suaves e topos achatados, correspondendo à Superfície Araxá (Barbosa 1955 in Barbosa 1970). Essa superfície torna-se muito importante, uma vez que os depósitos minerais de modo geral estão associados a ela. Os corpos de canga e argilito se formaram durante a sua implantação. A ocorrência de corpos de canga em diferentes níveis, nas margens dos córregos Cascatinha, Baritina e da Mata, atesta a variabilidade climática durante a instalação dessa superfície.

Superfície IV - Corresponde à Superfície Velhas (King 1956 In Barbosa 1970), com topo máximo de 990 metros, ocupada em sua quase totalidade por depósitos recentes. Um exemplo desses depósitos foi encontrado junto à Fonte Andrade Júnior, caracterizados por detritos de canga contendo ossadas de Haplomastodon e Megatherium, de idade Pleistocênica Superior (Foto 11).

Com base nos furos de sonda realizados na área, foi possível determinar a profundidade em que se faz presente a ação do intemperismo. Na parte norte, observa-se que entre 10 e 180 metros encontra-se rocha fresca. Na parte sul, o material decomposto ultrapassa os 200 metros.

No manto intemperizado, verifica-se predominância de solo laterítico e laterita, depósitos de canga bordejando os drenos, além de um pequeno depósito de argilito e colofana (figura 2 e mapa geológico anexo).

## 6.4 - Geologia Regional

A geologia regional está calcada nos trabalhos do projeto Geologia do Triângulo Mineiro, Barbosa et alii (1970), que definiram, nas proximidades de Araxá, a ocorrência de unidades geológicas denominadas de Complexo Granito-Gnáissico, Grupo Araxá, Grupo Canastra, Formação Ibiá, Intrusivas Alcalinas, e as Coberturas.

O Complexo Granito-Gnáissico é constituído por granitos e gnaisses de composição granodiorítica, com intercalações de anfibolitos; consideradas como as rochas mais antigas da área. O metamorfismo mais alto dessas rochas atinge a fácies anfibolito médio. O contato dessa unidade com os xistos do grupo Araxá torna-se extremamente difícil, devido à profunda decomposição das rochas e ao considerável aplainamento atuante na região.

Grupo Araxá - A designação do grupo foi dada por Barbosa (1955 *in* Barbosa 1970), durante os trabalhos realizados nos arredores de Araxá. Trata-se de micaxistos e quartzitos com intercalações de anfibolitos. Os xistos são a duas micas, com predominância de muscovita. O mineral acessório mais importante é a granada, além da presença em menor escala de rutilo, zircão, turmalina e estaurolita. Os quartzitos ocorrem em leitos delgados, em torno do domo do Barreiro, extremamente fraturados, parcialmente fenitizados pelas intrusivas. Também ocorrem em leitos decimétricos paralelamente à serra de Pirapetinga, com efeitos de catáclase. Os metamorfitos desse grupo atingiram fácies epidoto-anfibolito. Embora as rochas desse grupo se encontrem dobradas em conjunto com as do Complexo Granito-Gnáissico, observações de campo fornecem evidências de que o Grupo Araxá se encontra sobreposto ao Complexo.

Grupo Canastra - Esse grupo foi definido por Barbosa (1955 in Barbosa 1970) e é constituído com base de filitos e quartzitos. Os filitos são, na maioria, quartzo-filitos, caracterizados por lâminas delgadas de filitos intercalados por lâminas delgadas de quartzito, de granulação muito fina até síltica. Há uma predominância de filitos prateados, sericíticos, porém são comuns os filitos grafitosos (às vezes piritosos) e filitos granatíferos. Os quartzitos, na sua maioria, intercalam-se aos filitos e são de granulação fina. Por vezes, ocorrem quartzitos ferruginosos a itabiríticos. Nas proximidades das zonas de falhas, os quartzitos são milonitizados e apresentam aspecto fibroso, denominados localmente de "xisto pau" ou, quando silicificados, perdem o aspecto granular e são popularmente chamados de "gelados". O metamorfismo apresentado por essas rochas são de baixo grau, menos intenso que o do Grupo Araxá. O contato dessa unidade com as do Araxá e Ibiá é através de falhamentos.

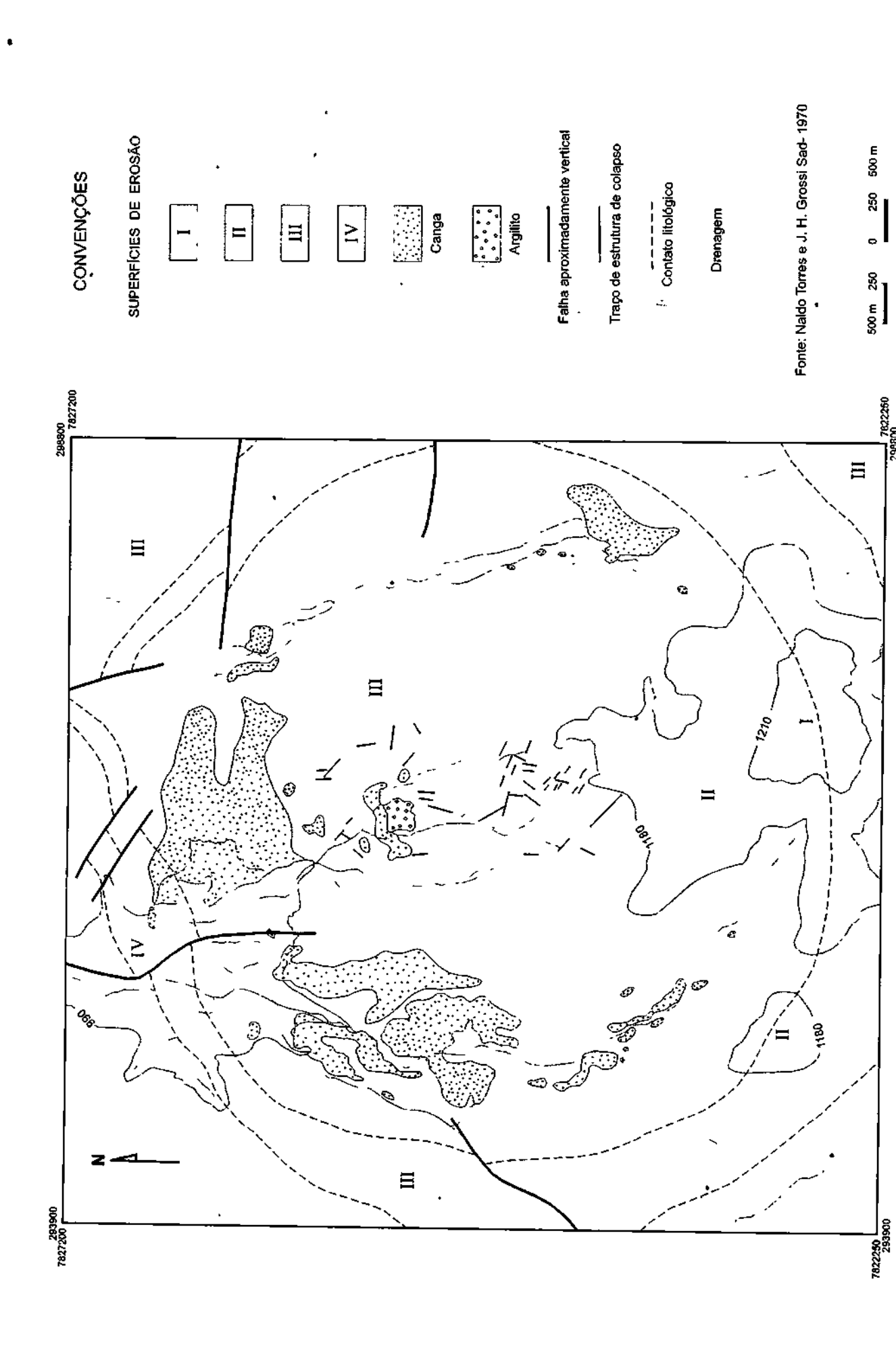


Figura 2 - Mapa Geomorfológico do Barreiro / Araxá

Formação Ibiá - É constituída predominantemente de calcoxistos, representados por calcosericita a clorita-xistos, quase sempre microdobrados e crenulados, com neoformação de leitos e núcleos de quartzo. Quando frescos, apresentam coloração cinza-chumbo a ligeiramente esverdeada. O metamorfismo atuante nessa unidade é de baixo grau, fácies xisto-verde. O contato dessa unidade com as do Complexo Granito-Gnáissico e as do Grupo Araxá se faz através de falhas de empurrão, enquanto que com o Grupo Canastra é concordante.

Intrusivas Alcalinas - O Complexo do Barreiro/Araxá faz parte de um conjunto de corpos alcalinocarbonatíticos situados na região do Alto Paranaíba, no oeste Mineiro e sul de Goiás. Esses corpos alinham-se segundo direção NW, ao longo de falhas profundas, entre a Bacia do Paraná e o craton de São Francisco (Hasui Y. e Cordani, U. G. 1976). 大学を記念を見るというないできないが、 かないとしゃない

\*

要様々

Control of the same was a section of the section of

Sendo identificados os corpos de Araxá, Tapira, Salitre, Serra Negra e Catalão. Encontram-se encaixados em seqüências metassedimentares pré-Cambrianas dos Grupos Araxá, Canastra e Bambuí (Barbosa, O. op cit). Comumente, apresentam forma ovalada ou circular. As rochas dessas ocorrências foram datadas pelo método K-Ar e, de modo geral, as idades aparentes obtidas situam-se no Cretáceo Superior. A maioria agrupa-se em torno de 80 m.a, à exceção de Araxá, com determinação em torno de 90 m.a (Hasui, Y. e Cordani, U. G. 1968).

Para o distrito alcalino de Araxá, vários tipos de rochas foram identificadas como: malingito, araxaíto, carbonatito, jacupiranguito, além de diversos produtos de alteração.

Cobertura Detrito-Laterítica - Há indícios de ocorrências de restos de superfícies aplainadas, em diversos níveis e de diversas idades, geralmente laterizadas. O laterito ferrifero ocorre em forma de amêndoas e, menos freqüentemente, como crosta contínua (canga). O mineral predominante é a goetita, podendo associar-se a hematita. Comumente, se forma onde o "bedrock" é quartzítico ou onde há predominância de magnetita.

## 6.5 - Geologia Local

## 6.5.1 - Rochas Encaixantes

Os primeiros trabalhos de geologia de que se tem conhecimento em Araxá devem-se a Derby 1866, Djalma Guimarães 1925 e 1926 e Barbosa 1937 (in Barbosa, O. op cit).

O Complexo do Barreiro encontra-se encaixado nos metassedimentos, atribuídos ao Grupo Araxá (Barbosa, O. op cit). Contudo, deve-se salientar que, a sudoeste da área, ocorrem filitos com intercalações de quartzitos, pertencentes ao Grupo Canastra (Barbosa, O. op cit). O levantamento geológico está calcado, principalmente, nos trabalhos desenvolvidos por Grossi Saad et alii (1970) e Issa et alii (1984), com algumas verificações de campo (figura 3 e mapa geológico anexo). O Complexo carbonatítico ocorre intrusivo em rochas quartzíticas, com xistos subordinados.

As rochas quartzíticas são as responsáveis diretas pela manutenção da conformação dômica do Complexo, com espessura estimada variando de 100 a 600 metros. Mapeada como unidade inferior, é constituída principalmente de quartzo, via de regra recristalizado, resultante de efeitos de contato. Os principais minerais acessórios são: sodanfibólios, microclina, apatita, dolomita, ortoclase, moscoivita, oligoclásio cloritóides e opacos.

Os minerais citados, excluindo os cloritóides, são resultantes do metassomatismo. Os cloritóides estão presentes nos quartzitos mais deformados, de preferência nos leitos amarrotados. Análise petrográfica dos quartzitos revelou o quartzo como constituinte principal, tipicamente deformado, com grãos variando de 0,05 a 2,5 mm. Apresenta uma textura granoblástica ou fortemente xistoso. Em alguns cristais, observa-se extinção ondulante, devido à sua recristalização. Anfibólio ocorre na rocha ocupando fraturas ou em forma de bolsões ou em agregados lenticulares. Às vezes, venula o quartzo ou ocorre como inclusão. O anfibólio é a eckermmonita, possui hábito prismático a acicular, e grãos com dimensões de 0,05 a 1,5 mm.

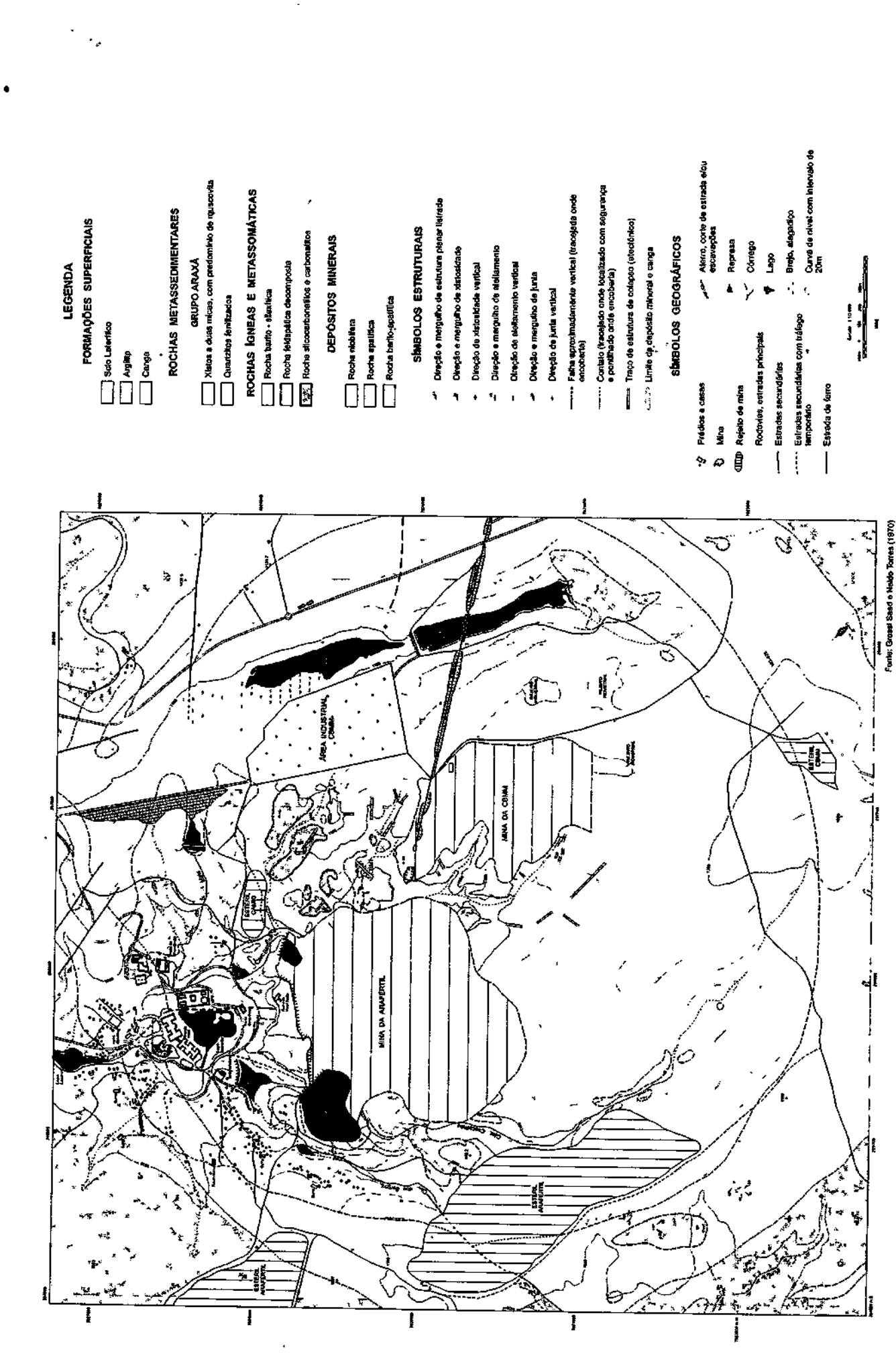


Figura 3 - Mapa Geológico

A microclina ocorre intersticial ou como pequenos porfiroblastos, às vezes sem forma definida. Os minerais são límpidos, com dimensões dos grãos em torno de 0,15 mm, podendo alcançar 3 mm. Pode, às vezes, ocorrer inclusa em dolomita. O ortoclase tem composição  ${\rm Or}_{75}$  Ab<sub>15</sub> e, portanto, trata-se de sodaortoclase, ocorrendo em pequenos porfiroblastos, às vezes incluso em dolomita. O carbonato é a dolomita, apresentando coloração turva, não deformada, ocorrendo associada ao anfibólio e substituindo os minerais descritos anteriormente. Os feldspatos ocorrem não deformados, porém deformam a matriz que os contém. Tal fato atesta que esses minerais foram introduzidos na rocha quartzítica. Os quartzitos fenitizados (com sodanfibólio e feldspato) não foram individualizados dos demais quartzitos, dada a ausência de afloramentos contínuos. A zona de contato dos quartzitos e a intrusiva do Complexo Barreiro foi definida com base na variação do tipo de solo, gerado por um ou outro tipo rochoso.

意义是各种 一种 一种

おこをあっています。 地方では、アンドルングラン

r į

A unidade geológica superior pertence ao grupo Araxá. Trata-se de um micaxisto, caracterizado como quartzo-biotita xisto, na sua maioria fenitizado e alterado, guardando sua textura original. Além de biotita e quartzo, a sericita está presente, como parte dos minerais originados antes da intrusão. A granulação varia de 0,01 a 0,3 mm, e apresenta estrutura xistosa amarrotada. O quartzo apresenta-se com estiramento. Como mineral acessório, ocorre a cianita. O metassomatismo silicoso se faz presente, com introdução de quartzo de contorno hexagonal, de dimensões de até 2 mm. Fato notório é que esse mineral envolve grãos de biotita, anfibólio e ortoclase. Durante os processos de fenitização, foram gerados os minerais de anfibólio e K-feldspato.

O comportamento estrutural do Complexo do Barreiro é facilmente observado na estruturação dômica adquirida pelas rochas do grupo Araxá, resultante da intrusão. As rochas quartzíticas são as que apresentam os melhores efeitos da intrusão, verificados através da fenitização e do intenso fraturamento, verificado através da ocorrência de juntas e falhas (figura 4).

## 6.5.2 - Rochas Intrusivas

Na área do Barreiro não foi encontrado afloramento de rocha fresca. Abaixo do lago, ao lado da fonte Andrade Júnior, foi verificada a presença de brecha quartzítica, com diques e veios de carbonatito.

Grossi Sad (*op cit*) definiu, em seus estudos, que as rochas predominantes do Complexo são silicocarbonatitos, onde há predominância de silicatos sobre carabonatos, e que, sob o depósito de pandaíta, existiria uma massa mais ou menos contínua de carbonatitos. Entretanto, através de análises dos testemunhos de rochas frescas, obtidos de furos executados no Barreiro, aventou-se a possibilidade da não-existência de uma massa de silicocarbonatito envolvendo o corpo de carbonatito e, sim, uma transição entre tais tipos petrográficos. A partir dessas análises, definiu como rochas predominantes um conjunto de piroxenito-peridotito, recortado por carbonatito-rauhagítico, e zonas de composição essencialmente de rocha glimerítica ou anfibólica. Faixas de apatititos e silexitos associam-se às rochas do Complexo.

Os constituintes principais dessas rochas silicocarbonatadas são: olivina-crisolita, diopsídio-hedembergita, flogopita-anomita. Como varietais: apatita, magneto-ilmenita. Como acessórios: perovskita, titanita, zircão, anatásio, rutilo, sulfetos e pirocloro. A rocha, quando fresca, apresenta coloração verde-escura a acinzentada, quando meteorizada origina o regolito de tonalidade marrom, contrastando com o solo, que é vermelho-tijolo. Quando substituída por silexito (quartzo, calcedônia e goethita) é de cor amarela a marrom.

Trabalhos mais recentes na área do Complexo do Barreiro, como o de Issa, A. et alii (op cit) assinalaram presença de um conjunto de rochas definidas como: carbonatitos, foscoritos e glimeritos. O carbonatito apresenta forma arredondada, com diâmetro em torno de 2 km, situado na parte central do Complexo. (Silva, A. B., et alii 1979 in Issa A op cit). Essas rochas ocorrem em veios, que variam de centimétricos até vários metros de espessura, penetrando os glimeritos (figura 5).

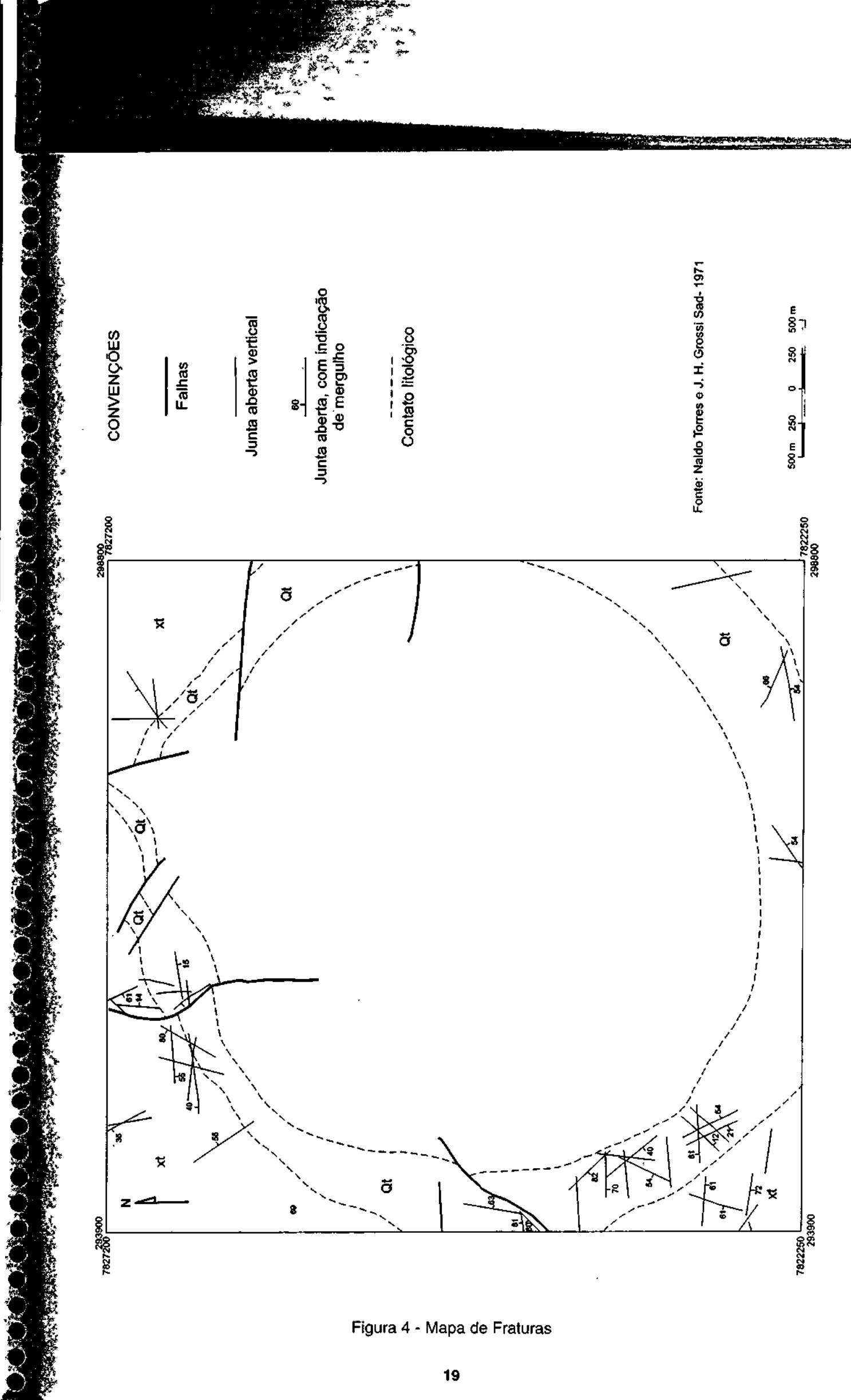


Figura 4 - Mapa de Fraturas

Em análise petrográfica, definiu-se o tipo beforsítico como predominante, apresentando granulação média a grosseira. A dolomita ocorre como mineral dominante, além de calcita e ankerita subordinados. Outros minerais podem estar presentes: barita, apatita, magnetita, perovskita, quartzo secundário, pirita, flogopita, anfibólio sódico isokita e estroncionita. O bariopirocloro ocorre como acessório freqüente nessa rocha. Na parte central do Complexo é encontrada apatita beforsitos contendo até 15,25% de apatita. Na porção centro-oeste do Complexo foi descrito, em testemunho de sondagem, carbonatito metassomático, preservando estrutura ígnea original do provável piroxenito (Mariano, A. N., 1975; *in* Issa, A *et alii op cit*). Em área restrita, no canto NW do Complexo, ocorre o sovito típico, também ocorrendo como diques nas rochas encaixantes (Silva, A B. *et alii* 1979; *in* Issa *et alii* op *cit*).

Os foscoritos são descritos como uma rocha contendo carbonato, flogopita, apatita e magnetita. Ocorre associada ao carbonatito na parte central do Complexo. Trata-se de uma rocha brechada, granulação variando de fina a grosseira, coloração escura. O pirocloro está presente nessa rocha com teores de até 8% de Nb<sub>2</sub>O<sub>5</sub>. Essas rochas mostram-se as mais ricas em pirocloro, destacando-se como o mais importante minério primário.

As rochas glimeríticas ocorrem com maior predominância entre a faixa de carbonatitos e o anel quartzítico, além de estarem presentes em todos os testemunhos analisados. Predomina a cor marrom-escura, e a granulação varia de fina a grosseira. O mineral constituinte principal é a flogopita, podendo ocorrer a dolomita.

#### 6.5.3 - Cobertura Laterítica

A área do Complexo do Barreiro está totalmente coberta por material laterítico, variando de alguns metros até mais de 200 metros de profundidade. Cangas concrecionárias ocorrem principalmente ao longo dos drenos que nascem dentro do Complexo. São compostas essencialmente de limonita, goethita e magnetita, às vezes com pirocloro presente. Corpos de rocha silexítica, às vezes portadora de barita, além de pirocloro, apatita e minerais portadores de terras raras são encontrados no interior do Complexo. Nesse manto de intemperismo estão presentes importantes jazimentos de nióbio e fosfato.

Nióbio - Os primeiros trabalhos de cálculo da reserva de minério foram realizados por Djalma Guimarães (1957), avaliada em torno de nove milhões de toneladas. Atualmente, a jazida de nióbio é explotada pela CBMM (Companhia Brasileira de Mineração e Metalurgia), com uma reserva calculada em torno de 461 x 10<sup>6</sup> t, com teor médio de 2,5% de Nb<sub>2</sub>O<sub>5</sub>. As tabelas 1, 2 e 3 mostram a composição mineralógica média, as reservas do minério e a composição química do minério e do bariopirocloro, relacionadas exclusivamente às mineralizações da cobertura laterítica. Sondagens executadas pela CBMM, através de furos de sonda testemunhados, atingindo profundidade de até 844 metros, em rocha fresca, mineralizado em toda sua extensão, demonstraram a existência de reservas com valores bem superiores aos apresentados anteriormente.

Fosfato - A jazida de fosfato (apatita) explotada pela Arafértil apresenta reserva em torno de 460 x 10° t, com teor médio de 15% de P<sub>2</sub>O<sub>5</sub>. A barita encontra-se associada tanto ao minério de nióbio como ao de fosfato, apresenta coloração variando de incolor a verde, em forma de veios ou concrecionária. O depósito soma reservas em torno de 463 x 10° t, com teor médio de 20,6% de BaSO<sub>4</sub> (Issa *op cit*).

Urânio - Djalma Guimarães (1953 e 1957) realizou os primeiros estudos petrográficos realizados na área, e as primeiras avaliações do jazimento de pirocloro, definindo uma reserva em torno de oitenta mil toneladas de U<sub>3</sub>O<sub>8</sub>. Castro, L. O. (1968) desenvolveu pesquisa no Complexo do Barreiro e verificou que o teor de urânio nos corpos de minério de pirocloro é variável desde 0,005% de U<sub>3</sub>O<sub>8</sub> nos mais pobres, até 0,1% no chamado pirocloro uranífero. As reservas cubadas são de aproximadamente 8 x 10<sup>5</sup> t, com teor médio de 416 ppm de U<sub>3</sub>O<sub>8</sub>. O urânio associado a monazita e goyazita foi cubado 8 x 10<sup>5</sup> t de minério contendo em média 13,5% de (TR)<sub>2</sub>O<sub>3</sub> e cerca de 0,05% de U<sub>3</sub>O<sub>8</sub>.

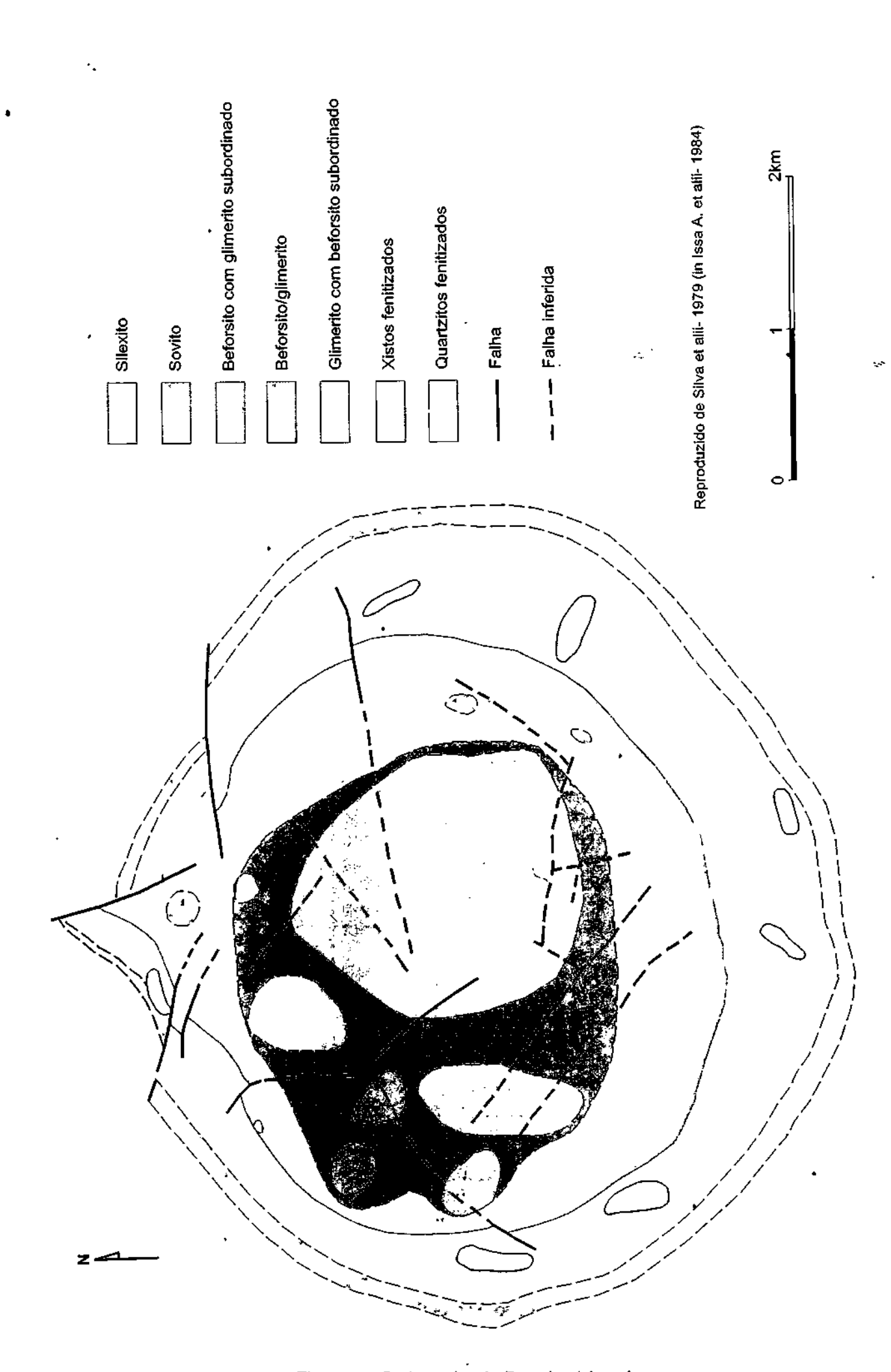


Figura 5 - Carbonatito do Barreiro / Araxá

O urânio associado a rocha fosfática na área pesquisada apresentou uma reserva de 170.000 t de minério, com teor de 0,1% de  $U_3O_8$ , situando-se as mineralizações acima do nível freático, até profundidade máxima de 27 metros.

Mineral	% Peso
Bariopirocloro	4.6
Limonita, Goethita	35.0
Barita	20.0
Magnetita	16.0
Gorceixita	5.0
Monazita	5.0
Ilmenita	4.0
Quartzo	5.0
Outros	5.4

Tabela 1: Composição mineralógica média do minério de Araxá (Paraíso, O. S. & Fuccio, R. de, 1981).

Categoria	Toneladas	% Nb <sub>2</sub> O <sub>3</sub>		
Medida	131.612.000	2.50		
Indicada	41.793.000	2.49		
Inferida	288.349.000	2.50		
Total	461.754.000	2.50		

Tabela 2: Reservas totais de minério (Issa op cit).

•	Minério*	Bariopirocloro*
Nb <sub>2</sub> O <sub>5</sub>	3.00	63.42
Ta <sub>2</sub> O <sub>5</sub>	traços	0.15
BaO	17.73	16.51
CaO	traços .	0.44
(TR) <sub>2</sub> O <sub>3</sub>	0.44	3.29
ThO <sub>2</sub>	0.13	2.34
MnO <sub>2</sub>	1.82	0.16
Fe <sub>2</sub> O <sub>3</sub>	46.52	
FeO	****	2.37
TiO <sub>2</sub>	3.60	2.30
PbO	traços	0.42
SnO₂	traços	0.10
Al <sub>2</sub> O <sub>3</sub>	1.19	
P <sub>2</sub> O <sub>5</sub>	3.32	
SiO <sub>2</sub>	2.38	
ZrO₂	0.20	
SO₃	8.82	==++==
U <sub>3</sub> O <sub>8</sub>	0.0082	*****
P.F.	6.02	*****
H₂O		

Tabela 3: Composições químicas do minério e do bariopirocloro de Araxá

<sup>(\*)</sup> Jaffe, H. W. & Sechow. D. H. (1960)

<sup>(\*\*)</sup> Paraíso, O. S. & Fuccio, R. de (1981)

Durante os estudos realizados por Grossi Saad et alii (op cit) para cubagem dos jazimentos de nióbio e fosfato do Barreiro/Araxá, foram executados mais de setenta furos de sonda. A seguir é apresentado um perfil composto, na tentativa de mostrar o material existente em profundidade.

Profundidade (m)	Material atravessado
0,00 - 5,00	Superficialmente predomina solo laterítico, de coloração chocolate, passando a cores variadas cinza-escura a marron-esverdeada, argiloso, com magnetita e grânulos duros de limonita.
5,00 - 170,00	Via de regra, ocorre material terroso, bastante argiloso, coloração variando do pardo-amarronzada a pardo-amarelada, às vezes, escura. Ocorrem fragmentos duros de silexito de coloração amarronzada, percentagem variada de magnetita granular, fina, nódulos de areia quartzosa, faixas de coloração pardo-arroxeadas contendo monazita, pintas de material argiloso pálido-esverdeado, palhetas de mica, cristais de barita, faixas pardo-amareladas por vezes carbonáticas. Nota-se que o teor de carbonato aumenta com a profundidade. Em alguns poços, verificou-se que essa faixa de material terroso, com uma infinidade de variações tanto em coloração como em constituintes minerais, chega a mais de 200 metros de profundidade.
170,00 - 190,00	Rocha decomposta, com blocos silicificados. A rocha, que inicialmente está completamente desagregada, é composta por mica dourada em palhetas disseminadas em massa argilosa amarela, nódulos esverdeados, provavelmente de piroxênio decomposto e magnetita finamente granular. Em todo intervalo são abundantes os blocos castanho-esverdeados de material silicificado, contendo palhetas de mica e finas vênulas carbonáticas.
190,00 - 200,00	Carbonatito parcialmente decomposto, branco, textura granular fina, predominando a calcita em cristais submilimétricos, com palhetas de mica castanho-escura, pirita e magnetita, além de agrupamentos de piroxênio muito fino, como acessórios; no final aparecem blocos de mica piroxenito, cinzento-esverdeados, envolvidos pelo carbonatito.

Fonte: GEOSOL (1970)

# Uso e Ocupação do Solo

### 7.1 - Objetivo específico

Levantamento do uso e ocupação do meio físico atual, visando à racionalização do uso no futuro, sem o comprometimento do meio ambiente.

### 7.2 - Metodologia

Para a elaboração do mapa de uso e ocupação do solo foram realizadas as seguintes etapas: fotointerpretação preliminar, verificação de campo e fotointerpretação final.

Na fotointerpretação preliminar foram utilizadas fotografias aéreas, preto e branco, na escala 1:20.000, 1986. Com auxílio de estereoscópio de bolso e de espelho foram identificados os principais usos da terra, possíveis de serem observados. Esses dados foram traçados tanto em overlays na escala da foto, como em mapa na escala 1:10.000.

Na etapa de campo, foi possível confirmar ou não a precisão dos dados fotointerpretados, caracterizando-se, com segurança, cada unidade individualizada.

Fotointerpretação final - Na última etapa foi realizada nova fotointerpretação que, acrescida dos dados de campo, deu origem ao mapa final. Neste mapa, foram lançados minas em explotação, área industrial, área de rejeito industrial e estéril, área de vegetação, área de criação de animais silvestres, áreas edificadas, lixão, reservatório d'água, curral, etc.

#### 7.3 - Principais Usos e Ocupações

Dentre as unidades cartografadas, destacam-se a explotação e industrialização do minério de nióbio pela Companhia Brasileira de Mineração e Metalurgia - CBMM, a explotação e industrialização de rocha fosfática pela Arafértil e a exploração e engarrafamento de águas minerais pela Superágua S.A. e o Complexo Turístico do Barreiro, atividades aparentemente conflitantes, mas que até o momento têm conseguido conviver harmonicamente.

O Complexo Turístico do Barreiro é constituído por um conjunto de edificações em estilo missões, com área construída de 46.000 m², lagos, fontes e parques de grande importância turística, cultural e histórica. É composto pelo Grande Hotel, atualmente em reforma, pelas Termas, reformadas em 1997, pelas fontes sulfurosas Andrade Júnior, fonte D. Beja, lagos, matas e por um parque de lazer de grande beleza (fotos 2, 3, 4 e 18).

Assentamentos urbanos sem infra-estrutura de saneamento básico (foto 1) vêm-se proliferando nas imediações desse Complexo, em áreas de grande vulnerabilidade do aqüífero subterrâneo, na bacia do córrego da Cascatinha. Nessas áreas, além dos esgotos residenciais, existem currais e chiqueiros onde os dejetos escoam a céu aberto, assumindo a drenagem natural e desaguando em lagoas ou no próprio córrego. A 500 m a oeste do Grande Hotel observa-se a presença de depósitos de lixo urbano (lixão, foto 13).

A área da Companhia Brasileira de Mineração e Metalurgia (CBMM), detentora por arrendamento da jazida de nióbio, vem sendo explorada desde 1961, ocupando grande parte dos terrenos da bacia do Barreiro. Os trabalhos de lavra são realizados a céu aberto através de bancadas (foto 9), sem atingir o nível freático. Do material resultante do decapeamento da mina, parte é usado em obras viárias dentro do parque da companhia, e o restante, depositado na área 1. A cava da

mina e o parque industrial são mostrados na figura 6 e, com mais detalhe, no mapa anexo. Associados ao processo de explotação e transformação do minério em ferro-liga, advêm os resíduos sólidos e líquidos. O resíduo sólido industrial, resultante da lixiviação do nióbio, contendo material radioativo (óxido de tório) e sulfato de bário, é depositado em área especial, definida como rejeito industrial 2. É uma área com baixa declividade em torno de 2%. Este material é depositado em forma de sanduíches, formados por uma camada de estéril de baixa permeabilidade, em forma de meia laranja. Na parte central, é colocado o estéril contendo sulfato de bário e óxido de tório, a seguir é colocada outra camada de rejeito da mina, fechando o pacote. Segundo informações da CBMM, cada camada de rejeito inibe três vezes a radioatividade do tório. Para o monitoramento dessa área, a CBMM construiu quatro poços tubulares entre o depósito e o lago, onde periodicamente são feitas coletas de amostras para análises. A vistoria do depósito é feita pela CNEN. Outro resíduo sólido, fosfatado, produzido na usina, é disposto em outro local, definido como área de rejeito industrial 3 e 4. Este material está sendo testado na agricultura e vem mostrando alguns resultados positivos. O resíduo líquido, contendo cloreto de bário e outros elementos residuais, é lançado diretamente no lago, a leste do parque industrial (foto 7). Devido à alta porosidade e à permeabilidade do latossolo da área, o lençol freático passou a ser contaminado com bário. Por essa razão, a CBMM vem mantendo um monitoramento do índice de bário, através de análises de amostras coletadas em poços tubulares e lagos. A neutralização do avanço do cloreto de bário consiste na sua precipitação, através da introdução de solução de sulfato de sódio (Na. SO.), tanto no nível subterrâneo, por meio de poços tubulares infiltradores, como no superficial, por meio de gotejamento que, reagindo com o cloreto de bário, resulta em sulfato de bário, que é praticamente insolúvel e se precipita, e cloreto de sódio. Dados fornecidos pela CBMM atestam que o alto índice de bário encontrado nas águas do Barreiro não se deve somente à contaminação industrial, mas há uma participação do carbonatito, rocha matriz do minério de nióbio. Essa rocha é constituída de uma gama de minerais, entre eles o carbonato de bário + magnésio + cálcio. Processos de meteorização da rocha fazem com que o cálcio e o magnésio sejam carreados, havendo uma concentração de bário, que é acrescido ao bário oriundo dos rejeitos industriais, detectado no lençol freático.

A CBMM mantém uma área reservada para criação de animais silvestres em extinção, que são doados aos zoológicos, à medida que os animais são solicitados. Trata-se de animais como lobo guará, ema, veado, paca, anta, macaco, araras e papagaios.

A Arafértil, detentora por arrendamento da jazida de fosfato, iniciou os seus trabalhos em 1972. Entretanto, foi a partir de 1978 que entrou em fase operacional propriamente dita. Localiza-se mais próxima ao Grande Hotel do Barreiro, causando maior impacto visual tanto em relação à cava da mina quanto ao local onde é depositado o estéril (foto 19). Visando suavizar o impacto na paisagem, a Arafértil vem promovendo o plantio de eucaliptos, formando uma verdadeira cortina entre a área do hotel e a mineração. Na área 5, destinada ao depósito do estéril da mina, a empresa faz cobertura vegetal com gramínea, e na área 6, com gramínea e árvores de espécies variadas, visando sua proteção contra os efeitos da erosão, bem como para diminuir o impacto visual.

Os trabalhos de lavra da mina são também realizados a céu aberto, através de bancadas, com grande movimento de terra, ocasionando a retirada da cobertura vegetal e o rebaixamento do nível freático (foto 10). Na tentativa de restabelecer o nível freático e minimizar os danos causados sobre a produtividade das fontes, bem como dos poços tubulares que abastecem a engarrafadora e ao fontanário, a Arafértil construiu barragens para captação da água drenada de suas frentes de lavra, originando os lagos de recarga denominados de "E" e "F" no leito do córrego Cascatinha (fotos 5 e 6). Uma terceira barragem foi recentemente construída no córrego Baritina e denominada neste projeto de barragem "H". Outros aspectos são discutidos nos capítulos de hidrogeologia e hidrologia superficial.

Na área do Complexo do Barreiro, nota-se que houve recuperação substancial da vegetação arbórea, realizada através de reflorestamento, quando se comparam fotografias aéreas da área, realizadas em 1964 e 1986 (figuras 6, 13 e 14).

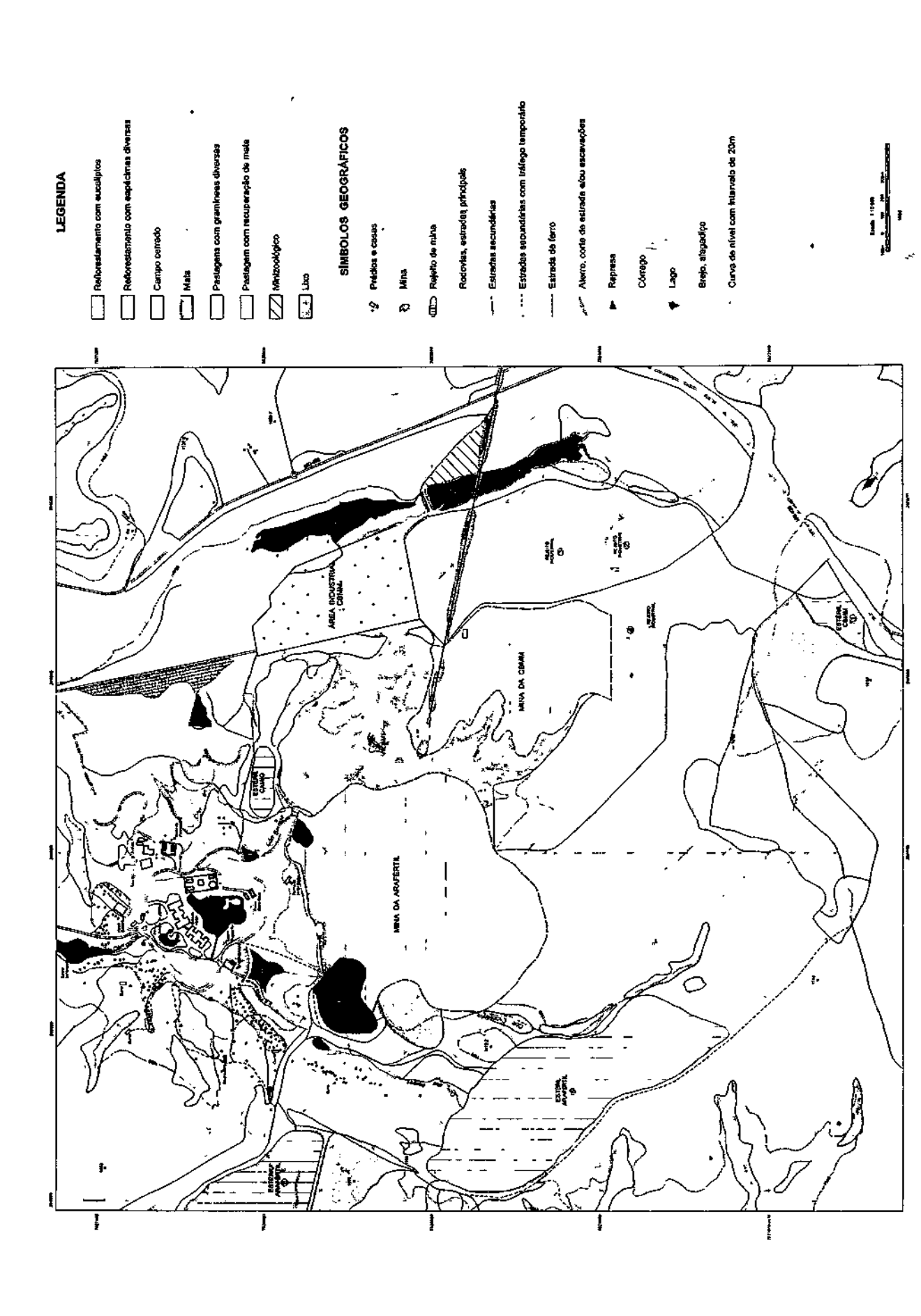


Figura 6 - Mapa de Uso e Ocupação do Solo

A maior área de reflorestamento é coberta com o plantio de eucalipto e se localiza principalmente em terrenos da CBMM, entre as nascentes dos córregos da Cascatinha e da Mata. Foi plantado também ao longo das rodovias e do anel verde, visando diminuir o impacto visual causado pela mineração (foto 2).

Áreas com cobertura de vegetação de espécimes diversas podem ser vistas, principalmente nas proximidades do Grande Hotel do Barreiro. Os primeiros plantios estão relacionados ao trabalho do paisagista Burle Max, no entorno do Grande Hotel, e ampliados em outras áreas através da implantação do Projeto Pró-Araxá, iniciado em janeiro de 1986, em convênio com as companhias CBMM e Arafértil, resultando no chamado anel verde (fotos 1 e 2).

As evidências de vegetação nativa ficam restritas a pequenas ocorrências de matas compostas de árvores de espécimes diversas e campos cerrados de pequena extensão. A mata mais importante e mais discutida em relação à preservação é conhecida como mata da Cascatinha. É considerada marco histórico e turístico, no âmbito do Complexo do Barreiro, tendo em vista a ocorrência de uma cachoeira, onde, historicamente, Dona Beja costumeiramente tomava os seus banhos (foto 5).

O campo cerrado restringe-se a uma pequena área nas proximidades da mina da CBMM, caracterizado pela presença de árvores e gramíneas típicas de cerrado, bastante espaçadas entre si, e de porte atrofiado, ocupando terrenos com solo litólico.

19<u>.</u>

からっているのであるとなるのでは、人になるりますってるかっ

As pastagens implantadas no perímetro do Barreiro representam um expressivo percentual, geralmente constituídas de gramíneas do tipo braquiária, ocupando grandes porções da área de concessão da CBMM e da bacia do córrego Cascatinha. A presença de currais e chiqueiros, a oeste do Grande Hotel e próximos a poços de extração de água, põem em risco a qualidade da água, pela concentração de matéria orgânica gerada.

A agricultura desenvolvida é praticamente desprezível, sendo realizada unicamente com finalidade de recuperação de pastagens. Portanto, não chegou a ser individualizada no mapa.

A existência de um posto de abastecimento de combustível nas proximidades do Grande Hotel do Barreiro, construído diretamente sobre rocha quartzítica, compromete sobremaneira as águas superficiais e subterrâneas. Deve-se salientar que, na ocorrência de qualquer vazamento, o lençol freático será imediatamente poluído. Todo o esgoto do posto, contendo graxa e óleo, drena diretamente para o canal do córrego Baritina que, a poucos metros abaixo, juntamente com o córrego da Cascatinha, forma o Lago Inferior.

Observa-se, aproximadamente a 500 m a oeste do Grande Hotel, presença de depósito de lixo urbano (lixão) que, num curto espaço de tempo, também irá comprometer a qualidade do aqüífero (foto 13).

# Hidrologia e Qualidade das Águas de Superfície

## 8.1 - Objetivo Específico

- fornecer uma caracterização climatológica da área;
- apresentar os dados e os levantamentos dos recursos hídricos de superfície;
- avaliar as condições qualitativas das águas de superfície e os níveis de poluição.

## 8.2 - Metodologia

Para a elaboração dos estudos hidrológicos foi inicialmente realizada uma pesquisa bibliográfica junto a entidades públicas, incluindo o levantamento dos dados hidrometeorológicos básicos disponíveis na região do Barreiro de Araxá. Dentre os órgãos contactados estão o Departamento Nacional de Águas e Energia Elétrica - DNAEE e a Companhia de Saneamento de Minas Gerais - COPASA-MG, que operam estações fluviométricas próximas à área em estudo. O Instituto Nacional de Meteorologia - INMET também foi contactado, pois é o órgão responsável pela estação climatológica de Araxá. Foram ainda consultados os arquivos da Fundação Estadual do Meio Ambiente - FEAM, com o objetivo de obter dados relativos às atividades mineradoras da região.

Foram realizadas viagens de reconhecimento com o objetivo de determinar as características físicas das bacias dos córregos que drenam a área, bem como para execução de medições de vazão em pontos selecionados dos córregos.

Os estudos envolveram, inicialmente, a caracterização climática da região, visando quantificar as variáveis hidrometeorológicas relativas às várias etapas do ciclo hidrológico. Em seguida, procedeu-se ao levantamento quantitativo dos recursos hídricos de superfície, bem como à avaliação qualitativa dos cursos d'água que drenam o Barreiro.

## 8.3 - Caracterização Climática

## 8.3.1 - Características Meteorológicas

As condições meteorológicas estão relacionadas a mecanismos de escala global sob a influência das principais correntes de circulação atmosférica do Continente Sul-americano. Os padrões de circulação atmosférica definem as características climáticas predominantes durante as duas estações destacadas do ano: o inverno e o verão.

De maio a setembro, há uma diminuição drástica do volume de precipitação. Entretanto, há, paralelamente, uma queda razoavelmente grande do nível de temperatura, em função das penetrações periódicas de massas de ar frio de origem polar. De outubro a abril, a situação inverte-se completamente. Neste período, os totais pluviométricos são muito superiores, e, no verão, as temperaturas são elevadas.

Segundo a classificação de Nimer, E. (1977), a região possui o clima tropical subquente e semiúmido.

# 8.3.2 - Parâmetros Climatológicos

Para a avaliação dos parâmetros climatológicos foram utilizadas as séries de dados da estação climatológica de Araxá. Essa estação é operada pelo Instituto Nacional de Meteorologia - INMET, está localizada dentro do município de Araxá e se situa nas coordenadas 19°34'S e 46°56'W, a 1.004 m de altitude.

A figura 7 mostra a posição geográfica da estação em relação ao Barreiro.

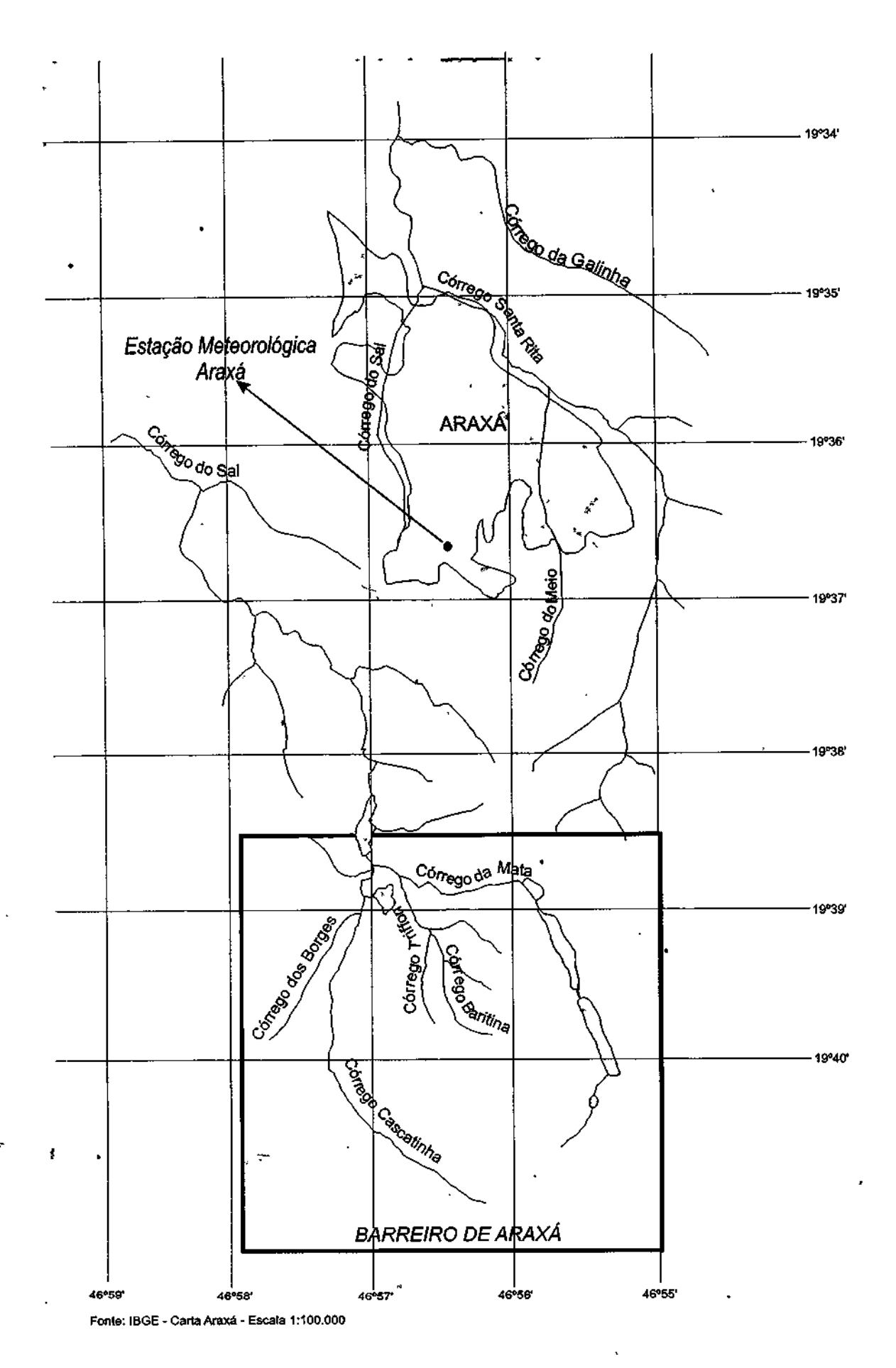


Figura 7 - Estação Meteorológica de Araxá.

NORMA	AIS CLIMA	TOLOGI	CAS DA	ESTAÇA	O DE AR	AXA - Pe	ríodo: 19	72-1996		<del>-</del>		
PARÂMETRO	Jan	Fev	Mar	Abr	Mai	Jun	Jul	Ago	Set	Out	Nov	Dez
Temperatura média compensada (°C)	21,7	22,0	22,0	20,7	19,2	17,9	17,9	19,7	21,3	21,8	21,6	21,3
Temperatura média das máximas (°C) (2)	27,2	27,9	27,8	26,6	25,3	24,5	24,7	26,8	27,3	28,2	27,3	26,7
Temperatura média das mínimas (°C) (3)	17,8	18,0	17,8	16,3	14,8	13,2	12,8	14,3	15,6	17,1	17,4	17,6
Temperatura máxima absoluta (°C) (4)	34,0	32,6	34,0	31,5	29,7	29,0	29,3	32,8	34,3	35,4	35,0	32,4
Temperatura minima absoluta (°C) (5)	9,7	10,9	10,5	6,9	2,1	0,5	1,6	4,5	8,1	7,9	7,2	8,6
Umidade relativa média compensada (%) (6)	81,4	81,9	81,1	80,8	78,3	74,6	71,3	67,7	69,1	75,6	80,5	83,5
Evaporação (mm)	-	ŧ	-	-	_	-	-	-	-	-	-	•
Velocidade média dos ventos (m/s) (7)	1,8	1,9	2,0	1,9	2,0	2,0	2,1	2,3	2,3	2,1	1,9	1,9

Fonte: INMET

Quadro 1 - Normais climatológicas.

Obs: Anos excluídos devido a falhas

- (1) 1973;1976;1988;1989;1990;1991 e 1994
- (2) 1973;1988;1989;1990 e 1991
- (3) 1976
- (4) 1973;1988;1989 e 1990
- (5) 1973;1989 e 1990
- (6) 1994
- (7) 1987 e 1994

Os dados fornecidos pelo INMET cobrem o período de 1917 a 1997, sendo que, entre 1960 e 1970, as observações do posto foram interrompidas. Mesmo no período de operação normal do posto existem falhas nas observações de alguns parâmetros.

As séries de dados foram fornecidas com periodicidade mensal (médias ou totais mensais), e submetidas a uma análise preliminar para detecção e correção de erros grosseiros. Não foi feito o preenchimento dos períodos falhos por não existir nenhuma outra estação próxima.

Para o período de 1972 a 1996, foram calculadas as normais climatológicas. No Quadro 1 são apresentados os valores obtidos.

## Temperatura

Atualmente, tem sido utilizada a temperatura média compensada para representar os valores médios diários de temperatura. Este parâmetro é calculado a partir da seguinte equação:

$$T = \frac{T_{12} + 2T_{00} + T_{max} + T_{min}}{5}$$

onde:

T<sub>máx</sub> = temperatura máxima registrada;

T<sub>min</sub> = temperatura mínima registrada;

 $T_{12}$  e  $T_{00}$  = temperatura medida às 12 e às 24 horas GMT (horário de Greenwich). No Brasil, corresponde às temperaturas medidas às 9 e 21 horas.

No período 1972 a 1996, Araxá apresentou temperatura média compensada anual da ordem de 20,6°C. Nos meses mais frios, junho e julho, a média compensada foi de 17,9°C. Nos meses mais quentes, fevereiro e março, o valor calculado foi de 22°C. A amplitude térmica anual foi de 4,1°C, em média. Os histogramas das médias mensais compensadas, média das máximas e média das mínimas são apresentados na figura 8.

Com relação aos valores absolutos observados, a temperatura máxima registrada no período ocorreu em outubro de 1994: 35,4°C. A mínima absoluta, ocorrida em junho de 1979, foi de 0,5°C.

#### Umidade relativa do ar

Os valores médios diários compensados de umidade relativa do ar são obtidos a partir da seguinte equação:

$$U = \frac{U_{12} + U_{18} + 2U_{00}}{4}$$

onde:

 $U_{12,18,00}$  = umidade relativa medida às 12, 18 e 24 horas GMT, correspondendo, no Brasil, às 9, 15 e 21 horas.

Para a estação de Araxá, a umidade relativa média compensada anual no período 1972 a 1996 foi de 77,1%. O mês mais úmido é dezembro, cuja média mensal foi de 83,5%. Em anos muito úmidos, a média nesse mês chegou a atingir valores da ordem de 95%. Os meses mais secos são agosto e setembro, com médias mensais de 67,7 e 69,1%, respectivamente. A figura 9 mostra os valores médios mensais compensados de umidade observados no período.

### Evaporação

A estação de Araxá possui dados evaporimétricos medidos no atmômetro tipo Piché e em tanque evaporimétrico Classe A. Observou-se que a evaporação medida no atmômetro difere consideravelmente da que ocorre em superfícies livres de água, solo descoberto ou com cobertura vegetal.

## TEMPERATURA MÉDIA MENSAL

Estação Climatológica de Araxá Período: 1972 a 1996

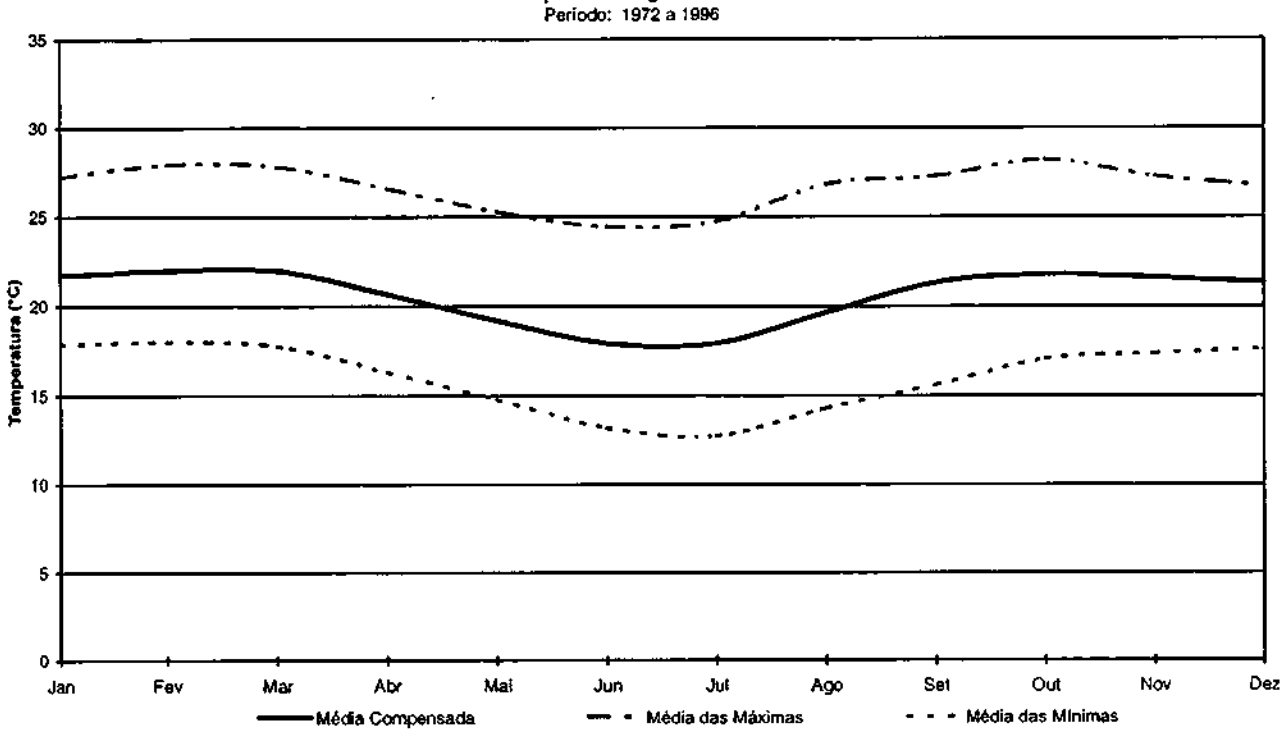


Figura 8 - Médias mensais compensadas, máximas e mínimas.

## UMIDADE RELATIVA MÉDIA COMPENSADA

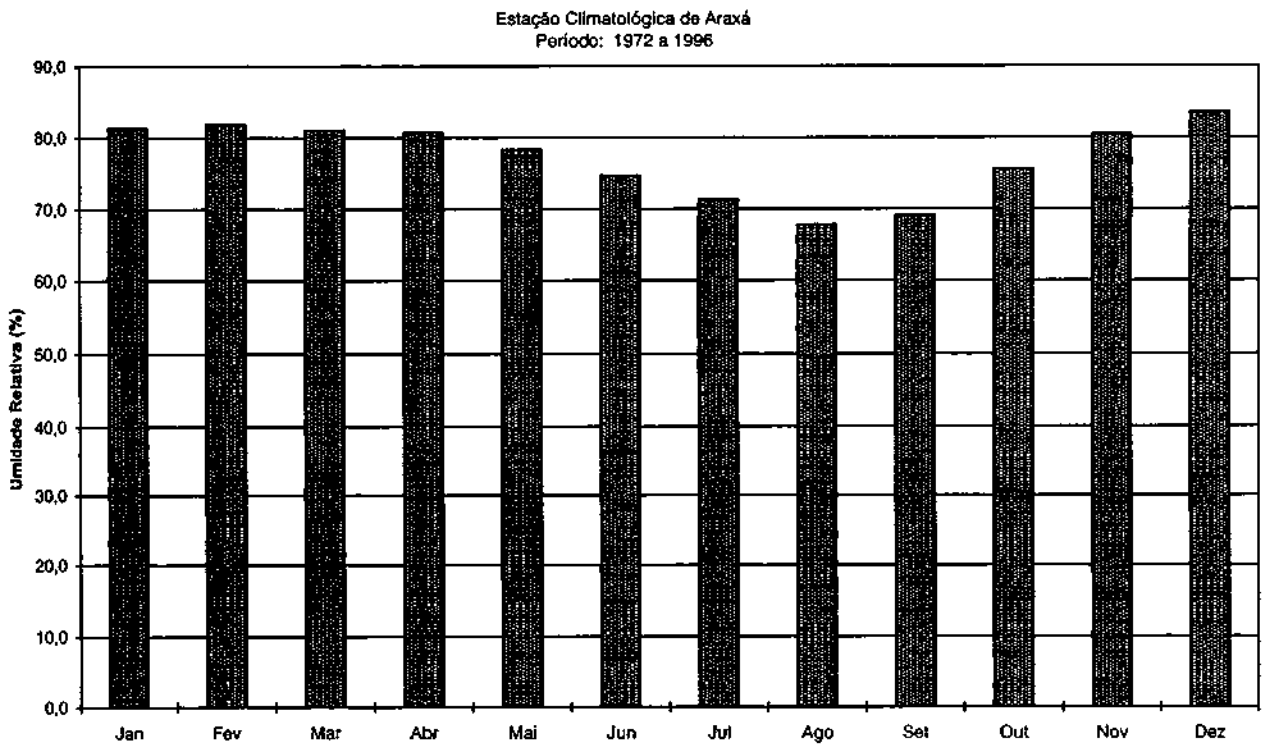


Figura 9 - Valores médios mensais.

Isto ocorre porque o aparelho é instalado dentro do abrigo meteorológico, onde a exposição à radiação solar e aos ventos é prejudicada. Além disso, as condições de umidade e de temperatura no abrigo também são diferentes das que ocorrem no ambiente externo. Devido a essas distorções, optou-se por não utilizar os dados do atmômetro.

Os dados provenientes do tanque evaporimétrico apresentaram problemas, uma vez que ocorreram muitas falhas de leitura no período. O conjunto de dados válidos foi insuficiente para gerar uma série histórica adequada.

#### Vento

Os dados de vento obtidos para Araxá referem-se ao período 1972 a 1996 (direções e velocidades). Os ventos provenientes de leste predominaram na região durante todos os anos, com 30,4% do total das observações diárias. Seguiram-se em freqüência as direções N, NE e SE, representando, respectivamente, 16,6%, 11,5% e 10% do total observado. Os ventos provenientes de oeste (W, NW e SW) ocorreram com menor freqüência na área municipal.

Com relação à velocidade dos ventos, a média anual foi de 2,0 m/s para o período estudado. Os maiores valores mensais foram verificados em agosto e setembro, alcançando, em média, 4,7 m/s. Por outro lado, a menor velocidade média mensal, de 1,8 m/s, ocorreu no mês de janeiro. A figura 10 apresenta a rosa dos ventos e a variação das velocidades médias mensais ao longo do ano.

### 8.3.3 - Precipitação

Os dados pluviométricos da estação de Araxá foram obtidos junto ao INMET. A série abrange o período de 1917 a 1997, sendo que no período de 1960 a 1970 as leituras foram interrompidas. A série histórica que contém os anos completos (sem falhas) perfaz um total de 48 elementos.

O total pluviométrico médio anual para o período estudado de 1972 a 1996 (considerando-se o ano civil) foi de 1.562 mm. O ano mais chuvoso nesse período foi 1983, registrando um total de 2.031 mm. Por outro lado, o menor registro anual ocorreu em 1990, com 1.020 mm. Cabe observar que, devido à quantidade de falhas ocorridas ao longo da série, não foi possível avaliar a seca atípica ocorrida em grande parte da região sudeste no início da década de 1960.

O número médio anual de dias de chuva, para o mesmo período, foi de 124 dias. O máximo ocorreu em 1983, de 160 dias de chuva; já o mínimo, ocorrido em 1990, foi de 104 dias.

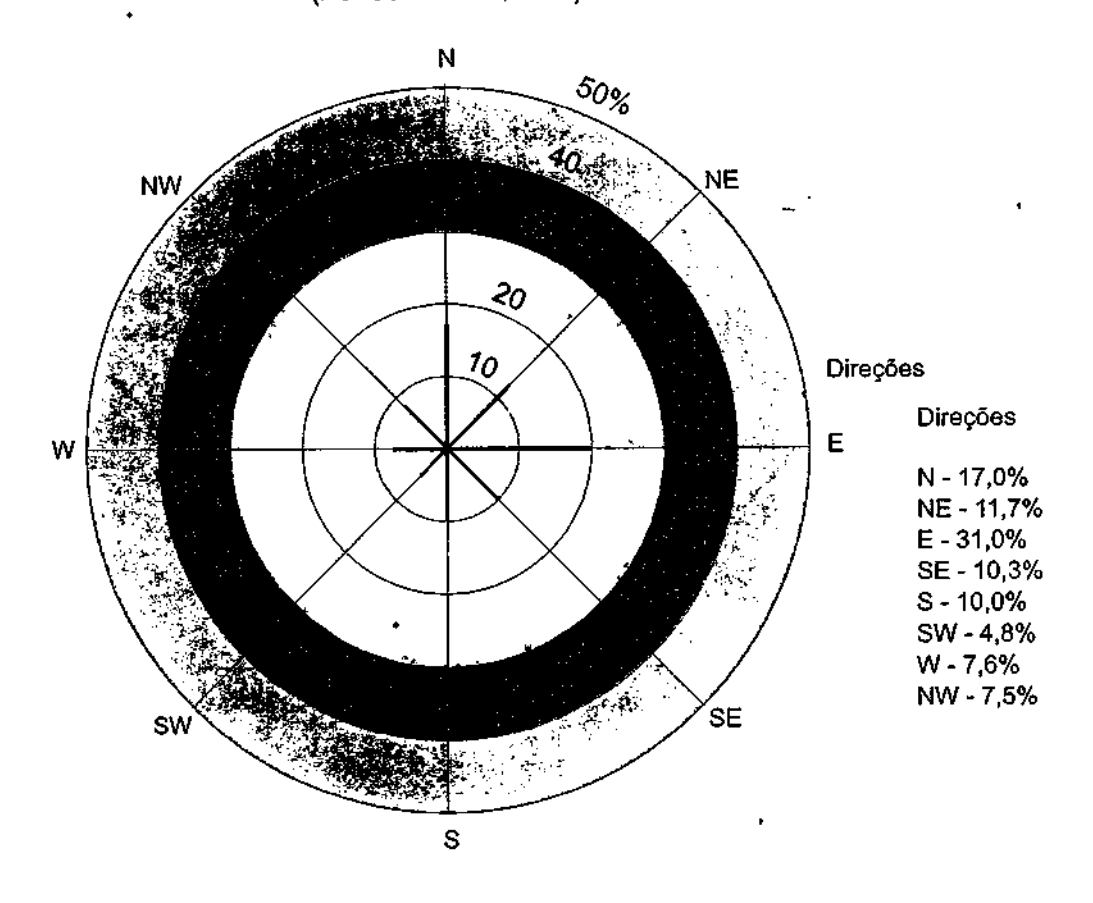
Quanto à distribuição anual das precipitações, Araxá possui regime pluviométrico tipicamente tropical, uma vez que ocorre uma grande concentração pluviométrica no verão e seca no inverno. O trimestre mais chuvoso, correspondente aos meses de dezembro, janeiro e fevereiro, apresentou precipitação total de 784 mm, contribuindo, em média, com cerca de 50% do total anual precipitado. Já o período seco se estende normalmente por 5 meses, de maio a setembro, representando menos de 10% das chuvas anuais. A Figura 11 apresenta os histogramas das precipitações médias mensais e do número médio de dias de chuva.

#### 8.3.4 - Evapotranspiração Potencial

A evapotranspiração é entendida como a perda de água por evaporação do solo acrescida à que é transpirada pelas plantas.

A evapotranspiração real é a que ocorre em condições reais de umidade do solo e cobertura vegetal. Calculá-la é uma tarefa difícil, uma vez que a evapotranspiração real envolve processos complexos e extremamente dinâmicos, relacionados inclusive com organismos vivos, processos estes de difícil quantificação. Uma alternativa usualmente adotada para resolver este problema é a determinação da evapotranspiração potencial ou de referência, isto é, da que ocorreria se houvesse sempre água disponível na superfície vegetada e no solo. Sua estimativa pode ser obtida

## Freqüência Relativa das Direções do Vento Estação: Araxá (Período - 1972/1996)



## VELOCIDADE MÉDIA DOS VENTOS

Estação Climatológica de Araxá Período: 1972 a 1996,

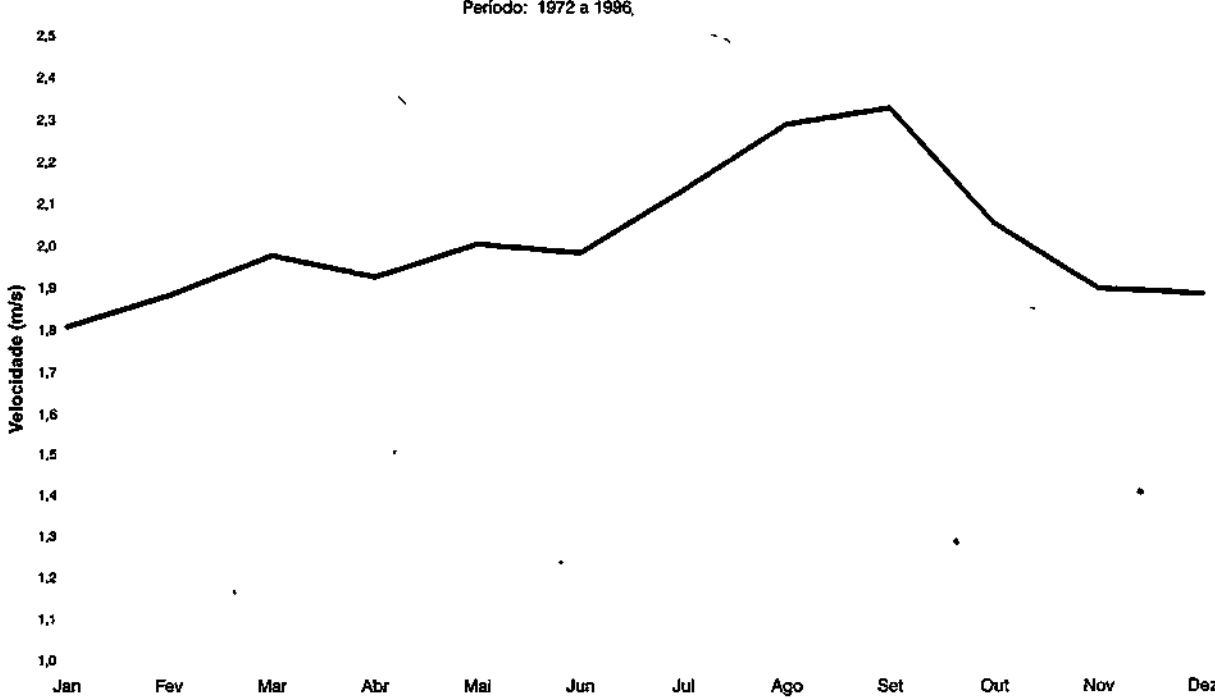
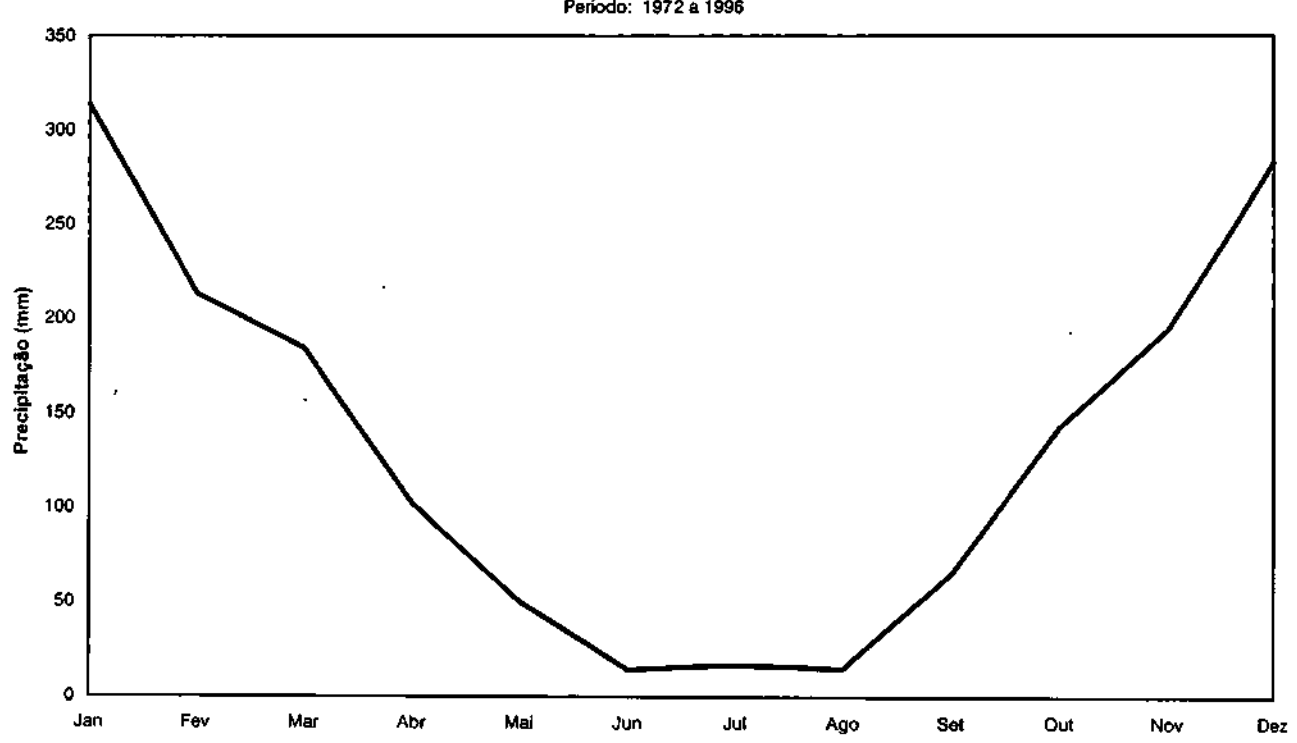


Figura 10 - Direções e velocidade dos ventos.

#### TOTAIS PLUVIOMÉTRICOS ANUAIS

Estação Climatológica de Araxá Período: 1972 a 1996



大きの人の一切 大きな かんしん

THE REPORT OF THE PERSON OF TH

#### NÚMERO DE DIAS DE CHUVA

Estação Climatológica de Araxá Período: 1972 a 1996

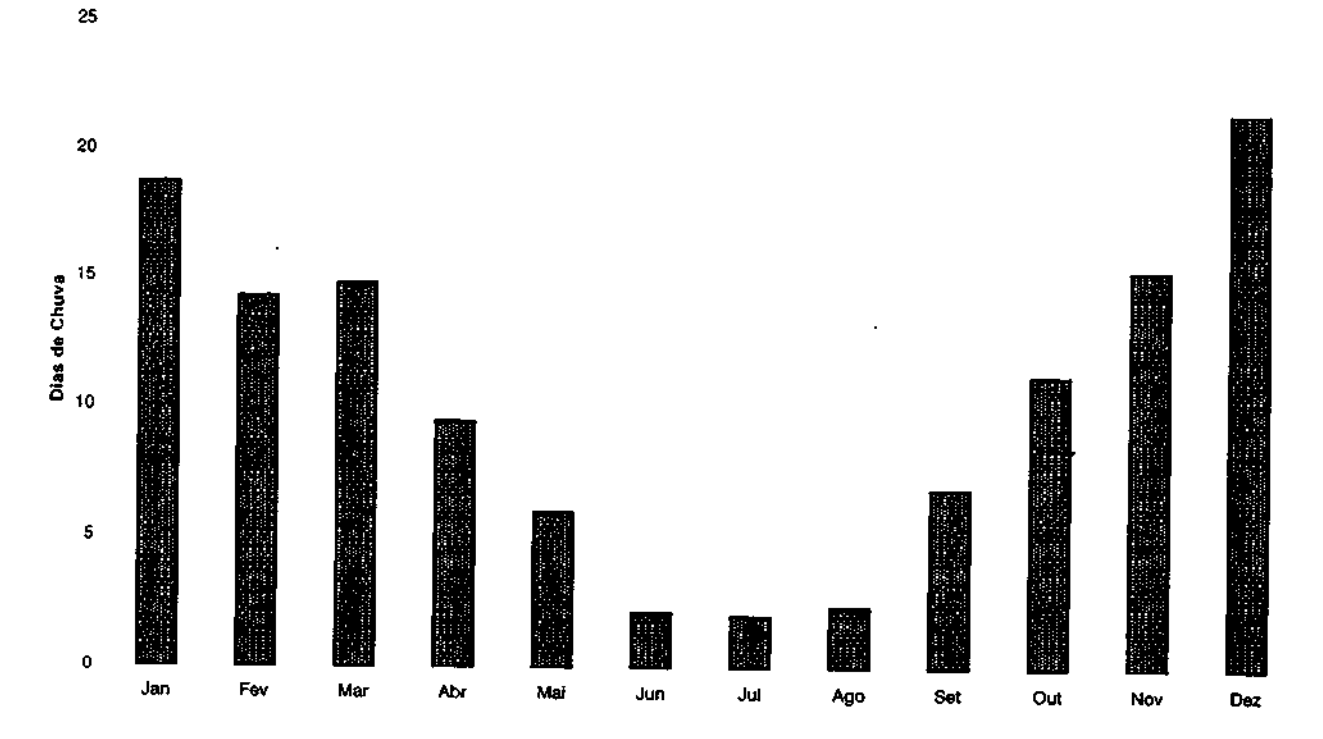


Figura 11 - Precipitações médias mensais e número médio de dias de chuva.

indiretamente a partir de modelos empíricos ou semi-empíricos, baseados em leis físicas relacionadas com os parâmetros meteorológicos intervenientes.

Uma vez que se dispõe de dados de temperatura para a estação de Araxá, foi realizada a avaliação da evapotranspiração potencial através da metodologia desenvolvida por Thornthwaite.

Thornthwaite (1948, in Villa Nova e Reichardt, 1989), a partir de estudos de correlação entre os dados de evapotranspiração medida e de temperatura do ar, elaborou a seguinte expressão empírica para o cálculo da evapotranspiração mensal:

 $ET_0 = b(Tm)^a$ 

onde:

ET<sub>a</sub> = evapotranspiração potencial (mm/mês);

b = fator de ajuste do comprimento do dia: b = N/12, onde N é o fotoperíodo, função do mês e da latitude do local;

Tm = temperatura média mensal (°C);

a é uma função do índice de calor I, dada por:

 $a = 67.5 \times 10^{-6} f - 7.71 \times 10^{-5} f + 0.01792 I + 0.492$ 

onde:

$$I = \sum_{1}^{12} \left( \frac{Tm}{5} \right)^{1.91}$$

Para Araxá, obtiveram-se os seguintes resultados, a partir dos dados relativos ao período 1972 a 1996.

MÊS	JAN	FEV	MAR	ABR	MAI	JUN	JUL	AGO	SET	OUT	NOV	DEZ
Tm℃	21,7	22,0	22,0	20,7	19,2	17,9	17,9	19,7	21,3	21,8	21,6	21,3
Et <sub>o</sub> (mm)	100,3	90,0	94,5	76,5	63,7	53,2	55,3	68,9	84,2	95,6	95,0	96,5

A evapotranspiração total anual é 973,7 mm.

Na estimativa da evapotranspiração, foram utilizados os dados compensados de temperatura média mensal e anual.

### 8.4. Hidrologia Superficial

#### 8.4.1 - Hidrografia

A rede de drenagem da área de influência do Barreiro de Araxá é comandada pelo rio Capivara. Ele nasce na Serra da Bocaina e termina na confluência com o rio Quebra Anzol.

O rio Capivara tem entre os seus tributários o ribeirão Tamanduá e o córrego do Sal. Os cursos que drenam a Estância do Barreiro são o córrego da Mata, o córrego Cascatinha e o córrego Baritina, que são afluentes do córrego do Sal. Este tem um curso de escoamento rápido, que funciona como receptor de esgotos da área do Barreiro.

A figura 12 mostra parte da bacia do rio Capivara e os cursos que drenam o município e a Estância do Barreiro de Araxá.

As sub-bacias do rio Capivara que estão sob influência direta das operações mínero-industriais realizadas pela CBMM e Arafértil são:

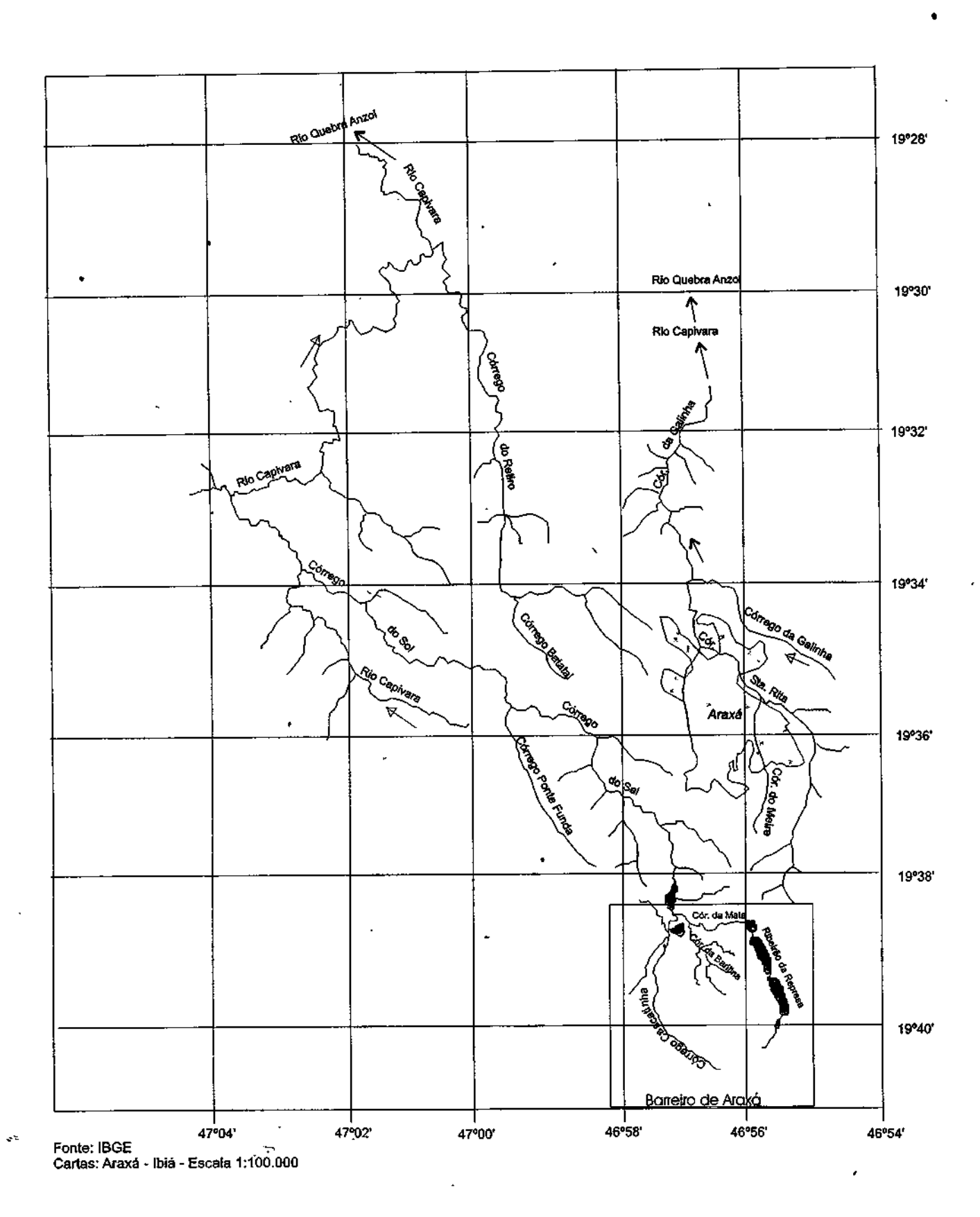


Figura 12 - Bacia do Rio Capivara.

#### Sub-bacia do Barreiro:

Córrego da Mata (diretamente pela CBMM- Área Industrial I); Córrego Baritina (diretamente pela CBMM e Arafértil); Córrego Cascatinha (diretamente pela Arafértil); Córrego do Sal (indiretamente).

• Sub-bacia do Ribeirão Pirapetinga (parte):

Córrego Santa Luzia e Ribeirão Pirapetinga (diretamente pela CBMM - Área Industrial II); Ribeirão Tamanduá (indiretamente).

Neste trabalho será abordada somente a sub-bacia do Barreiro. As figuras 13 e 14 mostram as fotos aéreas com a visão do Grande Hotel de Araxá e dos córregos Cascatinha, Baritina e da Mata tiradas em 1964 e 1986, respectivamente. Observam-se as alterações sofridas pelos córregos, ao longo do seus cursos, no decorrer deste período, devido às atividades mineradoras.

## 8.4.1.1- Características Hidrográficas e Ambientais da Sub-Bacia do Barreiro

#### Córrego da Mata

O Córrego da Mata é o curso d'água que drena a Área Industrial I da CBMM. Neste córrego foram construídas as barragens de contenção de rejeitos e de abastecimento de água denominadas B2, B3 e B4. Ainda no Córrego da Mata, a jusante da barragem B4, está implantada uma barragem denominada D.

A figura 15 mostra o percurso do córrego e as barragens de contenção de rejeitos e de abastecimento de água.

O Córrego da Mata é afluente do Córrego da Baritina. O seu percurso atual e o local da confluência com o Córrego Baritina fazem com que ele não tenha influência direta na área do Complexo Geológico do Barreiro.

## Córrego Baritina

A bacia do córrego é ramificada e curta. A área de drenagem é de aproximadamente 4,64 km². O seu leito natural foi alterado com a construção de estruturas hidráulicas ao longo do curso.

As estruturas existentes no Córrego da Baritina e no seu pequeno afluente da margem direita são barragens que foram construídas com o objetivo de conter sólidos provenientes da área da mina da CBMM (barragens BM1 e BM2). Além da BM1, existem no Córrego da Baritina a barragem A e as barragens de gabiões (barragens B1, B2, B3, B4 e B5) localizadas próximo ao Parque das Águas. A barragem A foi construída no período de 7 a 8/1985 e as barragens de gabiões no período de 6/1986 a 5/1987.

As barragens vertem o ano inteiro, inclusive no período de estiagem.

Atualmente, o curso natural do córrego Triffon, afluente da margem esquerda do córrego Baritina, teve seu curso desviado pelas atividades de mineração da Arafértil, sendo deslocado diretamente para o córrego Baritina.

A figura 15 mostra o percurso do córrego e as barragens de contenção de sólidos.

O córrego da Baritina tem influência direta na área do Complexo do Barreiro.



Figura 13 - Foto aérea de 1964 da área do Barreiro.

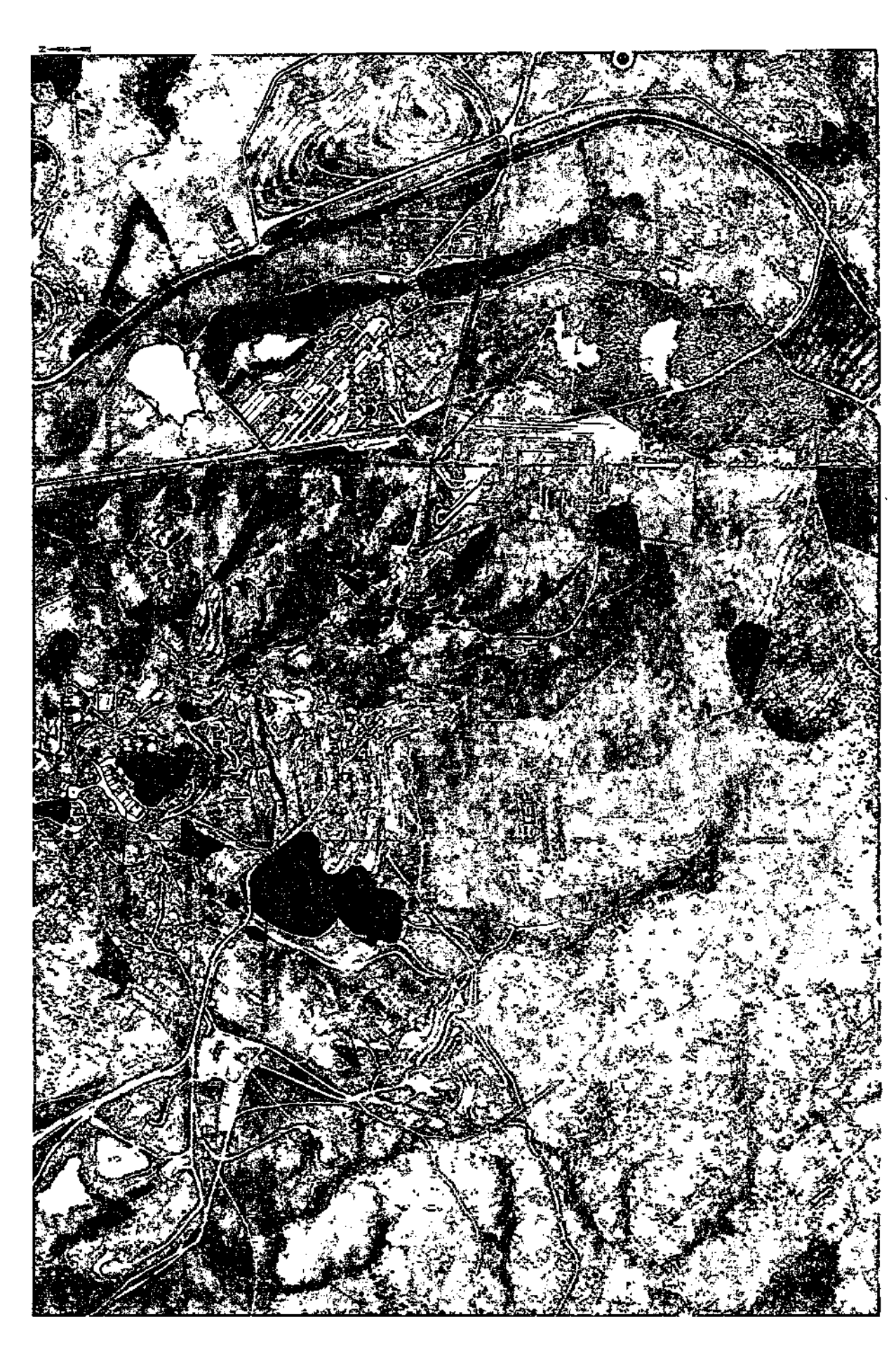


Figura 14 - Foto aérea de 1986 da área do Barreiro.

#### Córrego da Cascatinha

A bacía do córrego é estreita e longa. A área de drenagem é de aproximadamente 5,82 km². A seção mais íngreme do córrego é a que passa dentro da Mata da Cascatinha com gradiente de até 428 m/km. A jusante da mata foram construídas as barragens E e F. A montante da mata o curso foi bastante alterado, devido às atividades de mineração da Arafértil (foto 15).

As barragens "E" e "F" foram construídas com o objetivo de atender ao convênio PRÓ-ARAXÁ, para a manutenção do nível freático, a jusante da mina, visando manter a vazão da fonte Dona Beja. Atualmente, as barragens "F" e "E" funcionam como receptores dos drenos da mina da Arafértil e do córrego dos Borges (afluente da margem esquerda, que foi desviado - ver figura 15). O lençol freático é interceptado pelo corte da mina, sendo a água canalizada para o lago "F" e a seguir para o lago "E" (fotos 5 e 6).

No ponto H (figura 15) observou-se, ainda, a existência de uma pequena barragem construída aparentemente para desviar o curso do córrego (foto 17).

Ao longo do trecho percorrido, todas as barragens vertem o ano inteiro, inclusive no período de estiagem.

## 8.4.2 - Avaliação das Disponibilidades Hídricas de Superfície

Os córregos Cascatinha e Baritina têm influência direta na área do Barreiro. Tendo em vista a ausência da série histórica dos dados básicos (cotas linimétricas e medições de descarga) dos córregos citados, necessitou-se adotar um enfoque regional para a avaliação quantitativa das disponibilidades hídricas.

A figura 16 mostra a situação da bacia do rio Capivara em relação às bacias mais próximas adjacentes consideradas neste trabalho: a do rio Dourados e a do rio Bagagem.

A figura nº 17 mostra a sub-bacia do Barreiro e os córregos das sub-bacias adjacentes.

#### 8.4.2.1 - Levantamento dos Dados

Para o desenvolvimento de uma série de dados para um período representativo de maior extensão, no local de interesse, visou-se transferir as informações existentes das bacias vizinhas. A metodologia utilizada para a transferência será discutida no item 8.4.2.3.

Foram levantados os seguintes dados fluviométricos:

Para os córregos pertencentes às sub-bacias próximas e com a mesma tipologia (Souza, 1993) da sub-bacia do Barreiro, foi solicitada à COPASA-MG a série de cotas médias diárias e o resumo de medições de descarga. Os locais onde se coletaram as informações foram:

- · Córrego Feio;
- Córrego Areia;
- Córrego Fundo;
- Córrego Retiro; e
- · Córrego da Máquina, em Perdizes.

A localização dessas estações está apresentada na figura 16.

Na bacia do Alto Paranaíba foram selecionadas as estações pertencentes à rede hidrométrica do DNAEE que têm área inferior a 100 km² e com a tipologia mais semelhante à sub-bacia do Barreiro. São elas:

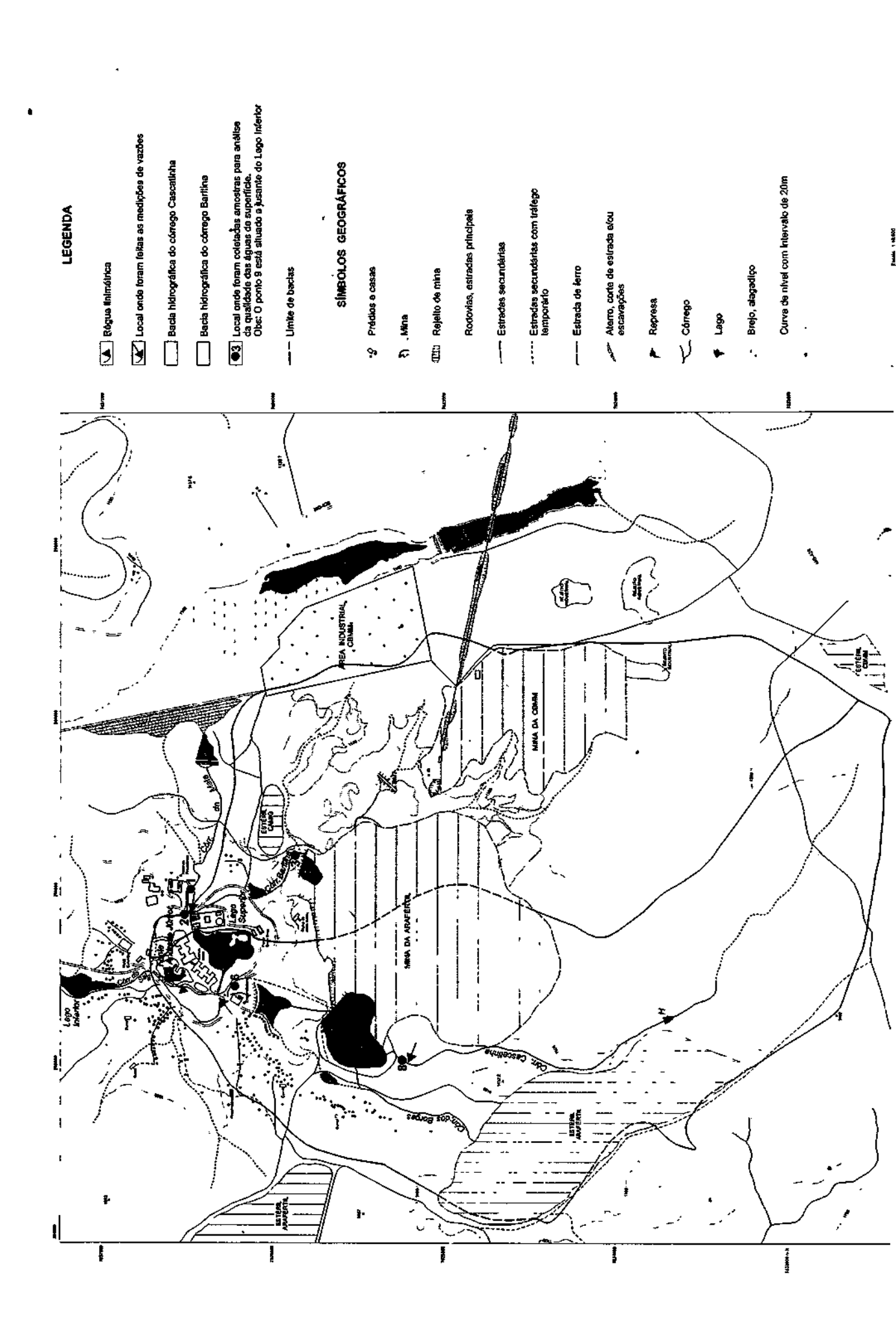


Figura 15 - Mapa Hidrológico.

Charqueada do Patrocínio, código 60100000, localizada no rio Dourados, com área de drenagem de 69 km² e operada a partir de 1952.

Iraí de Minas, código 60145000, localizada no rio Bagagem, com área de drenagem de 82 km² e operada a partir de 1952.

A localização dessas estações está apresentada na figura 16.

#### 8.4.2.2 - Análise dos Dados Fluviométricos

Os postos da rede hidrométrica da COPASA têm por objetivo controlar o regime dos cursos d'água onde são feitas as captações de água. A série de cotas dos postos analisados situados nos córregos Feio, Areia, Fundo e Retiro encontram-se com falhas, sendo que em alguns casos as leituras são feitas apenas uma ou duas vezes por semana. O posto situado no córrego da Máquina, em Perqizes, foi descartado pelo fato de estar a régua linimétrica situada dentro do reservatório da barragem de captação, de modo que as leituras abaixo da crista do vertedouro foram abandonadas.

The state of the s

A análise dos dados de medições de descarga dos postos citados indicou uma variação expressiva na relação cota x descarga. Estas dispersões dos pontos plotados devem-se, evidentemente, às alterações no comportamento fluvial no local, decorrentes de sedimentos no leito, causando sensíveis variações em todos os parâmetros técnicos: cota, descarga, área, velocidade média, profundidade, etc. A estação situada no córrego Retiro apresentou a melhor relação cota x descarga e foi considerada a melhor base para a transferência das informações para a sub-bacia do Barreiro.

Os postos do DNAEE apresentaram a série de cotas médias diárias mais extensas (1952 a 1996) e com menos falhas.

O posto fluviométrico de Charqueada do Patrocínio foi descartado, pois a análise dos dados de medições de descarga correspondentes ao período de operação (274 medições de descarga) indicou uma variação expressiva na relação cota x descarga. Estas dispersões devem-se também às alterações no comportamento fluvial do local.

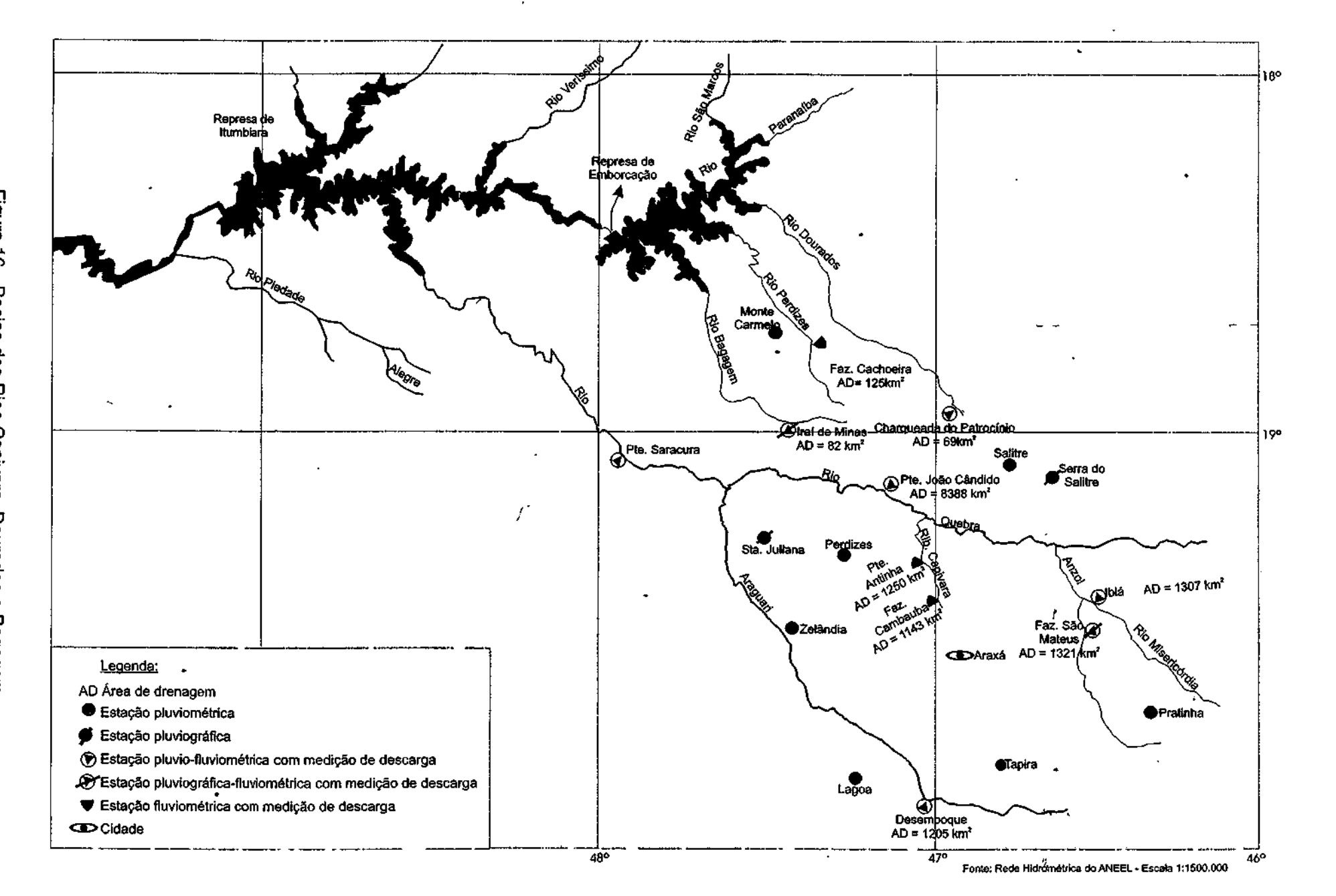
O posto fluviométrico de Iraí de Minas apresentou a melhor série de dados fluviométricos. No período completo de operação, foram feitas 251 medições de descarga. A relação cota x descarga mostrou-se mais estável do que o posto Charqueada do Patrocínio, embora tenham sido evidenciados alguns períodos com variação do "datum" das réguas e do comportamento fluvial do leito (decorrentes de sedimentos). Estas alterações levaram à definição de nove curvas-chave. A partir destas curvas-chave foi produzida uma série de vazões médias diárias que abrange o período de 1952 a 1996, com poucas falhas.

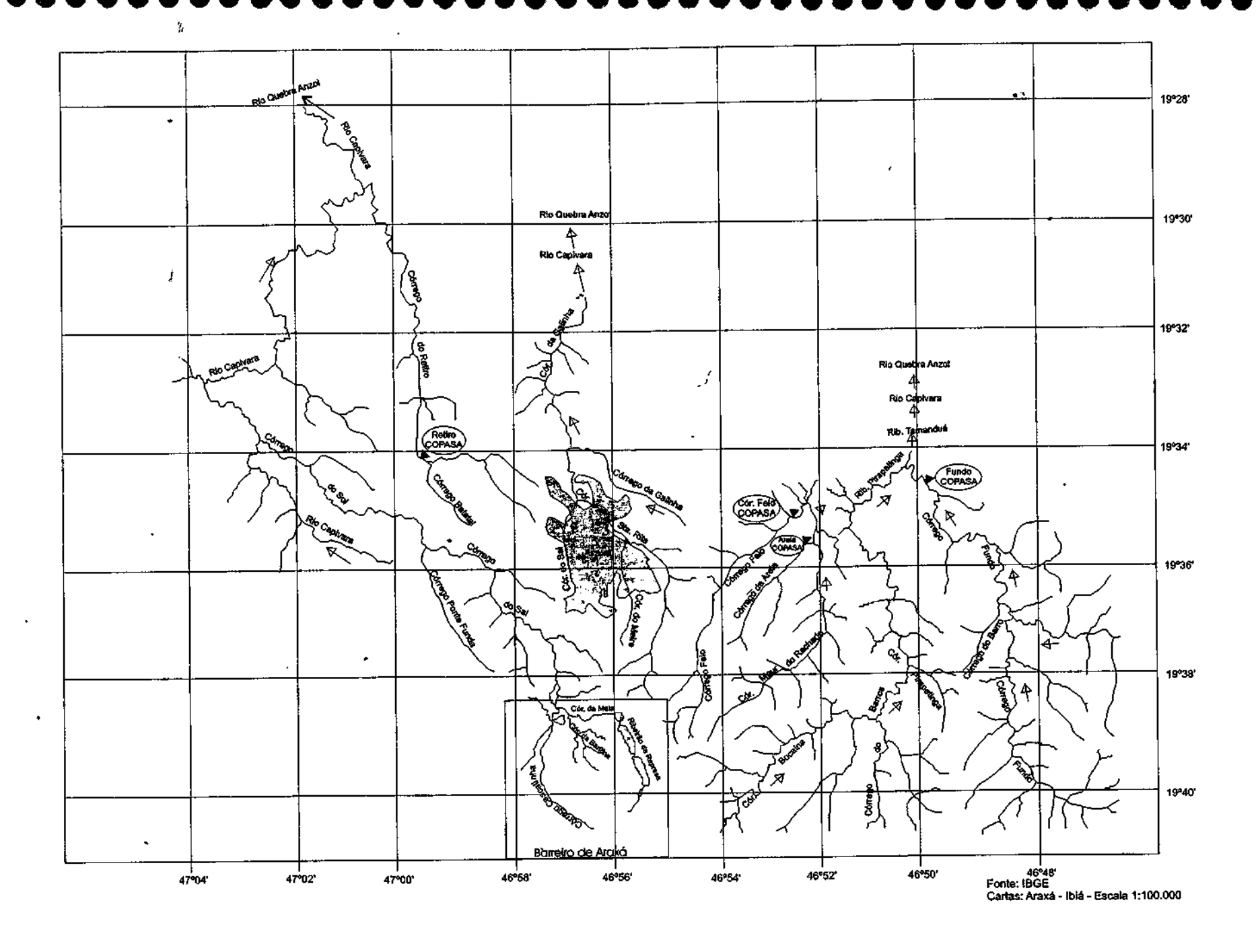
O Quadro 2, a seguir, mostra o grau de aproximação entre as medições de descarga e os valores obtidos na série para os dias correspondentes ao período de operação. O valor médio do período obtido evidencia que as curvas ajustam-se bem aos valores obtidos nos dias das medições de descarga. Cumpre observar que são perfeitamente compreensíveis os desvios maiores encontrados nos dias de descargas mais expressivas.

#### 8.4.2.3 - Definição da série histórica

Após a análise de todos os dados disponíveis, chegou-se à conclusão de que os dados dos postos fluviométricos Iraí de Minas (DNAEE) e Retiro (COPASA-MG) eram a melhor base de dados aceitável para o presente estudo.

Para a transferência de vazões entre as bacias, utilizou-se a metodologia desenvolvida por Riggs, snt. A partir da correlação entre as medições de descarga do posto Retiro e as vazões do posto Iraí de Minas simultâneas, ou seja, ocorridas no mesmo dia, definiu-se uma equação de transferência.





Data	Medições de	Vazões	Relação
	vazão	calculadas	-
12/10/52	0,782	0,735	1,06
22/05/53	0,622	0,55	1,13
04/04/54	1,64	1,7	0,96
26/08/54	0,2545	0,43	0,59
22/03/55	1,75	1,65	1,06
15/06/55	0,7395	0,77	0,96
21/08/55	0,46775	0,49	0,95
18/12/55	7,74	8,39	0,92
12/09/56		0,705	1,40
16/05/57	3,705	3,3	1,12
10/07/57	1,635	1,55	1,05
01/03/58	3,84	4,08	0,94
19/05/58	1,705	1,65	1,03
21/05/59	1,065	• 1,18	0,90
20/06/59	1,17	1,02	1,15
18/08/59	0,746	0,861	0,87
09/03/60	1,42	1,95	0,73
17/05/60	1,019	1,35	0,75
17/08/60	0,6995	0,805	0,87
24/01/61	1,92	1,85	1,04
22/04/61	1,73	1,65	1,05
23/03/62	3,66	3,15	1,16
23/05/62	1,04	0,68	1,53
27/02/64	1,63	1,62	1,01
09/09/64	0,346	0,634	0,55
06/07/65	1,295	1,46	0,89
09/08/65	2,48	2,55	0,97
23/11/65	2,495	2,72	0,92
10/01/66	13,5	13,7	0,99
20/06/66	1,65	1,55	1,06
26/07/66	1,33	1,31	1,02
12/08/66	1,24	1,19	1,04
22/09/66		1,17	1,02
27/10/66		1,13	0,99
09/11/66	1,45	1,49	0,97
22/11/66	2,45	2,33	1,05
09/12/66	1,16	1,17	0,99
21/03/67	3,725	3,92	0,95
21/04/67	2,2	2,18	1,01
24/06/67	1,495	1,5	1,00
15/07/67	1,36	1,36	1,00
12/08/67	1,155	1,19	0,97
16/09/67	1,115	0,94	1,19
19/10/67	0,8205	0,724	1,13
16/12/67	2,32	2,4	0,97
21/02/68	2,65	2,89	0,92
04/07/68	0,899	1	0,90
02/10/68	0,685	0,532	1,29
30/10/68	0,8125	0,647	1,26

Data	Medições de	Vazões	Relação
	vazão	calculadas	
13/05/69	0,5525	0,555	1,00
15/07/69	0,3765	0,44	0,86
07/08/69	0,327	0,374	0,87
09/09/69	0,216	0,22	0,98
08/10/69	0,3155	0,352	0,90
19/11/69	1,86	1,73	1,08
18/12/69	2,86	2,78	1,03
18/02/70	2,23	2,21	1,01
09/11/70	1,235	1,18	1,05
01/12/70	1,29	1,1	1,17
25/06/71	0,535	0,396	1,35
25/08/72	0,3795	0,542	0,70
16/10/72	1,42	1,45	0,98
22/01/73	2,1	1,91	1,10
13/02/73	3,275	3,25	1,01
18/03/73	3,085	3,12	0,99
17/04/73	3,34	3,48	0,96
24/06/73	1,42	1,4	1,01
18/08/73	1,04	1,18	0,88
17/01/74	2,07	1,10	1,08
07/02/74	1,53	1,43	1,07
11/03/74	2,83	2,69	1,05
06/04/74	1,755	1,69	
05/04/74	1,733	1,73	1,04
	<del></del>		0,98
13/09/74 09/10/74	0,845	0,8	1,06 1,04
18/12/74	0,96	0,92	
	2,01	1,7	1,18
26/12/74	4,68	4,7	1,00
18/01/75	1,37	1,35	1,01
14/02/75	1,32	1,35	0,98
15/03/75	0,88	1,04	0,85
20/03/75	1,15	1,08	1,06
22/05/75	0,859	0,96	0,89
18/06/75	0,717	0,88	0,81
20/08/75	0,487	0,724	0,67
17/01/76	1,22	1,2	1,02
23/01/76	0,987	1 0 00	0,99
12/02/76	0,976	0,88	1,11
14/03/76	0,946	0,96	0,99
10/04/76	0,805	0,724	1,11
14/06/76	0,667	0,61	1,09
12/08/76	0,421	0,324	1,30
21/10/76	0,54	0,496	1,09
08/12/76	0,955	0,88	1,09
14/01/77	0,69	0,648	1,06
21/02/77	0,777	0,61	1,27
12/04/77	1,38	1,39	0,99
10/06/77	0,791	0,71	1,11
12/08/77	0,228	0,332	0,69

Quadro 2 - Relação entre as vazões medidas e calculadas.

Γ		T	<del></del>
66,0			Média
	· · · · ·		
18,1	78,1	2,05	96/11/02
76'0	462,0	72,0	96/40/08
<del>7</del> 6'0	908,0	68 <b>7</b> ,0	96/90/80
1,22	72'L	2,13	96/10/21
1,19	926'0	1'1	96/11/91
28,0	365,0	764,0	96/60/11
<b>26</b> '0	62'1	£Z'1	96/90/10
86'0	99°L	19,1	96/80/80
£2,1	866'0	£5,1	<b>#6/01/80</b>
96'0	6 <del>7</del> L	£4,1	22/08/93
66'0	26,2	2,3	£6/90/ <del>†</del> 0
66'0	60'₽	90'7	26/21/60
1,34	67'1	2	24/08/92
86,0	96'0	146'0	89/80/82
£6'0	1,14	90, r	68/90/61
96'0	1'36	18,1	68/40/61
1'04	1,72	6 <b>7</b> ,1	20/02/89
1,16	<b>**9</b> '0	St7,0	88/60/12
S0,1	81,1	2,1	88/40/12
96'0	20'Z	96'L	17/03/88
66'0	6 <b>८</b> '।	87,1	88/10/61
	csiculadas	OŠZGV	
иеіясяо	SACZBA	an sanfinaiki	ו מפופו

20'L 66'0	1,25	24,2 1,34	16/02/86
	<del></del>		<del></del>
86,0	99'1	1.62	12/10/85
1,00	70,1	Z0'I	11/08/82
10,1	96,1	₹ <u>€,1</u>	98/90/41
86'0	2,14	1,2	98/90/21
66,0	2,67	29'Z	<del> </del>
81,1	298,0	20,1	10/02/85
30,1	926,0	176,0	<del>18/01/91</del>
66'0	12,1	S,1	18/80/20
06,0	1,2		15/06/84
	· k ·	6'1	10/04/84
90,t	5,46	2,6	16/02/84
06'0	5,1	88'1	12/07/83
†0'l	2,35	2,44	16/05/83
1,12	30,6	Et'E	12/03/83
66'0	<u>Z</u>	16,9	E8/10/E1
96'0	98' L	82,1	28/11/90
26'0	2,35	2,24	28/90/71
<b>28,0</b>	£6,4	69,8	S8/60/81
96'0	78,6	£4,6	28/10/15
1,08	27,1	68,1	18/11/20
<b>11,1</b>	<del>76</del> '0	70,1	18/60/01
81,1	70,1	12,1	18/50/01
<b>48</b> '0	9,8	51,5	F8/60\12
<b>⊅8</b> '0	t	36,8	18/10/21
1,03	EZ,1	87,1	12/11/80
£1,1	206,0	20,1	08/40/01
86,0	15,1	84,1	12/03/80
68,0	5,69	5,39	11/01/80
96'0	6£,1	£E,1	64/11/91
1,03	1,22	1,26	21/09/79
77,0	1,64	1,26	12/07/79
	l <del></del>		A . (A . /
14'0	2	10'1	15/09/21
94'0	81,4	<u>Σ1,ξ</u>	67/20/21
94'0 	31,44 81,44	2,63 71,5	
92'0 92'0 86'0	\$1'\$ \$1'\$	877,0 E8,S 71,E	62/80/81
92'0 92'0 92'0	81't tt'6 t68'0 20'1	0,914 877,0 83,2 3,17	87/60/60 87/11/80 67/10/21 62/60/61
88,0 88,0 87,0	81't te8'0 20'1 to'1	70,1 416,0 877,0 63,2 71,E	87/50/81 87/11/80 87/11/80 67/50/61
88,0 80,1 88,0 86,0 87,0 87,0	92,1 40,1 40,1 468,0 51,4	80,1 70,1 \$16,0 877,0 59,2	87/60/60 87/11/80 67/10/21 62/60/61
78,0 88,0 86,0 86,0 87,0 87,0	28,1 52,1 50,1	86,1 80,1 70,1 819,0 817,0 58,2	87/20/21 87/20/21 87/10/21 87/10/21 87/20/01
78,0 78,0 60,1 88,0 86,0 87,0	81'7 77'E 70'1 92'1 93'1 96'1	57,5 86,1 80,1 70,1 877,0 63,5 63,5	87/20/01 87/10/21 87/10/21 87/20/21
91,1 91,1 98,0 58,0 86,0 86,0 87,0	28,1 28,1 40,1 50,1 50,1 50,1 50,1 51,4 51,4	77,1 86,1 80,1 80,1 70,1 877,0 71,8	87/20/21 87/20/21 87/10/21 87/10/21 87/20/01
78,0 78,0 60,1 88,0 86,0 87,0	36.1 36.1 36.1 36.1 40.1 40.1 40.1 40.1 40.1 40.1 40.1 40.1	17,1 62,1 71,2 80,1 70,1 816,0 71,6	87/50/S1 87/50/S1 87/11/80 87/50/61 87/50/61 87/50/61
91,1 91,1 98,0 58,0 86,0 86,0 87,0	28,1 28,1 40,1 50,1 50,1 50,1 50,1 51,4 51,4	77,1 86,1 80,1 80,1 70,1 877,0 71,8	87/10/11 87/20/21 87/20/21 87/20/21 87/10/21 87/11/80

Quadro 2 - Relação entre as vazões medidas e calculadas (continuação).

Com base nesta equação, a média das vazões médias mensais para o período de dados disponíveis foi transferida para o posto Retiro.

A figura 18 mostra a correlação entre os postos Iraí de Minas e Retiro.

O Quadro 3 mostra as vazões médias do posto Iraí de Minas, a equação de transferência e as vazões resultantes em Retiro.

Durante a operação do posto Retiro não foi feita nenhuma medição de descarga nos córregos que drenam a região do Barreiro. Assim, o único recurso disponível é a transferência entre as subbacias com base nas respectivas áreas de drenagem.

Para transferir as vazões de Retiro para a região do Barreiro, utilizou-se a seguinte equação:

Vazão afluente na região do Barreiro = Vazão Posto Retiro x  $\frac{AD(BA)}{AD(Retiro)}$ 

onde:

AD(BA) = Área de drenagem do Barreiro de Araxá = Somatório das áreas de drenagem dos córregos Cascatinha-e Baritina = 10,4 km².

AD(Retiro) = Área de drenagem do Posto Retiro = 13,8 km².

O Quadro 4 mostra as vazões específicas mensais (preliminares) resultantes da região do Barreiro.

#### 8.4.3 - Levantamento de Campo

Nesta etapa do trabalho, foram instaladas réguas linimétricas no córrego Baritina e na saída do Lago Superior. No córrego Cascatinha não se instalaram as réguas, pois a altura da lâmina d'água é muito pequena, inviabilizando as leituras. Foram feitas medições em dois pontos do córrego Cascatinha e em um ponto no córrego Baritina (foto 16).

A figura 15 mostra os locais onde foram instaladas as réguas linimétricas e os pontos onde foram feitas as medições de vazão. O Quadro 5 apresenta os valores das vazões medidas.

#### 8.4.4 - Recomendações

O método utilizado para a estimativa da vazão específica mensal na região do Barreiro de Araxá não apresenta grande precisão. Recomendamos que se prossiga com a campanha de medições de vazão e leituras das réguas linimétricas nos próximos anos. Só com, pelo menos, dois anos de campanha, é possível gerar uma série de vazões confiável.

Cabe ressaltar que os resultados obtidos nas campanhas de medição de vazão dos córregos Cascatinha e Baritina, realizadas durante este trabalho, apresentaram algumas incoerências. O córrego Cascatinha, que possui uma área de drenagem aproximadamente 21% superior ao Baritina, apresentou uma vazão significativamente inferior.

Esta incoerência não pode ser esclarecida com as informações disponíveis durante a realização deste trabalho. As fotos e os levantamentos existentes da região não são recentes. Deste modo, recomenda-se que seja feita uma inspeção completa, inclusive com medições de descarga em vários pontos, desde as nascentes dos dois córregos até as proximidades do Grande Hotel.

#### 8.5 - Qualidade das Águas de Superfície

Os estudos de qualidade das águas de superfície da área do Barreiro de Araxá foram realizados com os seguintes objetivos:

 avaliar as condições qualitativas e níveis de poluição em função da ocorrência de fontes contaminantes;

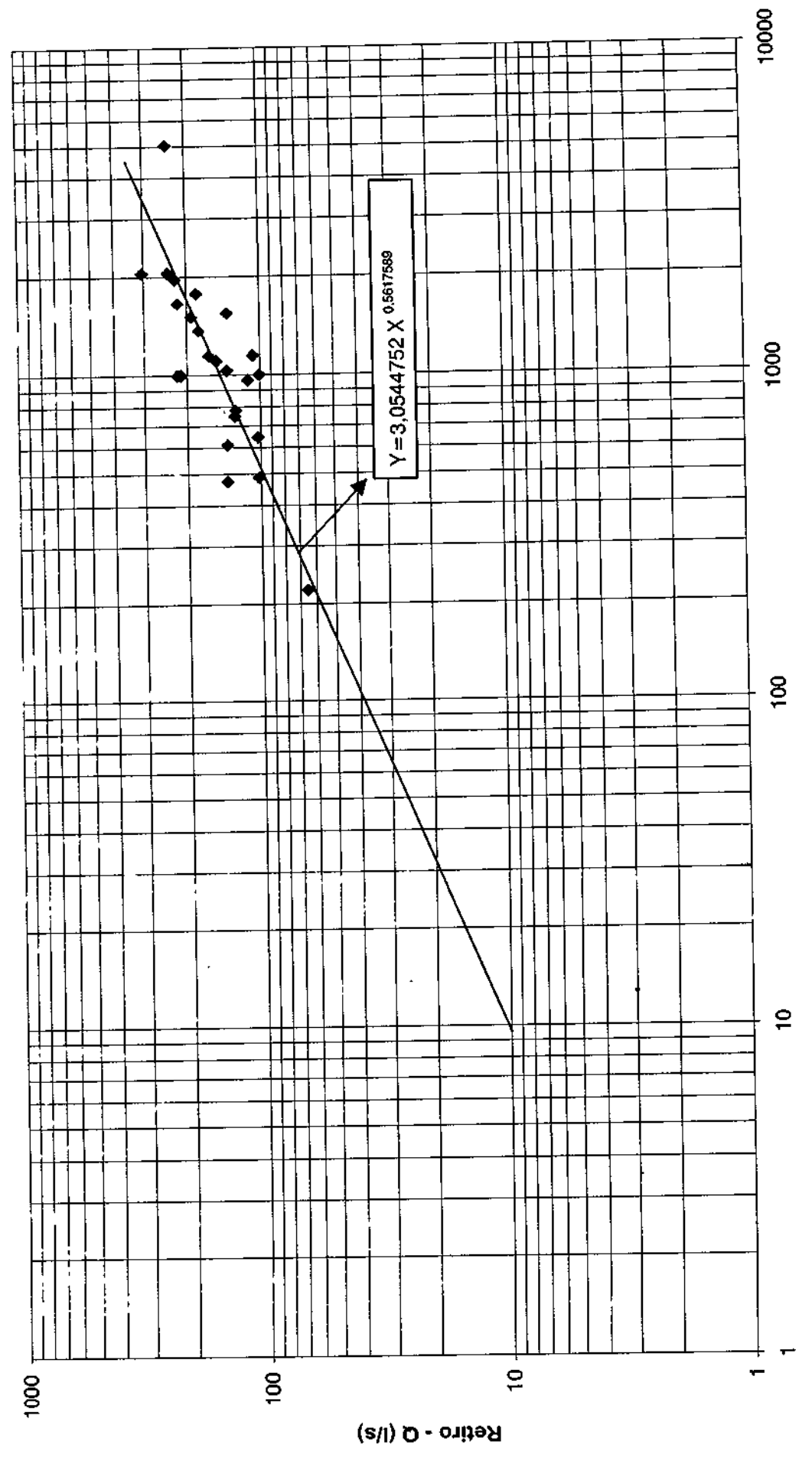


Figura 18 - Correlação entre os postos Iraí de Minas e Retiro.

- comparar os resultados das campanhas de amostragem com os padrões estabelecidos pela legislação ambiental, de forma a verificar se vêm sendo atendidos;
- · verificar a adequabilidade das águas para suas múltiplas utilizações.

Para atender aos objetivos do trabalho foi realizada uma campanha de coleta de amostras das águas de superfície da região, no período de 18-11-97 a 19-11-97.

#### 8.5.1 - Classificação das Águas do Município

	SÉRIE DE DESCARGAS MÉDIAS MENSAIS (Vs) - ESTAÇÃO : IRAÍ DE MINAS (1)										
JAN	FEV	MAR	ABR	MAI	JUN	JUL.	AGO	SET	OUT	NOV	DEZ
2659	2517	2472	1740	1386	1150	1037	883	817	1071	1494	2245
	EQUAÇÃO DE TRANSFERÊNCIA Y⇔3,0544752 X <sup>0,5617589</sup>										
		070/5 DE	DE004.00	MA MÉDI	<b>↓</b>	10 44 1 5	271010	. DETIDO			
					A\$ MEN\$A		<del>,                                    </del>	1			
JAN	FEV	MAR	ABR	MAI	JUN	JUL	AGO	SET	OUT	NOV	DEZ
256	249	246	202	178	160	151	138	132	154	185	233

#### Obs:

(1) - Média da série histórica do período 1953 a 1996, sendo que o ano de 1980 foi excluído por estar incompleto.

Quadro 3 - Vazões médias do Posto Iraí de Minas.

8	SÉRIE DE DESCARGAS MÉDIAS ESPECÍFICAS MENSAIS (I/s/km²) - LOCAL: BARREIRO DE ARAXÁ										
JAN	FEV	MAR	ABR	MAI	NUC	JUL	AGO	SET	OUT	NOV	DEZ
18,6	18,0	17,8	14,6	12,9	11,6	10,9	10,0	9,6	11,1	13,4	16,9

Quadro 4 - Vazões específicas mensais da região do Barreiro.

CÓRREGO	DATA	COTA	VAZÃO (m³/s)	DATA	COTA	VAZÃO (m³/s)
Cascatinha*	23/09/97	Cascata	0,0013			
Cascatinha*	24/09/97	10	0,0424			
Saída L.Sup.				06/11/97	26	0,072
	-"			06/11/97	25	0,073
				06/11/97	29	0,129
				06/11/97	27	0,181
Baritina <sup>(1)*</sup>	10/09/97	30	0,091	06/11/97	29	0,096
				06/11/97	29	0,135

#### Obs:

 (1) - O poço (157/51) da CBMM libera uma vazão de 30m³/h para o córrego Baritina, ou seja, 0,0083m³/s.

Quadro 5 - Vazões medidas na região do Barreiro.

A legislação ambiental em vigor no Estado de Minas Gerais, através da Deliberação Normativa (D.N.) nº 010/86 do Conselho Estadual de Política Ambiental - COPAM, estabeleceu critérios para a classificação das coleções das águas estaduais e para o lançamento de efluentes nessas coleções. Segundo esses critérios, as águas, de acordo com seus usos preponderantes, são classificadas em cinco classes, devendo apresentar e manter padrões de qualidade compatíveis com os limites estabelecidos para as referidas classes. De acordo com o artigo 11, alínea C, da referida Deliberação Normativa, todos os cursos d'água que ainda não tenham sido devidamente enquadrados devem ser considerados pertencentes à Classe 2.

A bacia do rio Paranaíba ainda não foi enquadrada pelo órgão ambiental do Estado. Assim sendo, as coleções de águas da bacia do rio Capivara, tributário do rio Paranaíba, devem ser consideradas como da Classe 2.

Segundo a Deliberação Normativa nº 010/86, as águas Classe 2 destinam-se ao abastecimento doméstico após tratamento convencional, à proteção das atividades aquáticas, à recreação de contato primário, à irrigação de hortaliças e plantas frutíferas e à criação natural e/ou intensiva de espécies destinadas à alimentação humana. Cabe ressaltar que as águas superficiais do Barreiro só são utilizadas para finalidades paisagísticas e de usos menos exigentes.

Os padrões de qualidade estabelecidos para a classe 2 apresentam restrições para materiais flutuantes, óleos e graxas, substâncias que comuniquem gosto ou sabor, substâncias que formem depósitos objetáveis, os quais devem estar virtualmente ausentes. São também definidos limites quantitativos para uma série de parâmetros e indicadores, dentre eles os coliformes totais e fecais, DBO, OD, turbidez, cor, pH, bem como várias substâncias potencialmente prejudiciais tais como os fenóis, detergentes, solventes, nutrientes, sólidos dissolvidos, metais pesados, biocidas organoclorados e organofosforados, e outras substâncias orgânicas e inorgânicas tóxicas, cancerígenas ou de outro efeito nocivo. Os corantes artificiais, que podem ocorrer, devem ser removíveis por processos convencionais.

#### 8.5.2 - Rede de Monitoramento

Para a realização dos estudos de qualidade das águas foram coletadas amostras em 9 pontos distribuídos nas lagoas e cursos d'água que drenam a região do Barreiro de Araxá.

Para identificação dos pontos de amostragem, foi adotada uma codificação do tipo XX - Y - ZZ, onde:

- XX indica o município em que se encontra o ponto, ou seja, AR caracteriza um ponto localizado no município de Araxá;
- Y caracteriza o tipo de amostra, tendo sido adotado M para amostras em mananciais (cursos d'água) e L para lagoas;
- ZZ é o número do ponto.

O mapa de localização dos pontos pertencentes à rede de amostragem está apresentado na figura 15.

Praticamente todas as amostras coletadas foram do tipo simples. Entretanto, na Fonte Andrade Júnior e no Lago Barragem F foram coletadas amostras compostas em 3 verticais.

As coletas das amostras foram executadas pela equipe técnica da CPRM, e o material amostrado foi analisado no Laboratório de Sedimentometria e Qualidade das Águas da Superintendência Regional de Belo Horizonte. As análises bacteriológicas foram realizadas em laboratórios contratados para esta finalidade.

#### 8.5.3 - Parâmetros Analisados

A escolha dos parâmetros foi realizada com vistas à obtenção de análises representativas das reais condições qualitativas dos corpos d'água. Para tal, foram selecionados aqueles que melhor

expressassem as características físico-químicas das águas, as condições geológicas locais e os lançamentos de esgotos e resíduos industriais e das minerações verificados na região do Barreiro de Araxá.

Os parâmetros escolhidos foram os seguintes: temperatura da água, pH, condutividade, OD, DBO, DQO, sólidos em suspensão, sólidos dissolvidos, sólidos sedimentáveis, óleos e graxas, turbidez, alcalinidade total, dureza total, nitrogênio total, nitrogênio amoniacal, nitrogênio orgânico, nitrito, nitrato, detergentes, fenóis, cianetos, cloretos, sulfetos, fluoretos, ferro total, ferro solúvel, manganês solúvel, fósforo total, zinco, cromo trivalente, cromo hexavalente, chumbo, cobre, cádmio, mercúrio, níquel, estanho, arsênio, coliformes totais, coliformes fecais, estreptococos fecais, dureza cálcio e magnésio, selênio, cálcio, magnésio, potássio, sulfatos, bicarbonatos, sódio, carbonatos, cor, alumínio e bário.

As principais características, as fontes de origem e a toxicidade relativas aos parâmetros analisados, bem como os respectivos limites estabelecidos pela legislação em vigor, estão apresentados no Quadro 6.

#### 8.5.4 - Análise dos Resultados

#### 8.5.4.1 - Córrego da Mata

Neste córrego foi feita somente uma coleta no ponto de amostragem ARM01 em 19-11-97, próximo à confluência com o córrego Baritina. A posição geográfica em que se encontra este ponto de amostragem permite dar uma visão do nível de qualidade das águas que drenam esta bacia. As águas apresentaram-se muito duras (419,06 mg/L), com pH neutro (6,94) e alcalinidade muito fraca (33 mg/L). A condutividade elétrica, em torno de 1957 µmhos/cm, indica uma alta concentração de sais dissolvidos.

Na amostragem, detectaram-se bons índices de oxigenação (OD=6,65 mg/L) e baixa DBO (0,93). O índice de turbidez (2 mg/L) e a ausência de sólidos em suspensão são bastante satisfatórios. Entretanto, a concentração de sólidos dissolvidos é bastante elevada, estando acima dos limites estabelecidos, indicando que, provavelmente, despejos industriais estão sendo lançados neste córrego.

A presença de altas concentrações de cloretos (529,84 mg/L) e nitrogênio amoniacal (6,8mg/L) indicam poluição orgânica recente. Verificou-se ainda que a concentração da amônia não ionizável (0,02 mg/L) está acima dos limites estabelecidos.

Os índices de fosfatos totais em P (0,03 mg/L) mantiveram-se pouco acima dos limites estabelecidos para a classe 2. Acredita-se que esta alteração pode ser decorrente das características geológicas da região.

Quanto aos metaís pesados, foram encontradas concentrações de bário pouco acima dos limites estabelecidos. Estas alterações possivelmente são decorrentes das características geológicas da região e/ou de efluentes industriais e de resíduos do processo de beneficiamento do minério de nióbio.

Concentrações elevadas de sulfetos (0,05 mg/L) foram detectadas na amostra, sendo que o sulfeto não dissociado (0,027 mg/L) excedeu os limites estabelecidos.

Com relação às análises bacteriológicas, o número de coliformes totais e fecais (280 NMP/100ml e 7 NMP/100ml, respectivamente) não excederam os limites. Contudo, o número de estreptococos fecais, da ordem de 1600 NMP/100ml, sugere que a contaminação fecal tenha origem em excrementos de animais.

			CARACTERÍSTICAS DOS PRINCIPAIS PARÂMETI	ROS ANALISA	ADOS	,	
		CARACTERÍSTICAS GERAIS	ORIGEM NAS ÁGUAS E FATORES DE		(D.N. n* 010/86	-COMPAM)	INCONVENIENTES E TOXICIDADE
PARÂMET	Violentino	ALTERAÇÃO	CLASSE 1	CLASSE 2	EFLUENTES		
Tomperati da águs	ura	Influencia processos biológicos, reações químicas o bloquímicas, caracterizando outros parâmetros como a densidade, viscosidade e pressão de vapo do meio liquido. É inversamente proporcional a solubilidade de gases dissolvidos e diretament proporcional à solubilidade de sais minerais.	temperatura do ar, apresentance no classificación de entre 12 e 30°C.  A Aumentos significativos de temperatura nos corpos		·	< 40°C, não podendo gerar elevação de temperatura no corpo receptor maior que 3°C	Variações súbitas de temperatura nas águas causam efeitos danosos aos ecossistemas aquáticos que se adaptam apenas a pequenas variações.  Aumentos de temperatura resultam na redução do oxigênio dissolvido e no consumo de oxigênio devido à estimulação das atividades ticilógicas.
pH - Poter hidrogenië	ncial Onico	É a relação numérica que expressa o equitión entre lons (H¹) e (OH). Apresenta variação entre e 14, sendo 7,0 o valor neutro. Aguas com pH < 7, são consideradas ácidas, e com pH > 7,0, básicas.	0 carbonicos e númicos dissolvidos. 0 As maiores alterações no pH são provocadas por	de 6,0 a 9,0	de 6,0 a 9,0	entre 6,5 e 8,5 (±0,5)	Águas com pH baixo ou elevado são agressivas, podendo causar corrosão em tubulações.  Alterações bruscas de pH (<5,0 ou>9,0) podem causar o desaparecimento de espécies aquálicas.
Condutivic elétric		É a capacidade da água de transmitir corrent elétrica. Apresenta relação proporcional concentração de substâncias iônicas dissolvida Em águas doces varia de 30 a 2000 µs/cm a 25°C.	à dissolvidas que se dissociam em anions e constitue.  S. Grandes variações decorrem de tançamentos de				- title a stable of
Oxigén Dissolvi (OD)	ldo	Fundamental para a manutenção das comunidade aquáticas aeróbicas. Provém naturalmente o processos cinéticos e fotossintéticos. Varia e tunção da temperatura da água e pressi atmostérica.	m principalmente de origem orgânica.	≠ 6,0 mg/l	= 5,0 mg/l	-	Apesar de essencial à vida aeróbica, o oxígênio é l'ator significante na corrosão de tubulações de ferro e aço.
Deman Bioquin de Oxigi (DBO	nica ênio	É a quantidade de oxigênio consumida na oxidaç biológica da matéria orgânica. É o parâmetro ma usual de indicação de poluição orgânica.	Ocorre naturalmente nas águas em nível reduzido em tunção da degradação de matéria orgânica (folhas animais mortos, fezes de animais).     Aumentos de DBO são provocados por despejos de origem predominantemente orgânica.	1	= 5,0 mg/l	= 60 mg/l	Altos índices podem gerar a diminuição e até a extinção do oxigênio presente nas águas; nessas condições, os processos aeróbicos de degra dação orgânica podem ser substituídos por outro anaeróbicos, gerando alterações substanciais na ecossistema, inclusive com a extinção das formas de vida oxigênio-dependentes.
Deman Quimi de Oxig (DQC	ca ênio	É a quantidade de oxigênio necessária para oxidação da matéria orgânica através de um agei químico. Parâmetro utilizado no monitoramento sistemas de tratamento de effuentes e caracterização de effuentes industrials.	de despejos de ongeminousinal.	-	-	-90 mg/l	•
Sólidos	dissolv divider sólidos efetiva	o ao tamanho , podem ser classificados em vidos e em suspensão. Os sólidos em suspensão m-se em sedimentáveis e não-sedimentáveis. Os s dissolvidos incluem os colóides e os amente dissolvidos. p à caracterização química, são classificados em is e não-voláteis se apresentam ou não conteúdo	Os sólidos dissolvidos são naturalmente encontrados na águas devido eo desgaste das rochas por intemperismo Grandes concentrações decorrem do lançamento de esgotos domésticos e despejos industriais. Os sólidos em suspensão provêm do carreamento de solo pelas águas pluviais, devido a processos erosivos desmatamentos na bacla, do lançamento de esgoto domésticos, efluentes industriais, e da dragagem pai remoção de areia e atividades de garimpo.	b lotais: 500 mg/l	totais:	sólidos sedimentáveis 1 mk/l sólidos em suspensão = 100 mg/l (diárlo) = 60 mg/l (média mensi	corrosão em tubulações de distribuição, co águas utilizadas para irrigação, pode gen problemas de salinização do solo.  Os sólidos em suspensão aumentam a turbido das águas, prejudicando seus aspectos estático e a produtividade do ecossistema pela diminuição da penetração da luz.

	· · · · · · · · · · · · · · · · · · ·	CARACTERÍSTICAS DOS PRINCIPAIS PARÂMET	ROS ANALIS	ADOS	· · · · · · · · · · · · · · · · · ·	· · · · · · · · · · · · · · · · · · ·	
PARÂMETRO	CARACTERÍSTICAS GERAIS	ORIGEM NAS ÁGUAS E FATORES DE	LIMITES	(D.N. n* 010/8	8-COMPAM)	INCONVENIENTES E TOXICIDADE	
		ALTERAÇÃO	CLASSE 1	CLASSE 2	EFLUENTES		
Óleos e graxes	São substâncias orgânicas de origem mineral, vegetal ou animal, tais como ácidos graxos, ceras, óleos, gorduras, sabões e graxas.  São geralmente insolúveis êm água, podendo aparecer emulsionados por detergentes, álcalis ou outras substâncias químicas.	Sua origem relaciona-se a atividades antropogênicas, uma vez que taramente são encontrados em águas naturais. Normalmente advêm de despejos e residuos industriais, esgotos domésticos, efluentes de oficinas mecânicas, postos de gasolina, residuos de embarcações e dragas, estradas, vias públicas urbanas e aeroportos.	virtualmente ausentes	virtualmente ausentes	óleos minerais: = 20 mg/l óleos vegetais e gordura anlmal: = 50 mg/l	Modificam a tensão superficial das águas dificultando as trocas gasosas, sobretudo do oxigênio, causando, portanto, alterações no ecossistema aquático e nas características físicas, químicas e biológicas das águas.  Em seu processo de decomposição provocam a redução do OD e a elevação da DBO e DQO. Podem produzir dermatoses no homem.	
Turbidez	Mede a resistência da água à passagem da luz. É uma característica das águas correntes, podendo aumentar nos períodos chuvosos. Em águas dormentes apresenta geralmente valores baixos.	Decome naturalmente da presença de material em suspensão, plâncton, microorganismos, arglias e siltes nas águas.  Sua principal fonte é o aporte de particulas de solos provenientes da superfície da bacia hidrográfica, em função de desmatamentos, processos erosivos e atividades de mineração. Pode tambem advir do lançamento de efluentes que contenham material fino.	-40 UNT	-100 UNT	•	Afeta esteticamente os corpos d'água.  Pode causar distúrbios aos ecossistemas aquáticos devido à redução da penetração da luz.  Aumenta os custos de processos de tratamento para fins de abastecimento público e industrial.	
Alcalinidade total	É a capacidade apresentada por substâncias presentes na água de se ligarem a ácidos fortes equivalentes em concentração. Os cátions associados a bases fracas, bicarbonatos, carbonatos, ácidos orgânicos e íon hidroxila pertencem a esta classa de compostos.	Decome da presença de carbonatos, bicarbonatos e tidróxidos, quase sempre de alcalinos ou alcalinos terrosos (sódio, potássio, cálcio, magnésio, etc.). Grandes teores provêm de despejos de indústrias têxteis, químicas, lavanderias e curtumes.	-	- : :	-	Pode inibir a ação de microorganismos presentes nos processos biológicos de sistemas de tratamento.  Interferent com a autodepuração dos cursos d'água.	
Dureza total	É caracterizada pela dificuldade de formação de espumas pelo uso de sabões.	Decorre da presença de sais alcalino-terrosos e alguns metais em menor grau.	•	•	-	Causa incrustações em tubulações. Gera sabor característico nas águas. Dificulta o banho e a lavagem de utensílios domésticos e roupas, devido à dificuldade de formação de espurna.	
Nitrogênio total	É a soma dos parâmetros nitrogênio orgânico e nitrogênio amoniacal.	•	•	•	-	•	
Nitrogênio orgânico	É todo o nitrogênio presente em compostos orgânicos,como proteínas, aminoácidos, aminos, amidos, nitro-derivados e outros.	Presente em matéria orgânica não decomposta.  Concentrações elevadas decorrem do lançamento de esgotos domésticos e efluentes de origem orgânica.	-	•	-	•	
Nitrogânio amoniacal (NH.)	Resultante da decomposição do nitrogênio orgânico pela ação de bactérias saprófitas.	Existe nas águas naturais em pequenas concentrações, resultante da decomposição da matéria orgânica de origem predominantemente animal.  Aumentos súbitos indicam contaminação recente por esgotos domésticos e efluentes orgânicos.	=0.02 mg/l (NH <sub>3</sub> )	-0,02 mg/l (NH₃)	≠5,0 mg/l (N)	Favorece a proliferação de bactérias. Concentrações acima de 2,5 mg/l são tóxicas para algumas espécies de peixes de água doce.	
Nitrito (NO <sub>1</sub> )	Composto instável, produzido a partir da oxidação da amônia pela ação de bactérias Nitrosomonas em condições aeróbicas. Em condições anaeróbicas, pode ser reduzido à amônia.	Provém do lançamento de esgotos domésticos e efluentes orgânicos em processo de decomposição, indicando poluição orgânica recente.	*1,0 mg/l (N)	*1,0 mg/l (N)	•	Em soluções ácidas pode formar nitrosaminas que são agentes carcinogênicos. É o agente etiológico da metemoglobinemia.	

		CARACTERÍSTICAS DOS PRINCIPAIS PARÂMETI	OS ANALIS	ADOS		
nin ingres	CARACTERÍSTICAS GERAIS	ORIGEM NAS ÁGUAS E FATORES DE	LIMITES	(D.N. n* 010/84	S-COMPAM)	INCONVENIENTES E TOXICIDADE
PARÂMETRO	CARACTERISTICAS GERAIS	ALTERAÇÃO	CLASSE 1	CLASSE 2	EFLUENTES	
Nitrato (NO,)	Composto estável, decorrente da decomposição do nitrito pela ação de nitrobactérias em ambientes aeróbloos. Em condições anaeróbloas pode ser reduzido a nitrito.  Constitui-se um nutriente fundamental ao desenvolvimento das plantas.	Ocorre naturalmente nas águas por dissolução de rochas ou principalmente, por oxidação bacteriana de matéria orgânica de origem predominantemente animal.  Maiores concentrações decomem da utilização de ferbitzantes e do tançamento anterior de esgotos orgânicos.	≃10,0 mg/l (N)	=10,0 mg/l (N)		Em grandes concentrações (>20 mg/l) pode provocar cianose em crianças.  Como nutriente, em níveis significativos, contribul para a proliferação de organismos aquáticos e conseqüente eutrofização do corpo d'água.
Detergentes	São agentes tensoativos, surfactantes ou espurnantes que têm a propriedade de diminuir a tensão superficial dos líquidos, sendo utilizados para emulsionar substâncias hidrófobas como óleo, gorduras, petróleo, etc.  Os sulfonados de aquilibenzila (ABS) oferecem grande resistência à degradação biológica. Outros tipos, como o LAS, NASP e laurisulfato de sódio são biológradávels.	São compostos sintéticos, não sendo encontrados em águas naturais. Têm sido largamente utilizados em indústrias, principalmente têxteis, de fibras em geral, alimentícias, frigoríficos, curtumes, bem como na lavagem de utensílios domésticos, sendo encontrados em eagotos domésticos e efluentes.	=0,5 mg/l (LAS)	=0,5 mg/f (LAS)	=2,0 mg/l	Causam a formação de espume nas águas.  Por modificarem a tensão superficial dos líquidos, influenciam nas trocas gasocas.  Causam gosto e odor nas águas.  Alguns tipos apresentam baixa degradação biológica, sendo tóxicos para os peixes dis águas interiores.
Fenóis	São compostos orgânicos aromáticos, tendo como característica seu poder bactericida.	Sob condições naturais, podem advir da decomposição de certas folhas como as do carvalho, de algumas raízes, ou ainda durante a decomposição bioquímica de algas mortas.  Provêm principalmente de effuentes industriais (químicos, farmacêuticos e siderúrgicos, de fábricas de matéria plástica, corantes, revestimentos e pinturas betuminosas, etc.), despejos de mineração, insumos agrícolas (pesticidas, produtos para o gado), estando também presentes em espotos domésticos e hospitalares devido ao uso de desinfetantes.	-0,001 mg/l	⊷0,001 mg/l	=0,2 mg/l	Já em pequenas concentrações causam cheiro e sabor desagradáveis na água potável , sobretudo na presença de cloro.  Em maiores concentrações (6 a 10 mg/l), são letais para os peixes. Concentrações tóxicas para o homem são da ordem de 13 mg/kg, bem superiores às normalmente encontradas nas águas.  Por ser um bactericida poderoso interiere nos testes de DBO.
Clanetos	São compostos que contém o radical CN'. Os clanetos alcalinos simples formam fons quando dissolvidos em solução aquesa. Os cianetos complexos são mais estáveis e pouco tóxicos; entretanto, quando se decompõem em fons simples apresentam toxidez variada.	São encontrados em pequenas quantidades em alguns alimentos (palmito, alface, repolhos e outros), sendo aceitos pelo organismo humano.  Suas principais fontes são os efluentes de siderúrgicas, indústrias químicas, de galvanização, de ciarificação de metais, fábricas de borracha, de fibras acrilicas, de plásticos, resíduos de atividades minerárias de refinação de ouro e prata.	=0,01 mg/t (CN)-	=0,01 mg/s (CN)	=0,2 mg/l	Apresentam vários graus de toxidez em função do metal presente e da proporção dos grupos CN convertidos em cianetos simples. Associado ao zinco e cádmio é excessivamente tóxico. Reduções no pH, aumento da temperatura da água e baixas concentrações de oxigênio dissolvido também aumentam sua toxidez.  O máximo para ingestão humana é de 18mg/dia. Concentrações acima de 0,025mg/l são tóxicas para peixos.
Cloretos	O cloreto na forma iônica CL é um dos principals ànione inorgânicos presentes na água e em efluentes.  As concentrações de cloretos são geralmente mais altas em águas residuárias do que em esgotos domésticos.	devido ao contato com depósitos minerais ou com a água do mar. Maiores concentrações decorrem da contaminação	-250,0 mg/l (Ct)	=250,0 mg/l (Cl)		Embora em quantidades razoáveis não sejam prejudiciais à saúde humana, transmitem à água sabor salgado reputsivo.  Cioretos de cálcio e magnésio causam dureza e corrosividade em caldeiras.

<del></del>		CARACTERÍSTICAS DOS PRINCIPAIS PARÂMET	ROS ANALIS	ADOS	** <u>**</u>	<u> </u>
PARÂMETRO	CARACTERÍSTICAS GERAIS	ORIGEM NAS ÁGUAS E FATORES DE	LIMITES	5 (D.N. n* 010/8	6-COMPAM)	INCONVENIENTES E TOXICIDADE
		ALTERAÇÃO	CLASSE 1	CLASSE 2	EFLUENTES	
Sulfetos	Aparecem na água a partir da decomposição anaeróbia da matéria orgánica. Apresentam alta toxicidade.	Malores concentrações decorrem do lançamento de esgotos domésticos e efluentes Industriais que contenham H <sub>2</sub> S ou S", como os de fábricas de papel, refinarias de óleo, curtumes, Indústrias alimenticias e químicas.	-0,002 mg/l (S)	=0,002 mg/l (S)	=0,5 mg/l (S)	São altamente tóxicos, sendo letais aos petxes em concentrações de 1 a 6 mg/f.  Sendo fortemente redutores são responsáveis por uma demanda imediata de oxigênio, reduzindo o oxigênio dissolvido nos corpos d'água.  Impedem a floculação nas estações de tratamento e provocam corrosão em tubulações e estruturas de metal e concreto.  Causam problemas de odor e sabor nas águas.
	São essenciais em águas para consumo humano em concentrações betxas (de 0,6 a 1,2 mg/l) para a prevenção de cáries infantis. Maiores concentrações são prejudiciais à saúde humana.	Sue presença em águas naturais não poluídas deve- se ao contato com rochas que contenham fluor; neste caso, seu teor raramente excede a 1,0 mg/l. Maiores concentrações ocorrem devido ao lançamento de despejos de indústrias químicas, de vidro, de beneficiamento de minérios, dentre outras.	≖1,4 mg/l (F)	=1,4 mg/l (F)	=10,0 mg/l (F)	Concentrações altas, entre 8,0 e 20,0 mg/l são prejudiciais à saúde por causar fluorose dental em crianças e fluorose endêmica cumulativa, com consequentes lesões esqueléticas em crianças e adultos.  Doses excessivas são letais ao homem.
	Existe em grande quantidade na natureza, sendo encontrado em solos e minerais principalmente na forma de óxido férrico insolúvel e sulteto de ferro, solúvel em água na presença de dióxido de carbono. Pode também ocorrer como carbonato de ferro, fracamente solúvel.  Nes águas superficials pode ser encontrado sob as formas de (terro ferroso) e trivatente (ferro férrico), como solução, colóide, suspensão ou em complexos orgânicos e minerais.	Em águas não poluídas, seu teor varia muito em função da litologia da região e do período chuvoso, quando pode ocorrer o carreamento de solos com teores de ferro mais elevados.  Pode ocorrer em maiores concentrações devido à drenagem de áreas de mineração, ou ao tançamento de efluentes indústriais de metalungia ou de processamento de metals.	(erro solúvel: ≖0,3 mg/l (Fe)	ferro sokúvel: ≠0,3 mg/t (Fe)	terro sokivet: -10,0 mg/l (Fe)	Confere sabor e coloração avermelhada às águas. Sua presença causa depósitos em tubulações. Pode causar manchas em aparethos sanitários e em roupas durante a lavagem. Por promover o crescimento de terrobactérias causam problemas no sistema de distribuição.
	Está presente em praticamente todos os solos, principalmente na forma de dióxido de manganês, insolúvel em águas que contenham dióxido de carbono. Sob condições anaeróbicas, o dióxido de manganês é reduzido para formas solúveis.	Em águas naturais pode ocorrer em pequenas concentrações devido à lixtiviação de minerais e solos. Maiores concentrações decorre do lançamento de effuentes industriais.	=0,1 mg/l (Mn)	-0,1 mg/l (Mn)	manganês solûvel: =1,0 mg/t (Mn)	Confere sabor, coloração marrom e turbidez às águas, além de formar depósitos em tubulações. Pode causar manchas em roupas.
	Participa dos processos de respiração, fotossíntese e reprodução calular.  Assim como o nitrogênio, o fósforo é um importante nutriente para o crescimento e reprodução dos microorganismos que promovem a estabilização da matéria orgânica presente nas águas, podendo ocorrer sob várias formas, orgânica (proteínas) ou minerais (ortofosfatos e polifosfatos).	Em águas naturais o fosfato é formado principalmente durante os processos biológicos de transformação de substâncias orgânicas em losfato inorgânico, ou pela lixiviação de solos e minerais.  Malores concentrações decorrem do lançamento de esgotos domésticos, águas residuárias industriais e efluentes diversos que contenham detergentes.	-0,025 mg/l (P)	=0,025 mg/l (P)		Maiores concentrações provocam a proliferação excessiva de algas e conseqüente eutrofização dos corpos d'água, a qual promove a desestabilização do ecossistema, causando grandes alterações nas condições fisico-químicas das águas e na comunidade aquática.
	É essencial em baixos teores para o metabolismo humano e animel. Em maiores concentrações tornase tóxico.	Ocorre em pequenas concentrações em águas naturais, devido a lixivlação de solos e rochas.  Maiores concentrações são decorrentes do lançamento de despejos industriais principalmente de galvanoplastia e fábricas de papel e tiritas.	0,18 mg/l (Zn)	=0,18 mg/l (Zn)	∞5,0 mg/l (Zn)	Em concentrações mais altas torna-se tóxico para a vida aquática, estando sua toxicidade relacionada com as concentrações de oxigênio e dureza da água. Altas concentrações podem causar problemas pulmonares ao homem.

		CARACTERÍSTICAS DOS PRINCIPAIS PARÂMET	ROS ANALIS	ADOS		
PARÂMETRO	CARACTERÍSTICAS GERAIS	ORIGEM NAS ÁGUAS E FATORES DE	LIMITES	3 (D.N. n* 010/8	6-COMPAM)	INCONVENIENTES E TOXICIDADE
		ALTERAÇÃO	CLASSE 1	CLASSE 2	EFLUENTES	
Cromo	Em baixos teores é necessário ao metabolismo humano e animal. Em grandes concentrações torna- se prejudicial à saúde humana.	É um elemento raramente enconfrado em águas naturais não poluídas.  O cromo trivalente presente nas águas decorre principalmente do lançamento de despejos de curtumes. A presença do cromo hexavente advém de despejos de indústrias que utilizam processos de piquelagem e cromagem de metais, galvanoptastias, indústrias de corantes, explosivos, carâmica, vidro, papet, etc.	Cromo trivalente: =0,5 mg/l (Cr) hexavalente =0,05 mg/l (Cr)	Cromo trivalente: =0,5 mg/l (Cr) hexavatente =0,05 mg/l (Cr)	Cromo trivalente: =1,0 mg/i (Cr) hexavalente: =0,5 mg/i (Cr)	Na forma trivalente apresenta menos toxidez que na hexavalente.  Apesar de não ser cumulativo, por bloquear enzimas responsáveis por determinados processos metabólicos, pode ser prejudicial à saúde humana em grandes concentrações, maiores que 11,0 mg/l.  Quando Inspirado pode ser carcinogênico.
Chumbo	É um metal tóxico ao homem e animais. O chumbo ingerido é absorvido parcialmente pelo organismos; entretanto, o contido no ar inspirado é absorvido rápida e completamente pelos pulmões, entrando na corrente sanguínea e distribuindo-se por todo o organismo.	Em condições naturais apenas traços são encontrados nas águas, da ordem de 0,01 mg/l ou menos.  Maiores concentrações são decorrentes da contaminação por efluentes de indústrias ou minas, ou como resultado da ação corrosiva em canalizações contendo este metal.	=0,03 mg/l (Pb)	-0,03 mg/t (Pb)	-0,1 mg/l (₽b)	Apresenta poder cumulativo no organismo. Quando assimilado pode desencadear uma série de perturbações: -danos ao sistema nervoso central, podendo ocasionar epitepsta, convulsões e paralista; -redução da capacidade intelectual em crianças; -diminulção da resistência frente a intecções; -anemia; -intoxidação crônica ou saturnismo, que pode levar à morte.
Cobre	Em pequenas concentrações participa dos processos metabólicos e sua ausência pode causar anemia.	Ocorre em águas naturais em pequenas concentrações.  Maiores teores são decorrentes de sua utilização como algicida, do lançamento de despejos industrials e do desgaste de canalizações de cobre.	=0,02 mg/l (Cu)	-0,02 mg/l (Cu)	-0,5 mg/l (Cu)	Causa sabor às águas de abastecimento.  Concentrações elevadas são danosas para os organismos aquáticos, podendo ocasionar problemas de figado no homem.
Cádmio	É um elemento de elevado potencial tóxico apresentando efeito cumulativo nos organismos aquáticos e não aquáticos com mela-vida da ordem de 10 anos, podendo, portanto, integrar-se às cadelas alimentares.	Em condições naturais é encontrado nas águas em traços mínimos.  A ocorrência de concentrações mais elevadas nas águas está relacionada ao contato com recipientes e canalizações que contentam este elemento, inclusive plásticas, ao uso de fertilizantes e ao lançamento de despejos industriais de galvanoplastia, de mineração e metaturgia do zinco bem como de processos de combustão.	-0,001 mg/t (Cd)	-0,001 mg/i (Cd)	=0,1 mg/l	Em pequenas doses afeta os órgãos reprodutores de aíguns animale.  No homem, provoca imitação gastrointestinal com a ocorrência de vómitos, ataca a medula óssea com consequente redução dos glóbulos vermethos gerando anemia, causa hipertensão, doenças cardiovasculares, diminuição da massa óssea, retardo de crescimento em crianças, prejudica a capacidade excretora dos nins.  Sua ação tóxica é incrementada na presença de zinco, cobre e setênio.
Mercúrio	Embora seja um elemento com alto índice de toxicidade, tem sido utilizado em larga escala para fine industriais, minerários e agricolas. Apresenta efeito cumulativo nos organismos, integrando-se às cadeias alimentares, principalmente sob a forma de compostos organo-mercúricos, cuja mela vida no organismo humano é de 70 a 100 dias.	Encontra-se distribuido no meio ambiente, podendo ocorrer em águas naturais, principalmente incorporado aos sedimentos de fundo.  Maiores concentrações originam-se de effuentes de indústrias que utilizam processos eletrolíticos, madeireiras, resíduos de bactericidas e fungicidas utilizados na agricultura e do seu uso em etividades de garimpo.	=0,0002 mg/t (Hg)	-0,0002 mg/l (Hg)	-0,01 mg/l (Hg)	Sua toxicidade é maior sob a forma de metit- mercúrio, podendo causar danos Irreversíveis no cérebro devido à destruição dos tecidos neurais, lesões renais, tremores musculares, irritabilidade, distúrbios da fala, redução da memória, paratisação dos órgãos dos sentidos, riáuseas, perturbações do sono, diminuição da capacidade de concentração, vômitos, dores abdominais, diarréia, danos nos ossos e morte.

<u> </u>		CARACTERÍSTICAS DOS PRINCIPAIS PARÂMET	ROS ANALIS	ADOS	····	<u>=</u>
PARÂMETRO	CARACTERÍSTICAS GERAIS	ORIGEM NAS ÁGUAS E FATORES DE	LIMITES (D.N. n° 010/85-COMPAM)			INCONVENIENTES E TOXICIDADE
		ALTERAÇÃO	CLASSE 1	CLASSE 2	EFLUENTES	
Niquel	É um elemento utilizado na produção de várias ligas Maiores concentrações provêm de efluentes de como da prata chinesa, prata alemá, na fabricação fábricas de tintas e de processos de galvanoplastia. de moedas, magnetos, baterias de acumulação, etc.		=0,025 mg/l (Ni)	=0,025 mg/l (Ni)	-1,0 mg/l (Ni)	A ingestão de sais solúveis pode provocar náuseas, vômitos e diarréia.
Estanho	É um elemento utilizado em processos de galvanização, fabricação de ligas para soldas, manufatura de sais de estanho, etc. Em medicina é usado como anti-helmíntico e em furunculoses.	Em função de sua baixa solubilidade em água, menos de 100 µg/l, apenas traços eáo encontrados em águas naturais. Malores concentrações provêm de resíduos e efluentes industriais.	-2,0 mg/l (Sn)	=2,0 mg/l (Sn)	=4,0 mg/t (Sn)	
Arsênio	É um elemento tóxico, podendo inclusive exercer efeito carcinogênico. Apresenta efeito cumulativo no organismo.			0.2 mg/l (As)	A Ingestão de 100 mg/l pode resultar em severa intoxicação no homem. Concentrações da ordem de 130 mg/l podem ser letais. Pode causar câncer de pele e de figado.	
Coliformes totals e fecals	Esta classe abrange todos os bacilos gram negativos não esporulados, aeróbicos ou anaeróbicos facultativos que fermentam lactose.  Os microorganismos do gênero coliforme constituem-se os melhores indicadores da possível presença nas águas de material fecal de origem humana ou de animais de sangue quente e, conseqüentemente, de organismos patogénicos. Apresentam maior resistência que estes organismos, sendo encontrados em grandes quantidades nas fezes ou nos solos e plantas.	Ocorrem nas águas devido à contaminação com excrementos fecais de homens e animais de sangue quente.	200 coliformes tecais ou 1000 coliformes totais por 100 ml em 80% ou mais de pelo menos 5 amostras mensais	1000 coliformes fecais ou 5000 coliformes totais por 100 ml em 80% ou mals de peio menos 5 amostras mensais		A presença de coliformes nas águas por si só não representa problemas à saúde, indicando apenas a possível presença de tezes e, portanto, de outros organismos presentes nas fezes, transmissores de doenças como a febre tifóide e paralifóide, disenteria bacitar, cólera, hepatite, dentre outras.
Estreptococos fecals	São microorganismos existentes em grande quantidade em fezes de animais e em menores quantidades em fezes humanas. Assim sendo, sua avaliação, associada à de coliformes fecais, pode indicar a origem fecal animal ou humana.		-	-	-	São apenas indicadores da ocorrência de fezes de animais nas águas, não representando problemas por si só.
Dureza cálcio e magnésio	Dureza é a concentração de cátions multimetálicos em solução. Os cátions mais freqüentemente associados à dureza são oscátions divalentes Ca 2º e Mg 2º. Em condições de supersaturação, esses cátions reagem com ânions na água, formando precipitados.	cálcio e magnésio (ex. rochas calcáreas).  Origem antropogênica: despejos industriais.	-	•	•	Águas duras causam incrustações, produzem grande consumo de sabáo e dificultam o cozimento de alimentos.
Selēnio	Embora em baixas concentrações seja necessário ao metabolismo humano e de animais, em maiores teores toma-se tóxico. Sob o aspecto químico é semelhante ao enxofre.	Em geral está ausente ou é encontrado apenas como traços nas águas naturais. Entretanto, em regiões seleníferas, pode ocorrer nas águas superficiais em concentrações de até 2,5 mg/l devido à lixiviação de rochas e solos.	=0,01 mg/l (Se)	-0,01 mg/l (Se)	-0,02 mg/l (Se)	O consumo de águas com concentrações maiores de selênio pode causar intoxicação branda e o aumento da incidência de cários dentárias. Experiências em ratos têm mostrado que o selênio possul ação carcinogênica.

CARACTERÍSTICAS DOS PRINCIPAIS PARÂMETROS ANALISADOS								
PARÂMETRO	CARACTERÍSTICAS GERAIS	ORIGEM NAS ÁGUAS E FATORES DE	LIMITES (D.N. n° 010/86-COMPAM)			INCONVENIENTES E TOXICIDADE		
		ALTERAÇÃO	CLASSE 1	CLASSE 2	EFLUENTES			
lons Ca	A quase totalidade dos ions dissolvidos nas águas é constituída por estes ions, que serão os que	<ul> <li>Cálcio: na dissolução de rochas carbonáticas, feldspatos e outros silicatos cálcicos.</li> </ul>		-		Cáldo e Magnésio contribuem para a dureza e na produção de incrustações.		
Mn K SO,	determinarão os aspectos químicos e hidrogeoquí- micos das águas. Teores acima do "background" regional poderão indicar contaminação.	<ul> <li>Magnésio: também na dissolução de rochas carbonáticas, silicatos magnesianos e ferro- magnesianos.</li> </ul>	•	-		Sulfatos em quantidades elevadas são prejudiciais às plantas e à resistência do concreto. Pode provocar corrosão nas		
HCO, Na Carbonetos		<ul> <li>Potássio: na dissolução de rochas alcalinas e efluentes industriais, minerários e agrícolas. Raramente ocorrem em águas naturais.</li> </ul>		-		tubulações e efeito purgativo. Além disso, pode causar sabor amargo e odor devido à liberação do gás H <sub>2</sub> S.		
		<ul> <li>Sulfatos: na oxidação de sulfetos de metais pesados presentes nas rochas, efluentes sanitários e industriais, dissolução de gipso e na atmosfera.</li> </ul>	+250mg/l (SO4)	=250mg/l (SO4)	-	<ul> <li>Sódio é prejudicial às plantas ao reduzir a permeabilidade do solo, também criam problemas de espumas em caldelras.</li> </ul>		
		<ul> <li>Bicarbonatos: no CO2 atmosférico e no CO2 em solos ricos em matéria orgânica.</li> </ul>	-	•	-			
		<ul> <li>Sódio: na lixiviação de rochas ricas em feldspatos e efluentes urbanos e industriais.</li> </ul>	•		-	·		
Cor	Resulta da presença de sólidos totais nas suas diversas trações.	<ul> <li>Origem natural: decomposição da matéria orgânica (principalmente vegetais - ácidos húmicos e fútvicos) e presença de ferro e manganês.</li> <li>Origem antropogênica: resíduos industriais e esgotos domésticos.</li> </ul>	=30 mg Pt/l	=75 mg PtA	•	<ul> <li>Origem natural: não representa risco direto à saúde, mas consumidores podem questionar a sua confiabilidade, e buscar águas de maior risco. Além disso, a cloração da água contendo a matéria orgânica dissolvida responsável pala cor pode gerar produtos potendalmente cancerígenos.</li> <li>Origem industrial; pode ou não apresentar toxicidade.</li> </ul>		
Aluminio	Condições físico-químicas particulares favorecem ou não a solubilidade deste ion.	Alumínio é abundante nas rochas e minerais. O aumento de seu teor nas águas é decorrente do tançamento de efluentes (industriais, esgotos domésticos, resíduos industriais, de minerações e de produtos utilizados na agricultura bem como através de fontes minerais.	~0,10 mg/l (All)	-0,10 mg/l (Al)	٠	Não é considerado tóxico ou prejudicial à saúde, mas há interesse em se controlar a concentração nas águas de abastecimento público e industrial, para prevenir precipitações e sedimentações.		
Bário	A presença de metals em águas de abastecimento, águas residuárias domésticas e industriais, e em coleções de águas receptoras, é uma preocupação constante, dadas as propriedades tóxicas destes materiais. Eles afetam os consumidores, os sistemas de tralamento de águas residuárias e o sistema biológico de águas brutas.	O bário em geral ocorre nas águas naturais em concentrações muito balxas, de 0,7 a 900 μg/l. Quantidades elevadas são decorrentes de efluentes industrials e de residuos de minerações.	=1,0 mg/l (Ba)	-1,0 mg/l (Ba)	-5,0 mg/l (Ba)	A ingestão de bário pode causar desde o aumento transitório da pressão sangúlinea, por vasoconstrição, até sérios efeitos tóxicos sobre coração, vasos e nervos. Até hoje não se comprovou seu efeito cumulativo.		

Nas amostras foram encontradas concentrações de óleos e graxas na proporção de 0,1 mg/L.

A partir dos resultados das análises dos parâmetros amostrados, verifica-se que o córrego da Mata não se enquadra na classe 2.

**建筑** 

## 8.5.4.2 - Córrego Baritina

Neste córrego foram implantados dois pontos de amostragem. O primeiro, ARM02 em 19-11-97, está localizado a montante da confluência com o córrego da Mata e o segundo, ARL03 em 19-11-97, está situado no curso médio a montante da barragem de gabião B5 (figura 15).

Os valores de dureza total, entre 63,03 a 73,44 mg/L, são característicos de águas brandas. As amostras apresentaram pH variando entre 7,42 e 7,56, indicando, portanto, águas básicas. A alcalinidade apresentou-se muito fraca, entre 45 e 48 mg/L. A condutividade elétrica, variando de 155,8 a 203 µmhos/cm nos dois pontos de amostragem, indicam águas de salinidade baixa a média. Quanto à turbidez, os índices obtidos em todas as amostras, de até 10,0 NTU, foram baixos, mantendo-se, portanto, dentro dos limites estabelecidos.

Os teores de oxigênio dissolvido mantiveram-se acima do limite mínimo estabelecido em todas as amostras (OD variando entre 6,70 e 7,15 mg/L). A DBO manteve-se baixa, variando entre 0,96 e 1,00 mg/L.

Pequena contaminação orgânica foi detectada a partir dos índices de nitrogênio amoniacal encontrados, bem como das análises bacteriológicas. Estas registram a presença de coliformes totais e fecais dentro do permitido, com exceção do ponto ARL03, que apresentou uma concentração elevada de coliformes fecais, em torno de 1600 NMP/100ml. Contudo no ponto ARM02, o número de coliformes fecais (300 NMP/100ml), quando comparado com o número de estreptococos (1600 NMP/100ml), sugere que a matéria orgânica presente pode ser predominantemente originária de excrementos de animais.

No ponto ARL03, verificou-se a presença de uma concentração elevada de alumínio (0,229 mg/L), bem acima do limite estabelecido para a classe 2.

Acredita-se que as altas concentrações de fosfatos totais em P nas duas amostras, variando entre 0,21 e 0,27 mg/L, devem-se às características geológicas da região.

As concentrações de bário estão bem acima dos limites estabelecidos para a classe, em torno de 1,981 a 2,314 mg/L. Foram detectadas elevadas concentrações de sulfetos (entre 0,06 a 0,09 mg/L), sendo que o sulfeto não dissociado (entre 0,012 e 0,024 mg/L) excedeu os limites estabelecidos para a classe 2. Estas alterações, como no córrego da Mata, são decorrentes das condições para e classe e/ou de efluentes industriais e de resíduos do processo de beneficiamento do minério de nióbio.

No ponto ARL03, foram encontrados óleos e graxas numa concentração de 0,3 mg/L e, no ponto ARM02, fenóis com concentração de 0,001 mg/L.

# 8.5.4.3 - Lago da Fonte Andrade Júnior

Neste lago foi coletada somente uma amostra no ponto ARL04 em 18-11-97 (figura 15). As águas apresentaram-se moles (dureza de 11,06 mg/L), com o índice de turbidez aceitável (80 NTU), com pH acentuadamente básico (em torno de 10,4) e alcalinidade extremamente forte (2015 mg/L). Os valores de condutividade elétrica (4120 µmhos/cm) e a concentração de sólidos dissolvidos (2380 mg/L) apresentaram-se extremamente elevados.

A elevada taxa de DBO (60,4 mg/L) e nitrogênio amoniacal (12,6 mg/L) apresentada nos resultados das análises das amostras indicam a ocorrência de matéria orgânica em grande concentração. Foi verificada a presença da amônia não-ionizável (14,39 mg/L) muito acima dos limites estabe-

lecidos para a Classe 2. Estas alterações ocorrem possivelmente devido ao processo de maturação da lama de Araxá que ocorre dentro desta lagoa.

Verificou-se também que as concentrações de fosfatos totais em P (0,27 mg/L) e de alumínio (6,906 mg/L) estão bem acima dos limites estabelecidos.

Quanto às análises bacteriológicas, os valores registrados estão dentro do permitido, com o número de coliformes fecais de 230 NMP/ml e de coliformes totais em tomo de 2100 NMP/100ml. O número de estreptococos fecais foi bastante reduzido, na ordem de 20 NMP/L.

Foram encontrados óleos e graxas na concentração de 0,2 mg/L.

Obs.: durante os dias da campanha, a fonte estava seca, com o nível d'água bem abaixo do normal. Acredita-se que esta situação possa ter distorcido os resultados de alguns parâmetros.

# 8.5.4.4 - Lago Superior

Neste lago foi coletada somente uma amostra no ponto ARL05 (figura 15). As águas apresentaram-se moderadamente duras (dureza de 132,09 mg/L), com o índice de turbidez baixo (4 NTU), com pH básico (em torno de 8,47) e alcalinidade fraca (81 mg/L). A condutividade elétrica (308 µmhos/cm) indicou que as águas têm salinidade baixa a média.

Os teores de oxigênio dissolvido (8,1 mg/L) mantiveram-se acima do limite mínimo estabelecido. A DBO excedeu o permitido, apresentando uma concentração de 6,94 mg/L. Uma pequena contaminação orgânica foi detectada a partir dos valores encontrados nos parâmetros nitrogênio amoniacal (0,39 mg/L) e orgânico (0,23 mg/L). Foi constatada a presença da amônia não-ionizável (0,07 mg/L) acima dos limites estabelecidos para a classe 2. Quanto às análises bacteriológicas, o número de coliformes totais (70NMP/100ml) e de coliformes fecais (13 NMP/100ml) foi baixo, mantendo-se, portanto, dentro dos limites.

Nestas análises, verificou-se, também, que as concentrações de fosfatos totais em P (0,12 mg/L) e bário (2,232 mg/L) estão bem acima dos limites estabelecidos para a Classe 2. Detectou-se na amostra a presença de óleos e graxa na concentração de 0,1 mg/L.

# 8.5.4.5 - Córrego da Cascatinha

Nesse córrego foram implantados três pontos de amostragem, ARM06 (jusante da barragem "E"), ARL07 (barragem "F") e ARM08 (dentro da mata da Cascatinha), em 18/11/97 (figura 15).

Os três pontos de amostragem apresentaram o pH com valores variando de 7,72 a 9,73 (águas básicas), índices de turbidez baixos (variando de 3 a 20 NTU) e alcalinidade fraca (entre 20,5 e 62,5). Os valores de condutividade elétrica (49,2 a 123,8 µmhos/cm) indicam uma baixa concentração de sais dissolvidos. As concentrações de fosfatos totais em P (0,10 a 0,23 mg/L) e alumínio (0,129 a 0,389 mg/L) encontram-se acima dos limites estabelecidos para classe 2.

No ponto ARM08, as águas apresentaram-se moles (dureza muito baixa, de 21,28 mg/L), sendo que nos pontos mais a jusante (ARM06 e ARL07), estas tomaram-se levemente duras (variando de 60,97 a 62,17).

Nas amostras ARM06 e ARL07, detectou-se a presença de concentrações nitrogênio amoniacal (0,36 a 0,48 mg/L) e nitrogênio orgânico (0,22 a 0,57 mg/L), indicando uma provável contaminação de matéria orgânica recente. Verificou-se, também, a presença da amônia não-ionizável (entre 0,03 a 0,44 mg/L), que está bem acima do limite permitido.

Todos os pontos apresentaram bons índices de oxigenação (7,1 a 11,7 mh/L) e baixa DBO (2,10 a 2,27 mg/L). Somente o ponto ARL07 apresentou o valor da DBO (7,04 mg/L) acima dos limites estabelecidos.

Quanto à análise bacteriológica, a amostra ARM08 apresentou um número elevado de coliformes totais (9000 NMP/100ml) e coliformes fecais (2800 NMP/100ml), excedendo em muito os limites admissíveis. O significativo número de estreptococos fecais (1300NMP/100ml) encontrado nesta amostra é um fator indicativo de contaminação orgânica de origem animal. Nos demais pontos, os números de coliformes totais e fecais encontraram-se dentro dos limites aceitáveis e com o número de estreptococos fecais variando entre 50 e 220 NMP/100ml.

Quanto à presença de metais pesados, verificou-se, em todas as amostras, a concentração de alumínio (entre 0,129 e 0,389 mg/L) acima dos valores estabelecidos para a classe 2. Também foram encontradas concentrações significativas de fosfatos totais em P, variando entre 0,10 e 0,23 mg/L. Acredita-se que esta alta taxa de fosfato se deve às características geológicas da região.

Concentrações de sulfetos estavam presentes em todas as amostras. Entretanto, verificou-se que, no ponto ARM08, os valores de sulfeto não dissociado excederam os limites estabelecidos para a classe.

Nas amostras ARL07 e ARM08, detectaram-se fenóis na concentração de 0,001 mg/L e, na amostra ARM06, óleos e graxas na proporção 0,30 mg/L.

#### 8.5.4.6 - Lago Inferior

Neste lago foi coletada somente uma amostra no ponto ARL09, em 18-11-97 (figura 15). As águas apresentaram-se moderadamente duras (dureza de 119,38 mg/L), com baixo índice de turbidez (4 NTU), com pH próximo da neutralidade (7,56), alcalinidade fraca (71 mg/L) e condutividade elétrica de 369 µmhos/cm.

O teor de oxigênio dissolvido manteve-se acima do limite mínimo estabelecido na amostra coletada. A DBO excedeu o permitido, com a concentração de 6,1 mg/L. Nitrogênio amoniacal e orgânico foram encontrados nas proporções 0,66 e 0,22 mg/L, respectivamente. A concentração de amônia não-ionizável está dentro do limite aceitável (0,01 mg/L).

Quanto às análises bacteriológicas, o número de coliformes totais e fecais (900 NMP/100ml) estão dentro dos limites estabelecidos para a classe 2. Contudo, nessa campanha, o número de estreptococos fecais, da ordem de 1.600 NMP/100ml, e, portanto, superior ao número de coliformes fecais, sugere que há uma contaminação fecal com origem de excrementos de animais.

Foram detectadas concentrações elevadas de fosfatos em P (0,26 mg/L), alumínio (0,132 mg/L) e bário (2,021 mg/L).

Detectou-se a presença de sulfetos com a concentração de 0,04 mg/L, sendo que o valor do sulfeto não dissociado (0,008 mg/L) excedeu os limites estabelecidos.

Óleos e graxas foram encontrados nas amostras na proporção de 0,2 mg/L.

#### 8.5.5 - Conclusões

Os resultados das análises, quando comparados com os padrões definidos pela Deliberação Normativa nº 010/86 - COPAM, indicam que todos os cursos d'água que drenam a região do Barreiro de Araxá não têm atendido aos padrões definidos para a classe 2. Teores significativos de fósforo total foram encontrados em todas as análises, podendo estar associados à litologia local, uma vez que foram também detectados nas amostras de água subterrânea.

As situações mais críticas de poluição foram verificadas nas bacias dos córregos da Mata e Baritina, em decorrência de concentrações significativas de bário e sulfetos não dissociados, possivelmente oriundos de resíduos industriais e de mineração.

O córrego Cascatinha, que sofre diretamente as interferências devido às atividades de extração de fosfato, também apresentou alterações significativas nas concentrações de alguns parâmetros. Cabe destacar que, em todas as amostras, detectou-se a presença de elevadas concentrações de alumínio.

Em quase todos os pontos amostrados verificou-se a ocorrência de contaminação proveniente de material orgânico. Nas situações em que não foi constatada a incidência de fontes potenciais de contaminação, estas podem ter sido originadas por processos naturais, tais como a incidência de folhas, raízes de plantas e organismos mortos, ou mesmo da presença de fezes de animais de criação extensiva. Apesar de que os índices de DBO e nitrogênio amoniacal detectados nas amostras, em alguns casos, tenham apresentado valores pouco acima dos padrões estabelecidos, não caracterizaram necessariamente a contaminação por esgotos domésticos.

# 8.6 - Considerações Finais e Recomendações

Em função da total ausência de dados hidrométricos dos córregos que drenam o Barreiro de Araxá, é necessário que se opere uma rede hidrométrica nesta região. Para isso, é aconselhável que não só se mantenham as estações fluviométricas já instaladas pela CPRM, mas que novas estações sejam implantadas no alto e médio curso dos córregos.

É necessário que se prossigam as campanhas de medição de vazões, já iniciadas no correr deste trabalho. Recomenda-se que sejam feitas, pelo menos, a cada dois meses.

Cabe ressaltar que a operação desta rede constitui uma tarefa de longo prazo, pois, para que as medidas das variáveis – no caso, cota e vazão – possam produzir resultados, em geral necessitase de, pelo menos, dez anos de observação.

A operação desta rede, além de fornecer dados sobre o regime hídrico da sub-bacia do Barreiro, certamente subsidiará o levantamento da disponibilidade hídrica daqueles cursos d'água, os quais vêm sofrendo profundas alterações devido às atividades mineradoras. O conhecimento das disponibilidades hídricas evitará futuros conflitos de uso e problemas de escassez de água.

Seria também oportuno a manutenção de uma rede mínima para o monitoramento da qualidade das águas dos lagos e córregos que drenam a região do Barreiro, já que vêm apresentando significativas alterações nos parâmetros de qualidade das águas, bem como concentrações de metais pesados acima dos limites estabelecidos pela legislação vigente. Recomenda-se que a operação desta rede seja de periodicidade trimestral.

## Capítulo 9

#### Hidrogeologia

#### 9.1 - Objetivos específicos

A região apresenta peculiaridades geológicas, principalmente quanto à presença de rochas carbonatíticas, e de intervenções antrópicas decorrentes da ocupação urbana desordenada, mineração de fosfato e mineração e beneficiamento de nióbio, que repercutem no modelo hidrogeológico e na composição química das águas locais. Vários estudos, fundamentados no monitoramento piezométrico e químico realizado desde 1982 pelas empresas mineradoras, procuram discernir e amenizar as conseqüências causadas pelas suas atividades.

Este estudo procurará descrever os principais impactos causados nas águas pelas atividades antrópicas atualmente desenvolvidas, as atitudes tomadas e a eficácia das medidas mitigadoras. Para tanto, foi realizada uma avaliação das condições anteriores e posteriores à implantação das atividades mineradoras e industriais, a partir de dados históricos, dados do monitoramento físico-químico e piezométrico realizado pelas mineradoras e dos dados levantados no campo durante este estudo. Também, foi realizado um levantamento das captações e da qualidade atual das águas minerais e, ainda, das possíveis repercussões que as minerações possam ter nas águas subterrâneas em explotação.

#### 9.2 - Metodologia

As atividades desenvolvidas para a execução do estudo realizaram-se durante o segundo semestre de 1997. Tiveram início com a consulta aos arquivos do DNPM e FEAM para a localização de dados e estudos referentes às águas minerais e ao monitoramento hidrogeológico da Arafértil e CBMM, sob responsabilidade técnica da ECOS Consultoria desde 1982. A fase posterior consistiu no levantamento de dados em campo e junto aos Departamentos Ambientais das mineradoras para complementar e atualizar dados do monitoramento químico e piezométrico. Durante a fase de campo, inspecionou-se a maioria dos poços de monitoramento, de sangria, de infiltração e, também, dos poços particulares para abastecimento doméstico e fontes hidrominerais. Concomitantemente, mediram-se os níveis, condutividades elétricas, pHs, temperaturas e vazões, quando possível.

A localização dos poços de monitoramento, de infiltração e bombeamento foi obtida das próprias empresas mineradoras através de mapas planialtimétricos na escala 1:5.000. Todos os pontos levantados, inclusive os poços desativados, encontram-se plotados no mapa hidrogeológico, escala 1:10.000.

Além dos poços de abastecimento doméstico (4) e dos poços e fontes de água mineral (6), em funcionamento, foram selecionados 9 poços de monitoramento (piezômetros) e 2 poços de sangria (utilizados no rebaixamento do lençol e esgotamento da pluma contaminante) para a coleta de amostras para análises fisico-químicas e microbiológicas. Os parâmetros escolhidos para análise variaram de acordo com a natureza do ponto, sendo que as análises completas foram realizadas nos poços e fontes de água mineral. Foram os seguintes os parâmetros analisados em laboratório: cor, turbidez, resíduo seco, dureza de não-carbonatos, dureza de carbonatos, dureza total, bicarbonatos, carbonatos, cloretos, sulfatos, nitritos, nitratos, cálcio, magnésio, potássio, sódio, manganês, ferro total, alumínio, arsênio, bário, cádmio, chumbo, cobre, cromo total, fluoreto, fosfato total, lítio, níquel, sílica, zinco, selênio, fenóis, nitrogênio amoniacal e orgânico, coliformes totais e fecais, estreptococos fecais, pseudomonas e bactérias heterotróficas.

As amostras foram coletadas por técnicos da CPRM, seguindo normas da CETESB, e enviadas dentro dos prazos de análise para os laboratórios em Belo Horizonte. As análises físico-químicas

foram feitas no laboratório de Sedimentometria e Qualidade das Águas da CPRM (SECLAB-SUREG/BH) e as análises microbiológicas nos laboratórios da LIMNOS, Biológica e SANEAR.

A etapa final consistiu na sistematização dos dados levantados através de tabelas e gráficos, figuras, elaboração de mapas de ocorrência e vulnerabilidade natural dos aquiferos e elaboração do relatório final.

Para o desenvolvimento do trabalho, foram utilizadas as bases planialtimétricas da CBMM escala 1:5.000, fotografias aéreas escala 1:20.000 pertencentes à CBMM/Arafértil (1984), mapa de pontos d'água da ECOS, dados do monitoramento químico e piezométrico executado pela CBMM nos anos de 1988 a 1997, dados do monitoramento químico e piezométrico da Arafértil dos anos de 1982 a 1997, análises físico-químicas e bacteriológicas realizadas pela CPRM em 1997 e dados dos poços perfurados durante o projeto PRÓ-ARAXÁ pela T. Janer, de São Paulo, e Aquaterra, de Belo Horizonte. Quanto aos equipamentos de campo, utilizaram-se: medidor de nível (Altronic), GPS (Garmin 45), condutivímetro e pH-metro portáteis (WTW), vasilhames calibrados para medições de vazão, coletores de água para piezômetros em PVC 2" e vasilhames diversos, esterilizados e próprios para armazenamento de amostras.

### 9.3 - Cadastros de Pontos D'Água

O cadastramento de pontos d'água, a partir dos dados fornecidos pelas empresas mineradoras e levantamento de campo, identificou 131 pontos, entre poços de abastecimento doméstico, de sangria do enclave contaminado, de infiltração de solução neutralizante, de piezômetros de monitoramento químico e níveis piezométricos (alguns de níveis múltiplos), de poços de extração de água mineral e nascentes. O Catálogo Geral de Pontos D'Água, anexo, apresenta um resumo dos dados levantados, onde se encontram as profundidades, os níveis estáticos e dinâmicos, as cotas, vazões e a localização por coordenadas UTM.

O quadro 7 relaciona a natureza dos pontos levantados e os responsáveis pela manutenção e monitoramento. O total de poços inclui os desativados por problemas diversos como obstrução das entradas d'água, perda de eficiência de infiltração, alteração da qualidade, vazões insuficientes, obstrução por lançamento de objetos diversos por transeuntes, avanço de lavra, etc.

Natureza do Ponto	СВММ	Arafértil	COMIG/ Superágua	Outros	Total	
Poço de Abastecimento	01 (01)	02 (02)	01 (0)	03 (02)	07 (05)	
Poço de Sangria	10 (04)				10 (04)	
Poço de Monitoramento	52 (43)	31 (15)			83 (68)	
Poço de Infiltração	25 (17)				25 (17)	
Poço de Água Mineral			04 (03)		04 (03)	
Nascentes		01	01		02	
Total	88 (65)	34 (17)	06 (03)	03 (02)	131 (87)	

() Poços em funcionamento

Quadro 7: Cadastramento de pontos d'água do Barreiro

Desde 1982 foram perfurados 121 poços pela CBMM e Arafértil com diversas finalidades, resultantes do convênio PRÓ-ARAXÁ. A grande quantidade de poços em uma pequena área deve-se às exigências dos órgãos ambientais estaduais, de que as próprias empresas avaliassem e remediassem os impactos ambientais causados pelas suas atividades mineradoras e industriais. A maioria foi ou é utilizada no monitoramento e na neutralização do enclave contaminado por cloreto de bário, na área da Barragem B4 e do córrego da Mata. O restante destina-se ao monitoramento do rebaixamento da mina de fosfato.

Os poços de monitoramento e infiltração (108) são revestidos de PVC de 2,5 e 3,0" (6,35 e 7,62 mm, respectivamente), com profundidade máxima de 125,7 m e média de 70,6 m. Alguns são do tipo multiníveis (39 poços), onde as entradas d'água se encontram em diferentes profundidades e isoladas umas das outras. As entradas d'água são seções serrilhadas revestidas de tela, posicionadas nos últimos três metros do revestimento.

Localmente, os poços multiníveis encontram-se identificados por um código próprio de coordenadas e uma letra referente à profundidade, sendo "A" referente à entrada d'água mais profunda e "D" à mais rasa.

A manutenção e a limpeza dos poços de monitoramento são feitas periodicamente somente nos poços pertencentes à CBMM. Para a limpeza, esgota-se o volume dentro da coluna de revestimento por meio de "caçambadas", utilizando-se os próprios coletores de água. Dessa maneira, renova-se a água a ser analisada e, sobretudo, retiram-se as impurezas que se acumulam na base da coluna e que obstruem as entradas d'água.

O poços de sangria totalizam dez, sendo que atualmente somente quatro estão em funcionamento: dois na barragem B4 (foto 23), um na barragem "D" e um no córrego da Mata. São poços de 8" (200 mm), revestidos de aço e com a profundidade média de 135,0 metros (poços da barragem B4).

Todos os poços de monitoramento, infiltração e sangria foram perfurados no manto de intemperismo do Complexo Carbonatítico.

Durante o cadastramento, identificaram-se cerca de 39 poços desativados por motivos diversos e que se encontram abandonados sem terem sido adequadamente cimentados, de maneira a prevenir-se dos riscos de contaminação ao aqüífero. O risco reside no fato de que um poço abandonado é um conduto direto entre a superfície e a zona saturada do aqüífero.

Dos poços de abastecimento, de um total de sete, cinco estão em funcionamento. Dois poços, atualmente mantidos pela Arafértil, são responsáveis pelo abastecimento do Grande Hotel, das Termas e da população local, incluindo o uso em pequenas irrigações e dessedentação animal. Um poço abastece exclusivamente o Hotel da Previdência (profundidade de 65 m), outro atende ao consumo humano e doméstico da CBMM, e o último abastece esporadicamente a sede da AABB (profundidade de 65 m e n.e. 10,9 m). As vazões de teste e de uso não foram levantadas por falta de dados de perfuração e de condições de medição "in loco".

Os poços de extração de água mineral, atualmente, são quatro. Um é o da fonte Sulfurosa ou Andrade Júnior, situado em frente ao Grande Hotel, que atende às termas e bebedouros de uso público. Os outros três encontram-se no anel verde e são de uso da unidade engarrafadora e, também, atendem aos bebedouros da fonte Beja. A captação da fonte Andrade Júnior é tratada com mais detalhe no item 9.3.2.

Os poços do sistema Beja (01, 02 e 03) são utilizados pela engarrafadora de água mineral, atualmente a SUPERÁGUA (foto 26). São revestidos de aço inox de 6" (152 mm), com profundidade máxima de 55,0 m (média de 42,2 m) e vazões específicas médias de 7,49 m³/h/m.

Atualmente, a água utilizada no engarrafamento é a do poço Beja 03, em substituição ao Beja 02, que apresentou alterações na qualidade da água por microorganismos em meados de 1997, provavelmente decorrentes do processo de limpeza e desenvolvimento a que foi submetido em fevereiro do mesmo ano. A vazão atual do poço é de 10 m³/h, funcionando de 6 a 8 horas/dia.

A água do poço Beja 03 era utilizada somente no processo de limpeza da engarrafadora, juntamente com o poço Beja 01. Todavia, atualmente está sendo engarrafada, até a perfuração de outro poço. A água também é aduzida até o fontanário da fonte Beja, onde é distribuída ao público através de torneiras.

A fonte Beja é uma nascente com cerca de 45 m³/h, captada no próprio local onde foi construído o fontanário, e utilizada essencialmente nos banhos das termas. O item 9.3.1 trata mais sobre o sistema de captação desta fonte.

Outra nascente considerada é a do córrego Cascatinha, que aflora na porção sul da área, em uma região pantanosa. Próximo à nascente, apresenta um volume reduzido de aproximadamente 0,10 m³/h (foto 15). O sistema de drenagem desta bacia é tratado com detalhe no capítulo 8.4.1, de Hidrologia.

#### 9.3.1 - Fonte Dona Beja

A fonte D. Beja situa-se no Parque das Águas, ao sul do Grande Hotel, na margem do Lago Superior (foto 18). A fonte encontra-se no próprio fontanário e foi captada na época da construção das termas, no início da década de 40. É uma água do tipo oligomineral, radioativa - 146,5 unidades Mache (Mourão, 1990, p458), fria (temperatura de 22,7 °C) e resíduo seco de 112,0 mg/l.

A fonte resulta da interseção natural do lençol freático com a topografia. Condições morfológicas do substrato direcionam parte do fluxo subterrâneo para o ponto onde está construída a captação, transformando água subterrânea em água superficial com um volume variável em torno de 45 m³/h (medido pela CPRM em set/97). O restante do escoamento subterrâneo alimenta o Lago Superior (ou do Grande Hotel) e Lago Inferior (ou do Barreiro).

O reservatório da fonte encontra-se sob o pavimento do fontanário e a nascente na base da cascata artificial mantida com água do sistema de poços de abastecimento do Barreiro (fotos 19 e 20). A figura 19 ilustra o sistema de captação da fonte Beja elaborado pela ECOS Consultoria para a medição da vazão, quando teve início o monitoramento da fonte, em 1984.

A água da fonte é proveniente da infiltração de águas pluviais nos terrenos a montante, primordialmente na área da cava da mina da Arafértil e anel verde (figura 23 e foto 22). Possivelmente, parte da recarga é exercida pelas barragens "F", "E", "A" e, recentemente, "G", situadas no anel verde.

As barragens "F", "E" e "A" (fotos 5 e 6) foram construídas no início da década de 80 para acumularem a água do rebaixamento da mina, recarregando o aqüífero e mantendo o nível freático a jusante, conservando, assim, a vazão da fonte D. Beja.

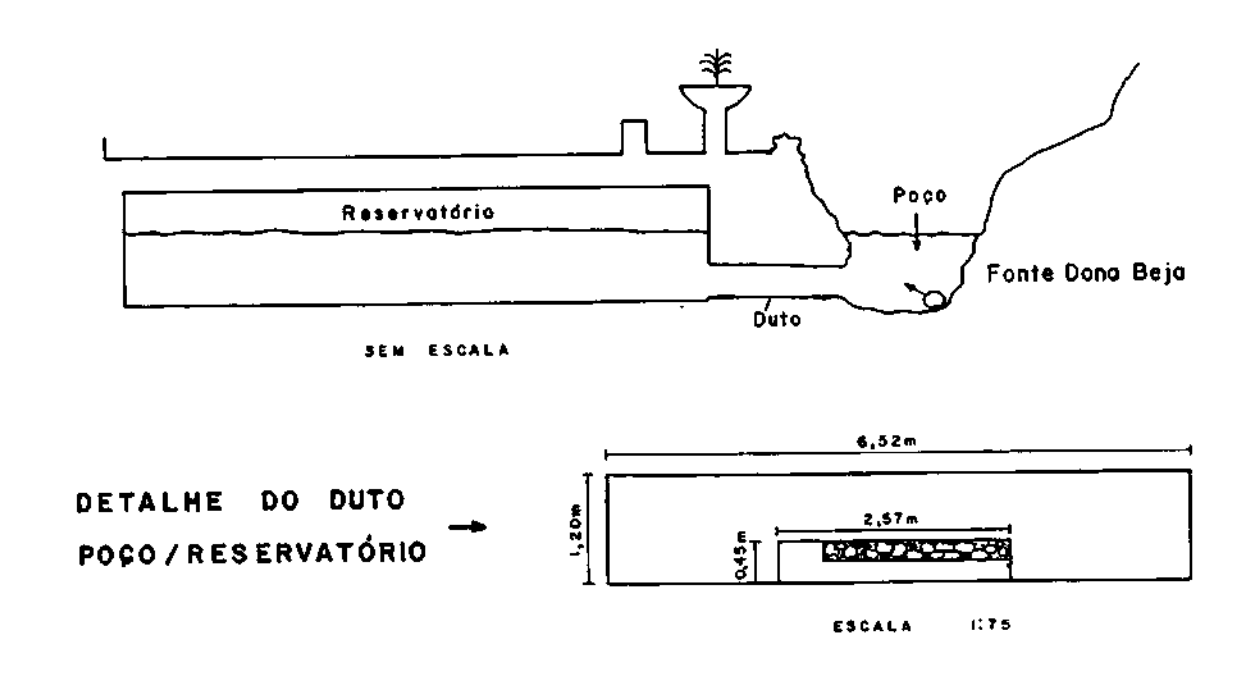
A construção das barragens atingiu os objetivos previstos, mantendo os níveis freáticos a jusante da mina e, principalmente, regulando a recarga da fonte, antes diretamente relacionada com a infiltração pluvial. As obras proporcionaram, inclusive, vazões de descarga acima do nível histórico de 50 m³/h, anterior a 1945 (Magalhães, 1945, p17), como revelam os dados do monitoramento (figura 20).

A vazão medida por técnicos da CPRM em setembro de 1997 (45 m3/h) mostrou valor diferente da medida executada pela Arafértil em 18-09-97 (59,72 m³/h). Esta diferença pode ser decorrente das metodologias adotadas para a medição.

Para a execução da medida efetuada pela CPRM, esvaziou-se o reservatório, abrindo-se os registros das duchas e fechando-se o registro de entrada d'água do sistema de abastecimento do Barreiro que escoa na cascata dentro do fontanário. Após um período de 24 h, efetuaram-se as medidas em uma derivação do sistema de adução às termas (foto 21), fechando-se as saídas para as termas e duchas. Utilizou-se o mesmo tambor de 200 litros normalmente usado e, após 5 medidas, definiu-se o valor médio.

A água da fonte Beja é aduzida até as termas por gravidade, onde é utilizada nos banhos. Uma outra derivação é para as duchas existentes no nível inferior e à frente do fontanário.

## PERFIL DO CONJUNTO DE CAPTAÇÃO



## DETALHE DO RESERVATÓRIO

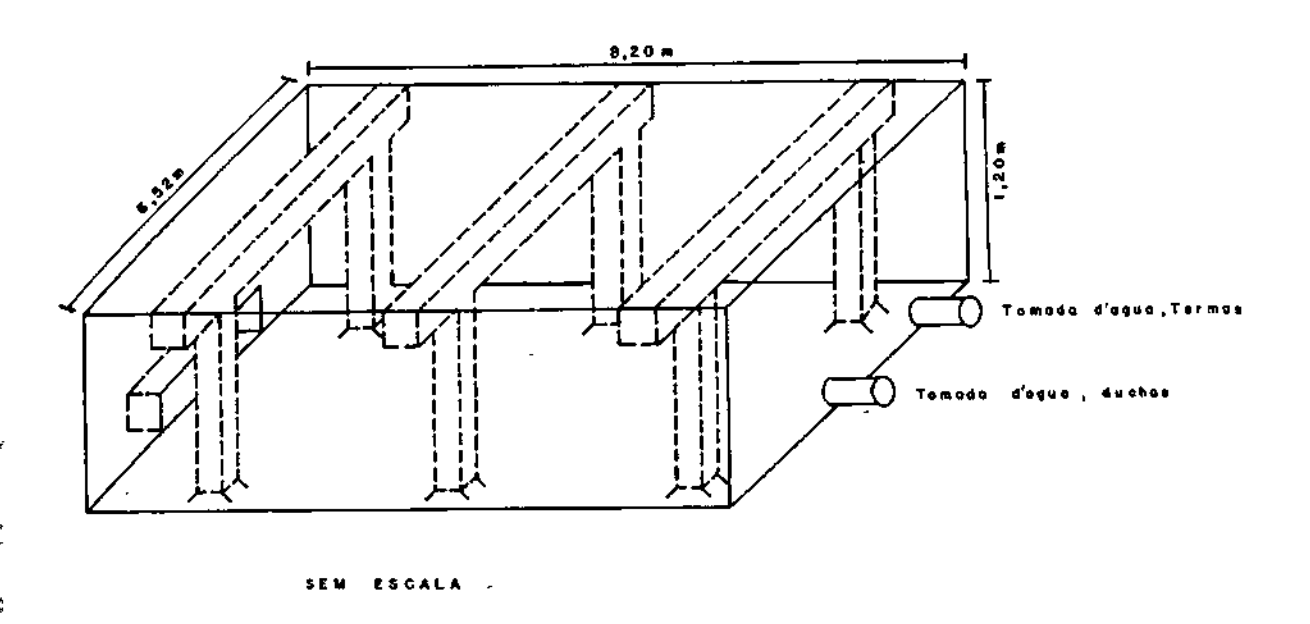


Figura 19 - Sistema de Captação da Fonte D. Beja (Adaptado de Pratini, 1984).

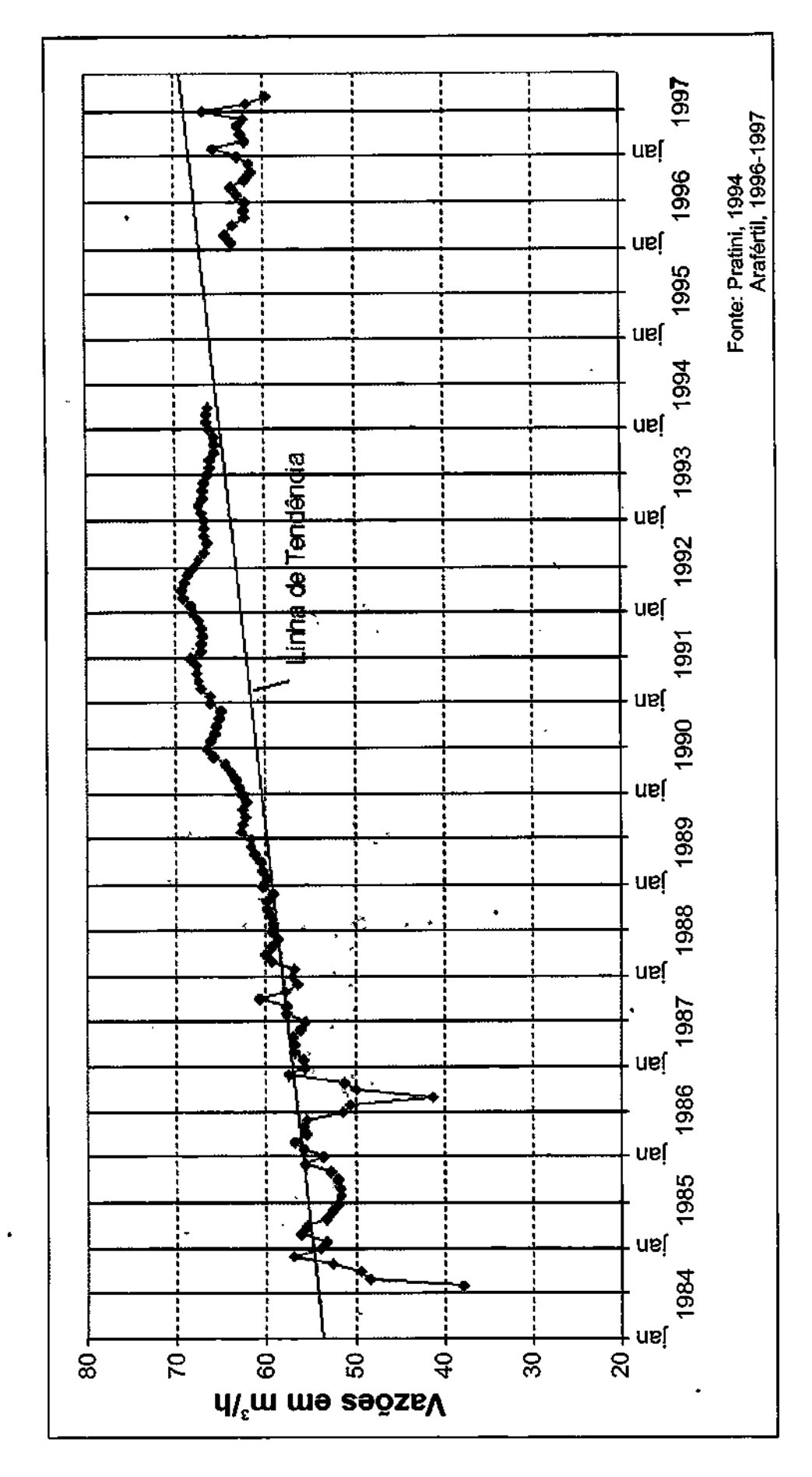


Figura 20 - Vazões da fonte D. Beja (1984-1997).

Atualmente, a água disponível nas torneiras do fontanário, utilizada pelos visitantes e pela população local, é proveniente do poço Beja 03 da SUPERÁGUA, a mesma que está sendo engarrafada. Anteriormente, utilizava-se a água do poço Beja 02, desativado no segundo semestre de 1997 por problemas com a qualidade da água. A água passa por um filtro de celulose do sistema de engarrafamento, antes de ser distribuída ao público.

As águas excedentes do reservatório, das torneiras de uso público, das utilizadas na limpeza do fontanário e dos banhos das duchas são lançadas diretamente no Lago Superior.

## 9.3.2 - Fonte Andrade Júnior

A fonte Andrade Júnior ou Sulfurosa situa-se em frente ao Grande Hotel, no lago onde se faz a maturação da lama medicinal com água sulfurosa (foto 4). A fonte encontra-se no próprio fontanário, atrás do salão das torneiras de uso público. A água é do tipo alcalino sulfurosa, mesotermal (29,1 °C), radioativa - 44 unidades Mache (Mourão, 1990, p458) e resíduo seco de 3.818,0 mg/l.

A primeira captação foi realizada em 1928 por Andrade Júnior e Carvalho Lopes, que, após estudos detalhados, executaram um furo de sondagem em "uma rocha duríssima de quartzito injetado pela eruptiva anfibolítica" com 33,94 metros de profundidade e uma vazão espontânea de 3,60 m³/h. Um segundo furo, locado a poucos metros do primeiro, apresentou uma vazão espontânea de 1,21 m³/h. Estas novas captações elevaram as vazões, a termalidade e a salinidade das águas (Magalhães, 1945).

Durante o levantamento de campo, identificaram-se duas captações rasas dentro do lago, revestidas de manilhas (o revestimento original poderá estar encoberto), denominadas de Paulo Cherulli (foto 04) e Carvalho Lopes, e somente um poço tubular jorrante situado na sala de máquinas e reservatório, atrás do salão das torneiras de uso público (foto 27).

O poço encontra-se lacrado por um tampão de aço soldado, é revestido de aço de 8" e tem profundidade de 54,0 metros (informação local). Apresenta 5 tomadas d'água na sua coluna de revestimento, que se conectam com o reservatório de 335 m³, de onde a água é bombeada através de bombas helicoidais para as termas e torneiras de uso público. A figura 21 ilustra, de forma esquemática, o sistema de captação e distribuição da fonte Andrade Júnior.

A água é utilizada em banhos, nas termas, e ingerida pelo público, nos bebedouros do fontanário. O excedente do reservatório e dos bebedouros é lançado no lago adjacente, para a maturação da lama medicinal utilizada nos banhos das termas.

A lama é uma argila orgânica extraída de um depósito aluvionar situado na saída norte de Araxá, e deixada em repouso dentro do lago até atingir o estado de maturação, quando, então, é tratada para o uso nos banhos.

A água sulfurosa tem um horizonte de percolação profundo, como indica a temperatura de 32,4 °C determinada na fonte Paulo Cherulli e 29,1 °C na fonte Andrade Júnior (provavelmente a temperatura original é maior, uma vez que a água amostrada foi proveniente do reservatório).

A temperatura, neste caso, está associada ao gradiente geotérmico, que cresce cerca de 1 °C a cada 30 m em profundidade (Custódio, 1982 p1069). Como a temperatura média das águas subterrâneas locais situa-se em torno de 23 °C, as águas percolam a uma profundidade acima de 200 metros.

A percolação de água em profundidade adquire a temperatura ambiente e, durante o seu trajeto de ascensão, poderão ocorrer perdas caloríficas acrescidas de misturas com águas de recarga mais próximas da superfície e mais frias. Portanto, a profundidade de percolação das águas sulfurosas poderá ser maior ainda do que os 200 metros inicialmente estimados.

Segundo observações feitas pelos estudos de Andrade Júnior, em 1928, e J. H. Grossi, em 1970, no local onde se encontra o lago de maturação da lama, e próximo à fonte, ocorre um afloramento de "uma brecha de quartzito do anel, venulado por diques, soleiras e veios de carbonatito de grão grosseiro" (Grossi, 1970, p15). O atual poço da captação, provavelmente, foi perfurado nesta rocha, mesmo que não seja o construído e descrito por Andrade Júnior em Magalhães (1945, p15).

Possivelmente, a água é proveniente do aqüífero fraturado na rocha carbonatítica. A área de recarga estaria no solo residual do Complexo Carbonatito (aqüífero Barreiro), a montante do Parque das Águas. As águas infiltrantes atingiriam fraturas profundas, em direção ao contato com a rocha quartzítica encaixante, por onde alcançaria a superfície, após solubilizar os minerais sódicos presentes na zona de contato.

Uma outra hipótese, sugerida pela composição química da água (excessivamente rica em sódio e extremamente deficiente em cálcio), seria de que a água, ao invés de atravessar os terrenos do Complexo Carbonatítico, percolasse através das fraturas nos quartzitos fenitizados e intensamente fraturados, preenchidos por minerais sódicos e sulfetos. A percolação poderia dar-se em profundidade, uma vez que o quartzito, nas proximidades da fonte, apresenta espessuras de até 500 metros. Atingindo a zona de contato com as rochas do Complexo Carbonatítico, o escoamento se daria por esta zona, também rica em fenitos, até aflorar em superfície, justamente no contato superficial entre estas duas unidades litológicas, que é bastante próximo de onde se encontra a fonte (figura 22).

## 9.4 - Unidades Aqüíferas

Os aquíferos são do tipo intergranular, livres e semiconfinados no manto de intemperismo das rochas do Complexo Carbonatítico e das rochas encaixantes (quartzitos e xistos), e fraturado livre a confinado nos quartzitos, xistos e nas rochas carbonatíticas frescas.

## 9.4.1 - Aquífero Intergranular (Barreiro)

O aquífero intergranular, ou do Barreiro, predomina em toda a área de estudo, principalmente na área do corpo carbonatítico com cerca de 2 km de diâmetro. Sua espessura é bastante variável, chegando a atingir 200 metros na porção sul, próximo à mina da CBMM. Ocorre da forma livre e, localmente, pode ser semiconfinado por níveis mais argilosos do manto intemperizado.

Trata-se de um solo residual razoavelmente poroso que, em alguns locais, encontra-se recoberto por uma canga laterítica e também apresenta, localmente, cavidades resultantes da dissolução de carbonatos. O solo origina-se da alteração das rochas do Complexo Carbonatítico e mostra uma coloração vermelho-tijolo. O nióbio e o fosfato (com presença de barita disseminada) são extraídos deste solo residual enriquecido, que apresenta transições mais ou menos contínuas entre um e outro depósito.

Os minerais presentes no manto de intemperismo são, predominantemente: apatita, pandaíta (variedade de pirocloro com bário), monazita, goyazita, rutilo, zircão, barita, magnetita, ilmenita, hematita, goetita, quartzo, vermiculita, anatásio, leucoxênio e caolim (Grossi, 1970).

Estudos desenvolvidos por Pratini (1989) definiram que a condutividade hidráulica (permeabilidade) na área da mina de fosfato "não é homogênea, mas razoavelmente isotrópica" e situa-se entre 10<sup>-6</sup> e 10<sup>-4</sup> cm/s (predominantemente, 10<sup>-5</sup> cm/s). O valor encontrado é baixo e é definido para terrenos pouco permeáveis - aqüitardos (Custódio, 1983, p473).

Com base nas vazões específicas dos poços do anel verde (média de 7,5 m³/h/m), observação da infiltração de água no terreno (bastante rápida) e das respostas da precipitação atmosférica sobre a vazão da fonte Dona Beja, pode-se classificar o aqüífero como pobre a bom, com permeabilidade entre 10<sup>-4</sup> e 10<sup>-2</sup> cm/seg. Esta é somente uma primeira aproximação, sendo necessários maiores estudos para se definir os valores reais.

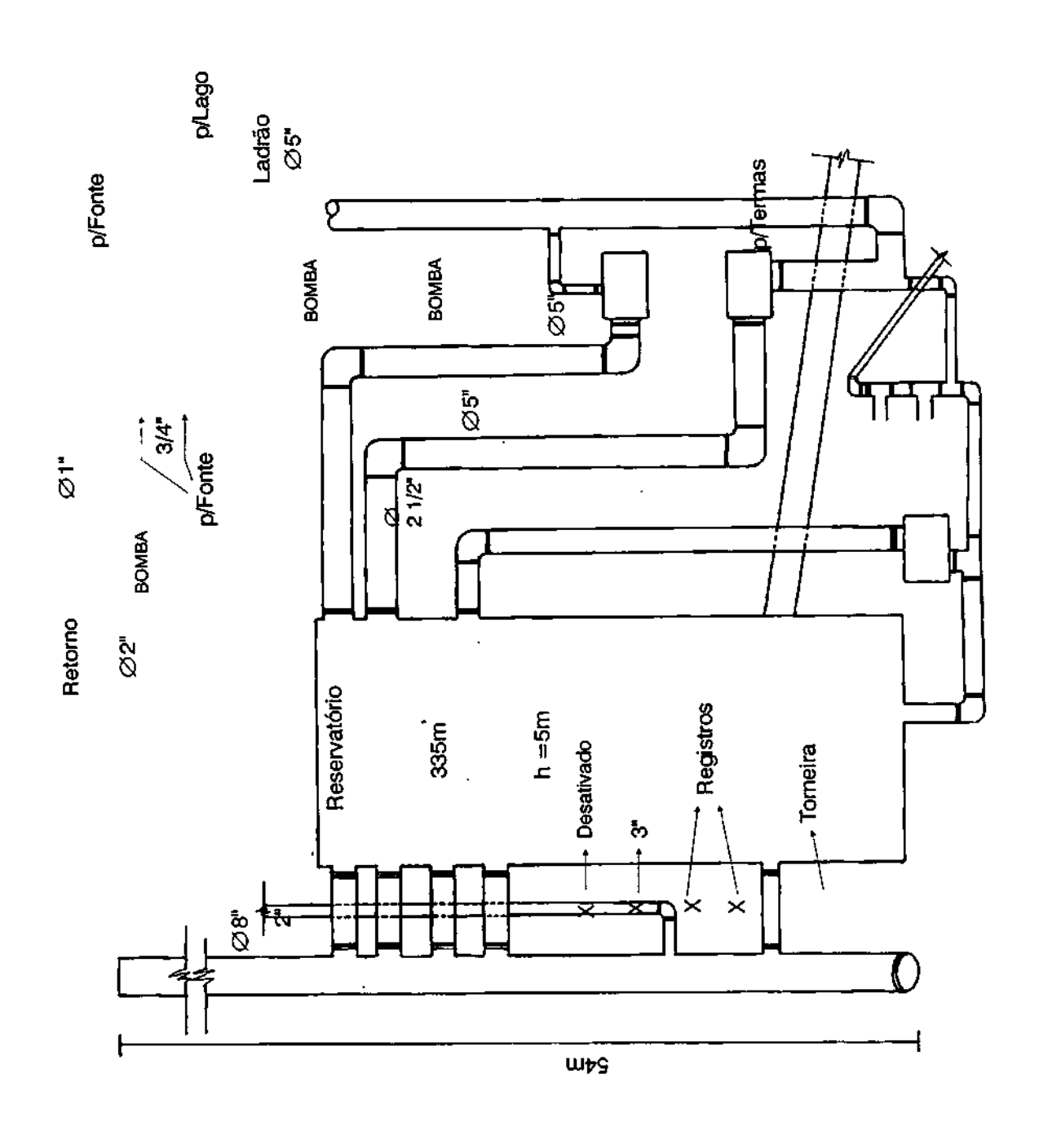


Figura 21 - Ilustração esquemática do sistema de captação e distribuição da Fonte Andrade Júnior.

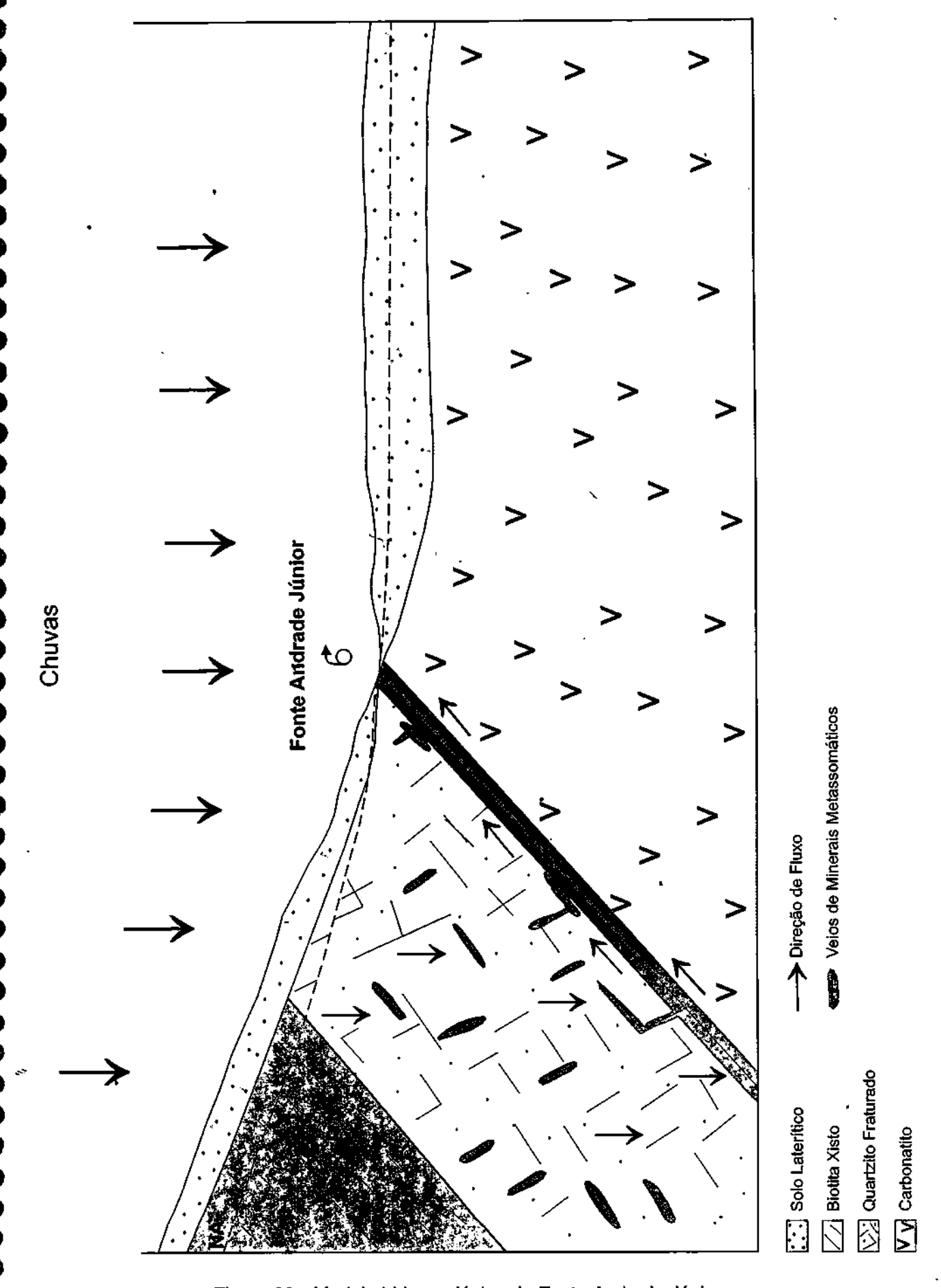


Figura 22 - Modelo hidrogeológico da Fonte Andrade Júnior.

Genericamente, a recarga se dá por infiltração pluvial direta nas áreas topograficamente mais elevadas e escoa em subsuperfície por linhas de fluxo convergentes até o nível de base, ou zona de descarga, que são os Lagos Superior e Inferior (Lago do Grande Hotel e do Barreiro), na área do Parque das Águas (figura 23). A recarga, também, verifica-se nas proximidades do anel verde e do Parque das Águas pela infiltração pluvial e pela infiltração das águas acumuladas nos lagos das barragens "E", "F", "A" e, recentemente, "G".

Os níveis encontram-se a profundidades variáveis, desde aflorante na superfície, nas proximidades do Lago Superior (fonte Dona Beja), até profundidades em torno de 97,0 metros, medidas no piezômetro 86 (278/657) em nov/97, a leste da mina da Arafértil.

O quadro 8 mostra as cotas piezométricas máximas e mínimas medidas no período de jun/1989-jun/1997 em todos os poços monitorados. A cota máxima foi medida no poço 114, em 1997, e a mínima no poço 10, em 1989 (atualmente encontra-se desativado).

	Máximo	Mínimo	Média	Número de medidas
N. A. (m)	1.108,50	956,3	1.017,89	3.975

Quadro 8: Cotas piezométricas medidas no período de 1989-1997 nos poços do aquífero Barreiro.

Para a extração do fosfato, na mina da Arafértil, é necessário o rebaixamento do lençol freático, que é feito através de um eficiente sistema de drenagem – com drenos escavados ao longo das bancadas (foto 10) e direcionados por meio de drenos-mestre às barragens "F" e para a recentemente construída, "G", onde parte da água é novamente infiltrada no aquífero, mantendo o nível freático a jusante da mina. O sistema de drenagem cria um cone de depressão do nível freático original, principalmente na direção sul, a montante e lateralmente à mina, favorecendo o avanço da lavra.

A figura 24 ilustra, através de uma seção esquemática, as alterações das linhas de fluxo subterrâneo ocorridas durante a implantação da mina para extração do minério de fosfato.

Devido à contaminação por bário na barragem de efluente B4, uma das principais áreas de recarga do aquifero, a dinâmica de fluxo subterrâneo a jusante teve de ser alterada de maneira a anular o avanço do "front" de contaminação em direção ao parque das Águas. Para tanto, foram perfurados cerca de 10 poços de bombeamento contínuo (4 na barragem B4, 2 na barragem "D" e 4 na área do córrego da Mata, próximo ao Parque das Águas) para o rebaixamento do lençol freático e esgotamento da pluma contaminada por bário.

Atualmente, a bateria de poços encontra-se reduzida a dois poços na barragem B4 (foto 23), um na barragem "D" e um próximo ao Parque das Águas, que, juntos, extraem cerca de 180 m³/h continuamente.

O bombeamento incessante da bateria de poços criou um cone de depressão que impediu o avanço da pluma, principalmente próximo à barragem B4 e ao longo do córrego da Mata. A desativação do bombeamento dos poços, ocorrida em 1989, teve como conseqüência o aumento do teor de bário em vários poços monitorados nesta área (Pratini, 1995). Isso demonstrou a importância da alteração do regime de fluxo criado pelo bombeamento contínuo, podendo, inclusive, o volume bombeado vir a ser aumentado, por meio de novos poços estrategicamente locados, de modo a convergir o fluxo para zonas de esgotamento do enclave contaminado.

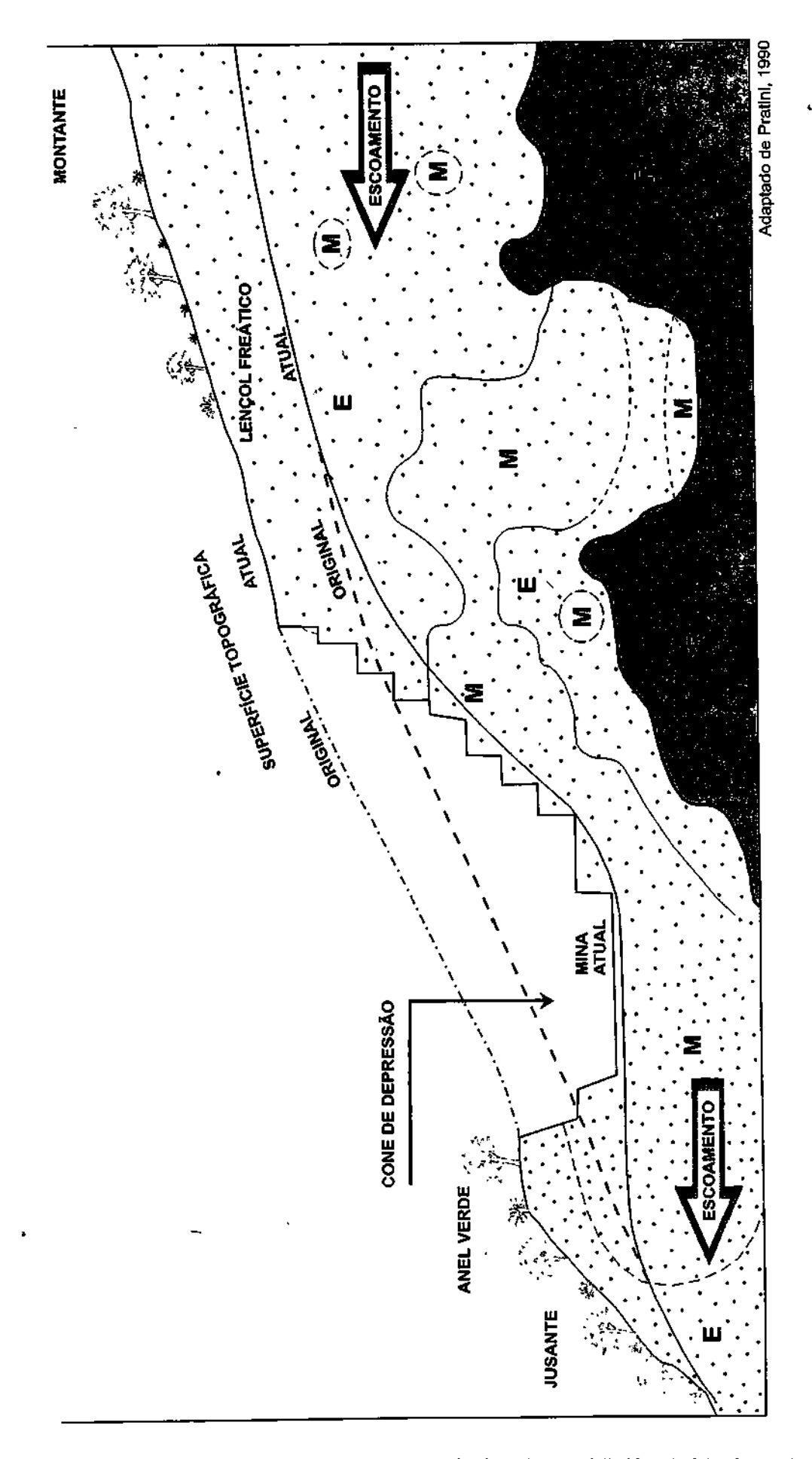


Figura 23 - Seção esquemática na área da mina de fosfato (E=estéril, M=minério, R=rocha).

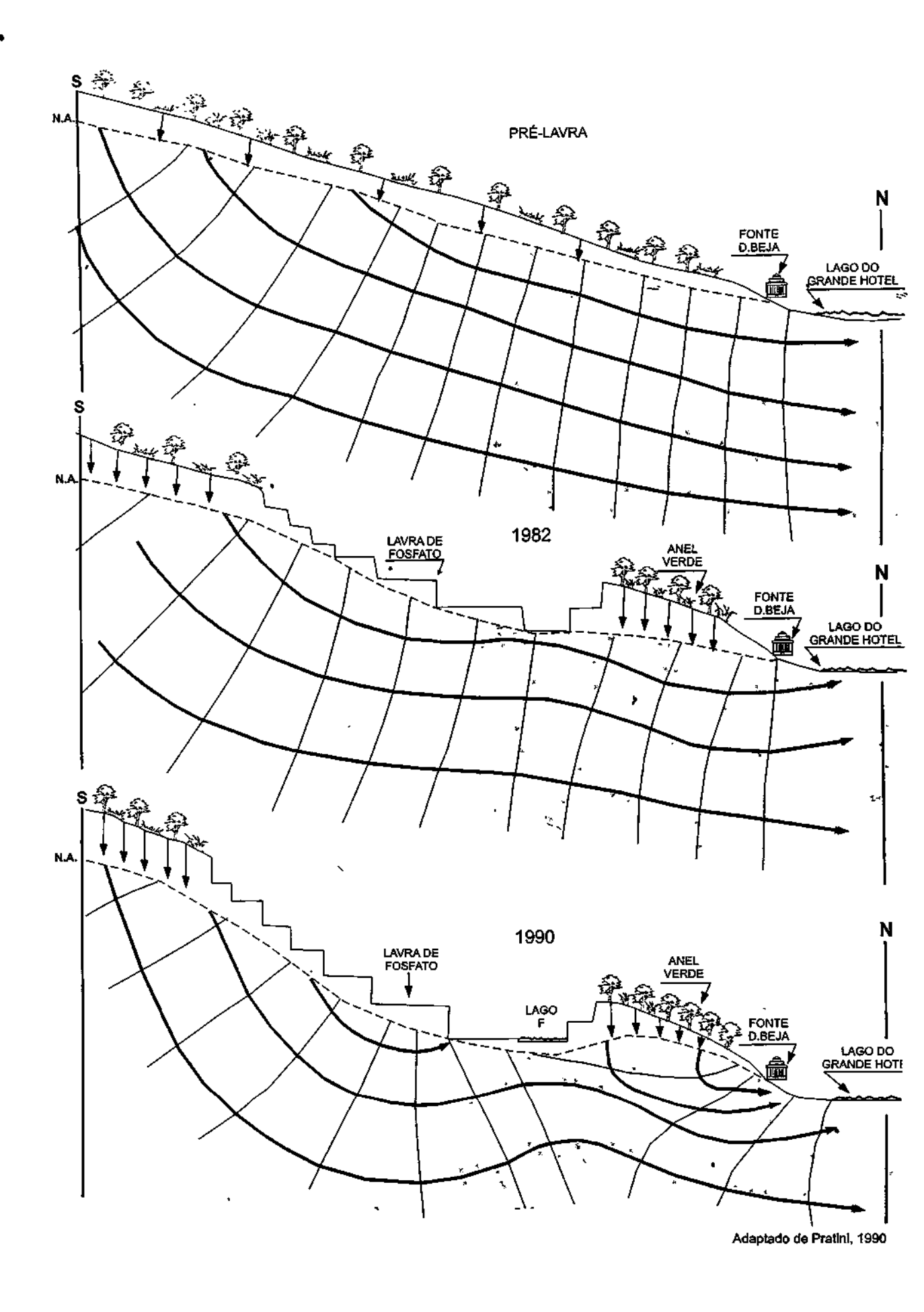


Figura 24 - Esboço das alterações do fluxo subterrâneo decorrente da mina de fosfato a montante do Lago Superior.

## 9.4.2 - Aqüífero Fraturado

O aqüífero fraturado ocorre nas rochas encaixantes, em torno do Complexo Carbonatítico, e nas próprias rochas do Complexo, encoberto pelo manto de intemperismo. O aqüífero é do tipo livre a semiconfinado (nos baixos topográficos). Os aqüíferos são do tipo intergranular, livres e semiconfinados no manto de intemperismo das rochas do Complexo Carbonatítico e das rochas encaixantes (quartzitos e xistos), e fraturado livre a confinado nos quartzitos, xistos e nas rochas carbonatíticas frescas.

A litologia das rochas encaixantes são quartzitos e xistos, sendo que se destaca o aqüífero existente nos quartzitos, pois esta rocha encontra-se intensamente fraturada, em decorrência da intrusão plutônica. Para efeito deste estudo, será tratado como aqüífero fraturado o existente nas rochas quartzíticas.

O quartzito forma um anel envolvendo o carbonatito, com espessura de 100 a 600 metros. A rocha encontra-se bastante fraturada e parte das fraturas encontram-se preenchidas por minerais do processo de metassomatismo da intrusão alcalina.

São poucos os dados referentes à produtividade do aqüífero. Todavia, avaliando-se os poços 120, 121,127 e 129 (fonte Andrade Júnior) e o tipo de fraturamento a que a rocha foi submetida, como se observa nos afloramentos do quartzito, trata-se de um aqüífero com um bom potencial, podendo proporcionar vazões da ordem de 10 m³/h e níveis estáticos com profundidades de 10 a 30 m. A espessura do aqüífero pode atingir até 600m.

A recarga se dá, predominantemente, por infiltração direta de águas de precipitação atmosférica, nos poucos pontos de afloramento, e por contribuições da infiltração de águas do solo residual que o recobre. O fluxo apresenta-se em várias direções, uma vez que o corpo é circular e apresenta diferentes altitudes.

Na área do Parque das Águas, a recarga, possivelmente, se dá na área do loteamento Alto Paulista e do Hotel Colombo, com o fluxo tendendo para nível de base, que é o Lago Inferior (do Barreiro). A percolação da água pode atingir grandes profundidades, em razão do fraturamento do quartzito decorrente da intrusão alcalina.

O volume potencial explotável deste aquífero deverá ser estabelecido através de estudos específicos, evitando-se a superexploração, que comprometerá a quantidade e qualidade das águas atualmente disponíveis.

A zona de contato entre o quartzito e o carbonatito pode apresentar uma permeabilidade apreciável, e ser a responsável pela percolação e mineralização da água da fonte Andrade Júnior, como é tratado no item 9.3.2.

### 9.5 - Hidroquímica

Contract of the Contract of th

O estudo hidroquímico baseou-se nas análises físico-químicas realizadas para este estudo pela CPRM, em setembro e dezembro/97, e as realizadas pela Arafértil e CBMM no período de 1989 a junho de 1997.

Os parâmetros analisados no monitoramento químico da CBMM e Arafértil restringem-se a: bário, sódio, cloreto, condutividade e pH. Os parâmetros analisados pela CPRM para este estudo foram os íons principais (HCO<sub>3</sub>, CO<sub>3</sub>, SO<sub>4</sub>, CI, NO<sub>2</sub>, NO<sub>3</sub>, Ca, Mg, Na, K, Fe e Mn), metais (AI, As, Cd, Cr, Pb, Ni, Ba, Zn, Li e Se), nitrogênio amoniacal e orgânico e microbiológicos (bactérias heterotróficas, pseudomonas, coliformes fecais e totais e estreptococos fecais).

Os resultados do monitoramento não estão completos, pois foram obtidos, em parte, dos arquivos da Prefeitura Municipal de Araxá, e outra parte dos dados disponibilizados pelas mineradoras e, também, alguns dados existentes nos arquivos da FEAM, havendo, portanto, algumas descontinuidades no período analisado.

Como parte deste estudo, realizou-se um total de 33 coletas para análise físico-química e/ou bacteriológica de diversos parâmetros em 19 pontos, sendo que 6 foram de fontes hidrominerais (fonte D. Beja, sistema Beja de engarrafamento, fonte Andrade Júnior e Paulo Cherulli). Todos os resultados encontram-se no Catálogo Geral de Análises Físico-Químicas, disponível para consulta na CPRM - Superintendência Regional de Belo Horizonte.

#### 9.5.1 - Composição

As águas naturais do aqüífero Barreiro (inclusive as minerais) são do tipo bicarbonatadas cálcicas (figura 25, pontos 50, 51, 67, 80, 117, 118, 119, 123, 128 e 130), oligominerais, radioativas (146,5 unidades mache - fonte Beja *in* Mourão, 1990), pouco mineralizadas (resíduo seco médio de 120,6 mg/l) e pH alcalino a levemente ácido (média de 7,31).

As principais características físico-químicas obtidas pelas análises da CPRM nas águas do aqüífero Barreiro encontram-se no quadro 9-A e 9-B. Foram relacionados todos os pontos, inclusive os do enclave contaminado.

No quadro 10, os resultados máximos, mínimos, médios e o desvio padrão das amostras fora do enclave contaminado refletem limites prováveis das águas naturais do aqüífero. As águas naturais apresentam temperaturas médias de 22,9 °C, resíduo seco entre 66,7 e 170,0 mg/l, dureza total entre 30,2 e 117,6 mg/l e pH entre 6,09 e 8,90.

Quanto aos íons principais, predominam o bicarbonato e cálcio, podendo ocorrer algum cloreto, possivelmente, na zona de interface (zona de diluição) com a pluma contaminante.

Em relação aos outros elementos menores, destaca-se o fosfato total, que é encontrado com valores entre 0,13 e 3,00 mg/l, e média de 0,68 mg/l (em mg/l de P). São valores altos em relação às águas naturais e são devido à presença do mineral apatita que se encontra disseminado nas rochas locais. Estudo realizado na região de Sete Lagoas (Beato, 1996) identificou teores de até 1,37 mg/l de fosfato total em P (média de 0,06 mg/l) em rochas calcárias e, também, relacionados a veios de apatita.

A sílica ocorre com valores entre 4,71 e 10,37 mg/l e média de 6,54 mg/l e nitrogênio amoniacal médio de 0,18 mg/l. O teor de bário situa-se entre 0,50 e 2,03 mg/l (média de 1,35 mg/l), e será tratado com detalhe no item 9.5.2.

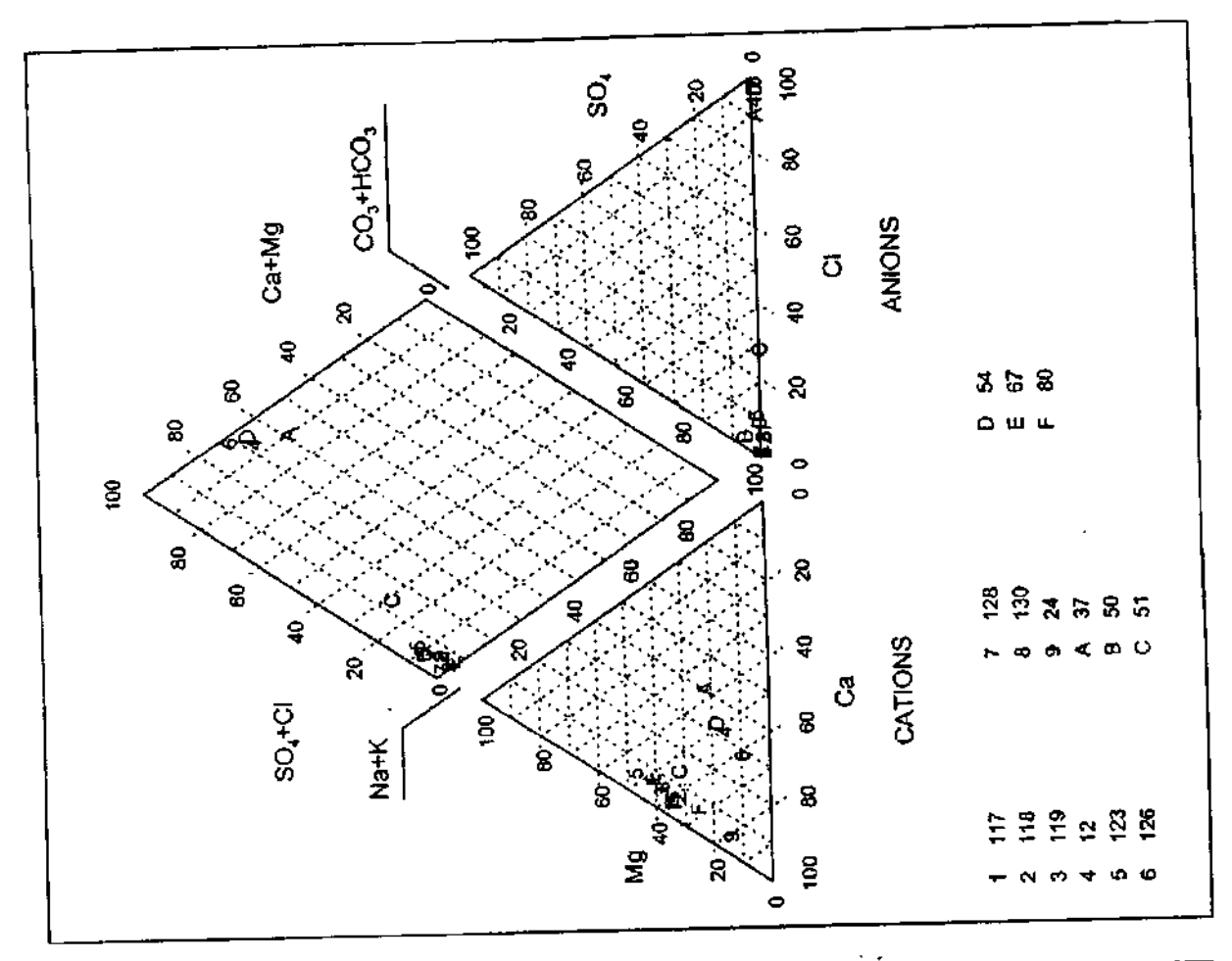
É bastante provável que a alta radioatividade encontrada nas águas da fonte D. Beja (146,5 unidades mache - Mourão 1990) também seja encontrada nas outras águas do aqüífero. Isto devido à presença de minerais radioativos como urânio, tório e monazita, na rocha carbonatítica.

As águas provenientes do enclave contaminado são, predominantemente, do tipo cloretadas cálcicas (figura 25, pontos 12, 37, 54 e 126), conseqüência da introdução da solução contaminante (aporte de cloretos).

Com base em quatro pontos amostrados pela CPRM, dispersos na área do enclave (pontos 12, 37, 54, e 126), as águas apresentam temperatura média de 24,2 °C, pH entre 5,69 e 6,44; condutividade elétrica entre 1.014,0 e 3.160,0 mS/cm, resíduo sece entre 760,0 e 2.535,0 mg/l, dureza total entre 258,4 e 915,9 mg/l, cloretos entre 264,9 e 929,7 mg/l e bário entre 14,04 e 44,73 mg/l. O quadro 11 apresenta os resultados estatísticos das análises realizadas nas águas da zona da pluma contaminante.

Alguns pontos, apesar de estarem situados bastante próximos do enclave (ponto 24 e 123 - Hotel da Previdência), não apresentaram teores de águas contaminadas, indicando que a pluma se desloca em outra direção.

Os resultados do monitoramento químico, executado pela CBMM e Arafértil, exclusivamente no aquífero Barreiro, mostraram valores bastante diferenciados de acordo com a origem das amostras, uma vez que o monitoramento também é feito no entorno da pluma contaminante.



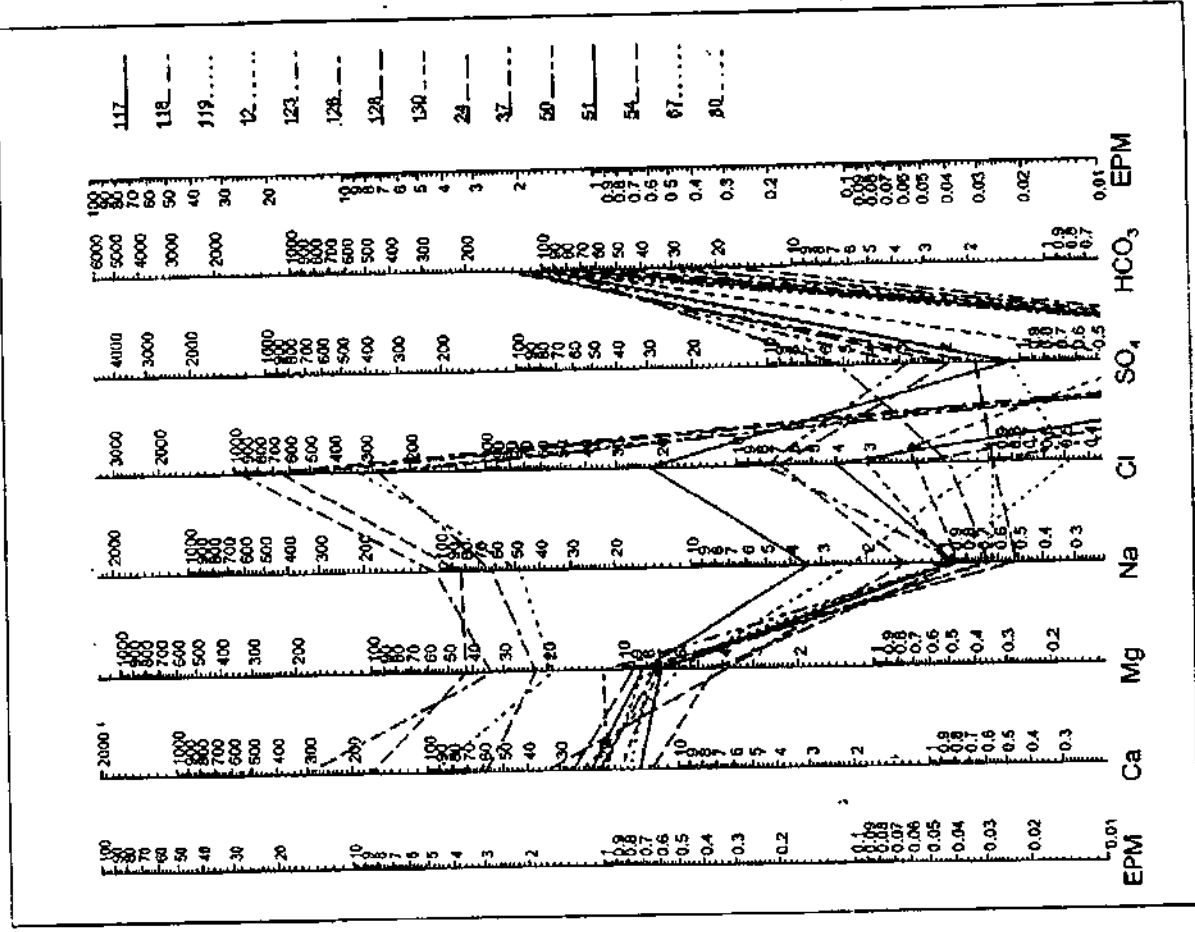


Figura 25 - Diagramas de Schoeller e Piper das águas do aquífero Barreiro.

- Serviço Geológico do Bresil										NOM	ERO DO				73	_ !	75	L_	80-B		80-C	_
							51-4		54-1	A	54-1		67	<del></del>	217/4	_	230/48	10	250/540		250/450	
PARAMETROS FISICO-QUÍMICOS	12		24A		37	_ +	190/46		193/500		193/503		210/44		Piezôm		Piezóm		Piezom		Piezôm	_
	PB 4	2	128/496		157/51		Piezôm		Piezôn		Pjezôm		Plezóme		25/9/		25/9/9		25/9/9	7	25/9/9	_
Local	Pogo Tut		Piezom		Piezôme		24/9/		08/12		08/12		25/9/9		24,3		22.4		23,3		23,1	<u> </u>
Nahreza	8/12/9		08/12/	97	8/12/9		22,0		24.	-	24,	2	22,3	+	44,2	<del>~</del> –†						
Data	22,6		24,5	<u> </u>	25.1		22,	<del>'</del>						. —-}								
Temperatura °C ("in foco" )	0.4				0,4	<u> </u>								+	6.8	<del>-</del> -	6.09		7,24		7,14	_
Turbidez							8.9	<del></del> +	5.9	14	5,8	7	7,36		- <del>0,0</del>	_	74.4		176,	3	185,	_
Cor	6,11	· - 1	7,7	1	6,44		228.		22		226	30	187,6			<del>"</del> ——	96.0		145	0	136,	<u>∞</u>
pH	120		21!	5	1014		170.		1725		2139	,00	149,0	<u>~</u>				<u> </u>				_
condut. Elétrica (uS/cm a 25 C)	1,112	.00	123,	<u> </u>	760,0		170,	<del></del>								- <del></del>						
Residuo Seco (190°C)	304.				216,4												30.3	<del></del>	87.	0	91,	_
ureza de não Carbonatos (mg/l)	28.0				42,0			<del></del> +	560	AA	602	84	92.4	10			mg/l	meq/	mg/l	meq/1	mg/l	-ū
Dureza de Carbonato (mg/l)	332		100.	86	258.		110		mg/l	meg/	mg/l	Noem	mg/l	meq/l	mg/l	megy	17.08	0.280	103,70	1,701	102,40	L
Dureza Total (mg/l CaCO <sub>3</sub> )	ma/L	meg/l	mg/l	meq/1	mg/l	meq/l	mg/l	meq/l	31,72	0.520	29,28	0,480	106,75	1,751		ļ - <i>-</i>	17.08 ND	<del>V,20V</del>	ND		ND	Ĺ
Unidades	34,16	0,560	122,00	2,001	49,92	0,802	96,38	1,581	ND	- <del> </del>	ND		ND		<b> </b> —–	<b>├</b>	7,21	0,20	1,00	0,03	2,00	
Bicarbonato (HCO <sub>3</sub> .)	NO		ND		NO		ND		624,81	17,62	644,80	18,18	0,48	0,01	ļ. —	<b>⊢</b> −	1,90	0,04	ND			Ľ
Carbonato (CO <sub>3</sub> =)	314,90	8,88	6,73	0,19	264,92	7.47	22,11	0,62	ND	<del> </del>	ND		1,10	0,02	<u> </u>	ļ—	<0,001	-2,5-	<0.001		<0,001	Ĺ
Cloretos (CI-)	ND		1,90	0,04	ND		1,10	0,02	0,010	0.000	0,007	0,000	0,001	0,000	<b>↓</b>	<b>⊢</b> −	1,37	0,022	0.94	0,015	1,00	Ŀ
Sulfatos (SO <sub>4</sub> =)	0.003	0,000	0,019	0,000	0,003	0.000	0,001	0,000	2,72	0.044	2,48	0,040	0,48	0,008	<u> </u>	<del> </del>	1,37	0,545		1,744	T	Ι
Nitritos (NO <sub>2</sub> .)	1.24	0,020	0,48	800,0	1,49	0,024	0,78	0,013	Z,12	18,184	<del>                                     </del>	18,704		1,795	<b>↓</b> —	<b>⊢</b> −	7 70	0,390	24,87	1,244	16,32	Ţ
Nitratos (NO <sub>3</sub> -)	1,24	9,460	<del> </del>	2,238		8,297	<del></del>	2,240	154,83	7,742	171.09	8,555	15,62	0,781	<del> </del>	+-	7,79 0,26	0,330	5,93	0,490	5,60	Ι
Total	96.83	4,842	34,01	1,701	58,78	2,939	22,56	1,128	42,32	3,496	42,65	3,523	7,80	0,644	<b>↓</b>	<u> </u>		0.252	2,31	0,100	5,14	Τ
Cáldo ( Ca++)	19,05	1,574	3,87	0,320	22,38	1,849	B,340	0,689	84.13	3,660	83,27	3,622	0,99	0,043	<u> </u>	<u> </u>	5,79 0,23	0.006		0,016		Т
Magnésio (Mg++)	48,22	2.098	1,42	0.062	62,08	2,700	3,380	0,147			86,84	2,223	2,19	0,056		<del></del>	10,23	0,000		0.039		7
Sódio (Na+)	34.51	0.863	1,35	0,035	18,48	0,473	4,680	0,125	0,481	0,022	7,644	0,342	0,373	0.017				0.000		0,009	,	Ι
Potássio (K+)	0.063	0.003		0,022	0,020	0,001	0,309	0,014		_	0,745	0,033	0,126	0,010		+-		0,669		1,896	ī	٦.
Ferro Total (Fe <sub>2</sub> +Fe <sub>3</sub> )	0.011	0.001		0,034	ND	<u> </u>	0,068			17,163	1	18,299	T	1,552	<u> </u>	4	<del>- </del>	20	+	8		$\Box$
Manganês (Mn++)	<del>-   ","</del>	9,400		2,172	<u></u>	7,962	<b>↓</b>	2,108	<del>'                                    </del>	6	<del></del>	2		15			+		+			
Total		1		3	<u> </u>	1 4	<b>↓</b>	6	<del>- </del> ,	0.119	<del></del>	,616										_
% de erro de análise	<del>-                                    </del>	.030	- 0	,096	0.	032	<u> </u>				-		T		<del>  -</del> -		-					
Atuminio ( mg/t Al )	<del>-                                    </del>				I		J		<del></del>		<del></del>		T				+-	.031	1	.980	9	0,99
Anidrido Carbônico (mg/l CO <sub>2</sub> )		0,010	<del>-</del>						<del></del>	4,727	-   -	5,997	1	387	4-		-+		<del> </del>			
Arsênio (mg/l As )		1,490	-   - 7	,981		1,041	- 1	2,009		,					_		<del></del>		<del></del>		_[	
Bário (mg/l Ba)	- <del>                                    </del>					ND	<del> </del>		<del></del> -		-+				_  _				-			_
Cádmio (mg/l Cd)	→						.		+-						<del>-</del> -				┥一			
Chumbo (mg/LPb)	<del></del>	0,004	7 7		<	0,003	-\ - ·	. —	<del>-}</del> -		<b>⊣</b> ~		l -		<del> </del>		_+	0,37	+-	0,35		0,
Cobre ( mg/l Cu )	<del></del>		-   -		_			~4=	-+	0,18	<u>-</u>   -	0,21		0,25	_ _			3,00	-	0,37		Q,
Cromo Total (mg/l Cr)	-+	0,18	-	0,31		0,20		0,15	+	0.48	<b>-</b> ∤	1,94		0,80	.			3,03	-		_ [	_
Fluoreto (mg/l F )		0.16	_	0,57	_	0,38	<u></u>	0,24		<del></del>			_]		-∔ -							_
Fosfato total em P (mg/l)				<del>_</del>		<0.02	ļ —			4,328	-1	11,694		_	\ <u>-</u>				╅			
Litto (mg/l Li)		6,663	- '	5,958		7,236	-   -		<del></del>		<u> </u>		<u> </u>		Į_,		-+-		<del>-</del> -		רו ו	
Sílica (mg/i SI)	<del>-   -</del> -	<del>-,</del> -	1						- +		<b>-</b>   -				_   _	_			<del></del>		_ [	_
Zinco (mg/l Zn)	-+		1 -		_L	ND_	<del> </del>						_[_		_				-			
Selênio (mg/l Se)		849.00			T	708,00	.  -		<del> </del> -				_ [ _				_				<b>-</b>	
Sólidos Dissolvidos ( mg/l )	┈━╂╌╾╌	ND	٠ - ا								-+-		<u> </u>	_		_			- } <del></del>		- † - <b>-</b>	_
Fendis ( mg/t Fn )	<del>-+</del>	2,45	1 -			0,89					<del> </del>		1									_
Nitrog. Amoniacal ( mg/l N )	1	ND	l.	-	i	ND	- 1															

PRM - Serviço Geológico do Brasil											N	ÚMERO	DO PO	NTO _							400		130	
PARÂMETROS						<del>-</del> T	118		11	8	119	_	119		119		12:		126	_	128 CBM2	_	Fonte E	
FÍSICO-QUÍMICOS	117	<u> </u>		17	11			$\overline{}$	Beja		Beja		Beia	03	Beja	03	Hotel Prev		PB - C				Nasce	
Local	Beja		Beja		Beja		Beja		Poço T		Poço Tu		Poco Tu	butar	Poço Tu	neluda	Poço Tu	abular	Poço Tu	1	Poço Tu		23/9/	_
Natureza	Poço Ti		Poço T	ubular	Poço T		Poço Tu		09/12		31/7/		22/09	+	09/12		09/12	97	8/12/5		08/12/		22,7	
Data	31/7	/97	22/9	9/97	31/7		22/9/			- 1	22,	1	23,0		23,	4	23,	5	24,9	- 1			0,6	
Temperatura °C ("in loco" )	22		23	.00	22 0.	.5			23		0,4		2	- †	2		- <del>- </del> - <u>1</u>		0,4	4	0,3	🕂	<u>-0,6</u> 	
Turbidez	0,4	4	_ 7	2			2		_ 5		— <del>~</del>			1	<5	- 7	<5					+	7.0	
Cor		5	<	:5	</td <td></td> <td>&lt;5</td> <td></td> <td>. &lt;</td> <td> 1</td> <td>8,2</td> <td></td> <td>7.4</td> <td></td> <td>7.4</td> <td>9 1</td> <td>7,5</td> <td>4</td> <td>5,69</td> <td>9</td> <td>7,8</td> <td>-<del></del> +</td> <td>155</td> <td> •</td>		<5		. <	1	8,2		7.4		7.4	9 1	7,5	4	5,69	9	7,8	- <del></del> +	155	•
pH	7,8	ão [		10	7,4		6.5		6,0		173		176.		178.	40	21	2	316		214			
Condut, Elétrica (uS/cm a 25 C)	149	,90	157	3,80	125		120,		109		- 107	:	125,		77.5	00	95,0	00	2.535		126.	<u>∞</u> →	112,	<u></u> —
Residuo Seco (180°C)	98,	,00	106	6,00	75,	,∞	86,	×	39,	₩- 1					├ <i>-</i>		2,2	7	900,	87		<u> </u>	<del></del>	<u> </u>
Dureza de não Carbonatos (mg/l)	3,8				0,0	00			<del></del> -		6,4			<del></del> -			95,0	00	15,0	00		,		<del></del>
Dureza de Carbonato (mg/l)	70.			_ [	66	,00					.88,		88.	<u> </u>	83.	14	97,	27	915,	87	117,		78,0	_
Dureza Total (mg/t CaCO <sub>3</sub> )	73	.80	. 14	1.00 j	66	,00	64,			.95	94,			meq/l	mg/l	meg/l	mg/i	meq/l	mg/l	meq/l	mg/l	meq/l	mg/l	meq/l
Unidades	mg/l	meq/1	mg/l	meg/l	mg/l	meq/l	mg/l		mg/l	meq/l	mg/l	meg/l	mg/l		112,24	1,841	115,90	1,901	18,30	0,300	134,60	2,211	89,06	1,461
	85,40		82.35		70,15	1,150	67,10	1,100	59,78	0,980	107,97	1,771	109,60	1,801	ND	,0-1	ND	- :	ND		ND	,	ND	<del>   </del>
Bicarbonato (HCO <sub>3</sub> .)	0.00	<del>                                     </del>	ND	†	0,00		NO		ND		0,00		ND.		0,96	0,03	7,69	0,22	929,71	26,22	0,96	0,03	3,00	0,08
Carbonato ( CO <sub>3</sub> =)	3,57	0,10	4,00	0,11	1.53	0,04	2,00	0,06	1,92	0,05	1,02	0,03	ND	<u> </u>		0,03	2,60	0.06	ND	<u> </u>	1,50	0,03	0,30	0,01
Cloretos (Cl-)	ND	1 2.12	ND.		1.65	0.03	0,70	0,01	NO	Ι	1,40	0,03	ND		ND_	<del>                                      </del>	2,80 NO		0.010	0,000	0,001	0,000	NO	<u> </u>
Sulfatos (SO <sub>4</sub> =)	ND		0,007	0,000	ND .	+	<0,001		ND	<u> </u>	0,001	0,00	<0,001	2	ND	0,003	0,09	0,001	4,00	0,064	ND		0,19	0,003
Nitritos (NO <sub>2-</sub> )	0,17	0,003	0,22	,	0.13	0,002	0,14	0,002	0,15	0,002	0,11	0,002	0.11	0,002	0,17		.0,03	2,177	7,00	26,583	<del>                                     </del>	2,269		1,554
Nitratos (NO <sub>3-</sub> )	4 4-1	1,504	0,24	1,467	1-3.5	1,230	<del></del>	1,174		1,037	<u> </u>	1,830		1,802	<del> </del>	1,871	19,10	0,955	311,54	15,577	26.81	1,341	17,00	0,850
Total	1		14,17		12.41	0,621	14,76	0,738	12,68	0,644	18,76	0,938	16,94	0,847	19,66	0.983	L	0,995	33,50	2,767	9,07	0,749	7,28	0,601
Cáldio (Ca++)	14,19		4 1		4,90	0,405	4,99	0,412		0,357	8,15	0,673	7,87	0,650		0,683	12,04	0,038	104,73	4,556	0,51	0.022	0.94	0,041
Magnésio (Mg++)	6,95	0,574	7,01		0.99	0.043	0.39	0.017	0.86	0,037	0,67	0,029	0,59	0,026		0,028		0,030	100,30	2,568	1,90	0,049		0,055
Sódio (Na+)	0,86	0,037	0.89		1.23	0.031	1,13	0,029		0,028	2,55	0,065	2,05	0,052	2,13	0,055				0.000	0.066	0,003		0.012
Potássio (K+)	2,23	0,057	1,88		0,009	0.000	0.013	0,001		0,000	0,016	0,001	0,027	0,001	<u> </u>	0,000	<del>+</del>	0,001	0,006	0,000	ND	+	0,005	
Ferro Total (Fe <sub>2</sub> +Fe <sub>3</sub> )	0,009	0,000			ND	10,000	0,004	0,000	<del></del> -	0,000	ND	<del>                                     </del>	0.004	0.000		0,000		<del> </del> -	<0,003	25,468	+-''-	2,163	_	1,560
Manganês (Mn++)	ND			0,000	ND.	1,100	0,004	1,197		1,066	1	1,706	1	1,577		1,748	<u> </u>	2,058	+	25,400	+	5	+-	0
Total		1,378	<del></del>	1,376	<del> </del>		<del> </del>	7,737	+	3	1 -	7	1 -	13				6	<del>\                                    </del>	<u> </u>	+ -	.028	+-	
% de erro da análise		9	↓—	- 6	<del>  _</del>	11	┼──	1. 2	+		<b>→</b> <0	.010	1 -		Τ				<u> </u>	064	<del></del>		+	
Atuminio (mg/l Al )		0,010	→ —		. <u> </u>	0,010	<del> </del>		<del> </del>			.10	<del>                                     </del>		$\top$		_		<del>- </del> ;				+	
Anidrido Carbônico (mg/l CO <sub>2</sub> )		2,40	1			4,50	┿-		·   <del>- · · -</del>			ND -	1						1	ND	+-	,106	<del></del>	1,619
Arsênio ( mg/l As )		ND				ND .	<u>-</u>	<del></del>		,494	1. 1	.096	+	792	1	,202	<u>.                                    </u>	484		,101		,100 _	<del></del>	.,,,,,,,,,,,,,,,,,,,,,,,,,,,,,,,,,,,,,,
Bário (mg/l Ba)		445	.  '	1,525		,524	- → ····	489	- <del>-</del> -	1707		ND	+						<u> </u>	ND		-	-	-
Cádmio (mg/l Cd )	_	ND	1		1	ND	ļ -	-	1	_		ND -	† -											
Chumbo (mg/l Pb)	<u> </u>	ИD				0,02	-		-⊦	<del></del>		ND -	]		<del></del>				<(	5,003	_}^*	0,003		
Cobre ( mg/l Cu )	<(	0,003	1			ND	<del> </del>		<b></b>			0.005	+ -		<u> </u>				<del>_</del>		+-	0.10	<del></del>	0,25
Crome Total ( mg/l Cr )	∐ `ৰ	0,005				0,008	→			0,28		0.26				0,22		0,41		0,04	_ +			0.40
Fluoreto ( mg/i F )	$T^{-2}$	0,23				0,24	_		L	1,08		0,14	1	0,12	<b>→</b>	0,13	T	0,08		0,14	'	0,16		0,40
Fostato total em P (mg/l)	7	0,37		0,38	- L	0,90	\ <u>'</u>	<u> 88,0</u>		1,00		:0,10	<del>-</del> -	<del></del>			T -			0,02			<del></del> -	
Lítio (mg/l Li)	ተ∵፣	<0,10	[			<0.10	┙.					5,613	4		+-	- —	1	1,048		5,485	_ 1	0,372	- +-	
Silica (mg/l Si )	1	5,273	1			4,711	.↓		-			0.005	<del> </del>	_	一一		7 -				_	—	_	
Zinco (mg/l Zn)	1-7	0,008	1		_	0,043	1	_	┿ -		<del></del> '	ND:	- <b>∤</b>							NO		<del></del> -		
Selênio (mg/l Se)		ND	1-		_ 1	ND									+				2	108,00		121,00	<del></del>	
Sólidos Dissolvidos (mg/l)		80,00	t		٦,	65,00			_	_		97,00	+-		-			NO	<del></del>	ND			_ _	
Fendis (mg/l Fn )	<del>-</del> † - `		٠ [	-	İ	-	Τ							0.16	_ <del> </del>	0,21		0,21		4,80	.l	0,33	_	
LEUKUS ( HEN LILL)			j -	_	l.	0,11	i	0,06	I	0,10	i i	0,16	I	0,15			<del></del>	ND -		ND	- $           -$	ND		
Nitrog, Amoniacat (mg/IN)		0,11	0.1	3		U, I I		0,03		ND	-	NO		ND	•	ND		NID:		140				

we are not to the state of the

Quadro 9 - B: Principais características físico-químicas das águas do aqüífero Barreiro, analisadas pela CPRM em 1997.

CDRM - Servico G	enlágico	do	Brasil
------------------	----------	----	--------

PRM - Serviço Geológico do Brasil	<del>,                                    </del>			Desvio	Número de
PARÂMETROS FÍSICO-QUÍMICOS	Máximo	Minimo	Média	Padrão	Amostras
Temperatura °C ("in loco" )	24,30	22,00	22,86	0,65	11
Turbidez	2,43	0,30	1,20	0,74	5
Cor	0,00	0,00	_0,00	0,00	ı <sup>4</sup> -
pH	8,90	6 <u>,0</u> 9	7,31_	0,67	11
Condut. Elétrica (uS/cm a 25°C)	228,00	71,30	158,13	49,03	11
Resíduo Seco (180°C)	170,00	66,67	120,57	28,90	10 _
Dureza de não Carbonatos (mg/l)	6,40	0,00	3,40	2,63	3
Dureza de Carbonato (mg/l)	88,50	66,00	74,83	9,80	3_
Dureza Total (mg/l CaCO <sub>3</sub> )	117,60	30,20	79,96	26,30	_ 10
Bicarbonato (HCO <sub>3</sub> - )	134,80	17,08	90,97	30,01	10
Carbonato (CO <sub>3</sub> =)	0,00	0,00	_0,00	0,00	_ 10
Cloretos (CI-)	22,11	0,48	4,30	6,24	10
Sulfatos (SO <sub>4</sub> =)	1,90	0,00	0,79	0,63	9
Nitritos (NO2-)	0,00	0,00	0,00	0,00	10
Nitratos (NO <sub>3</sub> -)	1,37	0,00	0,52	0,44	10
Cálcio (Ca++)	26,81	7,79	17,70	5,43	10
Magnésio ( Mg++)	9,07	0,26	6,41	2,41	10
Sódio (Na+)	5,79	0,51	2,13	1,87	10
Potássio (K+)	4,88	0,23	1,81	1,25	_ 10
Ferro Total (Fe <sub>2</sub> +Fe <sub>3</sub> )	0,86	0,01	0,24	0,27	8
Manganês (Mn++)	0,13	0,00	0,04	0,05	8
Alumínio ( mg/l Al )	0,03	0,00	0,01	0,01	4
Anidrido Carbônico (mg/l CO <sub>2</sub> )	4,50	1,10	2,67	1,40	3
Arsênio ( mg/l As )	0,00	0,00	0,00	0,00	_ 3
Bário (mg/i Ba)	2,03	0,50	1,35	0,45	10
Cádmio ( mg/l Cd )	0,00	0,00	0,00	0,00	3
Chumbo (mg/l Pb)	0,00	0,00	0,00	0,00	3
Cobre ( mg/l Cu )	0,00	0,00	0,00	0,00	4
Cromo Total ( mg/l Cr )	0,01	0,00	0,00	0,00	_ 3
Fluoreto ( mg/l F )	0,37	0,10	0,25	0,08	10
Fosfato total em P (mg/l)	3,00	i	0,68	0,81	10
Lítio (mg/l Li)	0,00		0,00	0,00	3
Sílica (mg/i Si)	10,37	1	6,54	2,25	4
Zinco (mg/l Zn)	0,04		0,02	0,02	3
Selênio (mg/l Se)	0,00	0,00	0,00	0,00	3
Sólidos Dissolvidos ( mg/l )	121,0	0 65,0	0 90,7	5 20,81	4
Nitrog. Amoniacal ( mg/l N )	0,33	0,09	90 <u>.</u> 18	1	T .
Nitrog. Orgânico ( mg/l N )	0,01	0,00	0,00	0,00	4

Quadro 10 - Resultados estatísticos das análises físico-químicas das águas naturais do aqüífero Barreiro.

RM - Serviço Geológico do Brasil PARÂMETROS	Máximo	Mínimo	Média	Desvio Padrão	Número de Amostras
FÍSICO-QUÍMICOS	25,10	22,60	24,20	0,98	4
Temperatura °C ("in loco")	0,40	0,40	0,40	0,00	3
Turbidez	6,44	5,69	6,05	0,27	4
pH	3.160,00	1.014,00	1.898,25	858,22	4
Condut. Elétrica (uS/cm a 25°C)	2.535,00	760,00	1.533,00	673,73	4
Resíduo Seco (180°C)	900,87	216,40	474,02	303,98	3
Dureza de não Carbonatos (mg/l)		15,00	28,33	11,03	3
Dureza de Carbonato (mg/l)	42,00	258,40	516,99	255,84	4
Dureza Total (mg/l CaCO <sub>3</sub> )	915,87	18,30	33,28	10,87	4
Bicarbonato (HCO <sub>3-</sub> )	48,92		0,00	0,00	4
Carbonato (CO <sub>3</sub> =)	0,00	0,00	533,59	267,04	4
Cloretos ( Cl- )	929,71	264,92	<del></del> -	0,00	4
Sulfatos (SO <sub>4</sub> =)	0,00	0,00	0,00	0,00	4
Nitritos (NO <sub>2</sub> .)	0,01	0,00	0,01	1,10	4
Nitratos (NO <sub>3-</sub> )	4,00	1,24	2,36		4
Cálcio ( Ca++)	311,54	58,78	155,50	96,37	4
Magnésio (Mg++)	42,32	19,05	29,31	9,22	4
Sódio (Na+)	104,73	48,22	74,79	21,51	4
Potássio (K+)	100,30	18,48	60,20	34,47	4
Ferro Total (Fe <sub>2</sub> +Fe <sub>3</sub> )	0,48	0,01	0,14	0,20	4
Manganês (Mn++)	0,05	0,00	0,02	0,02	4
Alumínio ( mg/l Al )	0,12	0,03	0,06	0,04	2
Arsênio ( mg/l As )	0,00	0,00	0,00	0,00	
Bário (mg/l Ba)	44,73	14,04	27,34	13,43	4
Cádmio ( mg/l Cd )	0,00	0,00	0,00	0,00	2
Cobre ( mg/l Cu )	0,00	0,00	0,00	0,00	3_
Fluoreto ( mg/l F )	0,20	0,04	0,15	0,06	44
Fosfato total em P (mg/l)	0,48	0,14	0,29	0,14	4
Lítio (mg/l Li)	0,00	0,00	0,00	0,00	2
Sílica (mg/l Si)	7,24	4,33	5,93	1,12	4_
Selênio (mg/l Se)	0,00	0,00	0,00	0,00	2
Sólidos Dissolvidos ( mg/l )	2.108,00	708,00	1.221,67		3_
Fenóis ( mg/l Fn )	0,00	0,00	0,00	0,00	2
Nitrog. Amoniacal ( mg/l N )	4,80	0,89	2,71	1,61	3_
Nitrog. Orgânico ( mg/l N )	0,00	0,00	0,00	0,00	3

Quadro 11 - Resultados estatísticos das análises físico-químicas das águas do enclave contaminado do aqüífero Barreiro, analisadas pela CPRM em 1997.

O quadro 12 apresenta o estudo estatístico máximo, mínimo, médio e desvio padrão de todas as análises do monitoramento disponibilizadas no período de 1989 a 1997. Os valores máximos encontrados são provenientes de águas do enclave, e são bastante elevados em relação às águas naturais.

Os valores médios estão desqualificados para uma interpretação generalizada do aqüífero monitorado, devido à predominância de pontos de amostragem da área do enclave de contaminação. Todavia, servem como referência dos valores possíveis de serem encontrados nas áreas contaminadas e seus entornos.

	Bário (mg/l)	Cloretos (mg/l)	Sódio (mg/l)	Sulfatos (mg/l)	Cond. Elét. (µS/cm)	рН
Máximo	37,30	1.421,00	1.106,00	2.610,00	4.600,00	14,00
Minimo	0,00	0,20	0,01	0,00	10,00	4,80
Média	4,13	186,03	49,20	20,41	773,85	8,52
Desvio Padrão	6,52	241,96	75,72	97,87	846,24	1,74
Número de amostas	4.963	3.908	4.839	4.169	2.031	4.961

Quadro 12 - Resultados estatísticos do monitoramento físico-químico executado no período de 1989 a 1997 nos piezômetros do Barreiro.

As águas do aquífero fraturado quartzítico não foram amplamente amostradas (apenas dois pontos). Dessa forma, suas características químicas reais poderão apresentar algumas diferenças com as encontradas.

Os pontos 120 e 121 são considerados como representativos deste aqüífero e, de acordo com a figura 26, as águas são do tipo bicarbonatadas cálcicas. Os valores médios encontrados foram: temperatura, 22,8 °C; resíduo seco, 136,5 mg/l; dureza total, 94,3; e pH de 7,32.

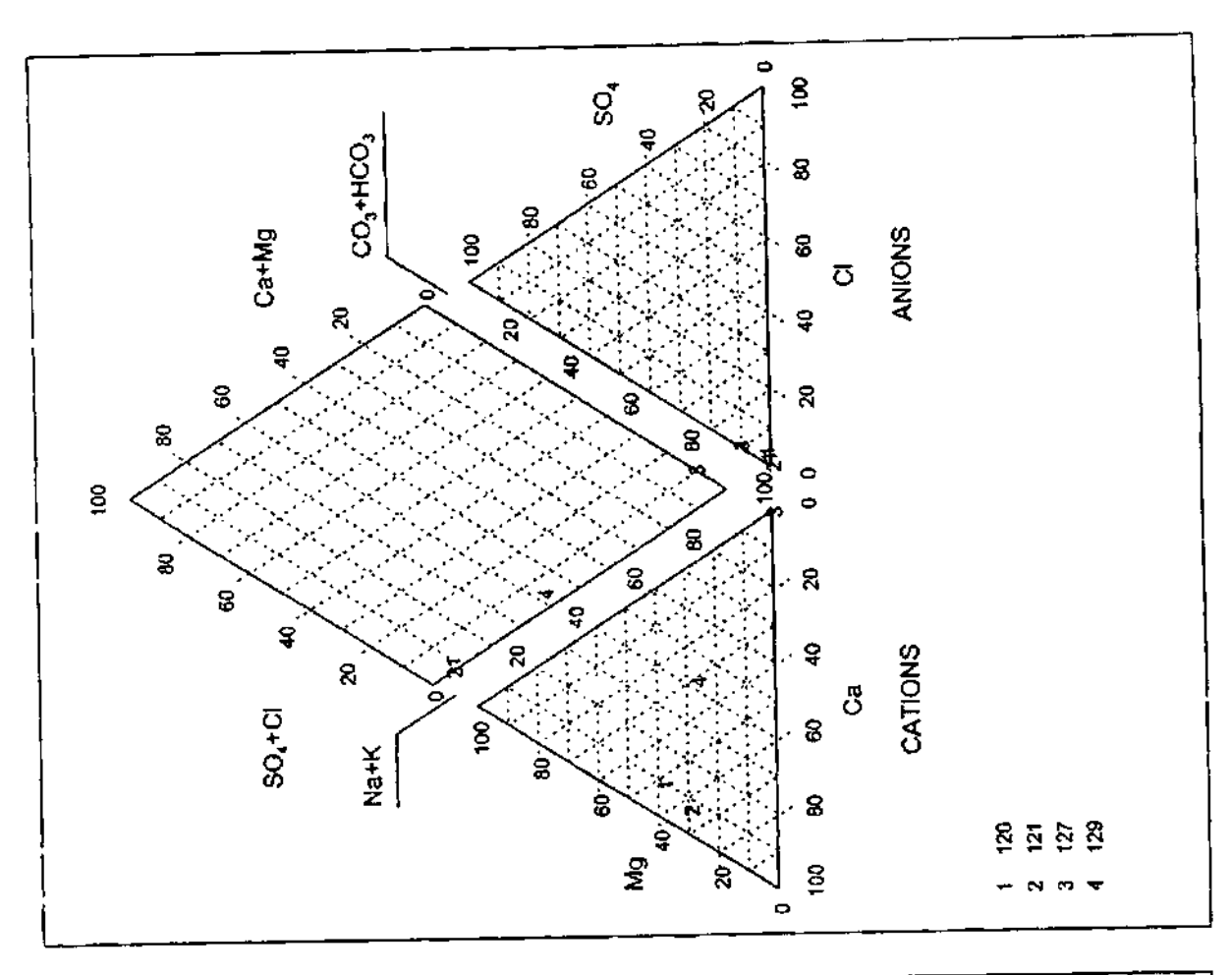
Predominam o ânion bicarbonato e cátion cálcio, seguido de sódio. O bário está presente com teor médio de 0,52 mg/l e o fosfato total com 0,19 mg/l de P, em média. O nitrogênio amoniacal é encontrado com 0,29 mg/l, em média.

As outras águas do aqüífero fraturado são as da fonte Andrade Júnior e Paulo Cherulli, que mostram composições químicas muito próximas entre si, revelando uma mesma origem. As águas são do tipo bicarbonatadas sódicas (ponto 03, figura 26 e Quadro 13), sulfatadas, radioativas - 44 unidades mache (Mourão, 1990), hipotermais (entre 29,1 e 32,4 °C) e alcalinas (pH de 9.8).

Predominam os ânions bicarbonato (3.257,0 mg/l) e sulfatos (325,1 mg/l) e cátions sódio (1.333,1 mg/l) e potássio (135,1 mg/l). Os outros íons encontram-se com teores bastante reduzidos.

O resíduo seco situa-se em torno de 3.800 mg/l e a dureza total é baixa, de 3,8 mg/l. O bário ocorre com teores de 0,08 mg/l e o fosfato com 0,74 mg/l de P. A sílica apresenta-se com até 6,44 mg/l.

Outro ponto considerado como pertencente ao aquífero fraturado é o ponto 129 (clube da AABB). Todavia, como o poço se encontra próximo do Lago Inferior e os resultados apresentaram indícios de contaminação por bário (2,5 mg/l), pressupõe-se que a água esteja contaminada e não seja representativa do aquífero.



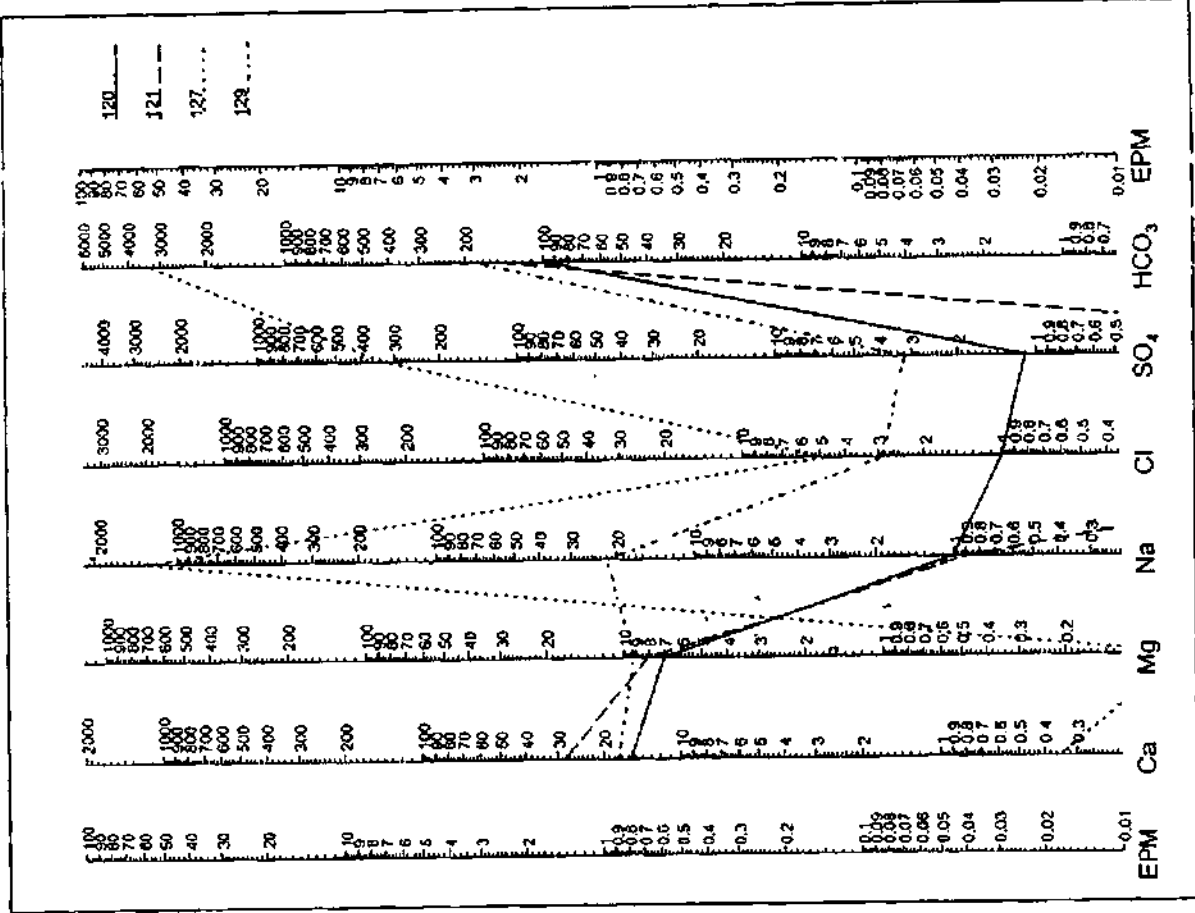


Figura 26 - Diagramas de Schoeller e Piper das águas do aqüífero fraturado.

PARÂMETROS					NÚMER	RO DO F	ONTO			
FÍSICO-QUÍMICOS	12	20	12	21	127				12	29
Local	Alto Pa	ulista 1	Alto Pa	ulista 2	Ft. Andra	de Júnior	Ft. Paulo	Cherulli	AA	вв
Natureza	Poço 1	rubular	Poço 1	ubular	Poço T	ubular	Nasc	ente	Poço T	ubular
Data	22/0	9/97	22/0	9/97	24/9	/97	24/9	/97	09/1	2/97
Temperatura <sup>o</sup> C (*in loco*)	22	2,8	22	2,8	29,	10	32	,4	24	i,7
Turbidez		1	-	1	6	3	3		-	2
Cor	<	5	<	5	<	5	</td <td>5</td> <td>&lt;</td> <td>5</td>	5	<	5
pН	7,	02	7,0	52	9,7	78	9,8	)4	7,8	89
Condut. Elétrica (uS/cm a 25°C)	168	3,40	223	,00	5.800	0,00	5.720	0,00	300	,00
Resíduo Seco (180°C)	123	3,00	150	,00	3.818	8,00	3.760	0,00	150	,00
Dureza de não Carbonatos (mg/l)	N	D	N	D	NI		N	,	N	D
Dureza de Carbonato (mg/l)	79	,20	109	,40	3,6	30	2,6		81,	81
Dureza Total (mg/l CaCO <sub>2</sub> )	79	,20	109	,40	3,8	30	2,6	80	81,	81
Radioatividade (Mache/l- 20°C)					44	,0	-			
Unidades	mg/l	meq/l	mg/l	meq/l	mg/t	meq/l	mg/l	meq/l	mg/l	meq/
Bicarbonato (HCO <sub>3</sub> - )	97,60	1,601	140,30	2,301	3.257,00	53,415	3.263,00	53,513	176,90	2,901
Carbonato (CO <sub>2</sub> =)	ND		ND		108,00		105,00		ND	<u> </u>
Cloretos ( Cl- )	1,00	0,03	ND		4,81	0,14	4,81	0,14	2,88	0,08
Sulfatos (SO <sub>4</sub> =)	1,10	0,02	ND		325,08	6,76	323,44	6,73	3,20	0,07
Nitritos ( NO <sub>2</sub> - )	<0,001		<0,001		ND		ND		ND	
Nitratos (NOs - )	0,20	0,003	0,14	0,002	0,42	0,007	0,27	0,004	ND	
Total		1,655		2,303		60,319		60,381		3,049
Cálcio (Ca++)	15,70	0,785	28,39	1,420	0,35	810,0	0,16	0,008	17,61	0,681
Magnésio ( Mg++)	7,00	0,578	8,10	0,669	0,07	0,006	0,06	0,005	9,19	0,759
Sódio (Na+)	1,01	0,044	0,90	0,039	1.333,10	57,990	1.332,98	57,985	21,96	0,955
Potássio (K+)	3,76	0,096	4,09	0,105	135,06	3,458	134,28	3,438	9,78	0,250
Ferro Total (Fe₂ +Fe₃ )	0,024	0,001	0,012	0,001	0,025	0,001	0,040	0,002	0,107	0,005
Manganès (Mn++)	0,004	0,000	<0,003		0,006	0,000	0,004	0,000	0,014	0,001
Total		1,505		2,233		61,472		61,437		2,851
% de erro da análise		10		3		2		2		7
Alumínio ( mg/l At )	N	D	N:	D	0,02	26	0,03	39		
Arsênio ( mg/l As )	N	D	<b>40</b> ,0	)10	NE	)	NE	)		
Bário (mg/l Ba)	0,4	12	0,6	21	0,0	78	0,00	37	2,5	35
Cádmio ( mg/t Cd )	N	D	Ni	D	0,00	01	N	)		
Chumbe ( mg/l Pb )	-N	D	N	D	NE	)	NE			
Cobre ( mg/l Cu )	<0,0	003	<0,0	03	<0,0	003	<0,0	003		
Cromo Total ( mg/l Cr )	<0,0	005	40,0	05	0,00	98	0,00	96		
Fluoreto ( mg/l F )	0,0	30	0,2	28	0,8	4	1,0	6	0,4	19
Fosfato total em P (mg/l)	0,2		0,0	8	0,7		0,7	4	0,0	)5
Lítio (mg/l Li)	N	D			0,10		0,10			
Níquel (mg/l Ni)					NE		NC			
Silica (mg/l Si )	6,9	-	9,0		6,43		5,90		13,8	39
Zinco (mg/l Zn)	0,0		0,0	09	0,00		0,00			
Selênio (mg/l Se)	NI	<u>ا</u>			NE	,	NE	, 		
Fenóis (mg/l Fn )		\							N	
Nitrog. Amoniacal ( mg/l N )	0,2		0,3	_	9,4		1,0		0,7	
Nitrog. Orgânico (mg/l N)	0,0	<i>1</i> ∠	N	,	NE	,	0,1	2	N	,

Quadro 13 - Principais características físico-químicas das águas do aqüífero fraturado, analisadas pela CPRM em 1997.

As diferenças de composição entre as águas do aqüífero fraturado estão relacionadas ao tipo litológico, ao tempo de trânsito e à profundidade por onde percolam as águas. As águas das fontes Andrade Júnior e Paulo Cherulli percolam por terrenos profundos e ricos em minerais sódicos (fenitos) e sulfetados (pirita) e as águas captadas do aqüífero fraturado em rochas quartzíticas (pontos 120 e 121) mais superficiais, são pouco mineralizadas, devido ao pouco tempo de trânsito no aqüífero e da provável escassez de fenitos, possivelmente já solubilizados nos horizontes mais próximos da superfície.

# 9.5.2 - A Presença do Bário nas Águas Subterrâneas

O bário é um elemento bastante raro na crosta terrestre. Encontra-se substituindo o potássio nos feldspatos, em alguns minerais de rochas ígneas e no mineral barita (BaSO<sub>4</sub>). A barita apresenta baixa solubilidade, o que ocasiona a escassa presença de bário em soluções. Alguns investigadores consideram que a presença de cloretos e outros ânions e cátions, em soluções diluídas, aumentam consideravelmente a solubilidade do bário (Hem, 1962).

No Barreiro, os elevados teores de bário começaram a ser detectados em 1982, após análises da água do lago da barragem B4, que recebia os efluentes do processo de beneficiamento do minério de nióbio. Para a concentração do minério, o pirocloro (BaNb<sub>2</sub>O<sub>6</sub>) era calcinado com cloreto de cálcio, onde o bário é substituído pelo cálcio, formando, como um dos produtos finais, cloreto de bário (BaCl<sub>2</sub>), que é um sal altamente solúvel.

O cloreto de bário era, então, descartado e lançado na barragem de rejeito B4 (fotos 07 e 08), juntamente com outros resíduos. A partir da massa de rejeito, o bário contaminou as águas subterrâneas e superficiais, mas, principalmente, as subterrâneas.

A solução adotada foi a introdução, nos corpos d'água, de sulfato de sódio, que, em solução com o cloreto de bário, forma barita, mineral pouco solúvel e abundante na área (BaCl<sub>2</sub> + SO<sub>4</sub>Na<sub>2</sub>  $\rightarrow$  BaSO<sub>4</sub> $^-$  + 2 ClNa).

A neutralização foi e continua sendo feita através da injeção ininterrupta de sulfato de sódio por meio de infiltradores localizados em pontos estratégicos (definidos a partir de poços de monitoramento) que estão a jusante da barragem e na área assoreada do lago B4.

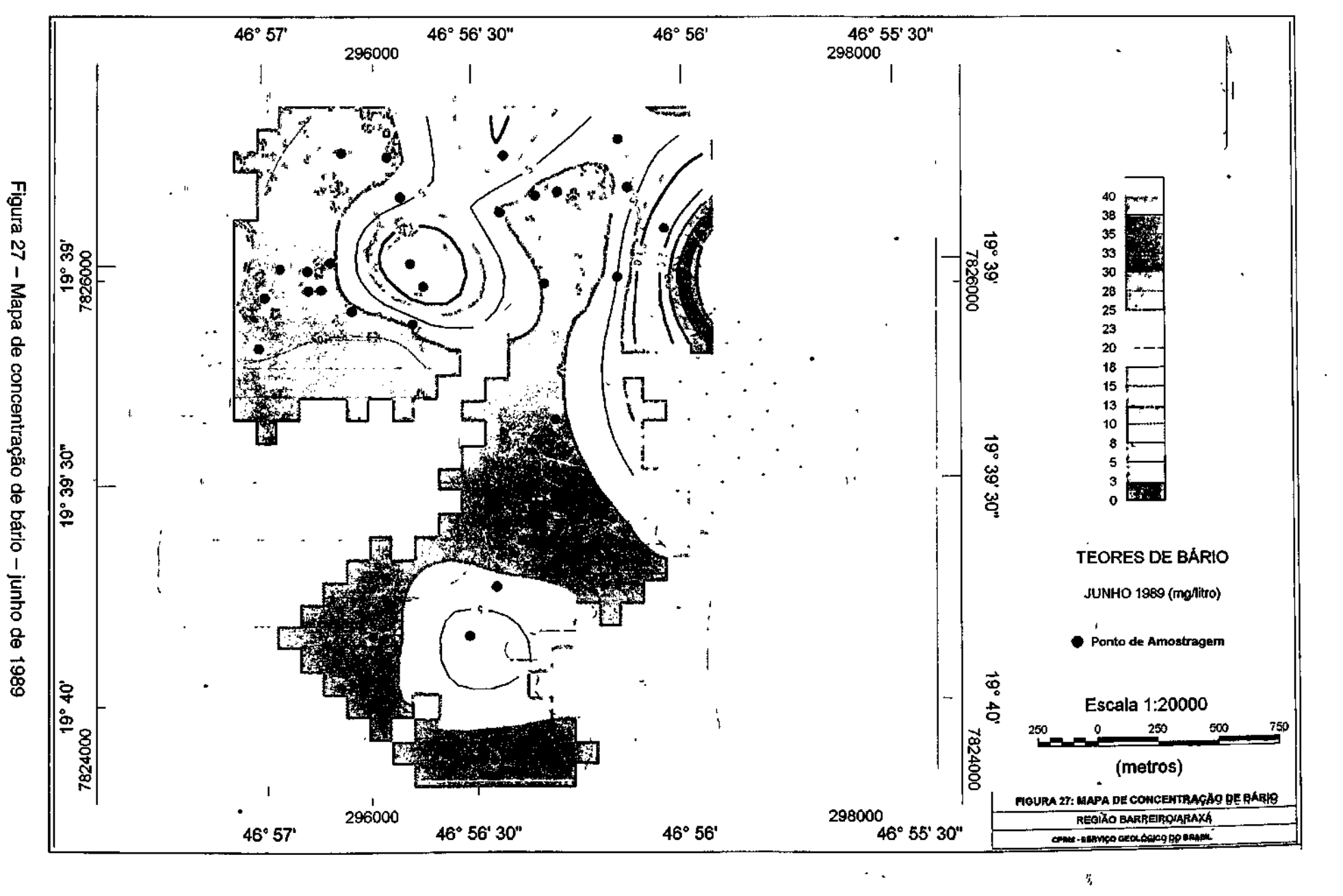
A solução também é lançada no lago da barragem B4 e no canal homogeneizador a jusante, que recebe a água bombeada dos poços de sangria e do lago B4, rebaixando, desta maneira, o teor de bário nas águas superficiais da barragem "D" e no córrego da Mata.

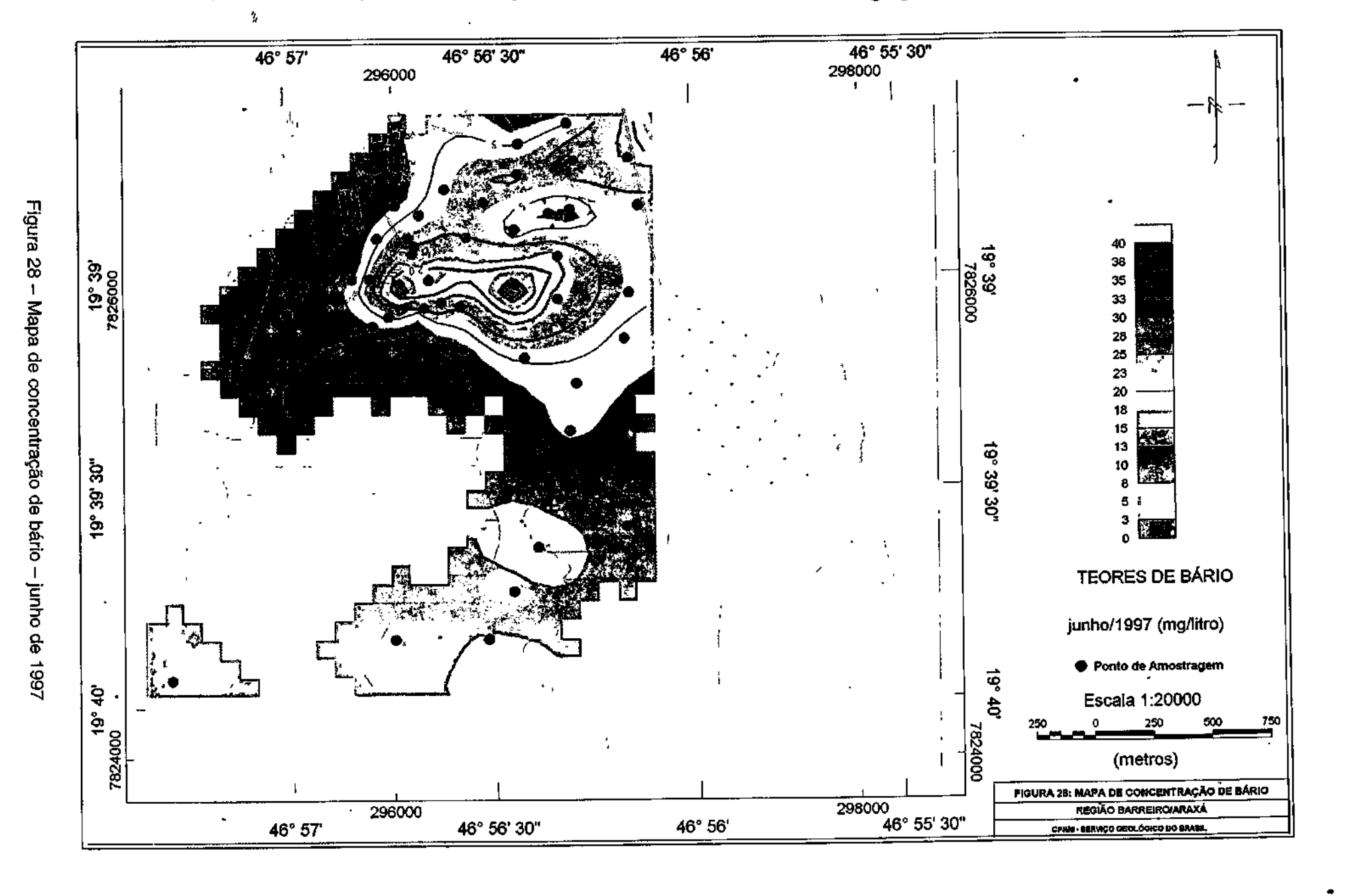
Os resultados do monitoramento químico nos poços (considerados a partir de 1989) mostram valores da ordem de até 37,3 mg/l de bário. Os maiores valores situam-se justamente na posição atual da pluma contaminante, no campo de futebol, próximo à barragem "A".

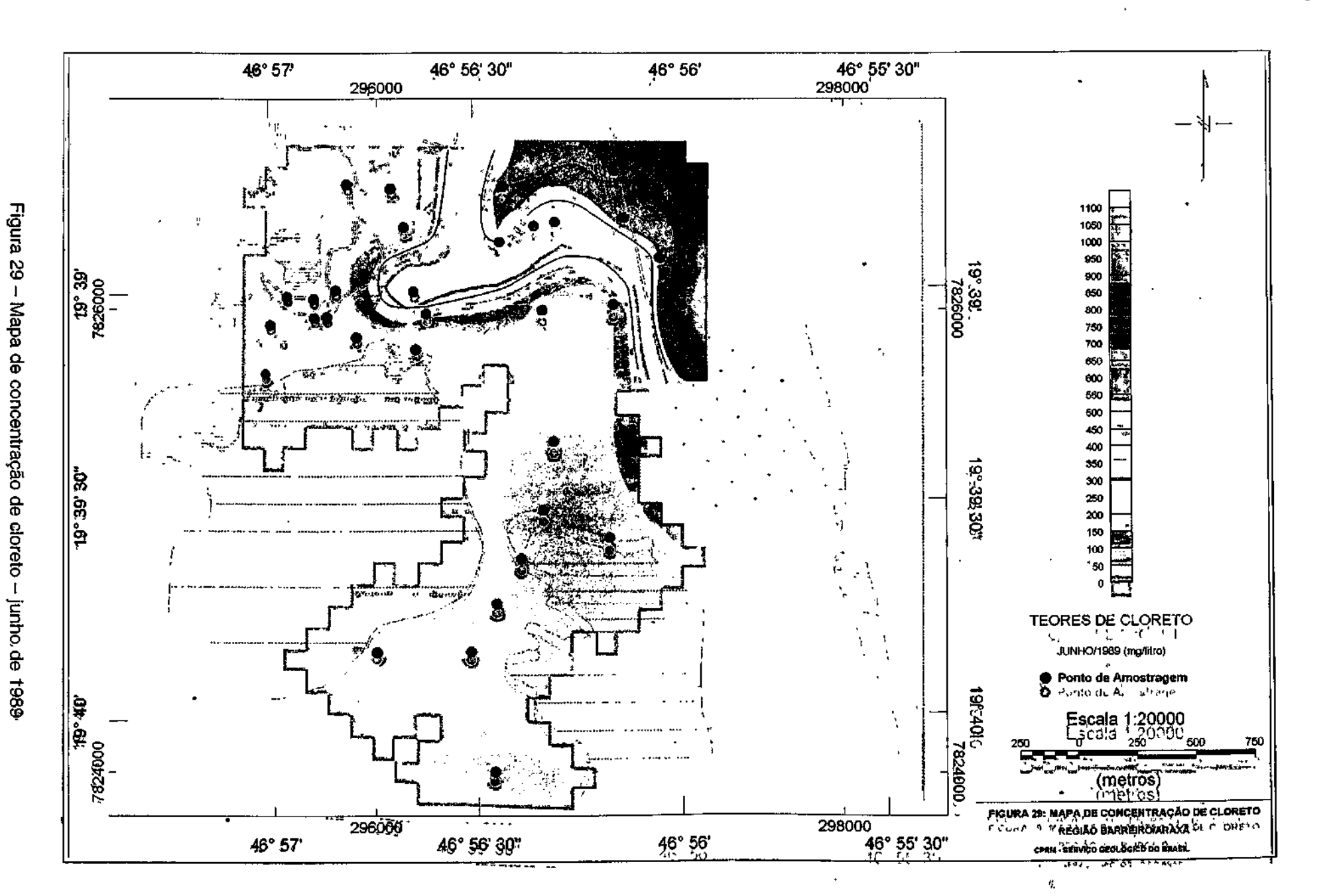
As figuras 27 a 30 mostram a situação do enclave contaminado em jun/1989 e jun/1997 a partir dos teores de bário e cloretos. Para a elaboração dos mapas de contomo, utilizou-se o programa Geosoft da PGW e tomaram-se os maiores valores, independente das profundidades amostradas.

A análise das figuras indica que houve um deslocamento da pluma de contaminação, que, antes, se concentrava na barragem B4 e ao longo do córrego da Mata para a área do depósito de finos (estéril) da CAMIG e a montante em direção à barragem B4.

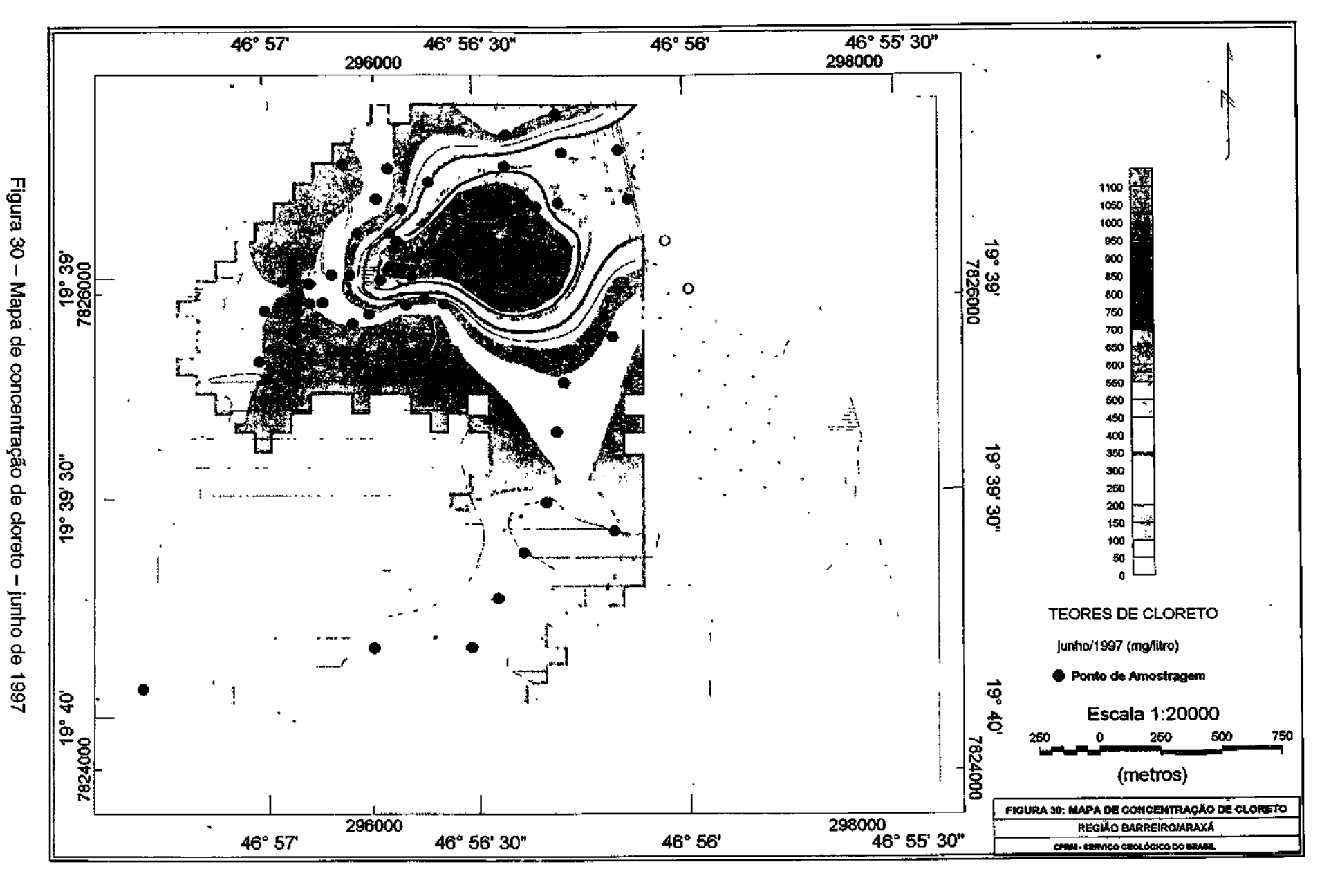
Isto indica que as medidas de bombeamento e neutralização contínua, executadas na área da barragem B4 e ao longo do córrego da Mata, apresentaram efeitos positivos e, ao mesmo tempo, comprovam a necessidade de atitudes similares na área onde atualmente se encontra o enclave. Ou seja, é necessária a perfuração de novos poços para o bombeamento contínuo e infiltração da solução de sulfato de sódio para o esgotamento e a neutralização do enclave contaminado na área próxima da barragem "A".







and the state of the state of the



A proximidade em que a pluma contaminada se encontra do Parque das Águas e da fonte D. Beja em 1997 pode ser observada nas figuras 27 a 30. Esta proximidade indica riscos de contaminação do lençol que abastece a fonte. A visualização também é notada na figura 31, que mostra isolinhas de condutividade elétrica que têm uma correlação estreita com a quantidade de íons dissolvidos na água.

Estudos realizados por Pratini (1995), entre 1991 e 1995, indicaram o aumento dos teores de bário e cloretos nas amostras da fonte Beja e do córrego Baritina, possivelmente, relacionado à presença próxima da pluma contaminante.

Resultados do monitoramento realizado em junho de 1997, na fonte D. Beja, apresentaram valores menores do que os medidos em 1994, por Pratini. Todavia, pela proximidade da pluma, esta diminuição não descarta o risco iminente de contaminação e, possivelmente, esta diminuição esteja relacionada com as variações sazonais de recarga, onde um maior volume de recarga pluvial durante um período, ou mesmo de infiltração das barragens "E", "F", "A" e "G", tenha favorecido a diluição da pluma contaminada na zona de interface.

Talvez a explicação para que a presença da pluma contaminada ainda não tenha sido efetivamente detectada na área do anel verde seja a maior contribuição da recarga oriunda da área da mina da Arafértil e do anel verde, juntamente com as barragens "E", "F", "A" e "G", que favorecem a diluição da água contaminada e impedem o avanço da pluma.

Alterações do volume de descarga que possam ter como causa taxas de bombeamento acima da taxa de recarga possivelmente criarão um gradiente que induzirá o fluxo na direção do anel verde, contaminando esta zona do aquífero.

Isto demonstra a importância de se manter a explotação do aquifero, na área do anel verde, submetida a taxas controladas de maneira a evitar-se uma possível contaminação por bário e/ou cloreto de sódio.

A presença de altos e crescentes teores de cloreto de sódio nas áreas de neutralização da pluma contaminada deverá ser mais bem estudada, pois, de acordo com estudos realizados (Hem ,1960, p133), a presença de cloretos e outros ânions e cátions aumenta consideravelmente a solubilidade do sulfato de bário (barita), normalmente pouco solúvel.

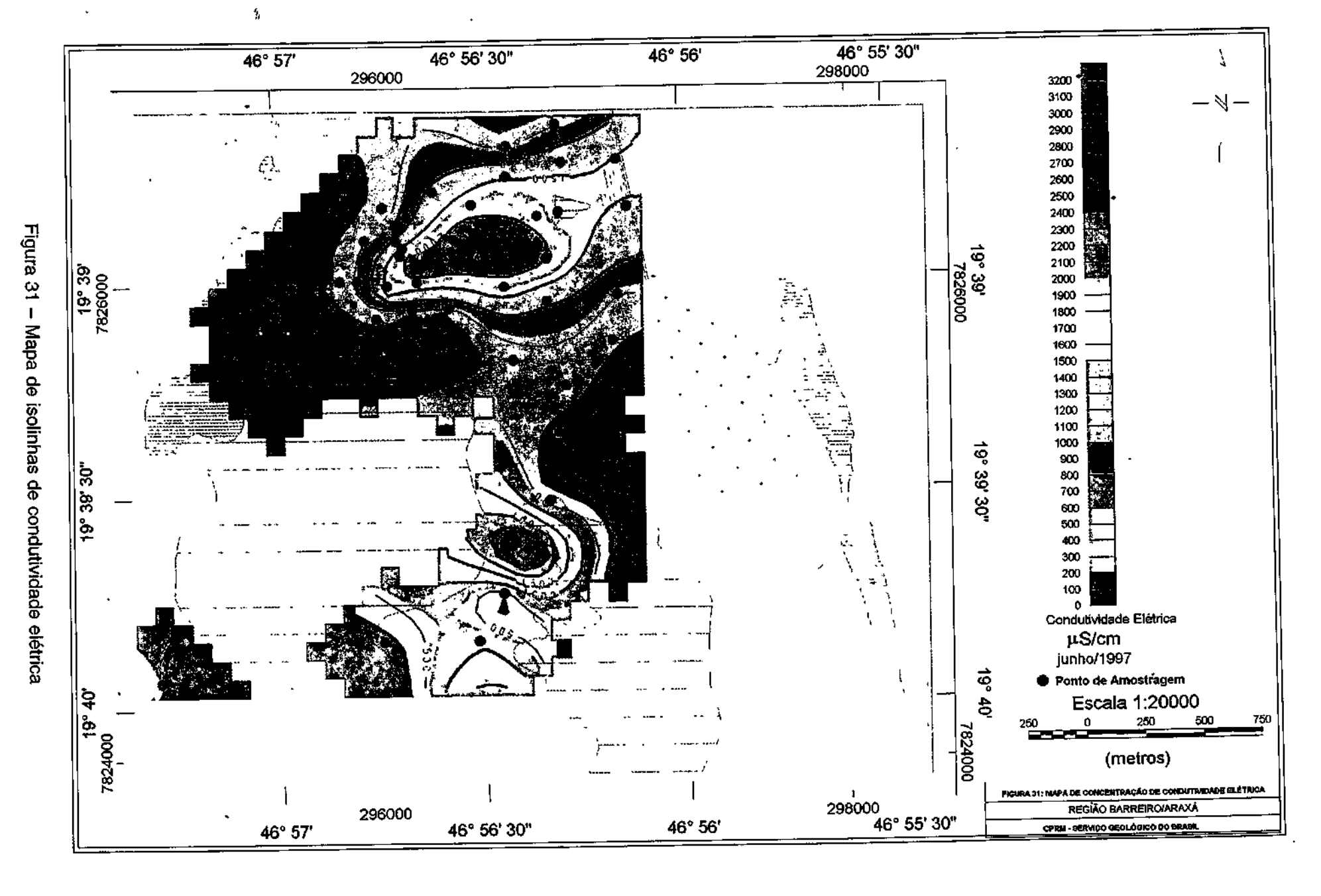
O bário também foi encontrado na amostra da água proveniente do poço 129 (AABB) que está no aquifero fraturado, no quartzito, e vizinho ao Lago Inferior (ou do Barreiro).

O teor encontrado de 2,5 mg/l é anômalo em relação aos outros dois poços do mesmo aquifero (0,6 e 0,4 mg/l). A sua presença neste aquifero, provavelmente, está relacionada à contaminação da água do lago que é receptor das águas do córrego da Mata e Baritina que drenam o enclave contaminado. Um estudo mais detalhado poderá confirmar, ou não, a influência do enclave contaminante nas águas superficiais e subterrâneas a jusante da área do córrego da Mata e barragem B4.

Em poços fora da área do enclave contaminado, em águas naturais do aqüífero Barreiro, nota-se que os teores de bário são relativamente baixos, da ordem de 1,35 mg/l, em média, oriundos da dissolução do carbonato de bário existente nas rochas do Complexo.

A observação de poços de monitoramento multiníveis (pontos 73 - 217/405 e 51 - 190/460) no aquifero não contaminado mostra que os teores aumentam com a profundidade da água captada.

O ponto 51, próximo à fonte D. Beja, apresenta variações de 1,2 mg/l a 30,6 m de profundidade, até cerca de 2,0 mg/l a 74,5 m (CBMM - jun/97). Isto está de acordo com o sistema de recarga pluvial que predomina, onde águas com menos tempo de residência apresentam menor mineralização e, conseqüentemente, menores teores de bário.



# 9.6 - Qualidade das Águas Subterrâneas

A qualidade de uma água é definida pela sua composição física, química e biológica. A avaliação desses parâmetros permite classificá-las quanto a sua potabilidade, indicando a presença de impurezas, substâncias tóxicas e microbiológicas. O conhecimento dos efeitos que pode causar cada um dos elementos nela contidos, ou o conjunto de todos eles, permite estabelecer as possibilidades de uso. Vale ressaltar que água natural e de boa qualidade não são sinônimos.

Os resultados apresentados são decorrentes da análise das amostragens efetuadas durante o estudo, e deverão ser considerados com reservas, uma vez que a quantidade de dados obtidos não permite caracterizar de forma categórica a qualidade das águas. Isso, devido à ausência, nas análises realizadas, de outros parâmetros que possivelmente indicassem outros tipos de contaminações e, também, pela falta de uma série histórica de análises dos parâmetros considerados.

Os resultados físico-químicos considerados são os constantes no quadros 9 - A e B e 13, que reproduzem os valores encontrados nas análises efetuadas em julho, setembro e dezembro de 1997.

O quadro 14 reproduz os valores máximos permitidos para águas destinadas ao consumo humano, segundo a Portaria 36/90 do Ministério da Saúde. Também constam deste quadro os valores estabelecidos pela Resolução 20/86 do CONAMA para a classe especial, os padrões utilizados pela Organização Mundial de Saúde e os do Ministério da Saúde para águas minerais e potáveis de mesa (Resolução 25/76).

De acordo com os resultados, as águas naturais apresentam valores acima do permitido, principalmente quanto ao teor de bário no aqüífero intergranular ou Barreiro e, também, quanto aos teores de nitrogênio amoniacal no aqüífero intergranular e fraturado.

O valor máximo de bário permitido pela legislação brasileira é de 1,0 mg/l, tanto para águas de consumo humano como minerais. Por outro lado, a Agência de Proteção Ambiental dos Estados Unidos (USEPA) estabelece um valor máximo de 2,0 mg/l (Fetter, 1994, p. 437).

O bário é um metal que pode provocar intoxicações agudas. A ação do bário se produz sobre a célula muscular, aumentando o tônus muscular e a pressão arterial. Localiza-se no tecido ósseo, muscular, medula óssea, baço, pulmão e mucosa intestinal. Não há acumulação hepática.

A dose letal de bário (absorvível) é de aproximadamente 1 g, sendo que o cloreto de bário tem dose letal de cerca de 2 a 4 gramas. Os sintomas são vômitos, convulsões, paralisia, diarréia, dor abdominal, zumbido, vertigens, midríase, tremores fibrilares musculares, fraqueza, dificuldade respiratória, apnéia, asfixia e dispnéia. A morte pode ocorrer por parada cardiorrespiratória.

As águas provenientes do enclave contaminante encontram-se poluídas por cloreto de bário e pela solução neutralizante de sulfato de sódio. Esta contaminação aumentou, consideravelmente, os teores de cloreto de sódio e bário, inviabilizando o uso para consumo humano. Nesta área, os teores médios de bário são da ordem de 18,0 mg/l.

As águas naturais do aqüífero Barreiro apresentaram teores de bário entre 0,5 e 2,0 mg/l e a sua presença está relacionada com as rochas carbonatíticas, onde ocorre como barita (pouco solúvel) e sob a forma de carbonato de bário, de onde é solubilizado.

No aquifero fraturado, o bário ocorre com teores baixos (0,52 mg/l), inclusive nas águas profundas da fonte Andrade Júnior.

O nitrogênio amoniacal ocorre de forma generalizada, em praticamente todas as amostras analisadas, atingindo valores elevados de até 2,45 mg/l (ponto 12 - PBD-4).

CPRM - Serviço Geológico do Brasil

0,01 / 0,05

10

0,01

0,04

0,001

0.004

\_\_

---

10

3

10

---

0,3

10

10

0,03

10

0.01

0.3

0,2

0,1

3

30

10

3

10

5

100

100

0,3

10

100

10

0,03

10

0,1

0,03

1

---

0,1

0,01

3

30

10

3

10

---

\*\*\*

---

---

10

100

10

UNIDADE

ug/l

υg/l

ug/l

ug/i

ug/I

ug/l

	UNIDADE	*	**	AAA	***	PARÂMETRO
PARÂMETRO		0.0	0,5	0.2		ALDRIN e DIELDRIN
AGENTES TENSOATIVOS (DETERGENTES)	mg/I LAS	0,2	0,3	0.2		BENZENO
ALUMÍNIO	mg/I Al	-0,2	0.02	0.01		BENZENO-A-PIRENO
AMÔNIA NÃO IONIZÁVEL	mg/I NH3	0,05	0,02	0,05	0.05	CLOBOANO (total de isômeros)
ARSÊNIO	mg/l As	1.0	1,0	1.0	1.0	DDT (P-P/DDT; O-PDDT P-P/DDE; O-P/DDE)
BÁRIO	mg/l Ba		0,1			ENDRIN
BERÍUO	mg/l Be		0,75			HEPTACLORO E HEPTACLORO EPÓXIDO
BORO	mg/IB	0,005	0.001	0.005	0.01	HEXACLOROBENZENO
CÁDMIO	mg/1 Cd	0.05	0,03	0,05	0.05	LINDANO (GAMA HCH)
CHUMBO	mg/l Pb	0,05	0,03	0.1	0.2	METOXICLORO
CIANETOS	mg/I CN	250	250	250	100	PENTACLOROFENOL
CLORETOS	mg/I CI	250	0,2	2,50		TETRACLORETO DE CARBONO
COBALTO	mg/l Co	1,0	0.02	1,0	1.0	TETRACLOROETENO
COBRE	mg/t Cu		0,02	10 (2)	0 (3)	TOXAFENO
COLIFORMES TOTAIS	NMP/100 ml	0 (1)	<del></del>	5	5	TRICLOROETENO
COR APARENTE	UH		0,5	<del></del>		TRIHALOMETANOS
CROMO TRIVALENTE	mg/I Cr		0.05		0.05	1/1 DICLOROETANO
CROMO HEXAVALENTE	mg/l Cr	0.05		0.05		1/2 DICLOROETANO
CROMO TOTAL	mg/l Cr		3	-6		2/4 D
D.B.O	mg/I O2			10		2/4/6 TRICLOROFENOL
D.Q.O.	mg/l O2	500				2-10-11
DUREZA TOTAL	mg/l CeCO3	500	2.0			
ESTANHO	mg/l Sn		0.001	0,001		<ul> <li>MINISTÉRIO DA SAÚDE - Portari</li> </ul>
FENÓIS	mg/I C6H5OH	0,001	0.03	0,001		
FERRO TOTAL	mg/l Fe	0,3	1.4	1,5	1.0	CONAMA - Resolução n. 20 - clas
FLUORETOS	mg/lF		0,025			
FOSFATO TOTAL	mg/LP					O.M.S "International Standards
LITIO	mg/lLi		2,5 0.1	0.1	0.05	Concentração Máxima A
MANGANÉS	mg/I Mn	0,1	0.0002	0.001	0,001	1
MERCÚRIO	mg/I Hg	0,001	10	10	0,001	MINISTÉRIO DA SAÚDE - Portar
NITRATOS	mg/l N	10		- 10	ŏ	Resolução n. 25 (13/8/1976)
NITRITOS	mg/l N	***	1		0.03	- ÁGUAS MINERAIS E NATURAI
N-ALBUMINÓIDE	mg/I NH3				0,05	1
N-AMONIACAL	mg/I NH3			1	0,00	(1) - 95% das amostras devem aprese
ÓLEOS E GRAXAS	mg/l				4,5	totais em 100 ml, nas 5% restante
OXIGÊNIO CONSUMIDO ( meio ácido )	mg/1 O2					totais em 100 ml, desde que não
OXIGENIO DISSOLVIDO	mg/I O2		> 6,0	7,0 - 8,5		
pH		6,5 - 8,5		0,05		<b>-</b>
PRATA	mg/l Ag	0,05	0,01	0,05	1.500	(2) - Em águas sem tratamento, o NM
RESIDUO SECO	mg/l (180 oC)		0.04	0.01	0.01	amostras examinadas em 1 ano.
SELENIO	mg/l Se	0,01	0,01	500	0,01	Não se permite um NMP maior q
SÓLIDOS TOTAIS DISSOLVIDOS	mg/l	1000	500	400		┥
SULFATOS	mg/1 SO4	400	250			(3) - Escherichia Coll ausente em 10
SULFETOS	mg/t S	0,025	0,002		3	1 \-'
TURBIDEZ	υT	1		5	1 3 - 5 -	-1
ZINÇO	mg/t Zn	5	0,18	5	<del></del>	J

MINISTÉRIO DA SAÚDE - Portaria n. 36 (19/1/90)

- -- CONAMA Resolução n. 20 classe especial (19/1/90)
- --- O.M.S. "International Standards for Drinking Water (1984). Concentração Máxima Aceitável.
- MINISTÉRIO DA SAÚDE Portaria n. 1.003 -Resolução n. 25 (13/8/1976)
  - ÁGUAS MINERAIS E NATURAIS DE FONTE
- (1) 95% das amostras devem apresentar ausência de coliformes totais em 100 ml, nas 5% restantes serão tolerados até 10 coliformes totais em 100 ml, desde que não ocorra em 2 (duas) análises consecutivas.
- (2) Em águas sem tratamento, o NMP será menor que 10 em 90% das amostras examinadas em 1 ano. Nenhuma superará o Indice de 20. Não se permite um NMP maior que 15 em duas análises consecutivas.
- (3) Escherichia Coll ausente em 100 ml

de qualidade para águas

Quadro

74

**Padrões** 

destinadas a consumo humano

A sua presença, possivelmente, é decorrente da decomposição de matéria orgânica existente no solo. Devido à infiltração relativamente rápida, a água rica em nitrogênio amoniacal atinge a zona saturada sem transformações ou retenções no solo.

Outros elementos que ocorrem com relativa freqüência acima do padrão de potabilidade são ferro e manganês, atingindo até 7,644 e 0,482 mg/l, respectivamente (ponto 54D - 193/503D). A presença deles está relacionada aos minerais metálicos existentes no carbonatito (pirita, hematita, magnetita, goetita e ilmenita).

Uma vez que a recarga do aqüífero intergranular está intimamente relacionada com a infiltração de águas da precipitação atmosférica e das barragens do anel verde, a qualidade das águas de recarga deverá ser considerada na preservação do aqüífero. Principalmente as águas das barragens, que drenam a área da mina de fosfato, deverão estar isentas de elementos contaminantes móveis e persistentes gerados pelo tráfego intenso de veículos pesados, manutenção ocasional de máquinas e veículos, vazamentos de combustível, eutrofização das barragens, etc.

## 9.7 - Vulnerabilidade Natural dos Aquíferos

O termo vulnerabilidade do aqüífero à contaminação é utilizado para representar as características intrínsecas que determinam a susceptibilidade de um aqüífero ser adversamente afetado por uma carga contaminante (Foster, 1993).

A vulnerabilidade é função da inacessibilidade hidráulica da zona saturada à penetração de contaminantes e da capacidade de retenção física e reações químicas com contaminantes nos estratos da zona não saturada.

Partindo deste princípio, a vulnerabilidade pode ser classificada baseando-se nos seguintes parâmetros:

- 1. Profundidade do nível freático.
- 2. Tipo de ocorrência da água subterrânea (confinado, semiconfinado, livre e surgente).
- 3. Características litológicas e graus de consolidação dos estratos acima da zona não saturada.

A cada um desses fatores é definic o um valor na escala de 0 a 1 e o produto entre eles é o índice de vulnerabilidade do aqüífero. O índice obtido está associado às vulnerabilidades que vão de nenhuma a extrema (figura 32).

Vale ressaltar que esta classificação e apenas como de reconhecimento e deverá ser considerada com cautela quando se tratar de contaminantes móveis e persistentes no solo. Na verdade, a vulnerabilidade deverá ser avaliada para cada tipo de contaminante (bacteriológicos, metais, químicos orgânicos, etc) ou cada grur o de atividades contaminantes (saneamento, effuentes industriais, atividades agrícolas, etc), pois o conceito de "vulnerabilidade ampla a um contaminante universal em um cenário típico de contaminação" não tem validez.

Outra consideração são as áreas onde predominam aqüíferos fraturados, naturalmente heterogêneos e anisotrópicos, o que dificulta o estabelecimento das superfícies freáticas quando não se dispõe de uma densidade e confiabilidade de dados adequadas.

Todavia, procurou-se, a partir dos dados levantados, delinear um mapa de referência a título de reconhecimento e tecnicamente válido, desde que não se trate de contaminantes móveis e persistentes que não sofram transformações ou retenções no solo.

Também deve ser considerado que tubulões de edificações, poços tubulares mal construídos e abandonados, loteamentos, ruas e estradas, ou melhor, qualquer obra de engenharia poderá alterar as condições naturais do solo e dos níveis freáticos, ocasionando modificações, às vezes extremas, na vulnerabilidade.

Substrato Litológico

**EXTREMA** 

CONSOLIDADO

(rochas porosas)

CONSOLIDADO (rochas densas)

AA

Profundidade da Água Subterrânea

O Mapa de Vulnerabilidade Natural dos Aqüíferos indica que, na região do Barreiro, ocorrem classes de vulnerabilidade baixa, moderada e alta. Predominam as classes moderada e baixa e, para a elaboração do mapa, utilizaram-se as seguintes considerações e valores, de acordo com a figura 30.

Vulnerabilidade Baixa: Aquíferos não confinados ou livres (1,0), em solos residuais (0,4) e níveis freáticos > 20 metros (0,6).

Aqüíferos livres, cobertos (0,6), em quartzitos fraturados (0,8) e níveis freáticos > 20 metros (0,6).

Vulnerabilidade Moderada: Aqüíferos livres (1,0), em solos residuais (0,4) e níveis freáticos < 5 metros (0,9) e de 5 a 20 metros (0,7).

Aquíferos livres com pouca espessura de solo (0,7), em quartzitos fraturados (0,8) e níveis freáticos < 20 m (0,8).

Vulnerabilidade Alta: Aquíferos livres (1,0), em solos residuais do carbonatito (0,6) e níveis freáticos < 5 metros (0,9).

Aqüíferos livres, isentos ou com pouca espessura de solo (0,8), em quartzitos fraturados (0,8) e níveis freáticos < 5 metros (0,9).

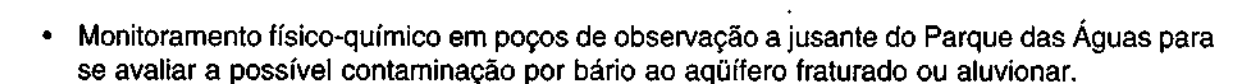
## 9.8 - Conclusões

- Os aqüíferos da região do Barreiro são do tipo intergranular, livres e semiconfinados no manto de intemperismo das rochas do Complexo Carbonatítico e das rochas encaixantes (quartzitos e xistos), e fraturado livre a confinado nos quartzitos, xistos e nas rochas carbonatíticas frescas.
- Genericamente, a recarga do aquifero intergranular ou Barreiro se dá por infiltração pluvial direta nas áreas topograficamente mais elevadas, e escoa em subsuperfície por linhas de fluxo convergentes até o nível de base, ou zona de descarga, que são os Lagos Superior e Inferior (Lago do Grande Hotel e do Barreiro) na área do Parque das Águas. A recarga, também, verifica-se nas proximidades do anel verde e do Parque das Águas pela infiltração pluvial e pela infiltração das águas acumuladas nos lagos das barragens "E", "F", "A" e "B".
- A recarga do aquifero fraturado se dá por infiltração direta de águas de precipitação atmosférica, nos poucos pontos de afloramento, e por contribuições da infiltração de águas do solo residual que o recobre. A percolação da água pode atingir grandes profundidades nas rochas quartzíticas em razão do intenso fraturamento a que foi submetida a rocha durante a intrusão do carbonatito.
- Existem cerca de 131 pontos d'água entre poços de abastecimento doméstico, de sangria do enclave contaminado, de infiltração de solução neutralizante, de piezômetros de monitoramento químico e níveis piezométricos (alguns de níveis múltiplos), de poços de extração de água mineral e nascentes. A maioria foi ou é utilizada no monitoramento e na neutralização do enclave contaminado por cloreto de bário e no monitoramento do rebaixamento da mina de fosfato.
- A manutenção e a limpeza dos poços de monitoramento são feitas periodicamente somente nos poços pertencentes à CBMM. Os poços que não têm manutenção podem apresentar resultados físico-químicos e piezométricos errôneos.
- Existem cerca de 39 poços desativados, por motivos diversos, e abandonados sem terem sidos adequadamente cimentados de maneira a evitar os riscos de contaminação ao aquifero.
- A água da fonte Dona Beja é proveniente da infiltração de águas pluviais na área da cava da mina da Arafértil e do anel verde e parte da recarga exercida pelas barragens "F", "E", "A" e "G".

- A fonte D. Beja tem apresentado aumento de vazão desde a implantação das barragens no anel verde.
- A água da fonte Andrade Júnior tem origem provável nos quartzítos intensamente fraturados, preenchidos por minerais sódicos. A percolação atingiria grandes profundidades (centenas de metros), atingindo a zona de contato com as rochas do Complexo Carbonatítico até aflorar em superfície justamente no contato superficial entre estas duas unidades litológicas, que é bastante próximo de onde se encontra a fonte.
- As águas naturais do aquífero intergranular são do tipo bicarbonatadas cálcicas, oligominerais, frias, radioativas, alcalinas a levemente ácidas. Os teores de bário situam-se em torno de 1,4 mg/l.
- As águas do enclave contaminado são do tipo cloretadas cálcicas, frias, duras, ácidas a alcalinas, com teores de bário e cloretos bastante elevados (média de 27,3 e 533,0 mg/l, respectivamente).
- O bário, nas águas naturais locais, tem origem na dissolução do carbonato de bário existente no carbonatito. Os altos teores da pluma contaminante têm origem na barragem de efluentes B4, que acumulou grandes quantidades de cloreto de bário, resíduo do beneficiamento do minério.
- Existe um zoneamento vertical de teores de bário no aquifero intergranular não contaminado devido à recarga pluvial, onde horizontes superficiais do aquifero apresentam menores teores do que águas em profundidade.
- Durante os últimos anos, a pluma contaminante tem-se deslocado em direção ao Parque das Águas e à fonte Dona Beja. Este deslocamento e a atual proximidade sugerem riscos de contaminação do lençol que abastece a fonte. A maior contribuição da recarga oriunda da área da mina da Arafértil e do anel verde, juntamente com as barragens "E", "F", "A" e "G", favorece a diluição da água contaminada e impede o avanço da pluma. Todavia, o aumento nas taxas de bombeamento dos poços na área do anel verde poderá criar um gradiente, favorecendo a avanço da pluma nesta direção.
- A qualidade das águas pode ser comprometida pelos teores de bário encontrado nas águas do aqüífero Barreiro e pelos teores elevados proporcionados pela contaminação da barragem B4. O nitrogênio amoniacal, encontrado em praticamente todas as águas amostradas, está acima dos limites de potabilidade definido para águas minerais.
- A vulnerabilidade natural dos aquíferos varia de baixa a alta. A vulnerabilidade considerada alta está na área do Parque das Águas, onde os níveis freáticos dos aquíferos se encontram bastante próximos da superfície. A vulnerabilidade baixa está a montante das minas de fosfato e nióbio, onde o nível freático se encontra a profundidades maiores que 20 metros. Para se avaliar o risco de contaminação aos aquíferos, por qualquer atividade, deverá levarse em conta a classe de vulnerabilidade local e o tipo ou atividade contaminante.

#### 9.9 - Recomendações

- Perfuração de novos poços para o bombeamento contínuo e a infiltração da solução de sulfato de sódio para o esgotamento e a neutralização do enclave contaminado próximo da barragem "A".
- Estabelecimento, na área do anel verde, de taxas de bombeamento que não ultrapassem a de recarga, de maneira a evitar-se uma alteração na direção do fluxo da pluma contaminante para esta zona do aquifero.



- · Limpeza periódica dos poços monitorados pela Arafértil.
- Proteção física dos poços de monitoramento para se evitar depredações por transeuntes locais.
- Cimentação dos poços abandonados para se evitar contaminação acidental ou proposital dos aquiferos.
- Análises físico-químicas e microbiológicas periódicas (segundo a Resolução 25/76 Ministério da Saúde) nas águas dos poços Beja 01, 02 e 03.
- Medições piezométricas periódicas nos poços do Beja 01, 02 e 03 para se avaliar um possível rebaixamento do lençol freático e consequente queda de vazão.
- Monitoramento físico-químico completo em poços a serem perfurados próximos às barragens "E", "F", "A" e "G", para se avaliar a qualidade das águas infiltradas no aquífero e oriundas da área da mina de fosfato.
- Preservação das áreas de vulnerabilidade alta, evitando atividades contaminantes como postos de serviço, oficinas, pequenas indústrias, hortas intensivas, currais, etc.
- Avaliação do assoreamento das barragens decorrente das atividades das minas de fosfato e nióbio. O assoreamento diminuirá a eficácia da recarga do aquifero no anel verde.

# Capítulo 10

# Zoneamento Ecológico-Econômico

# 10.1 - Objetivo específico

A delimitação de unidades ambientais da região do Barreiro tem por finalidade a atribuição de controles administrativos sobre sua ocupação, estabelecendo normas de uso do solo e manejo de recursos naturais, refletindo a intenção social quanto ao padrão de desenvolvimento desejável para a região.

Seu principal objetivo reside no estabelecimento de medidas de proteção ou de conservação das áreas, cuja ocupação inadequada altera a produção e a qualidade das águas, afetando o equilíbrio hidrológico das bacias fluviais e dos aquiferos subterrâneos.

O Complexo turístico do Barreiro está inserido em contexto geológico, onde coexistem atividades minerais de grande importância econômica, responsáveis pela geração de empregos e principal fonte de renda do município, contribuindo expressivamente para a arrecadação do Estado e do País. De acordo com os dados do Anuário Mineral Brasileiro - 1996, do DNPM, o valor da produção de nióbio pela CBMM atingiu US\$ 18.567 508, em 1995.

#### 10.2 - Metodologia

A formulação do diagnóstico ambiental da bacia do Barreiro, bem como a definição e a delimitação das unidades ambientais propostas, exige análises consistentes de um conjunto de temas e de seus fatores intervenientes. Para caracterização do meio físico e de sua cobertura vegetal, foram utilizados os levantamentos geológicos, do uso da terra, hidrológico e hidrogeológicos, realizados pela CPRM no âmbito do Projeto Araxá. A análise e a integração desses temas, frente às tendências socioeconômicas da região, permitiram delimitar as unidades ambientais que compõem o zoneamento proposto.

#### 10.3 - Zoneamento

A definição e a caracterização das unidades ambientais visam fornecer orientações programáticas e respectivas normas gerais para o disciplinamento do uso e ocupação do meio físico. O zoneamento proposto é formado por Zona de Proteção, Zona de Conservação de Uso Disciplinado e Zona de Atividades Mínero-Industriais, regidas por leis específicas.

Os espaços delimitados com a função de proteger os sistemas naturais existentes, cuja utilização dependerá de normas de controle rigorosas, são denominados zona de proteção. A zona de conservação delimita os espaços cuja função é permitir a ocupação sob condições adequadas de manejo e cujo uso requer critérios menos rígidos, denominada zona de conservação de uso disciplinado.

Para efeito do estabelecimento dos critérios de uso e ocupação do solo, foram definidas as seguintes categorias de controle:

Uso Permitido ou tolerado\* - são categorias de uso e ocupação do solo compatíveis com as funções e diretrizes da zona considerada ou atividades já existentes na área\*, mas que deverão merecer restrições em seu desenvolvimento.

Uso Proibido - são categorias de uso e ocupação do solo incompatíveis com as funções e diretrizes da zona considerada.

O zoneamento proposto para a bacia do Barreiro é constituído das seguintes zonas, conforme delimitação constante das Figuras 33, 34 e 35 e do Mapa de Zoneamento Ecológico-Econômico, escala 1:10 000, anexos à presente publicação:

Zona de Proteção dos Recursos Hídricos - ZPRH

Zona de Conservação de Uso Disciplinado - ZCUD

Zona de Atividade Mineira e Industrial - ZAMI

#### 10.3.1 - Zona de Proteção dos Recursos Hídricos - ZPRH

#### 10.3.1.1 - Função

Proteger os recursos hídricos superficiais e subterrâneos, bem como a vegetação primitiva e secundária existente, visando preservar os cursos d'água, lagoas, fontes hidrominerais e aquiferos subterrâneos.

### 10.3.1.2 - Critérios de Delimitação

- Limites das zonas de recarga dos aquíferos;
- · Vertentes das sub-bacias dos córregos Cascatinha, da Mata e parte do córrego da Baritina;
- Cerrados, matas primitivas, como a da Cascatinha, matas ciliares e porções de áreas reflorestadas existentes, incluindo o Cinturão Verde;
- Lagos e lagoas naturais e artificiais, oriundas de barragens, que constituem áreas de recarga do aquifero intergranular;
- Unidades urbanas de importância, como o Grande Hotel, Termas e fontes naturais como D.
   Beja e Andrade Júnior;
- Áreas de ocorrência do aquifero constituído por rochas xisto-quartzíticas e áreas de proteção no entorno dos poços tubulares utilizados para extração da água subterrânea.

#### 10.3.1.3 - Principais Conflitos de Uso

- Atividades de mineração e beneficiamento de fosfato e nióbio, gerando grande movimentação de terra, extração da cobertura vegetal primitiva e deposição de rejeitos em vertentes das bacias dos córregos Cascatinha e Baritina;
- Assoreamento de lagos e lagoas pela carga sólida originada da movimentação de terras dos trabalhos de mineração;
- · Lançamento de resíduos industriais nas cabeceiras do córrego da Mata;
- Assentamentos urbanos sem condições de infra-estrutura de saneamento básico;
- Depósito de lixo urbano (lixão);
- Instalação de postos de serviços ou de pequenas instalações industriais, utilizando combustíveis e lubrificantes ou outros agentes poluidores;
- Agricultura domiciliar ou não, utilizando adubos tóxicos ou pesticidas;
- Pastagens em vertentes de alta declividade, ocasionando erosão e assoreamento ou abrigos de animais próximos a lagoas, fontes e poços tubulares, gerando grande quantidade de carga orgânica.

#### 10.3.1.4 - Restrições ao Uso e Ocupação

Usos permitidos ou tolerados\*

- Hotéis e outros equipamentos destinados ao turismo de grande porte, condicionados à implantação de infra-estrutura de saneamento básico e adução planejada de água potável;
- Parques, campos de esportes, centro de convenções e exposições, condicionados à implantação de infra-estrutura de saneamento básico e drenagem;

- Utilização dos recursos hídricos subterrâneos de acordo com a capacidade de renovação das reservas dos aquiferos;
- Reflorestamentos com espécies preferencialmente nativas, visando ao adensamento da vegetação e à recomposição florística;
- \*Assentamentos urbanos residenciais e de serviços existentes, observadas as condições de arruamento, obras de drenagens, controle de erosão e implantação de infra-estrutura de saneamento básico;
- \*Atividades agropecuárias de pequeno porte, existentes em áreas de baixa declividade e afastadas de mananciais, fontes e poços tubulares de extração de água subterrânea.

(\* - usos tolerados)

#### Usos proibidos

- · Parcelamentos do solo visando a loteamentos residenciais ou de chacreamento;
- Ocupação de faixas limítrofes dos mananciais, cursos d'água, lagos e lagoas, conforme normalização do Código Florestal;
- Criação intensiva de animais de qualquer espécie e construção de currais, pocilgas ou quaisquer outras fontes de matéria orgânica animal, próximas a poços tubulares de extração de água subterrânea, cisternas, fontes, lagos naturais ou artificiais e cursos d'água;
- Utilização de áreas para disposição e tratamento de efluentes sanitários, resíduos domésticos, de mineração ou industrial;
- Agricultura com manejo intensivo e com uso de defensivos agrícolas e adubos tóxicos;
- Implantação e operação de indústrias, exceto as de engarrafamento de água ou aquelas de origem caseira, sem uso ou produção de agentes poluidores;
- Postos de serviço que utilizem substâncias poluidoras.

#### 10.3.1.5 - Programas

Os programas a serem implantados definirão as ações de apoio que estimularão os processos econômico-sociais ambientalmente adequados, reorientando processos inadequados e suprindo os meios e as lacunas do conhecimento que, atualmente, limitam o desenvolvimento em moldes ambientalmente sustentáveis. Os seus objetivos são buscar as articulações do zoneamento e das ações de controle ambiental propostas, visando corrigir as posturas e práticas ambientais vigentes, através de ações preventivas, buscando a eliminação ou mitigação gradual dos conflitos de uso existentes.

Recomenda-se implantar Programas visando à dinamização da educação ambiental ao monitoramento e controle do saneamento básico, à recuperação de áreas degradadas, à pesquisa ambiental com desenvolvimento de técnicas de revegetação e conservação da fauna e ao controle da execução de poços para adução de água subterrânea. Recomenda-se ainda criar programas de suporte logístico, técnico e financeiro, através de parcerias com o setor privado e estatal, a fim de viabilizar os programas ambientais sugeridos.

# 10.3.2 - Zona de Conservação do Uso Disciplinado - ZCUD

#### 10.3.2.1 - Função

Sua função é assegurar a integridade dos sistemas ambientais da Zona de Proteção dos Recursos Hídricos- ZPRH, através do controle e disciplinamento das atividades antrópicas que atuem ou vierem a atuar nesse espaço.

#### 10.3.2.2 - Critérios de Delimitação

- Vertentes com inclinação direcionada para Zona de Proteção dos Recursos Hídricos;
- Áreas de ocorrência de solos e rochas quartzíticas, excluídas as que pertencem à ZPRH, que poderão ser utilizadas para locação de poços tubulares para extração de água.

#### 10.3.2.3 - Principais Conflitos de Uso

- Deposição de rejeitos resultantes da mineração de fosfato;
- Assoreamento de cursos d'água e lagoas artificiais oriundas da carga sólida resultante da grande movimentação de terra proveniente dos trabalhos de mineração;
- Pastagens em áreas de alta declividade, ocasionando erosão e assoreamento.

#### 10.3.2.4 - Restrições ao Uso e Ocupação

Usos Permitidos ou tolerados\*

- \*Agricultura extensiva, sem o emprego de fertilizantes tóxicos ou pesticidas;
- Pecuária em áreas com declividade inferior a 45%;
- Loteamentos urbanos de baixa a média densidade, atendendo aos seguintes requisitos mínimos:
- a) A implantação de qualquer projeto de parcelamento deve conter a exigência de que sua abertura deve ser realizada simultaneamente aos trabalhos de drenagem superficial das vias públicas, com instalação de meio-fio, canaletas, bocas-de-lobo e caixas de dissipação ou transição;
- b) Deve ser prevista a proteção superficial dos arruamentos, com compactação do terreno, encascalhamento ou mesmo sua pavimentação definitiva;
- c) Devem ser, tanto quanto possível, preservadas as coberturas vegetais;
- d) Os projetos de parcelamento devem merecer cuidados especiais em relação ao sistema de saneamento básico.
- Instalação de indústrias de pequeno porte, sem uso ou geração de rejeitos poluentes;
- Atividades de reflorestamento.

#### (\* - usos tolerados)

#### Usos Proibidos

- · Atividades de mineração de qualquer espécie;
- · Assentamento urbano sem infra-estrutura adequada;
- · Instalação de indústrias que utilizem ou gerem rejeitos poluentes;
- Instalação de atividades que gerem grande movimentação de terras;
- · Atividades de desmatamento;
- · Atividades agrícolas com uso de pesticidas ou fertilizantes tóxicos;
- Pecuária em áreas com declividade superior a 45%;
- · Postos de serviços que utilizem substâncias poluidoras;
- Deposição de rejeitos urbanos, de mineração ou industrial de qualquer espécie.
- Casos especiais podem ser analisados para construção de pilhas de rejeitos de mineração controlados, sujeitos a projetos específicos de engenharia com adoção de sistemas de drenagem, filtragem e proteção simultânea à colocação do estéril.

#### 10.3.3 - Zona de Atividade Mineira Industrial - ZAMI

#### 10.3.3.1 - Função

Abrigar as atividades de mineração, beneficiamento e metalurgia, existentes na região do Barreiro.

#### 10.3.3.2 - Uso e Ocupação

 Atividades de mineração, beneficiamento mineral ou metalurgia existentes, regularmente licenciadas e fiscalizadas pelos Órgãos de Controle Ambiental e Departamento Nacional da Produção Mineral.



Base: Ampliação fotografica. Foto 027, 0 - 393 - 20 028 0 393 20

Escala 1.20.000 1986

# PROJETO ARAXÁ/BARREIRO ZONEAMENTO ECOLÓGICO-ECONÔMICO

#### LEGENDA

- Zona de Proteção dos Recursos Hidricos

- Zona de Conservação de Uso Disciplinado

Escala aproximada 1 68 550

Zona de Atividades Mineira Industrial

(1) - Complexo Turístico do Barreiro

(2) - Área industrial I da CBMM

(4) - Frente de lavra da Araférti

(3) - Frente de lavra da CBMM

(5) - Mata da Cascatinha

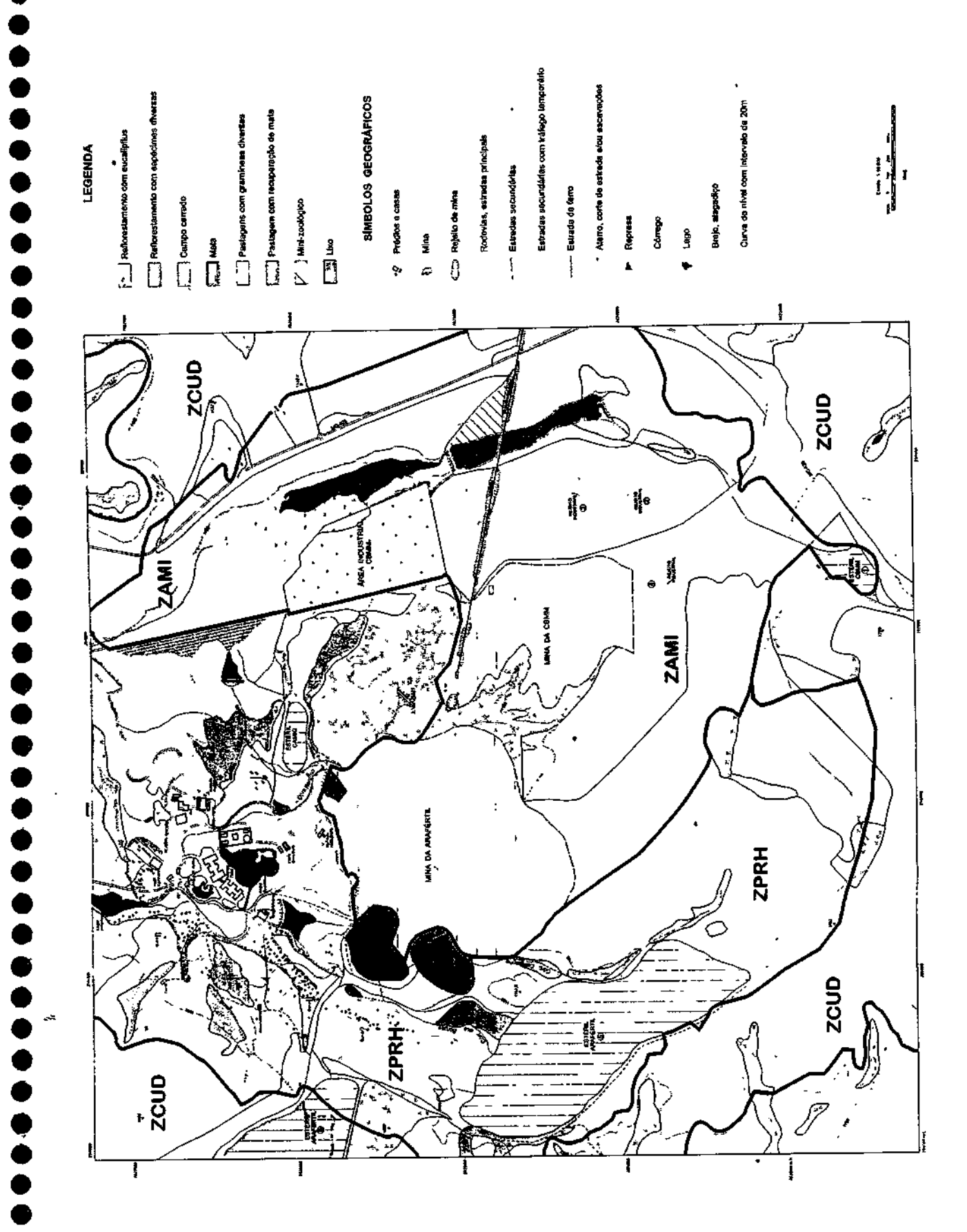
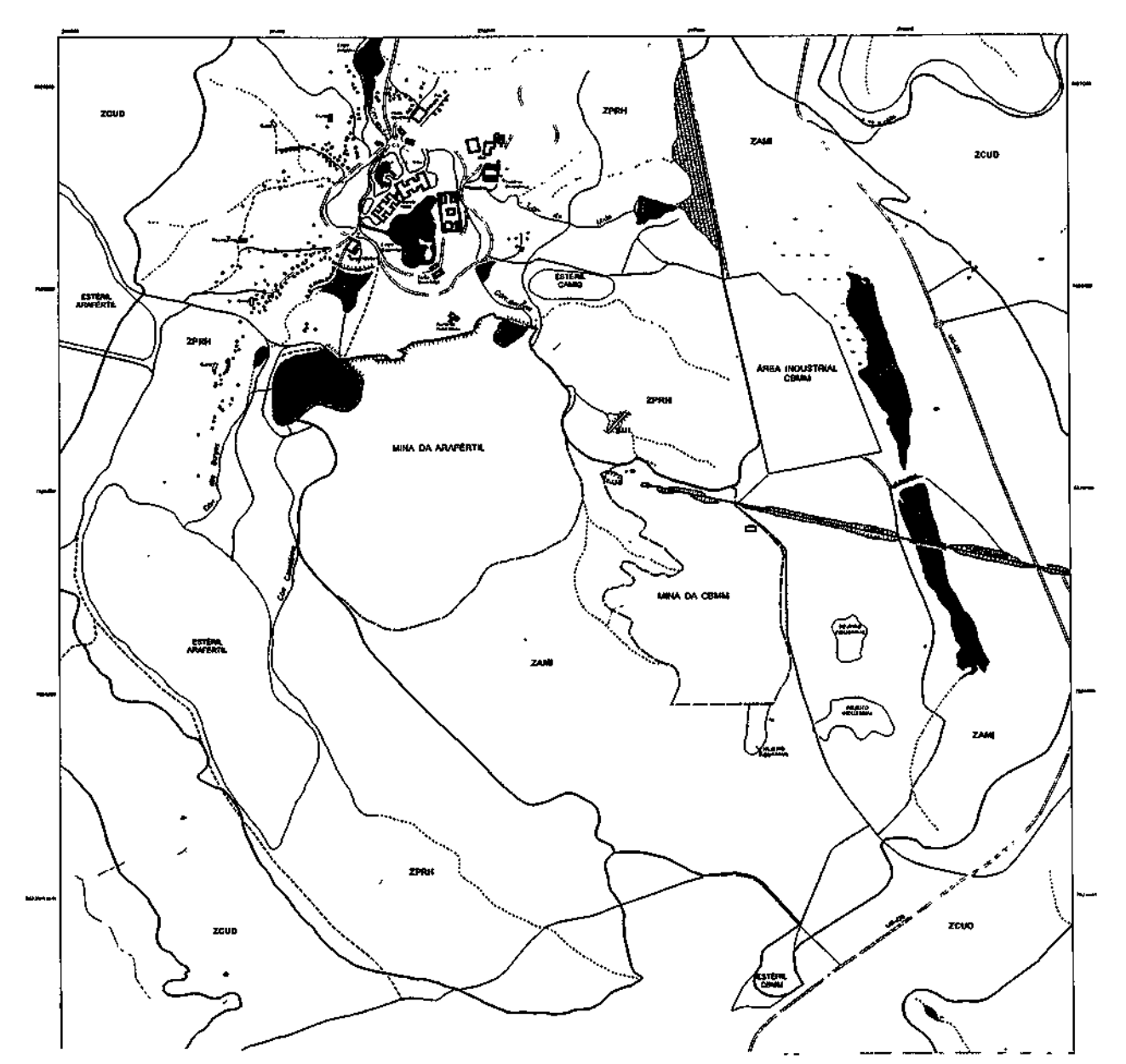


Figura 34 - Limite das Zonas em função do Uso da Terra.

Figura 35 - Mapa de Zoneamento Ecológico-Econômico.



#### LEGENDA

- ZPRH Zona de Proteção dos Recursos Hídricos
- ZCUD Zona de Conservação de Uso Disciplinado
- ZAMI Zona de Atividade Mineira e Industrial

#### SIMBOLOS GEOGRÁFICOS

- 🛊 Prédios e casas
- 8 Mina
- Rodovias, estradas principais
- ---- Estradas secundárias
- .... Estradas secundárias com tráfego temporário
- ---- Estrada de ferro
- Aterro, corte de estrada e/ou escavações
- Represa
- Córrego
- ♥ Lago
- J: Brejo, alagadiço
- Limite entre Zonas



## Referências Bibliográficas

- BARBOSA, O., BRAUN, O., P. G. DYER, R. C., CUNHA, C. A B. Geologia da Região do Triângulo Mineiro. Boletim do Departamento Nacional da Produção Mineral, n.136, 1970. 24 p. [inclui mapas].
- BEATO, D. A.C. Aspectos Hidroquímicos e de Qualidade das Águas do Aqüífero Cárstico na Área do Projeto ViDA-MG. Rev. Águas Subterrâneas, São Paulo, ABAS-Assoc. Bras. de Águas Subterrâneas, v.1, n.15, p.41-55, 1996.
- CASTRO, L. O A pesquisa de urânio em Araxá. In CONGRESSO BRASILEIRO DE GEOLO-GIA, 22. Belo Horizonte, 1968. Anais... Belo Horizonte, 1968.
- CETESB. Determinação de bário em águas , método da espectrofotometria de absorção atômica; L 5. 105. São Paulo: CETESB, 1978. 7p. [Norma técnica]
- CUSTÓDIO, E. LLAMAS, M. Hidrología subterránea.Barcelona: Omega, 1983, 2350p.
- DAVIS, S. & DeWIEST, R. Hydrogeology. Ed. John Wiley & Sons, N. York. 1966. 463p.
- FERREIRA, O.L.M., CASTRO, L. O. Análise estatística dos teores de urânio do corpo da área III, Araxá-MG. *In*: CONG. BRAS. DE GEOL., 22, Belo Horizonte. *Anais...* Belo Horizonte, SBG, 1968.
- FETTER, C.W. Applied Hydrogeology. Ed. Prentice Hall, Englewood Cliffs, US. 1994. 691p.
- FOSTER, S. & HIRATA, R. Determinação do Risco de Contaminação das Águas Subterrâneas: um método baseado em dados existentes. Ed. Instituto Geológico SMA, Bol. 10, São Paulo. 1993. 90 p.
- GROSSI SAAD.J. H., TORRES, N. Geologia e Recursos Minerais do Distrito de Barreiro, Araxá, MG. Brasília: DNPM, 1970.
- GUIMARÃES, D. Relatório sobre a jazida de pirocloro do Barreiro, Araxá, Minas Gerais. Belo Horizonte: DNPM, 1957. 87P. [Inclui 12 mapas/ol., 103].
- HASSUI, Y., CORDANI, U. G. Idades Potássio-Argônio de rochas eruptivas mesozóicas do Oeste Mineiro e Sul de Goiás. *In*: CONGRESSO BRASILEIRO DE GEOLOGIA, 22, Belo Horizonte. Anais... Belo Horizonte, SBG, 1968. p. 139-43.
- HEM, J. Study and Interpretation of the Chemical Characteristics of Natural Water Geologycal Survey Water-Supply, paper 1473. WASHIGNTON: usgs, 1962. 269P.
- HERAS, R. (ORG.) Manual de hidrologia; principlos básicos en hidrologia. Madrid: Escuela de Hidrologia, 1972. v. 1. 473 p.
- ISSA FILHO, A., LIMA P.R.A. dos S., SOUZA, O. M. de. Aspectos da geologia do Complexo Carbonatítico do Barreiro, Araxá, MG, Brasil. São Paulo: CBMM, 1984. 44P.
- LAFUENTE, J. G. C. Quimica del agua. Madrid, Blume, 1969. 355 p.

- MAGALHÃES, Mário de Castro, Dr. A Estância de Araxá. Buenos Aires: Associação Médica, 1945. 124p.il. [Conferência da Sessão Extraordinária da Soc. Argentina de Hidrologia e Climatologia de Buenos Ayres, em 02/07/945].
- MENDES, M. J. C., MURTA, C.C., CASTRO, L.O. Mineralogia do depósito de terras raras, nióbio e urânio da área Zero, Araxá, MG. In: CONG. BRAS. DE GEOL., 22, Belo ... Anais... SBG, 1968.
- MOURÃO, B. M. **Medicina Hidrológica**. Sec. Municipal de Educação. Poços de Caldas. [1990]. 731 p.
- NIMER, E. Clima. *In*: Fundação Instituto Brasileiro de Geografia e Estatística. Geografia do Brasil; região sudeste. Rio de janeiro: IBGE, 1977. p. 51-89.
- PATRUS, M. Letícia R.A. **Estudo hidrológico e qualidade** ... Belo Horizonte: IBAMA/CPRM, 1998. v.1. In: APA Carste de Lagoa Santa; Meio Físico.
- PRATINI DE MORAES, J. A. A Neutralização da contaminação de BaCl<sub>2</sub> no Barreiro de Araxá: Relatório final. Belo Horizonte: ECOS Geologia, Consultoria e Serviços Ltda., 1995. 33 p. il. [Projeto Monitoramento Hidrogeológico do Barreiro/CBMM Relatório interno].
- \_\_\_\_\_, Avaliação do impacto hidrogeológico da mineração de fosfato no Barreiro de Araxá.

  Belo Horizonte: ECOS Geologia, Consultoria e Serviços Ltda., 1990. 56 p. ii. [Projeto Monitoramento Hidrogeológico do Barreiro/Arafértil Relatório interno].
- \_\_\_\_\_, Medição de Vazão da Fonte Beja: Informe Técnico. Belo Horizonte: ECOS Geologia, Consultoria e Serviços Ltda., 1984. 16 p. il. [Projeto Monitoramento Hidrogeológico do Barreiro/Arafértil Relatório interno].
- \_\_\_\_\_, Monitoramento Hidrogeológico do Barreiro de Araxá: Relatório 1º semestre. Belo Horizonte: ECOS Geologia, Consultoria e Serviços Ltda., 1989. 19 p. il. [Projeto Monitoramento Hidrogeológico do Barreiro/Arafértil Relatório interno].
- RIGGS, H. C. The transfer value of information collected on representative basins. Washington: US. Geological Survey, s.n.t.
- SECRETARIA ESTADUAL DE CIÊNCIA E TECNOLOGIA DE MINAS GERAIS. **Deliberação**Normativa COPAM nº 010/86 de 16 de dezembro de 1986. Minas Gerais, I.O ./MG,10 jan
  1987. parte 1, p. 13-15. [Jornal]
- SOUZA, Sérgio M. Teixeira de, Coord. **Deflúvios Superficiais no Estado de Minas Gerais**, Belo Horizonte: Hidrossistemas/COPASA, 1993, 264p. [Inclui mapa-índice]
- THORNTHWAITE, C. W. An approach toward a rational classification of climate. Geog. Rer., 1948. v.38, 55-94,1948. apud Villa Nova, N. A., REICHARDT, K. Evaporação e evapotranspiração. In: Ramos, F. et al. Engenharia hidrológica. Rio de Janeiro: UFRJ, ABRH, 1989. p. 175-193.

# Documentação Fotográfica



Foto 1 — Vale do córrego da Mata e Complexo do Grande Hotel do Barreiro. Ao fundo, zona urbana do Barreiro e depósito de estéril no vale do córrego Cascatinha, à esquerda. No primeiro plano, reflorestamento do Pró-Araxá/CBMM.



Foto 2 – Complexo turístico do Grande Hotel, com reflorestamento ao seu redor.
Área de reflorestamento de eucalipto ao fundo, canto esquerdo e áreas de mineração da Arafértil e CBMM (ZAMI).



Foto 3 - Vista do Complexo turístico do Grande Hotel, Termas e do Lago Superior.



Foto 4 - Lago com fonte sulfurosa, situado à frente do Grande Hotel. Ao fundo, fonte sulfurosa Andrade Júnior.



Foto 5 - Mirante do Anel (Barragem F). Ao fundo, à esquerda, mata da Cascatinha e depósitos de rejeitos de rocha fosfática nas margens do córrego da Cascatinha, à esquerda.



Foto 6 - Vista panorâmica mostrando a barragem E, em primeiro plano e o Complexo turístico do Grande Hotel do Barreiro, ao fundo.



Foto 7 - Lagoa de lançamento de efluentes de metalurgia da CBMM (Barragem 4). Ao fundo, zona assoreada da barragem.



Foto 8 - Lagoa de dispersão de efluentes da indústria metalúrgica da CBMM (Barragem 4). À direita, complexo metalúrgico do CBMM.



Foto 9 - Praça de mineração de nióbio da CBMM.

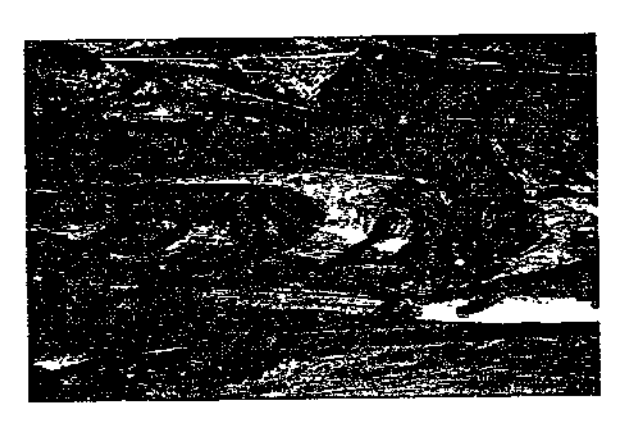


Foto.10 - Mineração de fosfato da Arafértil.

Observar sistemas de drenos para rebaixamento do freático.



Foto 11 - Fósseis Haplomastodon Waringi (Mastodonte) Herbivoras.



Foto 12 - Área de depósito de estéril da Arafértil.



Foto 13 - Lixão na área do Barreiro.



Foto 14 - Área de Pastagem, cabeceira do córrego da Cascatinha; no fundo, mata preservada.

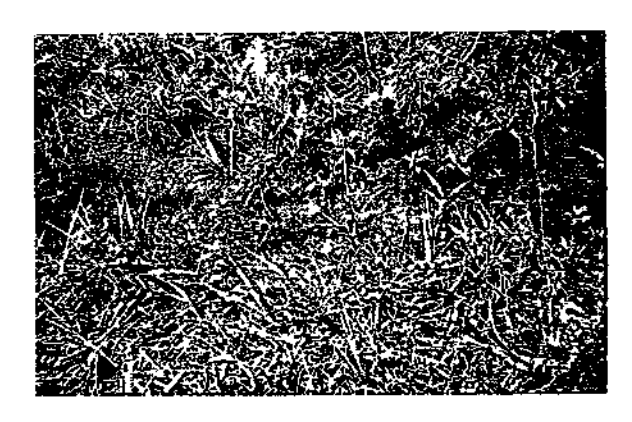


Foto 15 - Córrego Cascatinha a montante da Mata da Cascatinha.



Foto 16 - Córrego Baritina - Próximo ao Grande Hotel, local de medição.



Foto 17 - Represa H - Córrego da Cascatinha.

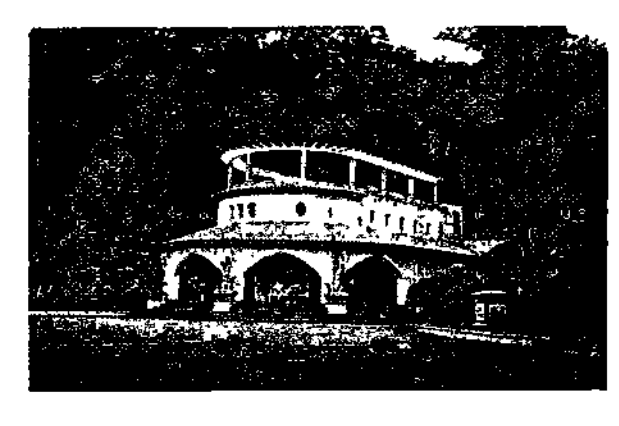


Foto 18 - Fonte Dona Beja.

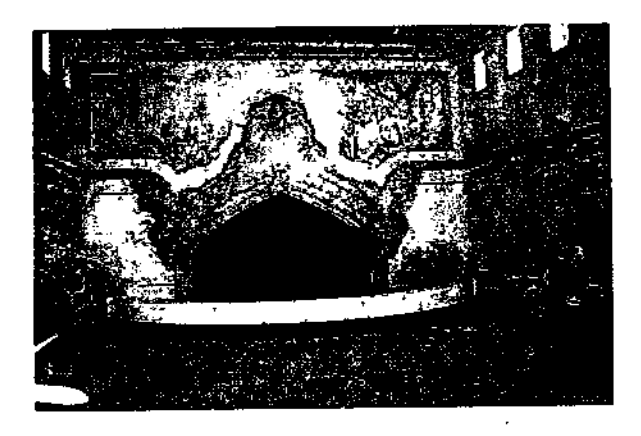


Foto 19 - Nascente da fonte Dona Beja na base da cascata. Reservatório da fonte situa-se sob o piso.

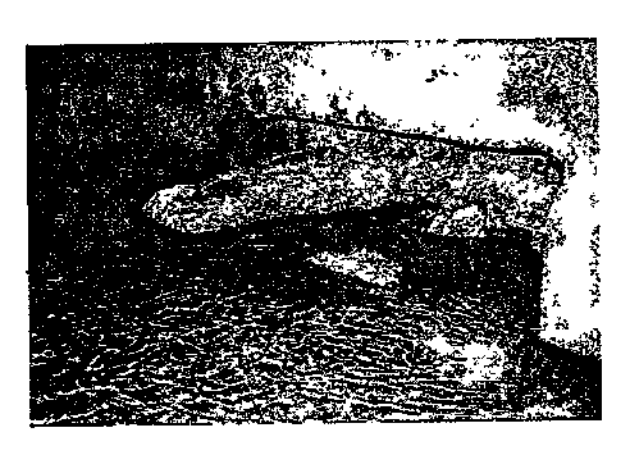


Foto 20 - Nascente da Fonte Dona Beja (nível d'água é do reservatório).



Foto 21 - Ponto de medição de vazão da Fonte Dona Beja.

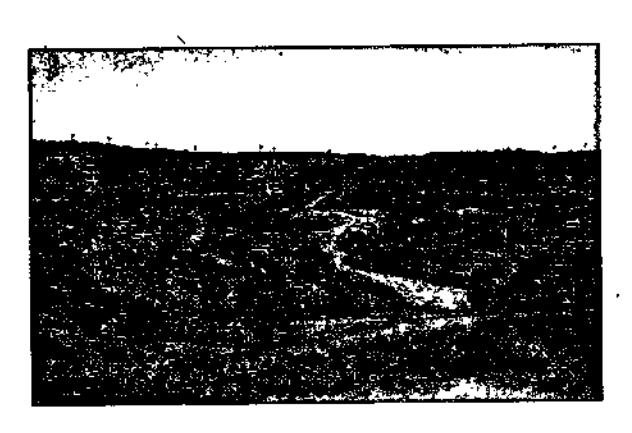


Foto 22 - Cava de Mina de Fosfato ao Sul do Anel Verde (à direita).

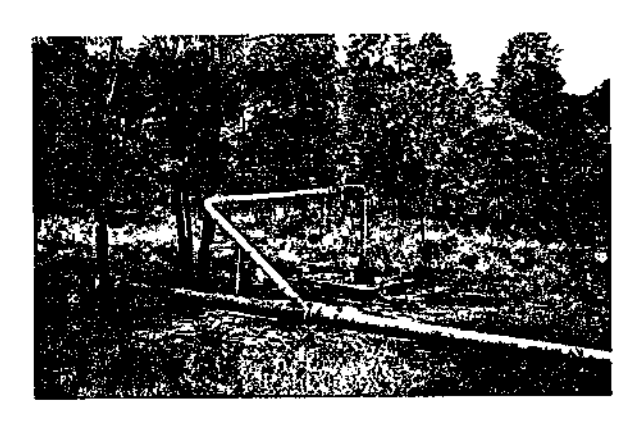


Foto 23 - Poço de Sangria da Barragem B-4.

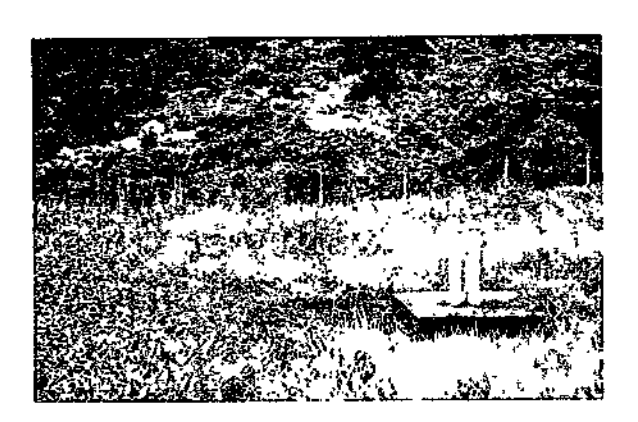


Foto 24 - Piezômetro multinível no córrego da Mata.



Foto 25 — Poço de infiltração de sulfato de sódio.

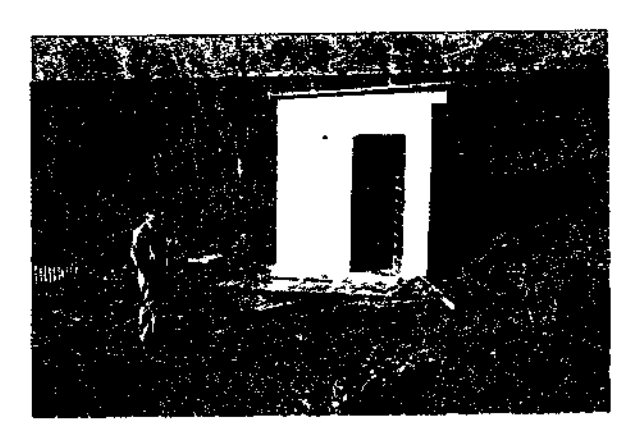


Foto 26 - Poço Beja 01 ao lado da fonte Dona Beja (à esquerda).



Foto 27 - Captação por poço tubular da fonte Andrade Júnior. As tomadas d'água encontram-se na coluna do revestimento.

# Anexo

Catálogo de pontos d'água

CPSM - Serv	riça Gentâgico da Bras	4								C	ATÁL	DGO E	E PONTOS	D'ÁGUA							
Minne		a Masadab	(1)										e e grade de ga		(7)		A				
27	Lengthsoning to		Bay Confeder	1/445		13.5 %	Same.										Marian Marian	7			The very section at
700%			Brighter Acta			man and	3,776,776				25,600				esti utti. Lar <u>tessa</u>				Les in Land	74	
01	057/647 A	Córrego da Maia	СВММ	7626752	296754	PM	Barreiro	21/11/97	100,48	6,35	PVC				1.058,35		1.033,43				
	057/647 B	•						21/11/97	77,48	•	•				1.068,36	24,15	1.034,20			T	
	057/647 C		<u> </u>					21/11/97	56,49	•	•				1.058,36	23,87	1.034,49				
	067/647 D	<u> </u>	•					21/11/97	39,47	•					1.058,34	23,81	1.034,53				
. 02	077/605 A	Córrego da Mata	CBMM	7826663	296545	PM	Barreiro	21/11/97	100,57	6,35	PVC				1.029,01	16,05	1.012,96				1
	077/605 B	•						21/11/97	75,49	•	•				1.029,03	15,75	1.013,28				
	077/605 C	•	•					21/11/97	48,62		,				1.029,06	14,63	1.014,43				,
	077/605 D	•		J		•		21/11/97	26,61	•	•				1.029,06	14,35	1.014,70			Ī.,	
03	085/704 A	Barragem "A"	COMM	7826603	297017	PM	Barreiro	20/11/97	100,08	6,35	PVC				1,098,95	55,05	1.043,90				
	085/704 B	•						20/11/97	85,09	·	· ·				1.098,96	51,20	1.047,76				
	085/704 C							20/11/97	52,11	·				-	1,098,98	47,22	1.051,76				<u> </u>
	085/704 D	<u> </u>	•			•		20/11/97	65,09	•	·			•••	1.098,96	48,70	1.050,26				
04	089/712	Валгадел 4	СВИМ	7826592	297079	Pθ	Barrelro	1,985	140,00	203	Aço		55,50 m de fil	tro # 1,0 mm	1.095,76	31,62		72,75	30,53	1997	DESATIVADO
05	090/862 A	Córrego da Mata	CBMM	7826591	296781	P.M	Barrefro	21/11/97	100,65	6,35	PVC				1.058,11	25,95	1,032,16				1
_	090/652 B	•				•		21/11/97	69,64	•	· ·				1.058,10	23,51	1.034,59				
	090/652 C	•	•			· ·		21/11/97	53,64	·	٠				1.058,10	22,65	1.035,45				<u> </u>
	090/652 D	•	-			•		21/11/97	36,65	•	·		-		1.058,11	21,25	1.036,86		<u> </u>	•	
06	080/670	Barragem "O"	CBMM	7826547	296849	PΙ	Barreiro							•							DESATIVADO
07	090/682	Ватгадем "D"	CBMM	7626545	298916	PI	Barreiro						•	-	<del>                                     </del>						DESATIVADO
08	090/800	Barragem 4	CBMM	7826593	297506	PI	Валено								1.101,14						
09	100/380	Lago Inferior	Arafértil	7826543	295460	PM	Barreiro	01/12/97	14,09	6,35	PVÇ	0,91			953,19	1,35			DE	SATIVADO	,
10	100/470	Em frente ao H. Previdência	Arafértil	7826543	295872	PM	Barreiro	01/12/97		6,35	PVC				959,68		i —		QB	STAUÍDO	,
11	100/685	Ваггадого "D"	CBMM	7826514	296937	P1	Barreiro														DESATIVADO
* 11	102/705 PB4-2	Barragem 4	CBMM	7826534	297095	PB	Barreiro	1,985	140,00	203	Aço		53,68 m de Ali	ro#t,0mm	1.095,86	34,34		86,54	63,72	<b></b>	
13	104/744	Barragem 4	CBMM	7626512	297240	PI	Barreiro	-							<u> </u>						DESATIVADO
14	110/600 A	Córrego da Mala	CBMM	7826533	296541	PM	Berreiro	21/11/97	98,18	6,35	PVG	0,18			1.033,13	20,02	1.013,11		_		<del></del>
	110/\$00 B	•	•			*		21/11/97	74,70		•	0,24	-		1.033,13	19,95	1.013,18				
	110/600 C	•				•		21/15/97	51,18	*	•	0,25	•		1.033,13	19,96	1,013,17				1
	110/600 D	•				•		21/11/97	27,90		ř	0,50			1.033,13	19,93	1.013,20				<b>†</b>
15	110/685 A	Вападет "D"	СВИМ	7826482	296942	P1	Barreiro								1.080				·		
	110/685 B	•	•	_		•									<del>                                     </del>				<del></del>		†
	110/685 C	•	•			•									<del>                                     </del>		<b>-</b>		<u> </u>	<del></del>	<u> </u>
	110/685 D	•				•		i							<del>                                     </del>		<del></del>			1	1
16	110/670	Barragem "D"	CBMM	7826466	296853	PΙ	Barrelro				+								<del>                                     </del>	-	DESATIVADO
17	115/540 A	Cómego da Mata	CBMM	7826467	296227	PM	Barreiro	20/11/97	60,94	6,35	PVC				976,64	13,95	962,69				1
	115/540 B	•	•			- 111		20/11/97	45.94	-	•		-		976,64	12,75	963,69			<del>-</del>	<del>                                     </del>
	115/540 C		•			•		20/11/97	30,93		•				976,63	11,28	965,35			<del>                                     </del>	<del> </del>
	115/540 D					<del>-</del> -		20/11/97	16,93	•	-				976,63	10,95	965,69				<del>                                     </del>
19	116/718 PB4-1	Barragein 4	свим	7826459	207111	PB	Barreiro	1.985	140,00	203	Aço	_	55,90 m de @h	ro # 1 0 mm	1.095,36	34,30		94,10	59.82		<del> </del>
19	120/585	Serragem *D*	СВИМ	7826441	298944	PJ	Barreiro	,,,,,,,,,,,,,,,,,,,,,,,,,,,,,,,,,,,,,,	7.5,55		, .,,,,		00,00 77 00 84		1,000,000	1	<del>  -</del>	05,10		<del>                                     </del>	DESATIVADO
20	123/722	Barragem 4	CBMM	7826399	297124	PB	Валейо	1.985	120,00	203	Aço	<del>-</del>	35,87 m de \$h	m # 1 D mm	1,095,12	32,48		78.48	22,86	<del>                                     </del>	DESATIVADO
21	124/575 A	Со́педо da Mata	CBMM	7826412	296393	PM	Barreiro	21/11/97	100,60	6.35	PVC		30,07 m 00 m	IS A IJO HAN	1,013,22	34,50	978,72	7.0,40	44,00	-	
	124/575 B	•	•			<del>- ' ' ' '</del>		21/11/97	75,59	4	,	_			1.013,21	23,43	989,78	<u> </u>	<del>                                     </del>	<del>                                     </del>	┼──
	124/575 C							21/11/97	50,58						1.013,20	17,71	995,49			<del>                                     </del>	<del> </del>
_	124/575 D							21/11/97	25,57	-	<del></del>								-		<del>                                     </del>
22	125/712 B	Валгадет 4	CBMM	7826401	297058	PM	Barreiro	20/11/97	25,57 95,59	6,35	PVC				1.013,19	14,60	996,59		-		<del> </del>
<del></del>	125/712 C	- Davidgenii V	e .				Destenio	20/11/97	65,40	9,35	PVC				1.099,30	46,49			<del></del>		<del>                                     </del>
29		Barranem 4	CRMM	782640e	207720	<del></del>	Barrelys	24 1 1797	03,40		<u> </u>				1,009,31	46,49	1.052,82	-	├	<del></del>	<del></del>
23	125/845	Barragem 4	CBMM	7826408	297739	PΙ	Berrelro														$\Box$

Observações: Natureza do Ponto: PB ≠ Poço de Bombeamento; PI = Poço de Infiltração; PM = Poço de Monitoramento; NC = Nascente;

CPRIA - Service	o Geológico do Brasil												and the second section is	75						المت التناي
May .		$\frac{2(\sqrt{2}/2)}{2}$								:			a w 1 da 1 da 2 da 2 <u>6 da 2 da 192</u> 13. Transportación	Yazar sar	) h	[	1.3			11341 157
	20.00		11.5711							A			1 17 6243 MR 524	, v.	Non-right	17.	100			Patricks 2024
Les de	المعالما		100 miles	DVW z		14 35 6			:		Firman					962,72	-	····		
24	128/498 A	Barreiro - C. da Mate	CBMM	7626397	296011	PM.	. Sarreiro	21/11/97	60,77	6,35	_			980,39	17,67	962,72		_		
	128/498 B		•			•		21/11/97	46,77	•	_ •			980,39	17,83	,				
	128/498 C		•			•		21/11/97	32,77	•	•			980,39	17,88	962,51				
	128/498 D		•					21/11/97	18,78	•	•			980,40	17,83	962,57				
25	130/630 A	Córrego de Mate	ÇBMM	7826364	296874	PM	Barretro	20/11/97	90,68	6,35	PVC			1.048,24	22,12	1.026,12		$ldsymbol{ldsymbol{eta}}$		
	130/630 B					•		20/11/97	73,06	•	•			~ 1.048,22	17,19	1.034,03				
	130/630 C		<del></del> .					20/11/97	23,11		•			1,048,27	13,55	1.034,72				
$\vdash$	130/630 D					•		20/11/97	48,12	•	•			1.048,28	14,45	1,033,63				
26	130/650	Barragem "D"	CBMM	7826380	296766	PM	Barreiro	20/11/97	49,00	7,62	PVÇ			1.052,40	9,02	1.043,38				
27	130/680 A	Barragern "D"	CBMM	7826379	296915	PI	Barreiro				-		<del></del>	1.063,25						
	130/680 B	- Daniegen D	•	,,,,,,,,,,,,,,,,,,,,,,,,,,,,,,,,,,,,,,,		•							<u> </u>	1.063.25						
28	130/685	Berragem *O*	CBMM	7826375	296953	PI	Barreiro				_			l						DESATIVADO
29			CBMM	7826357	296118	PM	Barreiro	21/11/97	60,74	18,35	PVC	_		981,40	14,94	966,48				
29	196/520 A	Barretro - C. da Mata	CBMW	7626357	230110	- <del></del>	Daniello	21/11/97	47,73	10,00				981,39	14.94	966,45				
	136/520 B	<u>-</u>				-		-		<del></del>				981,40	15,05	966,35				
	136/520 C	<u> </u>			<del> </del>	-:-		21/11/97	34,74	-		<u></u>		981,41	15,18	966,23			<del></del>	
	136/520 D	<u> </u>						21/11/97	21,75	$\vdash$		-	12,64 m de filtro # 1,0 mm	979,72	10,17	000,22	39,66	10,04	-	DESATIVADO
30	150/503	Côrrego da Mata	CBMM	7626290	298040	PB.	Barrelro	1,985	60,00	152	Aço		12,64 m de liero # 1,0 mm	1.050,09	20,60	1.029.49		70,0	<del></del>	
31	150/600	Côrrego da Mala	CBMM	7626293	296527	PM	Barretro	20/11/97	46,00	7,62	PV¢		<del></del>	1,057,14	20,00	1.020,70	_			
32	150/630 C	Barragem "D"	CEMM	7626282	296653	PI	Barrelro			oxdot			<u></u>	1.057,14	-		_			
33	150/670 A	Barragem *D*	CBMM	7826281	296836	PI	Barreiro			<u> </u>					44.00			454	_	DESATIVADO
34	151/560	Córrego da Mata	CBMM	7826278	296367	PB	Barreiro	1.985	64,00	152	Aço		24,96 m de filtro # 1,0 mm	1.001,97	11,00		38,85	5,54		DESATIVADO
35	154/560 A	Córrego da Meta	CBMM	7826261	296319	PM	Barreiro	21/11/97	100,84	6,35	PVC		<u> </u>	1.003,38	25,51	977,85		—	_	
	154/560 B		•			•		21/11/97	75,85	•	•			1.003,37	18,49	84,88				
	154/560 C	•	· ·			•		21/11/97	50,84	· .	•			1,003,36	13,74	989,62			<b>!</b>	
	154/560 Đ	•				•		21/11/97	25,85	Γ.	•			1.003,37	9,35	94,02		<u> </u>	ļ	<b></b>
36	157/482 A	Barreiro - C. Barltina	CBMM	7826256	295934	РМ	Barreiro	21/11/97	40,84	6,35	PVC			966,17	1,68	964,49		<u> </u>		
	157/482 B	•	•					21/11/97	30,89	•	•		<u> </u>	966,22	1,77	964,45				<b></b>
<del>  </del>	157/482 C		<del></del>	<b></b>		•		21/11/97	20,66	· ·				966,19	1,67	964,52		L		
$\vdash$	157/482 D		•			• "	<del> </del>	21/11/97	10,86	·	···•			966,19	1,52	984,67		L		
1. 4-1	157/510	Córrego da Mata	CBMM	7826258	296067	РВ	Barreiro	1.985	60,00	152	Aço		12,64 m de filtro # 1,0 mm	982,77	13,70		29,00	51,41	/11/1997	30,00
38	157/539	Córrego de Mete	CBMM	7826251	296217	PI	Barreiro	1,985	64,00	152	Aco	-	33,26 m de filtro # 1,0 mm	992,03	10,95		42,49	3,02		DESATIVADO
39	157/553	Córrego da Mala	CBMM	7826242	296277	PB	Barrelro	1,985	64,00	152	Aço		25,26 m de filtro # 1,0 mm	1.001,60	12,25		44,75	1,94		DESATIVADO
40	160/740	Sarragem 4	СВИМ	7626226	297212	PI	Barreiro		- 1					1.093,08					[	_
41 -	164/517	Córrego da Mata	CBMM	7826220	296100	PB	Barreiro	1.965	64,00	152	Aço		31,60 m de illtro # 1,0 mm	963,18	14,39		46,20	12,02		DESATIVADO
42	169/712 A		CBMM	7826221	296095	PM	Barreiro	20/11/97	100,80	6,36	PVC	<del>-</del>		1.097,77	43,75	1.054,02				
444	169/712 B	Barregern 4	- CDMM	- (46,444,4)				20/11/97	85,80	<del></del>	1.00			1.097,77	43,80	1.053,97	T			
			<del> </del>	<del> </del>	<del> </del>	-	<del> </del>	20/11/97	70,79					1.097,76	43,60	1.053,96		Г		
<b> </b>	169/712 C		<del>                                     </del>	<del></del>	$\vdash$	<del>                                     </del>	<del>                                     </del>	20/11/97	53,79	<del>                                     </del>			<del></del>	1.097,76	43,49	1.054,27	1	1		
احيرا	169/712 D		OBM44	7000455	205080	PM	Barreiro	20/11/97	60,80	6,35	PVC	<del> </del>	<del>                                     </del>	985,08	17,48	967,60		1	1	
43	170/520 A	Barragem "A"	CBMM	7826169	296086	P M	Balleto	20/11/97	46,81	9,33		-	<del></del>	985,09	17,31	967,78	1			$\overline{}$
$\vdash \vdash \vdash$	, 170/520 B		<del>- : -</del>	1	-	<del></del>	⊢—	_		<del></del>	-		<del></del>	985,09	15,50	969,59		1	1	<del> </del>
<b></b>	170/520 C	·		<b>↓-</b>	-	<del>-</del>		20/11/97	32,81	<del>-</del>	<del>                                     </del>	<del></del>		985,08	14,54	970.54	<del> </del>	$\vdash$	1	<del></del>
	170/520 D	•"	<u> </u>		<u> </u>	<u> </u>	<del></del>	20/11/97	19,80	Ť	<del>-</del>			303,00	1-1,0-4	1 27.57.54	$\vdash$	1	+	DESATIVADO
44	170/840	Barragem 4	CBMM	7826161	297710	PI	Berretro	<u> </u>			١.	-	00.00 - 4. ***- 14.5	1,005,54	6,50	$\vdash$	45,48	3.02	+	DESATIVADO
45	171/553	Córrego da Mata	CBMM	7826177	296264	PI	Barrelro	1.985	64,00	152	Aço		20,90 m de filtro # 1,0 mm			1,021,67	40,40	- 5,02	+	1550,,,,,,
46	171/638 A	Córrego de Mata	CBMM	7626179	296712	PM	Barreiro	20/11/97	100,88	6,35	PVC	ــــــ		1.067,29	45,62			+	+	┼
	171/636 B							20/11/97	80,87		<u> </u>	L		1.067,28	34,60	1.032,68	<del>                                      </del>	+	+-	<del></del>
	171/638 C	•	•					20/11/97	60,87	L	•		<u> </u>	1.067,28	34,60	1.032,66		+	₩	<del></del>
	171/638 D	•	•			•		20/11/97	40,88			l		1,067,29	34,55	1,032,74	1	<b>↓</b> —	+	₩
47	180/540	Barragem "A"	CBMM	7626128	296217	PI	Barreiro							998,66	—	↓	<u> </u>	₩	<del> </del>	<del></del>
48	185/669	Вападет "D"	CBMM	7826105	296862	PΙ	Barreiro								1	1	<u> </u>	1		<u></u> _

Observações: Natureza do Ponto: PB = Poço de Bombeamento; PI = Poço de Infiltração; PM = Poço de Monitoramento; NC ≃ Nascente;

#### CATÁLOGO DE PONTOS D'ÁGUA

CFAM - Servi	ço Geriligico do Brasil	1								C	ATÁLO	GO D	E PONTOS	D'ÁGUA							
Drawn and		5 5 MAG Deb	E1:1	,									233777	4,5070.1557 (M.X.)		4.3.7	16%	100		S. 16. V	4 THE
31,	Mark Life		en en alla en		1000		1 N. 12:		Tereiro a	1 T. 13 . 1					OR THE			\$ 300	4 Au	i Gali	
4.4266	Number 1		Constitution	1.000.0	i krasi	100 100	Countries			i	123.00	:				30				F 7. 6	
49	188/470 A	Barragem "A"	CBMM	7826061	·			20/11/97	50,68	6,35	PVC				982,59	14,97	967,62	-			
	188/476 B		•	t			_	20/11/97	35,64	•	•	•			982.55	14,48	968,07				
	188/476 C	Валгадал: "А"	CBMM			PM	Barreiro	20/11/97	20,69	6,35	PVC				982,60	14,33	968,27				
95	190/420	Próximo à Fonte Beja	Araféril/CBMM	7826054	295618	PM	Валтеіго	20/11/07	41,50	7,62	PVC	0,46			985,71	6,50	957,08				
1.7	190/460 A	Aires da Fonte Beja	Aratérit/CBMM	7826061	295826	PM	Валеіго	20/11/97	74,55	6,35	PVC	0,55			985.72	21,52	964,19				
	190/460 B	•	•			+		20/t1/97	59,56	-	•	0,55			985,72	16,25	967,47				
	190/460 C	•				¥	ļ	20/11/97	45,06	•	Ţ	0,55			985.72	17,97	967,75				
	190/460 D	•			<u> </u>	•		20/11/97	30,56	•		0,55			985,72	18,06	967,66				
52	190/\$30 A	Córrego Beritina	CBMM	7826076	296158	PM	Barreiro	20/11/97	98,61	6,36	PVC	0,61			994,59	22,22	972,97				•
	190/530 B	•	•					20/11/97	71,91	н	•	0,61	ľ		994,59	22,70	971,89				
$\Box$	190/530 C	•	•			•		20/11/97	45,22	•	•	0,62			9.994,60	19.53	975,07		1		
	190/530 D	•	٠ .		T	-		20/11/97	18,52	·		0,62	ľ		994,60	13,35	981,25				[]
53	192/546	Córrego de Mata	CBMM	7826072	296240	PM	Валтеіго	1.985	64,00	152			55,50 m de 1	litro # 1,0 mm	1.005,80	9,40		41,85	10,26		OBSTRUÍDO
7.7	193/503 A	Валадет "А"	CBMM	7826060	296030	PM	Barreiro	20/11/97	50,71	6,35	PVC				988,38	19,75	968,63				
	193/503 B		•					20/11/97	40,70	-	•		1		988,37	19,62	968,75				
ļТ	193/503 C	•	•			٠.	1	20/11/97	30,72		•		1		988,39	19,05	969,34				
-	193/503 D		•			٠.,	1	20/t 1/97	20,72	-	•			•	988,39	17,96	970,41				
55	194/601 A	Córrego Bartina	CBMM	7826058	296530	PM	Barreiro	21/11/97	83,50	6,35	PVC				1.032,55	26,46	1.006,09				
	194/601 B	•	•			•		21/11/97	63,50	•	•		1		1.032,55	20,90	1.011,65				
	194/501 C		•	1	T.	•		21/11/97	44,50						1.032,56	18,15	1.014,40				
$\vdash$	194/601 D		•			•		21/11/97	23,50		-				1.032,55	14,20	1.018,35				
56	195/440	Ao lado da Fonte Bela	Arafértil	7826045	295732	PM	Barreiro	01/12/97		6,35	PVC				984,15	1	•	Sem co	indições di	ueo	
57	196/550	Вастадел "А"	CBMM			PI	Barreiro								1,005		Г		Γ		
58	197/671	* Веладел *D*	CBMM	7826052	206865	P1	Berreiro						<del></del>								
59	200/300	Pacragem "E"	Arafértii	7826022	295048	PM	Barreiro	01/12/97		6,35	PVC						•	OBSTRU	DO OO	•	•
60	200/350	Alito da Paulista	Arafértil	7826045	205278	PM	Berreiro	01/12/97		6,35	PVC		[					DESTRU	ipo-		
61	200/400	Anel Verde	Araférili	7826020	295531	PM	Валгеіго	01/12/97	26,11	6,35	PVC	1,39			984,56	24,71	$\Box$				Não monitorado
62	200/700	Barregem 4	CBMM	7826022	297017	PM	Barreiro	20/11/97	69,00	7,62	PVC				1.091,28	36,92	1.054,36				
63	200/760	Вигарет 4	CBMM	7826024	297308	P1	Barreiro								1.097,75		<u> </u>				
64	200/900	Barragem 4	CBMM			PM	Валтейто													1 -	DESATIVADO
65	202/540	Ваггадел "А"	CBMM	7826019	296209	PI	Barreire		_												
66	205/643	Córrego Bartlina	CBMM	7825995	296712	PM	Barreiro	21/11/97	78,00	7,62	PVC				1.054,28	29,10	1,025,18	1			
1 91 1	210/440	Anal Verde	Aralértil	7825962	296735	PM	Barreiro	01/12/97	20,04	6,35	PVC	1,23		•	985,24	16,58	968,66				
68	210/450	Anal Verda	-	7825966	295789	PM	Barreiro	01/12/97	<u> </u>	6,35	PVC				<u> </u>		1	OBSTRU	íDG		-
69	210/540 A	Córrego Bartána	CBMM	7825980	296212	PM	Barrelro	20/11/97	98,73	6,35	PVC			··· <u>·</u> ··	1.007,36	30.51	976,85	1	1		T
М	210/540 B	•	<del>  •</del>	1				20/11/97	78,15	1.			1	•	1.007,18	31,61	975,57		Γ	1	
$\Box$	210/540 D		<del>                                     </del>	<del> </del>		•	·	20/11/97	37,46	·	•				1.007,29	31,63	975,66	Ť			
70	212/671	Barragem 4	CBMM	7825967	296864	P!	Barreiro								T	<del>                                     </del>	1	T			
71	215/562 A	Córrego Baritina	CBMM	7825961	296293	PM	Barreiro	20/11/97	80,73	6,35	PVC				1.014,03	25,98	988,05	T	T		
	215/562 8	•	•			*		20/11/97	63,78	1	7.10		<del> </del>		1.014.07	24.82	969,45		T	1	
$\vdash$	215/562 C	• .	<del></del>	<del>                                     </del>	<del>                                     </del>			20/11/97	48,67	٠.					1.013,97	22,90	991,07	1		_	<del></del>
$\vdash \vdash \vdash$	215/562 D		· ·		1			20/11/97	25,84	٠.	•		<del></del>		1.014,12	21,58	992,54	t	1		<del> </del>
72	216/526 A	Córrego Barttina	CBMM	7825956	296137	PM	Barreiro	20/11/97	34,50	6,35	PVC		<del>                                     </del>		968,16	13,05	975,11	<u> </u>	1	<del>                                     </del>	
· · · ·	216/526 8	b .	-			4		20/11/97	21,51	<del>                                     </del>	7.24	-	<del>                                     </del>	<del></del>	986,17	12,97	976,20	<del>                                     </del>	+	1	$\vdash$
73	217/405 A	Anel Varde	Aralériil	7825932	295547	PM	Barrelro	01/12/97	21,52	6,35	PVC	1,30	<del></del>	•	<del> ,</del>		4,	OBSTRU	po	'	
	217/405 B	rana raido	*	- 023802	20007		- CHI.040	01/12/97	40,62	<del>  ;;;;</del>	-	1,30	<del> </del> -		1.001,70	36,44	965,26	T	Ť-	Т	
-	217/405 C		<del>  .</del>	<del>                                     </del>	<del>                                     </del>	-	· ·	01/12/97	32,62	<del>  • • • • • • • • • • • • • • • • • • •</del>		1,34	<del>                                     </del>		11001710	- VV,	- 550,20	OBSTRU	ĺbo	·	۸
<del>                                     </del>	217/405 D		<del>                                     </del>				· · ·	01/12/97	31,54	<del>  :-</del>		1,30	<del> </del>		<del>                                     </del>	_		OBSTRU			
74	222/496 A	Anel Varde	Aralérti/C8MM	7925010	295984	PM	Barretro	20/11/97	50,53	6,85	PVC	0.50		<del></del> -	983,06	8,70	974,97	1	ī	Т	<del></del>
	-222790 A	Anior anima	1 COMMODUM	1050810	280904	ren	Seminor	EGI 11/87	50,00	0,03		4,50	<u> </u>		903,00	0,10	814,07			<u> </u>	

Observações: Natureza do Ponto; PB = Poço de Bombeamento; PI = Poço de Infiltração; PM = Poço de Monitoramento; NC = Nascente;

#### CATÁLOGO DE PONTOS D'ÁGUA

	<b></b>									UM	IIALO	GO DE	PUNIUS								
PRM - Bervişi	Gaciógico do Brasil	XA, UV.												Park A Participa	<u> </u>			<u>-</u> د	····:		
437			or Terminate	5 50 50	non-rout	60 G F	77.5 oc. 1		4657		T NOT				Para de						111111111
	ha amin'i Ma	-700 (A)	2 - 12 40 MAAA												587 A 507 F	<u> </u>			N		.A
7.46°)*			Araférti/CBMM	1 - 1 - 1 - 1 - 1			Barreiro	20/11/97	32.53	6.35	PVC	0,50			983,06	8,69	974,45				
	222/496 B	Anel Verde	Arabellocomin		<del>- i</del>	<del></del>		20/11/97	14,53	•	1	0,50			983,06	8,61	974,43				
	222/496 C		Aratérti/CBMM	7825877	295915	PM		20/11/97	43,00	7,62	PVC	0,69			997,67	23,24	974,43				
	230/460	Anel Verde-Holel Rádio	CBMM	7825823	296995	PM		21/11/97	100,62	6,35	PVC				1,077,02	32,00	1.045,02		Ļ —		
77	238/693 A	Área Industrial - CBMM	CDANA	1044444	250355	<del>' :-</del>		21/11/97	60,82	•	٠.				1.077,02	32,35	104,67	<u> </u>	<b>⊢</b> —		
	238/693 B				-			21/11/97	60,82	• 1	1				1.077,02	32,48	1.044,54	ļ	<u> </u>		
	238/693 C					+		21/11/97	45,82	٠	$\overline{}$				1.077,02	32,95	1.044,07		<u> </u>		
	238/693 D		Arafértit	7825829	296168	PM	Barreiro												Deselvado	_	
78	240/530	Anel Verde-Hotel Rádio	Aralértil	7825759	295377	PM		01/12/97	17,45	6,35	PVC	1,20			L			OBSTRU	<u> </u>		
79	250/365	Anel Verde/Barragem "E"	Arafértil	7825768	295779	PM	Barreiro	26/09/97	44,70	6,35	PVC	0,43			Í	42,30		<u> </u>	<b>↓</b>		
80	250/450 A	Anel Verde-Hotel Rádio	Visialai	7625766	280178			25/09/97	54,15	***	<u> </u>	0,63	-		l	42,37			ļ	_	
	250/450 B	_ <del></del>			<del></del>	╼╌		25/09/97	68,20	•	-	0,74	_			42,60		<u> </u>	<u> </u>	L	
	250/450 C			7825769	296000	PM	Barreiro											Vão Local	zado		
81	250/500	Anel Verde-Hotel Rádio	Arafértii CBMM	7825769	296304	PM PM	Barreiro	20/11/97	60,67	6,35	PVC				1.011,79	24,31	987,48	<u>.                                    </u>	<b>└</b>	<b> </b> -	<b>├</b>
82	250/560 A	Córrego Baritina	UBMM	/625//5	250304	<del></del>	20114119	20/11/97	44,78		-				1.011,80	24,25	967,55	<u> </u>		<u> </u>	<del></del> _
	250/560 B		<del>-                                    </del>		├	<del></del>		20/11/97	28,78	<b>-</b> -	·-		.,		1.011,80	24,50	997,55	ــــــ	1	<u> </u>	<b></b>
	25Q/560 C	<del></del>	-	7005700	296566	PM	Barrelro	20/11/97	100,84	8,35	PVC				1.073,42	76,22	995,20	_	<u> </u>		<u> </u>
69	257/611 A	Córrego Baritina	CBMM	7825738	290500	- P 44	Darreno .	20/11/97	63,84	•	•			_	1.073,42	78,22	995,20	1			
	257/811 8			~~~~	295524	PM	Barreiro	01/12/97	53,24	6,35	PVC	0,61			1.026,48	50,70	Γ		<u> </u>	<u> </u>	L—
84	260/400	Anel Verde	Aratértil	7825719	297131	PM	Barreiro	0,,123,	00,01	10,00								Ι	<u> </u>	<u> </u>	DESATIVAC
85	270/720	Area industrial	COMM	7825670	296790	PM	Barretro	20/11/97	125,67	8.35	PVC				1,107,91	97,48	1.010,43	<u> </u>	⊥		<u> </u>
86	276/657 A	Córrego Baritina	CBMM	7825629	290/90	FW	- BENTANO	20/11/97	105,66	1,000	<del></del>				1.107,92	97,15	1,010,77		<u> </u>	<u>l</u>	<u> </u>
	278/657 Đ	<u> </u>			205 420	PM	Barreiro	20111797	1,00,00	├─	<del>                                     </del>	_						DESTRU	lío <u>ó</u>		
67	265/390	Anel Verde	Ara/értil	7825803	295479	PM	Barreiro		<del>  -</del>	╁	<del> </del>				1			DESTRU			
88	200/340	Barragem "F"	<del></del>	7625534	295216	PM	Barreko	_	_	┼	<del>                                     </del>							DESTRU	ilpo		
89	300/540	Córrego Trition		7825513 7825423	296198 296760	PM	Barfeiro	20/11/97	81,00	7,62	PVC		"-		1.095,78	57,22	1,030,56	<u> </u>	<u> </u>	<u> </u>	
90	920/650	Nascente C. Baritina	CBMM			PM	Barreiro	20/11/07	01,00	1,,,,,,	1		·					DESTRU	1600		
91	330540	Cava da Mina	CBMM	7825360	296202	PM	Валейо			<del>                                     </del>	<del> </del>	_						DESTRU			
92	340/325	Cava da Mina	CBMM	7625330	295040	PM	Barreiro		-	+	<del>.                                      </del>						·	DESTRI			
93	348/305	Çava da Mine	CBMM	7825296		PM	Barrelro	<del>                                      </del>	<del>  -</del>	+-	+		<del></del>					DESTAL	JE00		
94	350/510	Cava de Mina	CBMM	7825254	296058 295314	PM	Barreiro			+-	+	┝			1			DESTRU			
95	360/360	Cava da Mina ,	Arafériii	7825229	295314	PM PM	Barreiro	01/12/97	9,27	6,35	PVC	0.76						OBSTRI	JÍDO		<u> </u>
96	376/295	Mate de Cescatinha	Arafértil	7825139		PM	Saneko	20/11/97	98,62	8,35	_	0.62	<del></del>		1,099,20	61,56	1,037,6	<u> </u>		<b>⊥</b>	<u> </u>
97	380/840 A	Correia Transportadora-CBMM	CBMM	7825126	296712	PM		20/11/97	74,50	1	<del>                                     </del>	0,64	<del>                                       </del>		1.099,20	61,56	1.037,6				
	380/640 B		<del></del>	<del>-</del> -	-		-	2011/91	<del>  ,,,,,,,,,,,,,,,,,,,,,,,,,,,,,,,,,,,,</del>	┼─;-	<del>) .</del>	<del>                                     </del>	<del> </del> -					OBSTR		_	
	380/640 C		<del> -                                    </del>		<del></del>	<u> </u>	<del> </del>	<del> </del>	<del></del>	+ -	<del> </del> -	<del>                                     </del>	<del></del>		T .			OBSTR	ULDO		
	380/640 D		<del></del> _		004044	PM	Barreiro	<del>                                     </del>	-	+-	+	+		<del></del>	1			Não Loca	elizado		
96	395/280	Cava da Mina	Aralértis	7825047	294914	PM -	Barreiro	<del>- −</del>		+	<del>!</del>	<del>                                     </del>	<del></del>	-				DESTR	UIDO		
99	400/400	Cave da Mina	Aratertil	7625024	295499			<del> </del>	+	+-	+	<del> </del>	<del> -</del>					DESTR	Oalu		
100	400/445	Cava da Mina	Aratentil	7825027	295727	PM.	Barrelro Barrelro	┼	<del> </del> -	┼	+	<del>                                     </del>			Τ''''			DESTR	uípo		
101	400/450	Çava da Mina	Arafértii	7825024	295756	PM PM	Barreiro	20/11/97	98.50	7,62	PVC	9.50	<del>                                     </del>		1,131,40	70,99	1,060,4	11			
102	400/700	Correla Transportadora-CBMM		7825006	297000		Barretto	2011/9/	30,30	1,02	+	<del>  5,55</del> _	<del>                                     </del>		T			DESTR	UIDO		
103	420/270	Cava da Mina	. Arefértii	7824525	295140	PM PM	Barreiro	20/11/97	98,55	6,35	PVC	0.55	<del></del>		1.091,05	75,76	1.015,2	19		1	<del></del> _
104	420/620 A	Cava da Mina	CBMM	782491	296622	P.M	- Destretto	20/11/97	74,56	- 0,35	<del>  ```</del>	0,56	<del>-</del>		1.091,06	48,67	1.042,3	99			
	420/520 8			<del> </del> -	+	<del>                                     </del>	+ -	20/11/97	-	+-	+ -	0,56	<del> </del>		1.091,06	46,21	1.042,8	15		<u> </u>	
	420/620 C	<u> </u>	<del>                                     </del>			-	Cours's:	2011/8/	30,30	+-	+-	+	<del></del> -					DESTR	ulbo		
105	435/300	Cave da Mina	Aralérii	7824836	295013	PM	Barretro														

Observações: Natureza do Ponto: PB = Poço de Bombeamento; PI = Poço de Infiltração; PM = Poço de Monitoramento; NC = Nascente;



Análise físico-química ( CPRM 1997 )

#### CATÁLOGO DE PONTOS D'ÁGUA

CPRM - Servi	ipo Geológico de Besei	1									AIALU	IGU DI	E PONTOS D'AGUA							
106	· - · · · · ·	W. 194		State of	996 FQ 976 FQ 10 N 200	Maria Maria Maria	A CAMPAGE A CAMPAGE A REPORT OF	5:	V. 2.05		10.50	Charles of	Reside Const			1.044.88				
100		Cava da Mina	CBMM	7624723	296517	P.M	Barretiro	20/11/97		6.35	PVC	0,68		1.087,94	43,08					<u>'</u>
┝──┤	463/600 B	•	<u> </u>			-:-		20/11/97	73,73	H÷	*	0,67		1.087,93	2,95	1.044,98				
	463/600 C				<b> </b> _			20/11/97	48,80	<u> </u>		0,67		1,087,93	42,63	1.045,30				
107	500/330	Cava da Mina	Arefértil		<u> </u>	PM	Barreiro										DESTRU			
106	500/500	Cava da Mina	Arafértit/CBMM	7824512	296004	PM		20/11/97	78,60	7,62	PVC			1.114,25				SECO	<del>,</del>	[
109	600/580 A	Cava da Mina	CBMM	7824516	296408	PM	Barrelro	20/11/97	98,54	6,35	PVC	0,54	_	1.096,34						
igspace	500/580 B	•	-	<u> </u>		-		20/11/97	74,80	•	<u> </u>	0,53		1.096,33	44,26	1.052,07				
$\vdash$	500/590 C	•	. •			•		20/11/97	61,08	•	•	0,54		1.096,34	42,12	1.054,22			L	
110	510/400	Cava da Mina	Arasértil	7824454	295494	PM	Barrelro							DESTRUÍDO						
111	535/305	Cava da Mina	Arafértif	7824339	295041	PM	Barrelro							DESTRUÍDO						
112	580/610 A	Cava da Mina	CBMM	7824339	295041	PM	Barrelro	20/11/97	79,61	6,35	PVC			1.144,46	45,40	1.099,06				
لبسا	580/610 B		•			•		20/11/97	62,59		•			1.144,44	44,57	1.099,87				
	580/610 C	•				-	l	20/11/97	48,57	_ · _	*			1.144,42	45,58	1.098,64				
113	600/400	Cava da Mina	Araférii	7824004	295504	PM	Barreiro							Não Localizado						
114	600/600	Cava da Mina	Aralértil/CBMM	782400t	206510	PM	Barrelro							Não Localizado						
115	630/335	Cava da Mina	Arafértii	7823830	295181	PM	Barretro							DESTRUÍDO						
116	668/380	Cava da Mina	Araférti	7823785	295411	PM	Barreiro							DESTRUÍDO						
353	Beja 1	Anel Verda	COMIG	7826045	295777	ΡВ	Barretro	1976	25,00	152	Aço		litros de aço de 18,20 a 23,50 m		4,60	1	6,70	20,80		
G.	Beja 2	Anel Verde	COMIG	7825867	295600	PB	Barreiro	1984	55,00	152	Aço		filtros de aço de 47,88 a 53,88 m	1.014,30	42,23		49,71	6,34	1997	DESATIVADO
	Beja 3	Anel Verde	COMIG	7825869	295479	РВ	Barrelro	1984	46,50	152	Aço	-	litros de aço de 36,50 a 46,50 m	1,000,70	29,40		30,63	14,40	/11/1997	10,00
1		Alto Paulista	Arafári	7826537	294954	РВ	Fraturado			203	Aço							·		
187		Alio Paulista	Arafért⊪	7826408	294799	РВ	Fraturado			203	Aço									
122		Alto Paulista	COMIG	7626309	294484	PB	Fraturado	1997		152	Aço			<del> </del>		N/	O INSTAI	ADO	_	
104	AHP	Barreiro - Hotel Previdência	IPSEMG	7826525	296059	PB	Barreko	,,,,,	65,00	152	Aço			<del></del>	E	T			27/t1/97	
124		Barreiro - Hotel Previdência	IPSEMG	7826519	296090	PB	Barreiro	1997	55,00	152	Aço			· · · · · -		Mi	O INSTAI	ADO		
125	PB-D1	Barragem "D"	CBMM	7826429	296753	PB	Barrelro	100.	45,55	203	PVC		· <del>-</del>	DESATIVADO						
183	PB-D2	Barragem *D*	CBMM	1020129	280755	PB	Barreiro			203	PVC	_				<del>- '</del>	J		i .	
	F. A. Júnior	Barreiro - Grande Hotel	COMIG	7826571	295529	PB	Fraturado		54.00	203	Aço			-	<b>—</b>	-			_	
27.572	P. Arteslano	Barragem 2	CBMM	7823795	298189	PB	Barrelro	<del></del>	34,00	203	Aço				<del>!                                    </del>				/1 t/1997	:
	AABB	Barrelro - Clube AABB			_					-	·				10,86	<b>.</b>	_		04/12/97	
	Fonte Beja	Barreiro	AABB	7826960	295381	PB	Fraturado		67,00	152	Aço			<del></del>	10,50	<del></del>	<u> </u>		04/12/97	
131	1 41.115 2.115		COMIG			NÇ	Barreiro						<del></del>	<del> </del> -	<del>                                     </del>					
- <del>''*'</del> -		Cascatinha		7823415	295484	NC	Barreiro			$\vdash$					$\vdash$	├	<b></b>		<del> </del>	
$\vdash$	-									$\vdash$	<b> </b> -		······································		<del> </del>		<u> </u>	<u> </u>	<del>                                     </del>	
<del>                                     </del>		<del></del>	_		<b> </b>					$\vdash$					<del>                                     </del>	<del></del>				
┝╼┤											$oxed{\square}$			-	-	├			ļ	<b> </b>
⊢–⊢					L								<u> </u>			—				
					لـــــــــــــــــــــــــــــــــــــ										<u> </u>			L	ļ	
										L				<u> </u>		L				
				, ,										T						
							-							Γ'	<u> </u>	1			l	
																	<u> </u>	<u> </u>		
															1	<u> </u>	1	<del></del>	<del> </del>	
<b>-</b>					<del>                                     </del>		$\vdash$			$\vdash$	-				$\vdash$		<del></del>	<del></del>	1	
					L		L							<u> </u>		<del></del>		ــــــــــــــــــــــــــــــــــــــ		

Observações: Natureza do Ponto: PB = Poço de Bombeamento; PI = Poço de Infiltração; PM = Poço de Monitoramento; NC = Nascente;